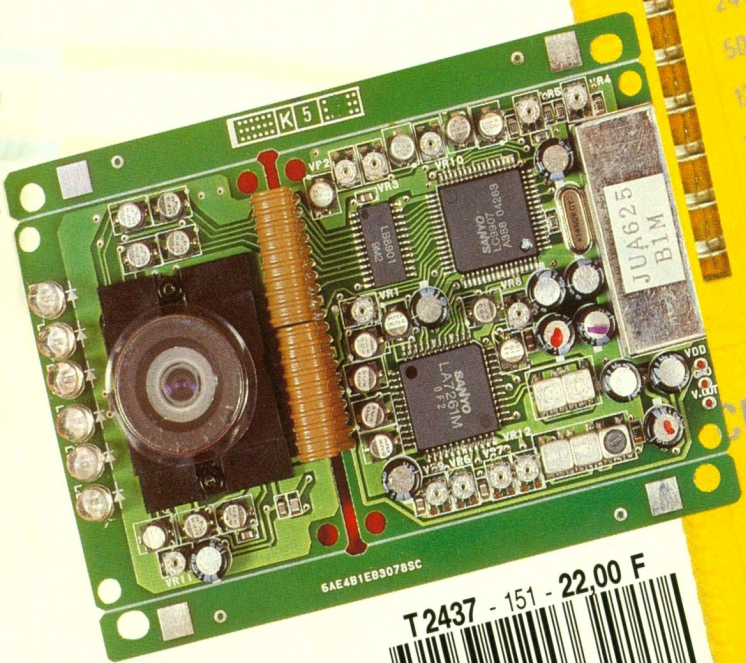


Electronique pratique

- DEPORT INFRAROUGE
- SONOMETRE
- RELAIS EJP
- RECEPTEUR AVIATION
- AMPLI AUDIO-VIDEO
- MODULE CAMERA CCD
- TESTEUR DE POCHE, etc.



T 2437 - 151 - 22.00 F



SEPTEMBRE 1991

BELGIQUE : 158 FB - LUXEMBOURG : 158 FL - SUISSE : 6.20 FS - ESPAGNE : 450 Ptas - CANADA : \$ 4.25

Electronique pratique

N° 151
SEPTEMBRE 1991

ADMINISTRATION-REDACTION-VENTES :
PUBLICATIONS GEORGES VENTILLARD

Société anonyme au capital de 350 880 F.
2 à 12, rue Bellevue, 75940 Paris Cedex 19.
Tél. : 42.00.33.05 - Fax : 42.41.89.40
Télex PGV 220 409 F

Directeur de la publication : Jean-Pierre VENTILLARD
Directeur honoraire : Henri FIGHIERA
Rédacteur en chef : Bernard FIGHIERA
Maquettes : Jacqueline BRUCE

Avec la participation de
P. Wallerich, F. Jongbloet, G. Isabel, Ph. Bajcik,
R. Knoerr, J.-L. Tissot, B. Petro, P. Martin, A. Garrigou.
La Rédaction d'Electronique Pratique décline toute
responsabilité quant aux opinions formulées dans les
articles, celles-ci n'engagent que leurs auteurs.

PUBLICITE-PROMOTION : Société Auxiliaire de Publicité
70, rue Compans, 75940 Paris Cedex 19
Tél. : 42.00.33.05 (lignes groupées)
CCP Paris 3793-60

Directeur commercial : Jean-Pierre REITER
Chef de publicité : Pascal DECLERCK

Secrétaire : Karine JEUFFRAULT
Promotion : Mauricette EHLINGER

Marketing : Jean-Louis PARBOT
Direction des ventes : Joël PETAUTON
Inspection des ventes : Société PROMEVENTE,
M. Michel IATCA, 24-26, bd Poissonnière, 75009 Paris.
Tél. : 45 23 25 60. Fax : 42.46.98.11.
Abonnements : Odette LESAUVAGE

Titre P. R. E. S. donné en location-gérance
à la SOCIÉTÉ PARISIENNE D'ÉDITION
2 à 12, rue de Bellevue, 75019 PARIS

Voir nos tarifs (spécial abonnements, p. 20).

En nous adressant votre abonnement, précisez sur
l'enveloppe « SERVICE ABBONNEMENTS », 2 à 12, RUE
BELLEVUE, 75940 PARIS CEDEX 19.

Important : Ne pas mentionner notre numéro de compte
pour les paiements par chèque postal - Prix d'un numéro :
22 F.

Les règlements en espèces par courrier sont strictement
interdits.

ATTENTION ! Si vous êtes déjà abonné, vous faciliterez
notre tâche en joignant à votre règlement soit l'une de vos
dernières bandes-adresses, soit le relevé des indications
qui y figurent. ● Pour tout changement d'adresse, joindre
2,30 F et la dernière bande.

Aucun règlement en timbre poste.
Forfait 1 à 10 photocopies : 30 F.



« Le précédent
numéro
a été tiré
à 81 200 ex. »

FICHE TECHN.



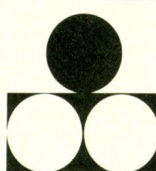
CONFORT



AUTO



JEUX



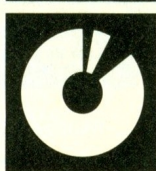
MODELISME



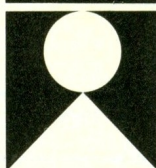
MESURES



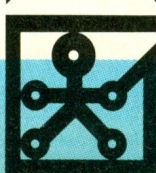
HIFI



GADGETS



INITIATION



SOMMAIRE

Revue Pdf

REALISEZ VOUS-MEMES

| | | |
|------------------------------|-----|----|
| <i>Serrure multicode</i> | 21 | 3 |
| <i>Relais EJP</i> | 29 | 11 |
| <i>Convertisseur AD/DA</i> | 35 | 17 |
| <i>Cloche électronique</i> | 44 | 25 |
| <i>Sonomètre</i> | 49 | 30 |
| <i>Déport infrarouge</i> | 54 | 33 |
| <i>Centrale d'alarme</i> | 67 | 45 |
| <i>Modules de protection</i> | 88 | 65 |
| <i>Alarme auto/moto</i> | 95 | 69 |
| <i>Ampli audio/vidéo</i> | 101 | 74 |

EN KIT

| | | |
|---------------------------|-----|----|
| <i>Récepteur aviation</i> | 103 | 76 |
|---------------------------|-----|----|

PRATIQUE ET INITIATION

| | | |
|-----------------------------------|-----|----|
| <i>Caméra CCD</i> | 82 | 59 |
| <i>Testeur de poche CDA</i> | 85 | 62 |
| <i>Fiches à découper</i> | 93 | * |
| <i>Fiche technique : le 40193</i> | 107 | 79 |

DIVERS

| | | |
|-----------------|-----|----|
| <i>Courrier</i> | 110 | 81 |
|-----------------|-----|----|

* La totalité des fiches à découper de la revue Electronique Pratique sont compilés au format pdf dans le N°000 de la même revue.

Le présent numéro comporte un encart jeté « WEKA » sur tout le tirage.

SERRURE MULTICODE



Cette serrure électronique se différencie des autres par plusieurs points : avec un nombre restreint de composants courants, elle autorise quatre combinaisons, facilement modifiables, avec un maximum de quinze chiffres parmi seize (16^{15} combinaisons !), possède une sortie auxiliaire avec un second code, visualise l'état du système et dispose de sécurités diverses. Sachez toutefois qu'aucun système n'est infailible...

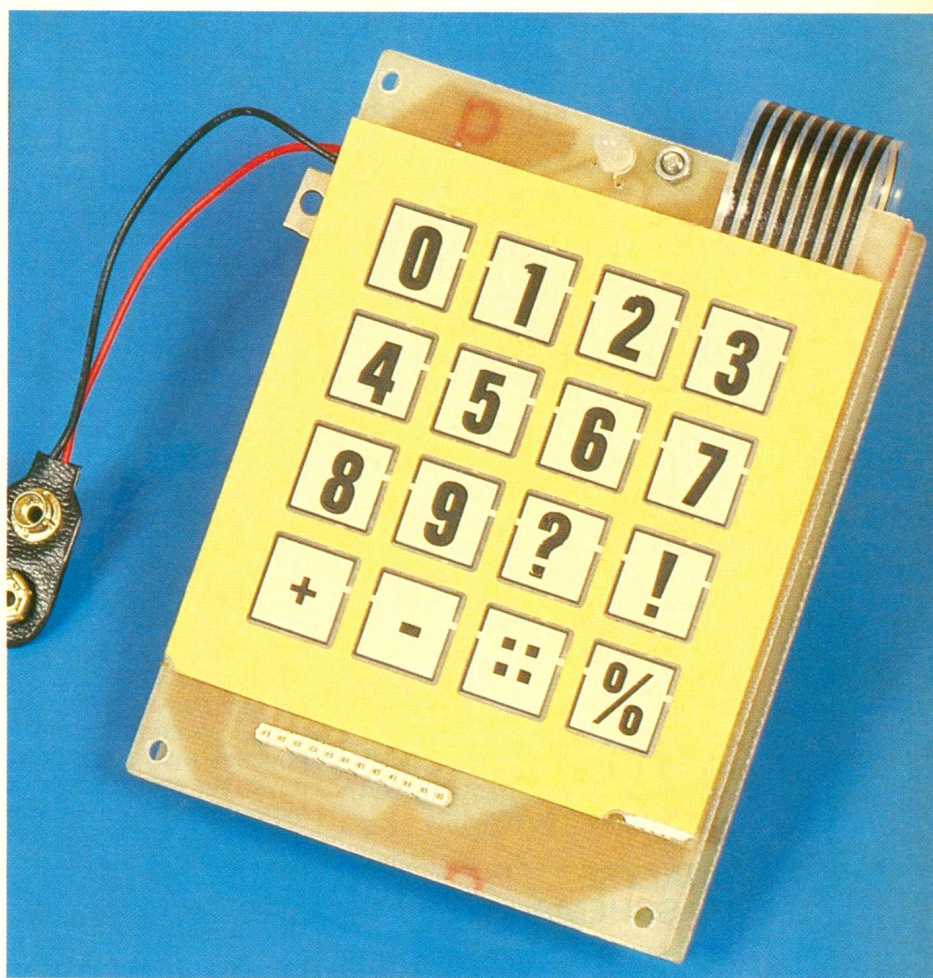
PRINCIPE

La figure 1 présente l'agencement des huit blocs fonctionnels, dont le cœur du système fait appel à une EPROM qui mémorise le code secret et permet une modification aisée. La plupart des circuits sont en technologie MOS, mais l'EPROM impose la tension d'alimentation et la consommation.

Description des blocs

Le bloc (1) fournit deux informations : le code (4 bits) de la touche enclenchée et un signal de validation. Le bloc (3) génère un signal sonore quand le signal de validation existe. L'EPROM, associée à un registre, constitue le séquenceur (bloc 2), sorte d'automate programmable et véritable cœur du système. Le bloc (8) assure la visualisation d'état, en indiquant l'attente de code, l'ouverture ou l'inhibition de la serrure.

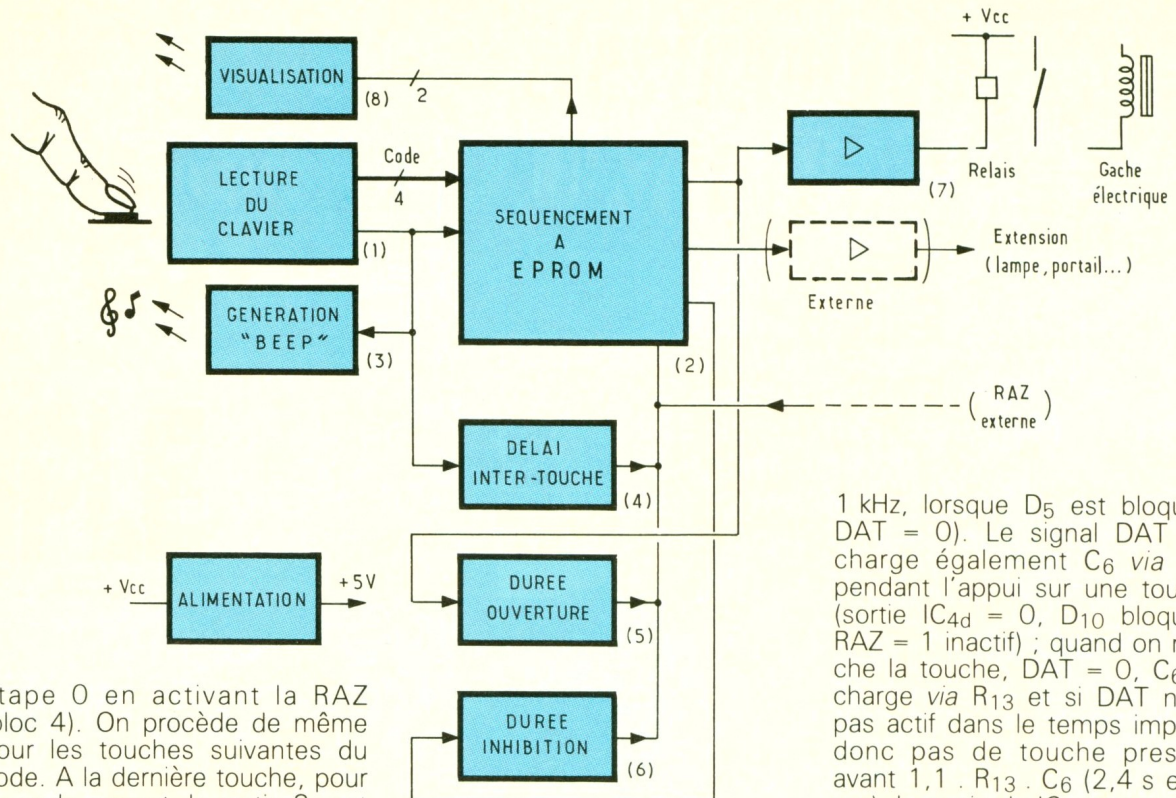
Le bloc (4) amplifie le signal de sortie S_1 pour commander la gâche électrique, ou son relais de commande, et le bloc (5) impose le temps d'activation ; l'autre sortie, S_2 , optionnelle, ne dispose pas de ce bloc. Le bloc (4) impose un délai entre deux appuis, et remet à zéro le séquenceur, si ce délai n'est pas respecté. Le bloc (6) bloque la serrure en effectuant une remise à zéro du séquenceur, pendant une durée assez longue, en cas d'erreur, pour prévenir toute tentative de recherche du code. Il reste le bloc alimentation nécessaire à l'alimentation + 5 V.



Fonctionnement

Au départ, ou après une erreur, le système est mis à zéro (étape 0). Un appui sur le clavier génère un « beep » (bloc 3), fournit le code au séquenceur (bloc 1) et initialise le délai inter-touche (bloc 4). Si le code de la touche est reconnu, on passe à l'étape suivante, en attendant un

autre code. Si le code n'est pas reconnu, on peut soit passer dans une séquence d'erreur (fausses étapes pour empêcher l'identification du code), soit repasser en étape 0, soit inhiber le système pendant un temps déterminé en activant le signal ER (bloc 6). Si on attend trop longtemps pour presser la seconde touche du code, on repasse en



étape 0 en activant la RAZ (bloc 4). On procède de même pour les touches suivantes du code. A la dernière touche, pour un code correct, la sortie S_1 est activée ; le relais (ou la gâche) est commandé et le système revient en étape 0, après la durée d'ouverture imposée (bloc 5). A noter la possibilité de laisser la sortie activée, jusqu'à une remise à zéro externe ; ce signal peut aussi inhiber le fonctionnement de la serrure par un séquenceur horaire ou une alarme.

Une DEL tricolore (bloc 8) fournit des indications à l'utilisateur : en attente de codage, la DEL est jaune ; en cas d'erreur, uniquement si le signal ER est activé (sinon, ce serait trop simple pour une personne mal intentionnée de découvrir le code !), la DEL est rouge, rappelant l'inhibition du système ; quand la sortie S_1 est validée, la DEL passe au vert, pour la durée d'ouverture.

ANALYSE DU SCHEMA

La figure 2 présente le schéma structurel de la serrure, qui ne laisse apparaître que quatre circuits intégrés, dont l'EPROM et un classique 74C922. Les blocs sont identifiés par des cadres en pointillé, afin de faciliter la compréhension.

Bloc 1

Le clavier de seize touches, câblé en matrice, est géré par un circuit spécialisé, IC₁ (74C922). Le

condensateur C_2 fixe la fréquence de lecture du clavier ($10 \text{ nF} : 6 \text{ kHz}$ à $2 \text{ }\mu\text{F} : 30 \text{ Hz}$) et le condensateur C_1 fixe la constante de temps de suppression des rebonds ($0,1 \text{ }\mu\text{F} : 1 \text{ ms}$ à $100 \text{ }\mu\text{F} : 1 \text{ s}$) ; vous pouvez, le cas échéant, retoucher leur valeur, sans effet sur le fonctionnement global. Le code binaire de la touche (cf. fig. 7) est disponible sur les sorties DCBA. Durant l'appui sur la touche le signal DA est actif (état 1). Si on appuie sur plus d'une touche, le circuit fournit une succession de codes, ce qui fera passer le séquenceur en phase de code erroné (sécurité pour les malins qui peuvent appuyer sur toutes les touches en même temps) ; si on appuie longuement sur une touche, il n'y a pas répétition.

Blocs 3 et 4

Le signal DA active un monostable redéclenchable (IC_{4b}, C_4 , R_6 , D_4) qui fixe la durée minimale du signal sonore et des autres signaux de commande ; la durée est $1,1 \cdot R_6 \cdot C_4$, soit une impulsion d'état 0 d'environ 0,2 s en DAT (sortie de IC_{4b}). Le signal sonore est généré par un transducteur piézoélectrique PXE, commandé par un oscillateur (IC_{4c}, C_5 , R_{14} , D_5) de fréquence $1/(1,7 \cdot R_{14} \cdot C_5)$, soit environ

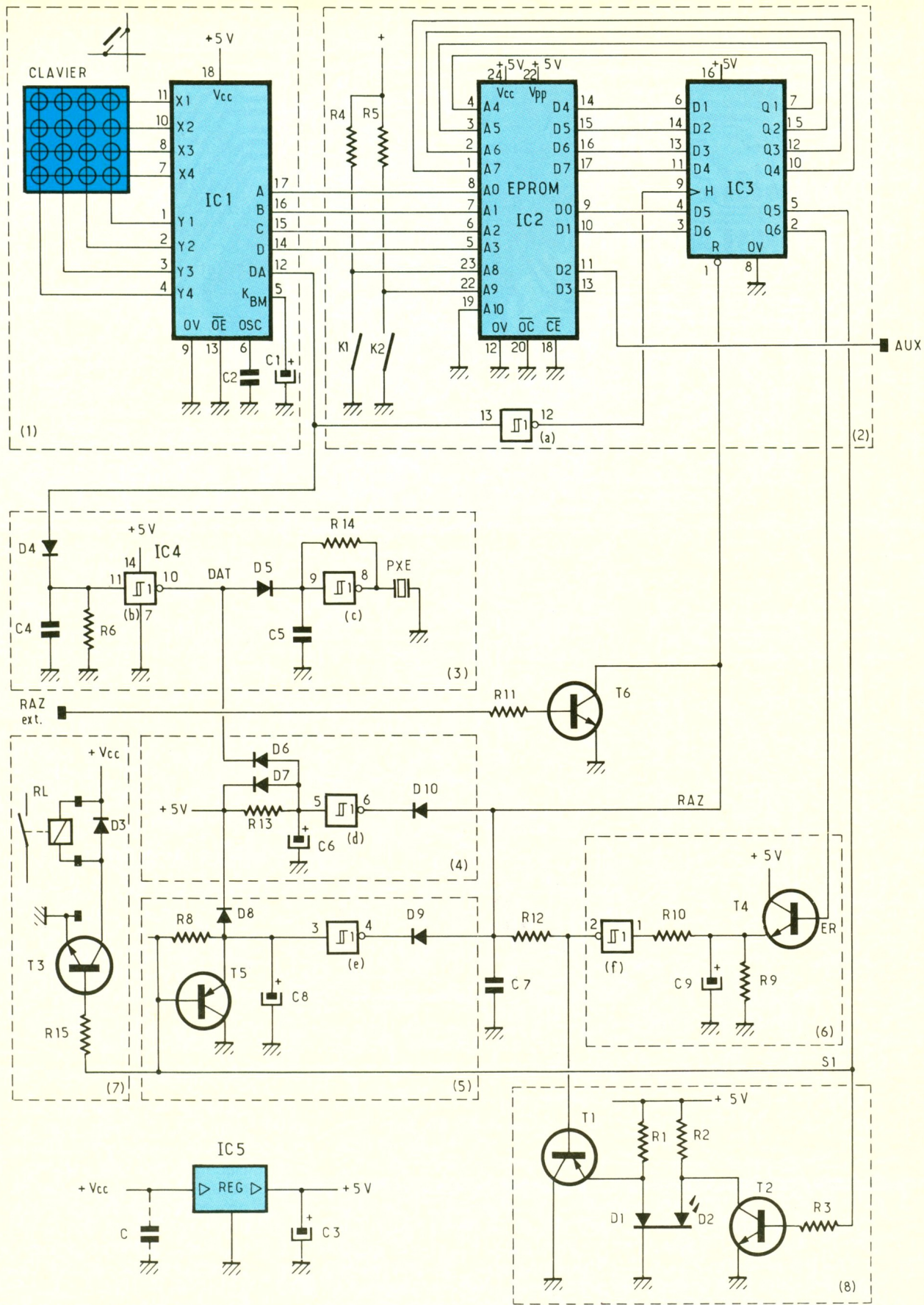
1 kHz, lorsque D_5 est bloquée, $\text{DAT} = 0$). Le signal DAT décharge également C_6 via D_6 , pendant l'appui sur une touche (sortie IC_{4d} = 0, D_{10} bloquée, $\text{RAZ} = 1$ inactif) ; quand on relâche la touche, $\text{DAT} = 0$, C_6 se charge via R_{13} et si DAT n'est pas actif dans le temps imparti, donc pas de touche pressée avant $1,1 \cdot R_{13} \cdot C_6$ (2,4 s environ), la sortie de IC_{4d} passe à 0, D_{10} conduit et active la RAZ. La diode D_7 décharge C_6 à la mise hors tension.

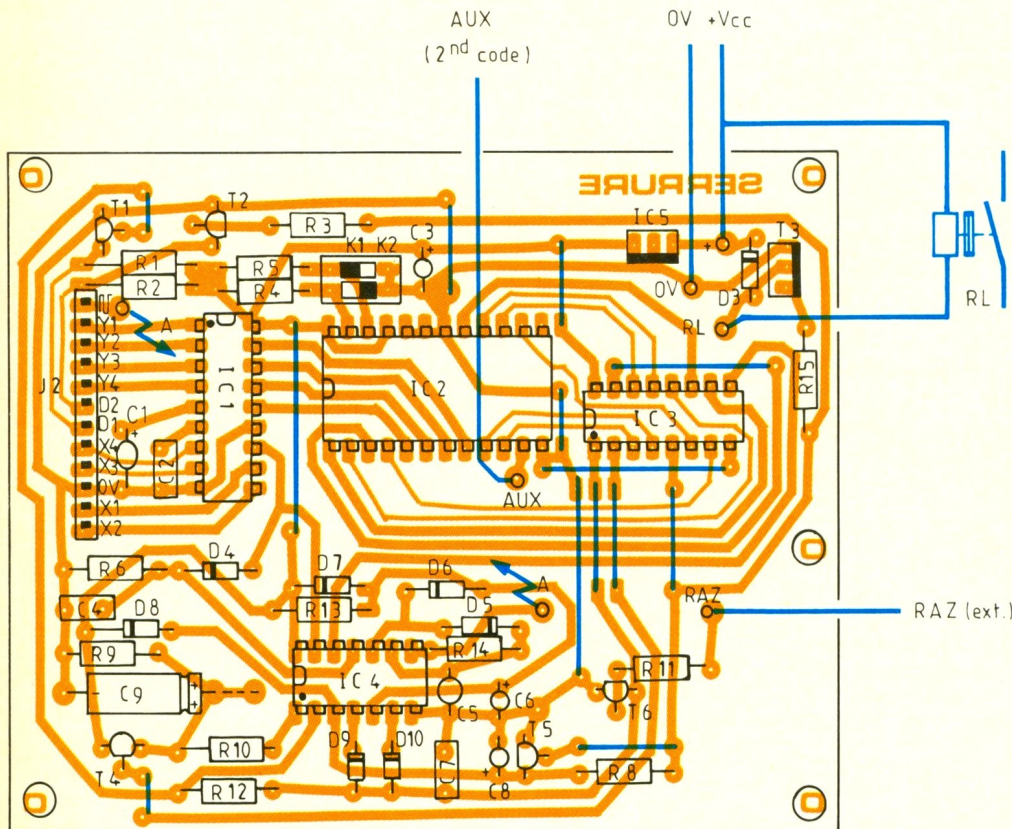
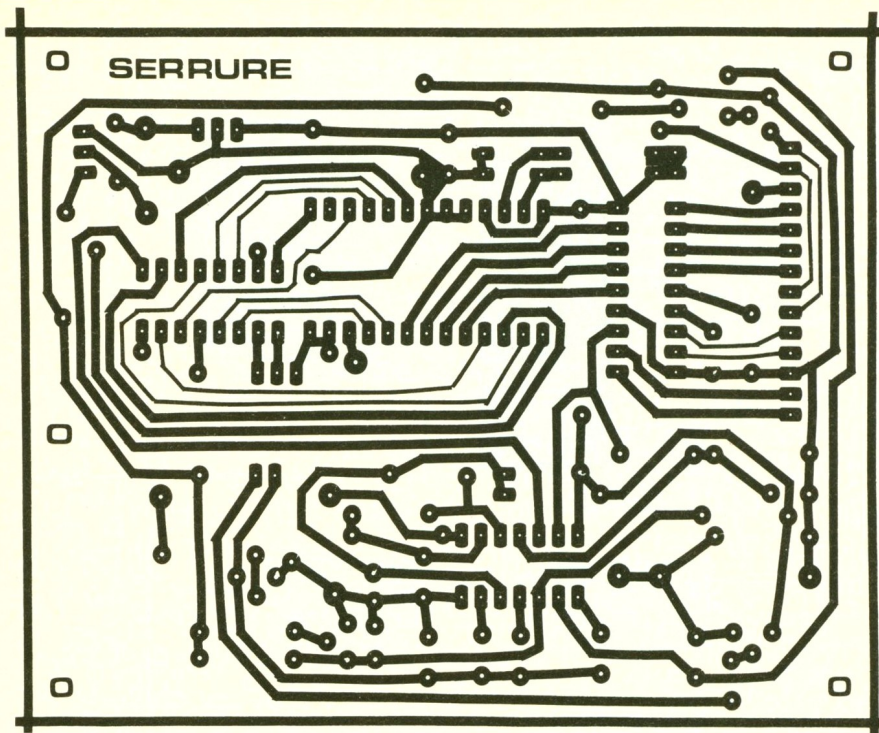
Bloc 2

Le séquenceur à EPROM fonctionne selon le principe défini dans la série LOGIC (module LO_7). Il met en œuvre l'EPROM IC₂ et une sextuple bascule IC₃. Son fonctionnement est complexe et lié à la programmation de l'EPROM, aussi nous y reviendrons aux figures 5 et 6, auxquelles vous pouvez vous reporter. Simplement, selon la succession de codes fournie par IC₁, les sorties ER, S_1 et S_2 sont activées par un état 1 : ER en cas d'inhibition, S_1 pour le code correct, S_2 pour le code optionnel. Un état 0 sur le signal RAZ remet à zéro le séquenceur, ainsi que les sorties ER et S_1 . Les interrupteurs K_1 et K_2 permettent le choix des codes parmi quatre séquences en mémoire.

Blocs 7 et 6

Quand $S_1 = 1$, T_3 est saturé et commande le relais RL ; la diode D_3 protège T_3 de l'effet selfique. Quand $S_1 = 0$, T_5 décharge C_8 , alors que, quand $S_1 = 1$, il se charge via R_8 ; quand le seuil de IC_{4e} est atteint, la diode D_9 conduit, le signal RAZ des activé, réinitialisant le sys-





tème et remettant à zéro S_1 ; la sortie S_1 reste donc active 1,3 . R_8 . C_8 (environ 5 s). Quand ER est actif, C_9 est chargé via T_4 (suiveur pour augmenter le courant de charge instantané de C_9) ; la porte IC_{4f} fournit alors un état 0 qui active RAZ après une constante de temps due à R_{12} ,

C_7 et nécessaire pour garantir la charge de C_9 ; ER bascule, T_4 est bloqué, et C_9 se décharge dans R_9 , tout en maintenant RAZ = 1 pendant une durée 1,1 . R_9 . C_9 (environ 4 mn). Le résistor R_{10} protège la porte, car C_9 reste chargé, même en cas de coupure d'alimentation.

Bloc 8 et alimentation

La DEL tricolore D_1, D_2 (DEL verte D_1 et DEL rouge D_2 dans un même boîtier) est commandée par le signal S_1 et le signal de sortie de la porte IC_{4f} ; normalement, D_1 et D_2 sont allumées (polarisation par R_1 et R_2), d'où l'éclairage jaune ; si $S_1 = 1$, T_2 est saturé, éteignant la DEL rouge, donc $D_1 D_2$ éclaire en vert ; si la sortie de IC_{4f} est à l'état 1, T_1 monté en suiveur conduit et éteint la DEL verte, d'où un éclairage rouge de $D_1 D_2$.

Le régulateur IC_5 fournit le + 5 V nécessaire à l'EPROM, C_3 en assure le découplage. Le condensateur C est facultatif et câblé uniquement si la source d'alimentation + V_{CC} est loin de la carte. Comme la consommation reste faible (100 mA), l'alimentation V_{CC} sera comprise entre 8 V et 24 V.

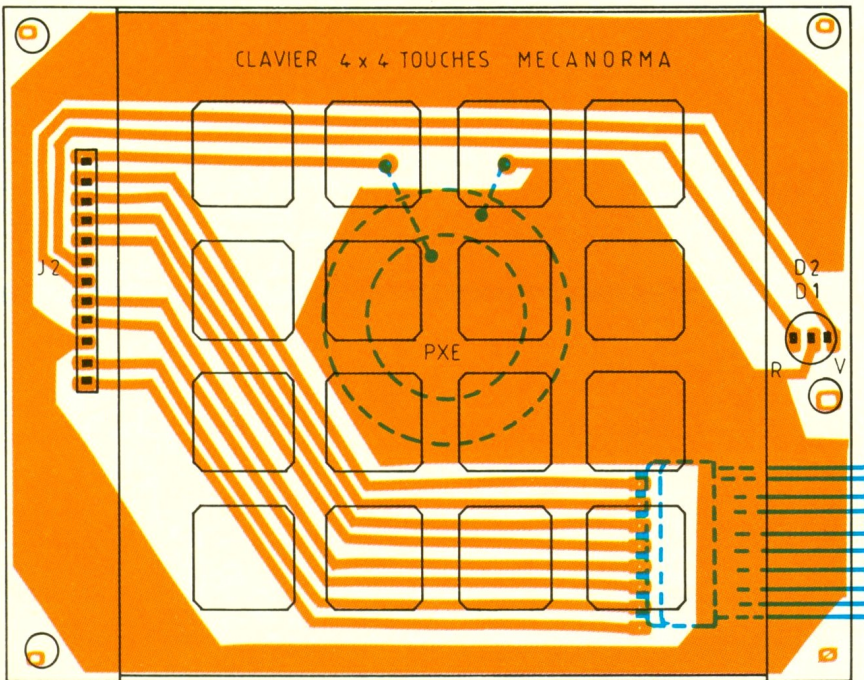
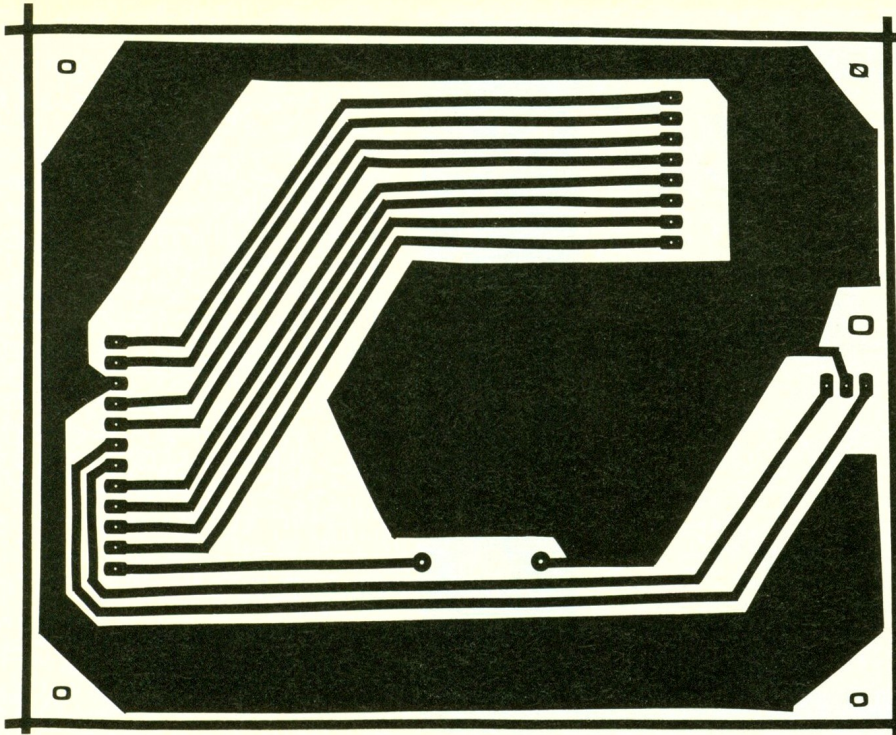
Note : les temps et formules sont définis pour les valeurs typiques données par le constructeur et pour des composants idéaux ; si vous observez des valeurs trop éloignées en pratique, ou si vous voulez modifier les valeurs, voici sur quels éléments agir : R_6 pour la durée minimale du « beep », R_{14} pour la fréquence du « beep », R_{13} pour le délai inter-touche, R_8 pour le temps d'ouverture, R_9 pour le temps d'inhibition.

REALISATION

La serrure se décompose en deux circuits : le premier supporte toute l'électronique ; le second supporte le clavier, la DEL et le transducteur piézo ; ce second circuit est optionnel, mais il permet de simplifier le câblage et de rendre le montage compact.

Les circuits

Le tracé des circuits imprimés est donné en figures 3 et 4. Vous pouvez réaliser le transfert du tracé par une des méthodes proposées par la revue, mais la plus propre est certainement la méthode photographique. Il vous faut deux plaques d'époxy, pré-sensibilisées ou non, de 85 x 110 mm. Une fois le transfert du tracé effectué, le cuivre est gravé dans un bain d'acide adéquat (perchlorure à 40° ou autre), puis soigneusement rincé. La protection des pistes est inu-



tile avec des plaques présensibilisées (la résine protège et autorise les soudures), sinon optez de préférence pour l'étamage à chaud ou un vernis spécial. Le perçage des trous est effectué avec un foret de 1 mm, sauf pour les trous de fixation (3,2 mm) et les picots (1,2 mm).

L'implantation

Elle s'effectue conformément aux figures 3 et 4. Commencez par le circuit annexe (fig. 4) ; le

connecteur J₁ est soudé côté cuivre (attention au sens), J₂ est soudé, broches coupées à ras côté composants ; la DEL est soudée en prenant garde à son sens et le transducteur est soudé côté cuivre, par un ou deux points sur la zone de cuivre centrale, ainsi qu'un fil isolé vers la pastille reliée à J₂ ; le clavier autocollant est soigneusement positionné puis appliqué sur la plaque d'époxy ; sa connexion électrique à J₁ s'effectue comme le présentent les photos.

Pour le circuit principal, les composants sont implantés, conformément à la figure 3, selon les règles usuelles : on commence par les 13 straps en fil rigide dénudé, le strap en fil rigide isolé qui relie les deux points A, les supports de circuits, le connecteur J₂, les résistors, les condensateurs (attention à la polarité des tantales), les diodes (sens repéré par l'anneau), les transistors (sens indiqué par le méplat ; T₃, face isolée vers D₃), le régulateur IC₅ (face métal vers IC₃), les interrupteurs K₁, K₂ et les picots de connexion. Les circuits seront implantés dans les supports uniquement lors de la procédure d'essai, en respectant le sens défini par l'encoche.

Essai

Cette procédure doit être respectée pour garantir le fonctionnement du montage ; sinon, ce dernier est lié aux lois de Murphy, car une erreur est si vite arrivée, même pour un technicien confirmé ! Vous allez donc tester chacune des parties, étape par étape, de préférence à l'aide d'un oscilloscope, en vous référant éventuellement à l'analyse du schéma, pour finalement obtenir un fonctionnement garanti, sitôt l'EPROM programmée et insérée dans son support. On utilise le terme « pressez » pour un appui fugitif sur une touche et « appuyez » pour un appui maintenu le temps de l'essai.

Alimentez le montage sous V_{CC} = 9 V (pile ou alimentation) et observez le + 5 V aux bornes de C₃, sinon vérifiez C₃, IC₅ ou l'alimentation. Insérez IC₁ dans son support et observez, après l'appui sur les touches, le changement de code (méorisé) sur les broches 8, 7, 6, 5 du support de IC₂, conformément à la figure 7, ainsi que l'impulsion sur la broche 13 du support de IC₄ ; sinon vérifiez IC₁ ou le câblage du clavier.

Insérez IC₄ dans son support ; pressez sur une touche, observez une impulsion d'état 1 en DAT (cathode de D₆) et d'état 0 sur la broche 9 du support de IC₃ ; le « beep » doit être audible, sinon vérifiez le PXE et l'oscillateur. Observez l'état sur la cathode de D₁₀ qui est 1 quand on appuie une touche et passe à 0, environ 2,4 s après (sinon vérifiez D₇, R₁₃, C₆).

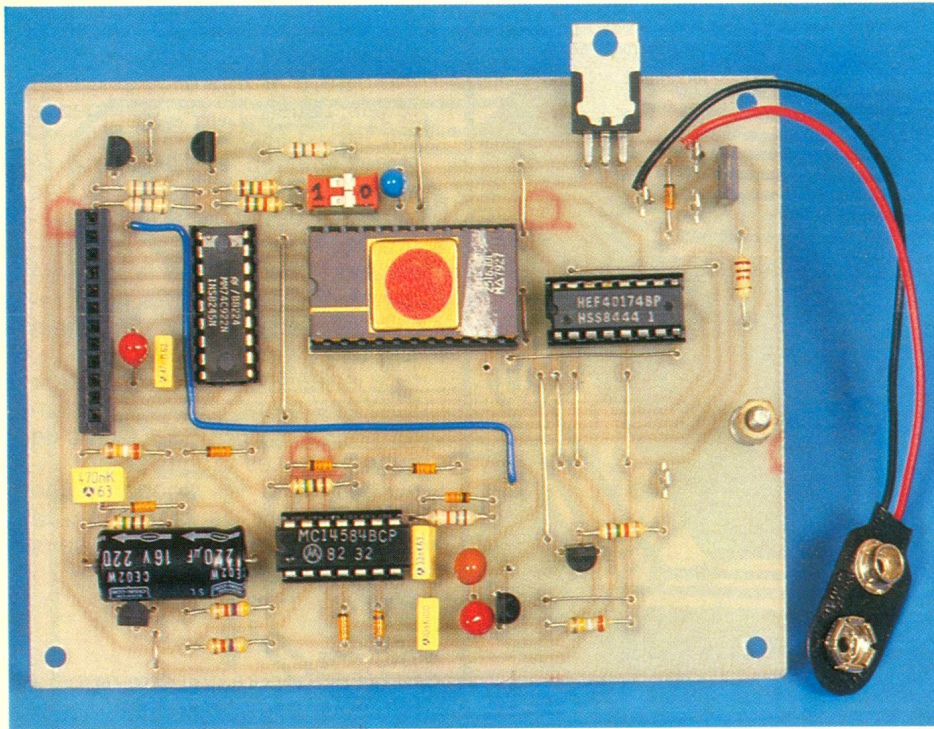


Photo 2. – Aspect de la carte imprimée principale.

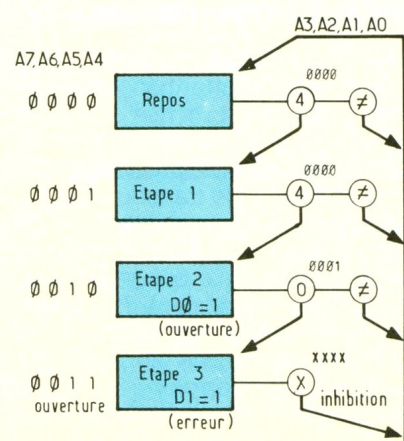
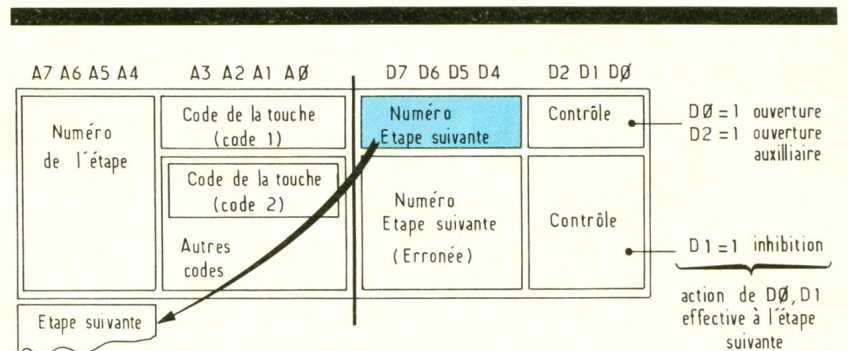
Connectez le relais comme indiqué et reliez la broche 5 du support de IC₃ au + 5 V ; le relais doit coller (sinon vérifiez R₁₅, T₃, D₃), la DEL D₁D₂ s'allume en vert (sinon vérifiez D₁D₂, T₂, R₂, R₃ ; court-circuitez C₉ pour le décharger, si nécessaire) ; vérifiez que C₈ s'est chargé et qu'un état 0 est présent sur la cathode de D₉ ; reliez maintenant la broche 5 au 0 V, C₈ doit se décharger et l'état sur la cathode de D₉ passe à 1 ; reconnectez la broche 5 au + 5 V et observez la commutation de l'état sur la cathode de D₉ après environ 5 s (sinon vérifiez R₈, C₈, D₈, T₅). Reliez la broche 2 de IC₃ au + 5 V ; C₉ se charge à environ 4,3 V et observez un état 0 sur le strap à côté de T₁ et un éclaircissement rouge de D₁D₂ ; reliez la broche 2 au 0 V et observez le changement d'état sur le strap près de T₁, ainsi que l'éclaircissement jaune de D₁D₂, environ 4 mn après (sinon vérifiez T₄, R₉, C₉, R₁₀ pour la durée et T₁, R₁, D₁D₂ pour la visualisation). Reliez les broches 2 et 5 du support de IC₃ au 0 V et déchargez C₉ ; appuyez sur une touche, le signal RAZ (br.1 du support de IC₃) est à 1 ; relâchez la touche, RAZ passe à 0 après 2,4 s environ, délai intertouche, sinon vérifiez D₁₀. Reliez la broche 5 au + 5 V, pressez sur une touche, le relais colle, D₁D₂ est verte ; RAZ

passé à 0 après 5 s environ, temps d'ouverture, le relais « décolle », D₁D₂ est à nouveau jaune, sinon vérifiez D₉. Reliez fugitivement la broche 2 au + 5 V, la broche 5 étant au 0 V, pressez sur une touche et observez RAZ à

0 pendant près de 2 mn (DEL D₁D₂ rouge). Vérifiez le changement d'état sur les broches 22 et 23 du support de IC₂, selon l'action sur les interrupteurs miniatures K₁ et K₂ et positionnez-les pour un état 0. Insérez IC₃ dans le support ; reliez la broche 9 du support de IC₂ au + 5 V, pressez une touche, le relais colle (DEL verte) et se décolle après 5 s environ ; reliez la broche 10 du support de IC₂ au + 5 V, pressez une touche, la DEL est rouge pendant 4 mn environ (sinon vérifiez IC_{1a} et IC₃ ; une différence de temps est normale, car il faut charger pleinement C₉ pour ces 4 mn).

Carte O.K.

L'ensemble est maintenant fonctionnel, et il ne reste plus qu'à programmer l'EPROM pour utiliser votre serrure. Le clavier peut être réuni au circuit principal en superposant les deux circuits, grâce au connecteur J₂, comme le présentent les photos, mais on peut également le déporter avec un câble à onze conducteurs (il est préférable que l'électronique ne soit pas accessible à l'utilisateur !). Le montage s'effectuera dans un ou deux boîtiers, selon



| A7-A4 | A3-A0 | D7-D4 | D2 D1 D0 |
|-------|----------|-------|----------|
| 0000 | 0000 | 0001 | 000 |
| 0000 | -autres- | 0000 | 000 |
| 0001 | 0000 | 0010 | 000 |
| 0001 | -autres- | 0000 | 000 |
| 0010 | 0001 | 0011 | 001 |
| 0010 | -autres- | 0000 | 000 |
| 0011 | X X X X | 0000 | 010 |

Contenu de l'eprom qui suit est quelconque

l'application envisagée, sans oublier qu'il faut également loger l'alimentation. Cette dernière sera de préférence sauvegardée, c'est-à-dire munie d'une batterie en cas de coupure secteur (la batterie doit permettre l'alimentation de la gâche). La revue a proposé de nombreuses alimentations, alors il vous sera aisé de faire votre choix, en sachant que V_{CC} doit être compris entre 8 V et 24 V continu (dissipateur sur IC₅ si $V_{CC} > 15$ V).

Remarque

Vous pouvez supprimer la temporisation d'ouverture ; il faut alors remplacer D₈ par un strap, et supprimer les quatre composants : R₈, C₈, T₅, D₉. Au moment de l'ouverture, S₁ = 1 et reste dans cet état, jusqu'à l'impulsion de remise à zéro, appliquée sur l'entrée RAZ externe, ou une erreur de code (touche supplémentaire).

PROGRAMMATION DE L'EPROM

Pour programmer l'EPROM, il faut comprendre le principe du séquenceur, résumé brièvement par la **figure 5** et l'exemple de la **figure 6**. L'analyse qui suit fait référence à ces deux figures. N'oubliez pas que l'EPROM doit être vierge avant programmation (exposition de 20 mn aux UVs). Le n° 137 de la revue a proposé un programmeur manuel, mais tout programmeur de 2716 convient.

Principe

Le séquenceur fonctionne par étapes, depuis l'étape initiale 0 avec un maximum de seize étapes. Le numéro de l'étape est codé en binaire sur 4 bits. Comme c'est un système séquentiel, il y a l'étape actuelle, codée sur les 4 bits A₇, A₆, A₅, A₄ de l'EPROM et l'étape suivante, codée sur les 4 bits D₇, D₆, D₅, D₄ de l'EPROM, retransmis à l'EPROM par IC₃. Le code de la touche est fixé sur les bits A₃, A₂, A₁, A₀ de l'EPROM, ce qui autorise donc seize étapes nouvelles selon la touche appuyée. Mais l'EPROM fournit aussi 3 bits D₂, D₁, D₀, qui commandent respectivement la sortie auxiliaire, l'inhibition de 4 mn et la sortie S₁.

Exemple

Soit le codage défini par la **figure 6** ; au repos, l'étape actuelle est A₇, A₆, A₅, A₄ = 0000 et le code A₃ A₂, A₁ A₀ est inconnu : pour un appui sur la touche '4' de code 0000, l'EPROM est à l'adresse A₇ - A₀ = 00000000 et transmet D₇ - D₄ = 0001, que IC₃ recopie pour fournir l'étape suivante 0001 ; pour les autres touches, l'étape suivante est 0000 (choix de l'exemple). A cette étape 0001, on procède de même, selon le code de la touche choisi ; ainsi de 0001, on passe en 0010 en pressant à nouveau la touche '4', mais on repasse en 0000 avec d'autres touches. Puis on passe de 0010 à 0011 en pressant la touche '0' de code 0001, mais en 0000 avec les autres touches. Si on presse encore une touche, n'importe laquelle, on passe en 0000. Le principe du séquençage est donc défini, ainsi que le contenu de l'EPROM et le cheminement (cf. **fig. 6**).

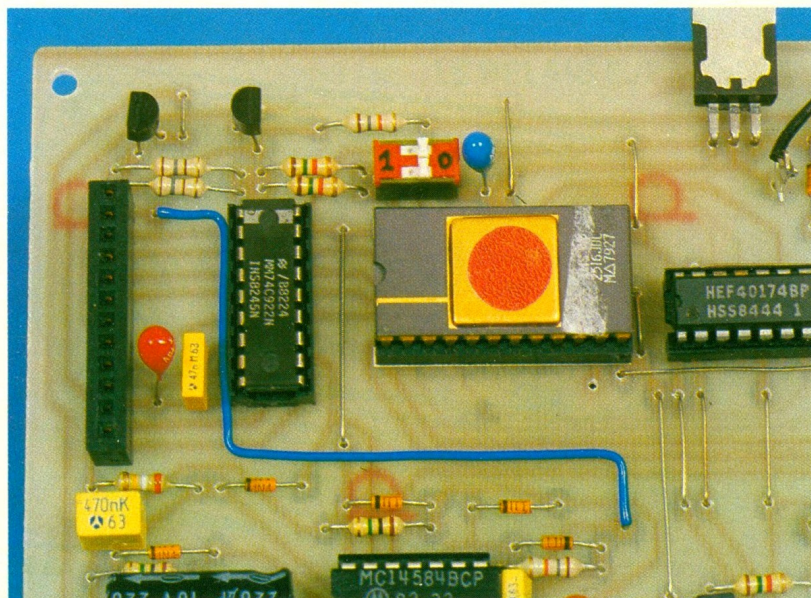
Commande de ER, S₁ et S₂

Analysons la procédure de commande des signaux de sortie S₁, S₂ et d'inhibition ER, en distinguant S₁, ER et S₂. Pour éviter les aléas de commutation (sécurité), S₁ et ER sont mémorisés ; ils sont définis à une étape donnée, mais ne prennent effet qu'à l'étape suivante. Ainsi, dans l'exemple, S₁ est défini actif à l'étape 2 (0010), mais la sortie n'est active qu'à l'étape 3 (0011) ; il en est de même pour ER, défini à l'étape 3, mais effec-

tif uniquement en repassant à l'étape 0. A la remise à zéro, ou en cas d'inhibition, ces signaux sont remis à zéro ; on ne valide donc S₁ ou ER qu'à l'étape précédant l'action. En revanche, S₂ (AUX sur le schéma et non utilisée dans l'exemple) est une sortie directe de l'EPROM (D₂) ; elle peut donc avoir des aléas de commutation (supprimés par un simple circuit RC dans l'étage amplificateur optionnel), mais est à l'état de l'étape actuelle ; le signal RAZ est sans effet sur cette sortie, qui permet donc d'autres possibilités, laissées au choix de l'utilisateur.

Revenons à notre exemple : si vous tapez 440, la sortie est active, mais si vous tapez encore un autre chiffre, la serrure est inhibée ; pour un code erroné, il n'y a pas d'inhibition. Il suffit de programmer l'EPROM, comme indiqué dans le tableau de la **figure 6** (l'état du bit D₃ est quelconque, aussi fixons-le simplement à 0). Ecrivez, aux adresses consécutives, 000 à 03F, les 64 octets hexadécimaux : 10, 00 (répété quinze fois), 20, 00 (répété quinze fois), 00, 31, 00 (répété quatorze fois), 02 (seize fois) ; les 192 autres (de 040 à 0FF) étant laissés à FF (non programmés). Attention, ce code 440 est valable uniquement pour K₁ = K₂ = 0. Selon l'état de ces interrupteurs, vous pouvez avoir quatre codes différents, en programmant la partie adéquate de l'EPROM : 000 à 0FF zone code 1, 100 à 1FF zone code 2, 200 à 2FF zone code 3, 300 à 3FF zone code 4 ; il aurait même été possible d'utiliser A₁₀, et permettre ainsi huit codes différents.

Photo 3. - Mise en place du strap de liaison en fil isolé.



| | | | |
|------|------|------|------|
| 0 | 1 | 2 | 3 |
| -1- | -5- | -9- | -D- |
| 0001 | 0101 | 1001 | 1101 |
| 4 | 5 | 6 | 7 |
| -0- | -4- | -8- | -C- |
| 0000 | 0100 | 1000 | 1100 |
| 8 | 9 | ? | ! |
| -2- | -6- | -A- | -E- |
| 0010 | 0110 | 1010 | 1110 |
| + | - | . | % |
| -3- | -7- | -B- | -F- |
| 0011 | 0111 | 1011 | 1111 |

Touche 3
A3 A2 A1 A0 = 1101 = D₍₁₆₎

Conclusion

En ayant compris le principe, vous pouvez expérimenter vos propres codages, pour commander une ou les deux sorties. L'exemple est un test fonctionnel de la serrure, aussi préférez une solution plus compliquée qui inhibe dès la seconde étape, en cas de code erroné, mais sans nécessairement revenir aussitôt à l'étape 0 ; ainsi vous pouvez déjà modifier l'exemple, pour passer, en cas d'erreur aux étapes 0 et 1, à une étape 5 (0101)... la figure 5 fournit également les indications pour deux codes, mais rappelez-vous que le nombre total d'étapes est au maximum de seize. Si votre courrier le nécessite, l'auteur apportera un second exemple plus complexe dans la revue. Protégez l'EPROM contre l'effacement des données, en masquant la « fenêtre » avec une pastille autocollante.

CODAGE DU CLAVIER

La figure 7 définit le code des touches selon leur position, en regardant le clavier avec la DEL vers le haut. Dans les cases grisées, apparaît l'inscription choi-

sie par l'auteur et reportée sur le clavier Mécanorma par des lettres transfert ; ce choix permet de noter un code dans un carnet, sans qu'il soit interprétable par une personne indelicat (par exemple le code à cinq caractères : 12-5 %). En dessous, apparaît la valeur hexadécimale du code qui facilite la programmation de l'EPROM, ainsi que la valeur binaire ; par exemple, la touche '+' a le code '3' en hexadécimal et 0011 en binaire. Le clavier utilisé est un clavier sensitif Mécanorma, mais vous pouvez réaliser votre propre clavier avec seize touches ou utiliser un clavier type téléphone.

UTILISATION

Comme il y a deux codes, le premier s'applique à la tâche principale envisagée, le second à une tâche annexe. Ainsi vous pouvez choisir un code à trois chiffres pour ouvrir votre porte d'entrée, et un code à six chiffres pour commander l'alarme. Autre possibilité, la commande d'un portail électrique et l'éclairage du jardin, un antivol de voiture..., mais vous trouverez certainement d'autres applications...

Attention, les voleurs repèrent les touches les plus souvent employées, alors n'hésitez pas à nettoyer fréquemment le clavier ou à changer votre code ! Pour aller plus loin, pourquoi ne pas mettre un système horaire qui modifie le code (action sur A₈ ou A₉, K₁ et K₂ étant ouverts) ou inhibe la serrure selon l'heure (action sur RAZ externe). Votre sys-

tème d'alarme pourrait également agir sur RAZ externe pour inhiber la serrure, mais attention, ce n'est pas possible si elle est utilisée pour inhiber l'alarme !...

P. WALLERICH

NOMENCLATURE

R₁ : 180 Ω 1/4 W
R₂ : 180 Ω 1/4 W
R₃ : 18 kΩ 1/4 W
R₄ : 15 kΩ 1/4 W
R₅ : 15 kΩ 1/4 W
R₆ : 390 kΩ 1/4 W
R₈ : 390 kΩ 1/4 W
R₉ : 1 MΩ 1/4 W
R₁₀ : 47 kΩ 1/4 W
R₁₁ : 15 kΩ 1/4 W
R₁₂ : 47 kΩ 1/4 W
R₁₃ : 1 MΩ 1/4 W
R₁₄ : 18 kΩ 1/4 W
R₁₅ : 22 kΩ 1/4 W

C : 220 nF 63 V milfeuil
C₁ : 10 μF 10 V tantale
C₂ : 47 nF 63 V milfeuil
C₃ : 15 μF 10 V tantale
C₄ : 0,47 μF 63 V milfeuil
C₅ : 33 nF 63 V milfeuil
C₆ : 2,2 μF 10 V tantale
C₇ : 10 nF 100 V milfeuil
C₈ : 10 μF 10 V tantale
C₉ : 220 μF 16 V axial

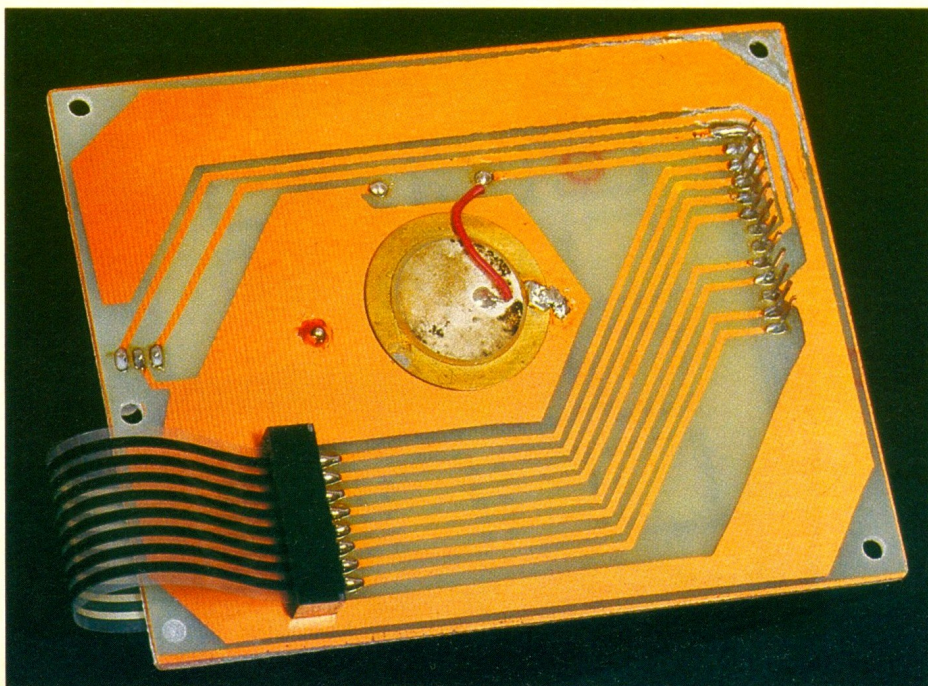
T₁ : BC 251A
T₂ : BC 237A
T₃ : BD 681
T₄ : BC 548C
T₅ : BC 215A
T₆ : BC 237A

IC₁ : encodeur de clavier 74C922
IC₂ : EPROM 2 Ko 2716
IC₃ : sextuple bascule 74HC174 (à défaut 40174)
IC₄ : sextuple 'trigger' MC14584, 40106
IC₅ : régulateur 78M05 (ou 7805)

D₁D₂ : DEL tricolore 0,5 mm
D₃ : 1N4007 (si gâche), 1N4148 (si relais)
D₄ à D₁₀ : 1N4148

J₁ : connecteur fourni avec le clavier Mécanorma
J₂ : connecteur 12 br. M/F pas de 2,54 mm
PXE : transducteur piézoélectrique
Clavier 16 touches en matrice (Mécanorma)
CIs : 2 plaques époxy 85 x 110 mm simple face

Photo 4. - Raccordement du clavier à la carte annexe.



COMPLEMENT POUR RELAIS « EJP »



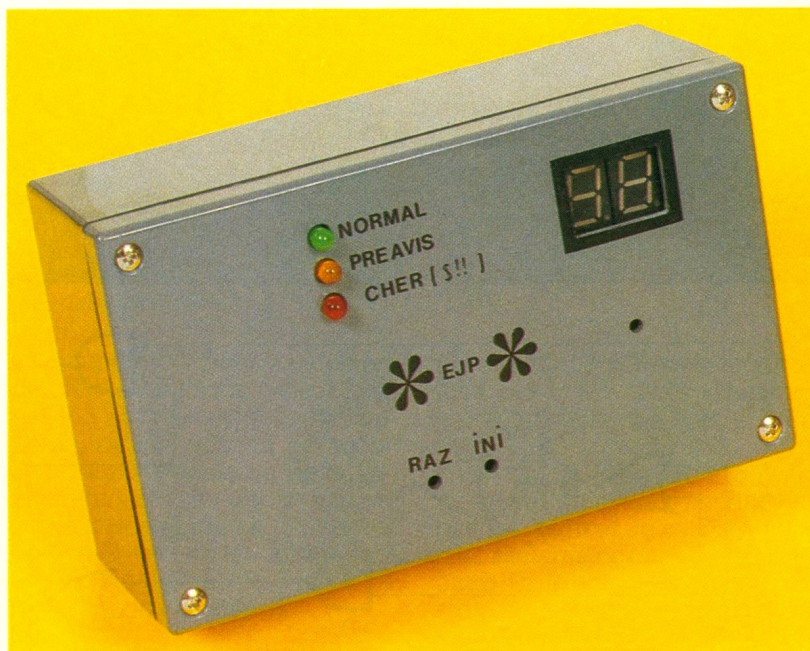
Le module dont il est question dans cet exposé est destiné à être associé au relais EJP installé par EDF lorsqu'un abonné décide de souscrire un tel type de contrat. Ce module exploite les informations disponibles à la sortie du relais de façon à prévenir l'abonné qu'il se situe ou non dans une période « de pointe ».

PRECISIONS SUR L'ABONNEMENT EJP

L'abonnement EJP (traduire « électricité jour de pointe ») est proposé par EDF aux abonnés qui peuvent se dispenser d'utiliser l'énergie électrique les jours de grosses consommations, en particulier pendant l'hiver.

Dans la pratique, entre le 1^{er} novembre et le 31 mars, les services EDF imposent aux abonnés de « s'effacer » pendant 24 périodes de 18 heures, pendant lesquelles le prix du kilowattheure est de l'ordre de 0,34 F (HT) quel que soit le moment du jour ou de la nuit. Bien entendu, l'électricité n'est pas coupée pendant les périodes de pointe mais le prix du kilowattheure est suffisamment dissuasif pour que l'abonné réduise de lui-même sa consommation en modifiant par exemple son mode de chauffage ou en reportant au lendemain une lessive ou un repassage qui peuvent attendre.

Cette politique permet d'éviter à EDF d'entreprendre la construction de nouvelles centrales, qui ne serviraient que pendant les quelques jours de l'année où la consommation monte de façon inquiétante.



DEROULEMENT D'UNE PERIODE DE POINTE

La figure 1 montre qu'une période de pointe est annoncée à 6 h 30 le matin par le passage au niveau haut du signal Préavis. Trente minutes plus tard, donc à 7 heures, débute la période de pointe proprement dite qui se

manifeste par un état haut du signal Asservissement jusqu'à 1 heure le matin suivant. Si la journée suivante est aussi une période de pointe pour EDF, le cycle recommence, sinon les signaux Préavis et Asservissement restent à l'état bas.

LE RELAIS EJP

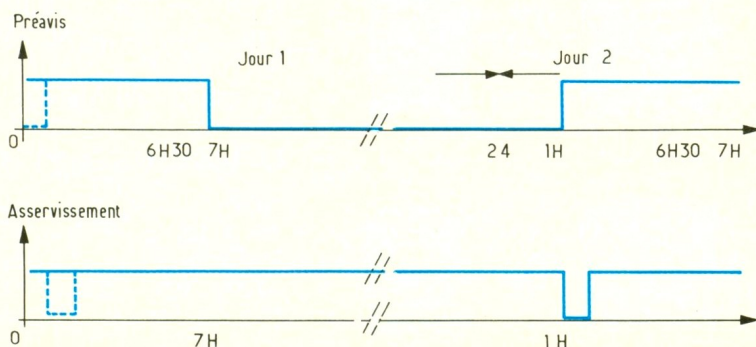
C'est le rôle du relais EJP, qui reçoit les informations véhiculées par le réseau depuis les centres EDF, que de générer les signaux précédemment évoqués.

La figure 2, montre l'organisation interne de ce relais.

– Les contacts 1 et 2 servent à alimenter le relais lui-même.

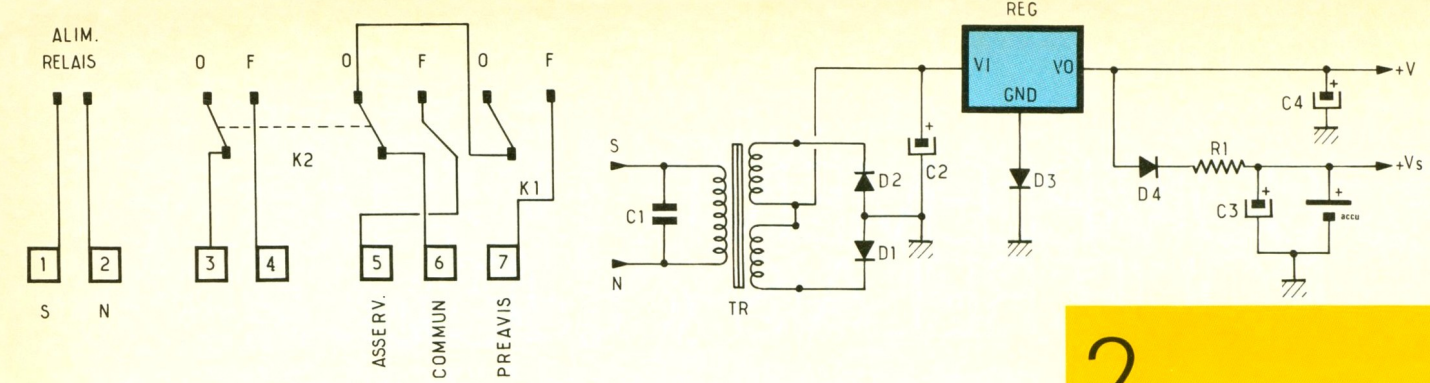
– Pendant la phase de préavis, les contacts 6 et 7 sont réunis (K₁ fermé).

– Pendant la phase d'asservissement, K₂ bascule et c'est au tour des contacts 5 et 6 d'être

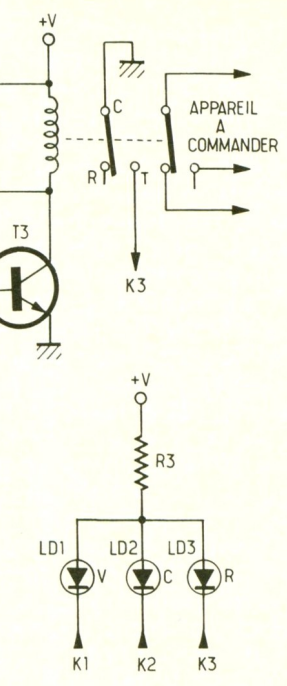
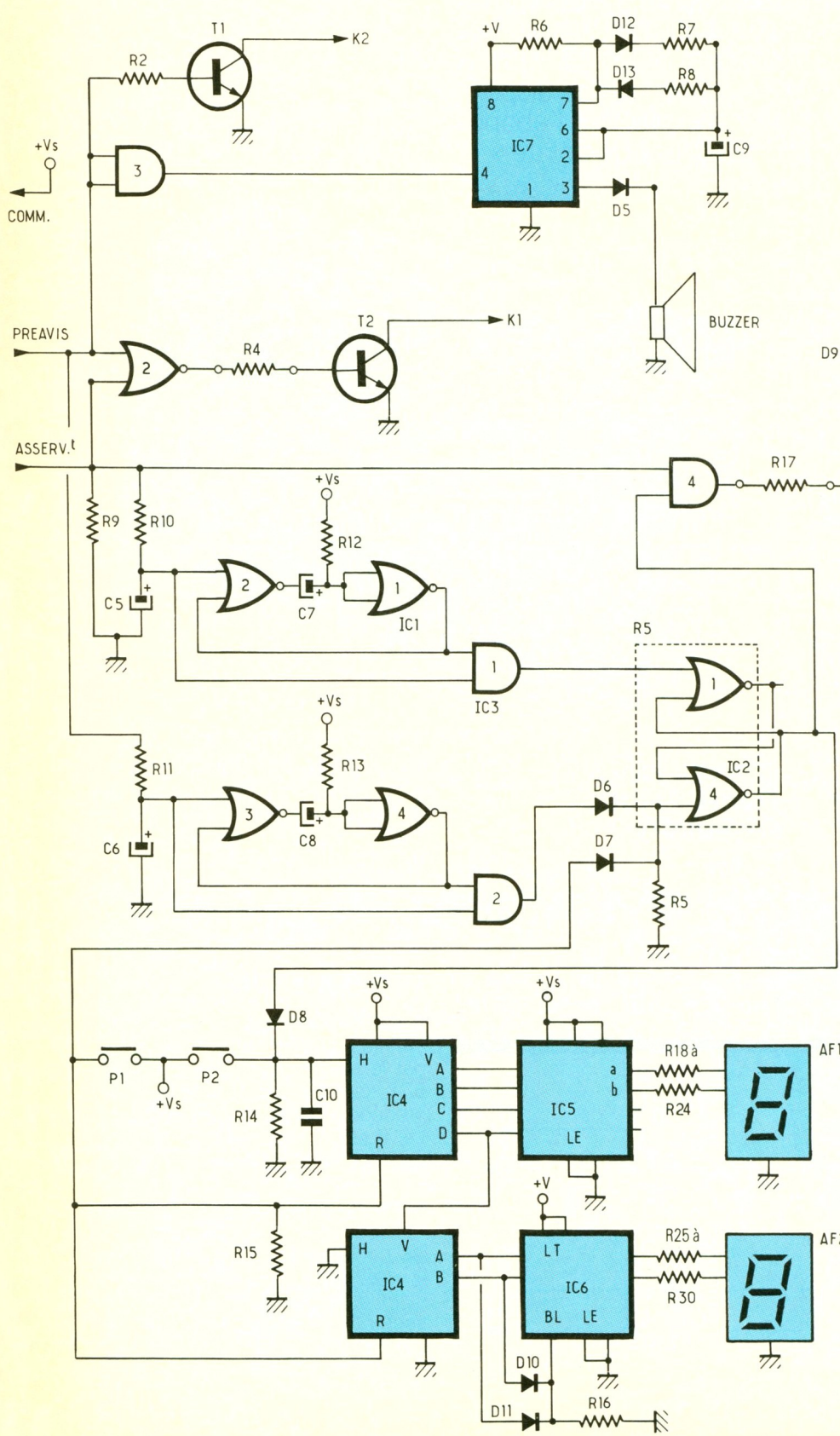


1

Fonctionnement sur une période.



- 2 Détails du relais.
- 3 Schéma de l'alimentation.
- 4 Schéma électronique.



réunis (de même pour 3 et 4, qui permettent au compteur de basculer en position heure de pointe et de comptabiliser les kilowattheures à plus de 3 F !). Le particulier n'a accès qu'aux contacts 5, 6, 7, et l'obtention des niveaux « haut » de la figure 1 résulte de la connexion de la borne 6 (commun) à un potentiel positif par rapport à la masse.

ETUDE DU MODULE

a) Caractéristiques

Celui-ci utilise les signaux fournis par le relais EJP pour renseigner l'utilisateur sur la situation en cours. Nous avons choisi d'allumer des diodes LED de couleurs différentes.

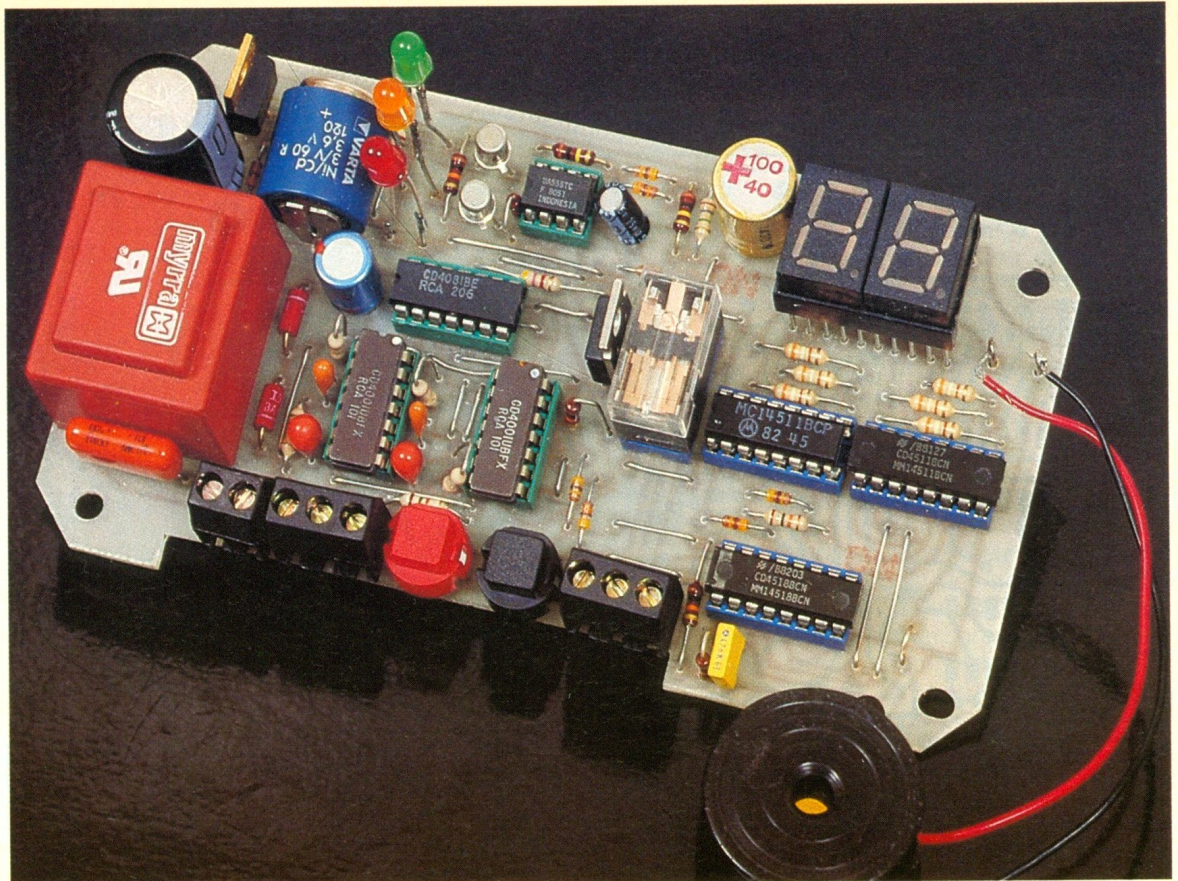


Photo 2. – La carte complète avec ses deux afficheurs.

Période normale : verte.
 Période de préavis : orange + buzzer (intermittent).
 Période de pointe : rouge clignotante.
 L'affichage du nombre de périodes de pointe de l'année en cours est confié à un compteur dont le contenu est sauvegardé en cas de panne secteur. De plus, pendant les périodes de pointe, un relais permet de commander automatiquement la mise hors service des appareils gros consommateurs non indispensables.

b) L'alimentation (fig. 3)

La tension redressée double alternance par D_1 et D_2 est filtrée par C_2 et régulée par un régulateur 5 V positif hissé à 5,7 V grâce à D_3 .
 La sortie directe (+V) alimente tous les éléments qui, en cas de panne secteur, n'ont pas besoin d'être maintenus sous tension. Cette même tension (+ V) recharge en permanence un accumulateur de 3,6 V et 120 mAh de capacité. La tension disponible aux bornes de l'accumulateur (+Vs) alimente toute la logique et surtout le compteur dont l'état ne doit pas se modifier en cas de panne. La diode D_4 évite à l'accu de se décharger dans les éléments de visualisation pendant

les coupures secteur. Le courant de charge de l'accu (valeur fixée par R_1) est de quelques milliam-pères, ce qui ne peut en aucun cas nuire à la durée de vie de cet élément. En cas de panne, le courant débité par ce dernier est de 2 à 3 mA, ce qui assure une autonomie de près de 3 jours, ce qui est donc très suffisant.

c) Le schéma d'ensemble (fig. 4)

1° Pilotage des éléments de signalisation

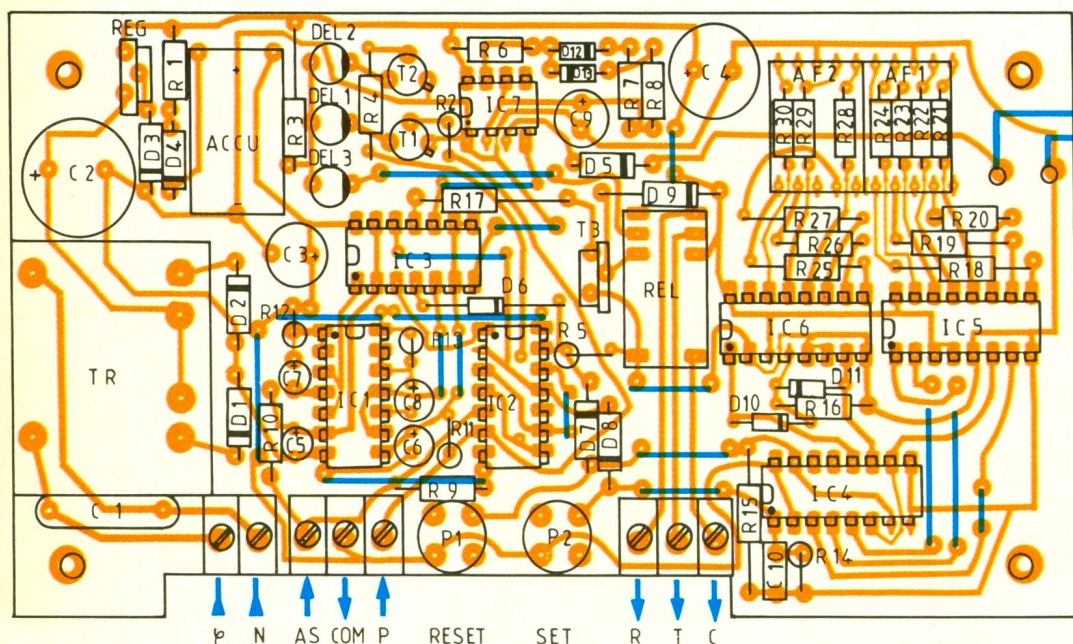
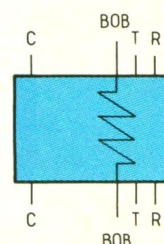
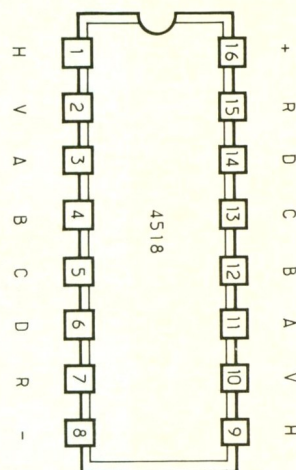
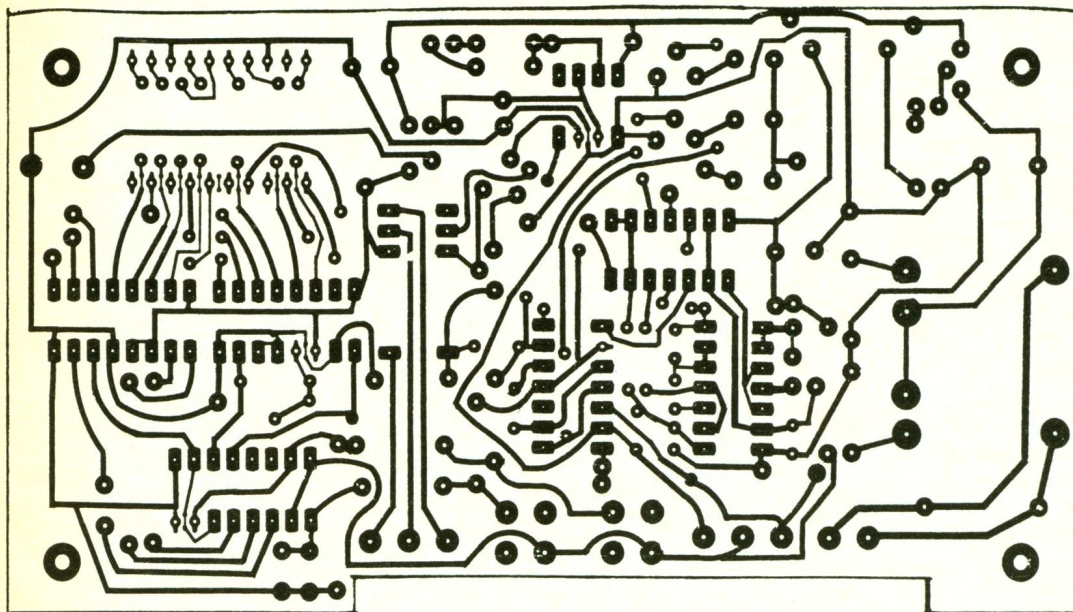
En période normale, les signaux Préavis et Asservissement sont à « 0 », la sortie de la porte NOR₂ de IC₂ est donc à « 1 », rendant T₂ conducteur, la LED verte est allumée.
 En mode Préavis, T₁ est conducteur puisque ce signal est à « 1 », et la LED orange est illuminée. D'autre part, la patte 4 de IC₇ étant aussi au niveau « 1 », ce circuit intégré, qui n'est en fait qu'un 555 câblé en astable, est validé. On obtient en sortie de IC₇ grâce à D_{12} , D_{13} , R_7 , R_8 un signal carré dont la durée de l'état haut est très faible par rapport à celle de l'état bas. Le buzzer (à électronique intégrée) est donc alimenté périodiquement pendant une durée suffisante pour

prévenir l'abonné sans toutefois lui « casser les pieds » pendant les 20 minutes que dure le préavis.

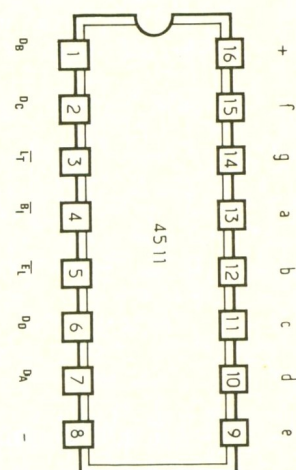
La diode D_5 a pour but d'éviter au buzzer de sonner pendant les pannes secteur, car IC₇ n'étant plus alimenté normalement par la patte 8, le fonctionnement correct de ce circuit n'est plus garanti. La porte ET₂ et IC₃ assure pour sa part une meilleure mise à 0 de la patte 4 de IC₇ en dehors de la période de préavis. Pendant la phase d'Asservissement, T₃ est rendu conducteur, ce qui a pour conséquence de faire basculer le relais en position travail et alimente de ce fait la LED rouge, qui est un modèle clignotant de façon à attirer l'attention. Le second circuit du relais est utilisable pour commander un relais de puissance, car il ne faut pas compter sur ce modèle pour piloter une charge de puissance.

2° Logique de contrôle et compteur

Ce qui est à craindre avec les montages reliés directement ou indirectement au secteur, ce sont les pannes et les aléas de fonctionnement liés aux retours de la tension. Nous avons donc muni les deux entrées de signaux agissant sur l'état du compteur de circuits de type monostable



BUZZER



qui introduisent des constantes de temps et des retards permettant de limiter ce genre de problème.

En particulier, le signal préavis n'est pris en compte qu'après une durée voisine de $T = 0,7 \cdot R_{11} \cdot C_6$ et pendant une durée $T = 0,7 \cdot R_{12} \cdot C_8$. Il en va de même pour le signal d'asservissement. Il résulte de cela que la bascule RS réalisée avec les portes 1 et 4 de IC₂ est commandée par des signaux « propres ». Le signal Préavis sert pour la remise à « 0 » et le signal Asservis-

sement pour la mise à « 1 ».

Le poussoir P₁ sert à imposer une remise à « 0 » de la bascule RS et du compteur début novembre au début de la période hivernale. Le poussoir P₂ sert à l'initialisation du compteur dans le cas où l'on installerait ce dispositif par exemple après qu'un certain nombre de jours de pointe ont déjà été enregistrés. Le condensateur C₁₀ élimine les éventuels rebonds de P₂ et D₈ empêche l'application d'un niveau « 1 » à la sortie Q de la bascule RS.

Le circuit intégré IC₄ devant

compter jusqu'à 24, nous avons utilisé un 4518 (double compteur BCD) associé à deux décodeurs 7 segments des 4511 pour afficheur cathode commune. Ce type de décodeur présentant la particularité de pouvoir éteindre les « zéros » inutiles, les sorties A et B de la décade des dizaines sont appliquées à la porte OU constituée de D₁₀, D₁₁ et R₁₆. La sortie de ce OU reste à « 0 » tant que l'on n'atteint pas le dixième jour de pointe, ce qui éteint automatiquement le « zéro » des dizaines.

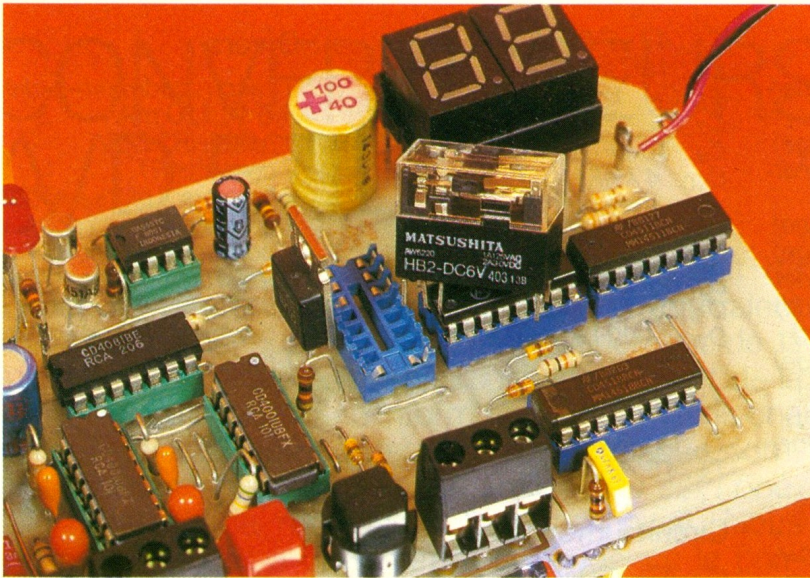


Photo 3. – Le relais prend place sur un support.

REALISATION PRATIQUE

L'ensemble des éléments du schéma y compris l'alimentation et son transformateur se trouve rassemblé sur un même circuit imprimé (fig. 5). L'implantation des composants est donnée à la figure 6.

Des borniers pour CI permettent d'assurer les connexions avec le relais EJP. Pour faciliter le passage des fils sous le circuit imprimé, la zone de CI située en face de ces borniers doit être ôtée (à la scie et à la lime) avant l'insertion des composants.

Les afficheurs sont fixés sur un support à wrapper (plus haut que les modèles pour CI), ce qui per-

met d'amener ceux-ci au niveau de la face avant du boîtier. On soudera les résistances situées sous ce support en premier pour éviter tout problème par la suite.

Les diodes LED doivent avoir des pattes de longueur telle quelles affleurent à la surface du boîtier. Les poussoirs P₁ et P₂ sont des modèles D₆ fixés sur le circuit imprimé et non accessibles directement en façade. Deux trous devront être percés en face avant devant les poussoirs. L'action sur ceux-ci s'effectuera par exemple grâce à un petit tournevis. Cette disposition évitera toute modification non voulue du contenu du compteur, par exemple par des enfants.

Une fois terminé, le montage

peut être testé sur table. On pourra simuler les signaux à l'aide d'un simple inverseur à trois positions, mais, que l'on se rassure, le montage ne possédant aucun élément de réglage, si tout est câblé comme il convient il fonctionne du premier coup après quelques minutes nécessaires à la charge de l'accu, à moins que celui-ci n'ait été chargé au préalable, auquel cas le fonctionnement est immédiat.

Le circuit imprimé a été dessiné pour permettre son insertion dans un boîtier Retebox (modèle Gibox RG3). Des tiges filetées de 3,5 mm de diamètre seront utilisées pour assurer la fixation du circuit imprimé au couvercle du boîtier après que celui-ci a été usiné (trous pour les afficheurs, les LED et les poussoirs). Les tiges filetées seront vissées dans les ergots en plastique du couvercle, deux écrous par tige assureront le maintien du CI à la bonne hauteur.

La partie inférieure du boîtier sera percée selon vos besoins pour le passage des fils de liaison vers le relais EJP et éventuellement vers l'élément à commander.

Nous sommes certains que les abonnés au tarif EJP (ainsi que ceux qui auront découvert ses avantages au travers de cet article) trouveront un intérêt à ce montage puisqu'ils seront avertis grâce à lui du passage au tarif « heure de pointe » et qu'en plus un certain nombre de leurs appareils seront délestés automatiquement pendant ces périodes.

Photo 4. – Un accumulateur cadmium-nickel maintient la logique sous tension.

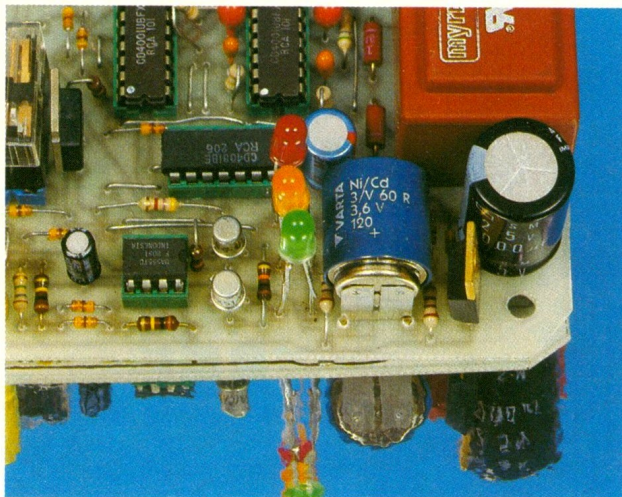


Photo 5. – Les trois DEL signalent l'état de la période.



NOMENCLATURE DES COMPOSANTS

Résistances

*R*₁ : 270 Ω (rouge, violet, marron)
*R*₂ : 10 kΩ (marron, noir, orange)
*R*₃ : 270 Ω (rouge, violet, marron)
*R*₄ : 10 kΩ (marron, noir, orange)
*R*₅ : 10 kΩ (marron, noir, orange)
*R*₆ : 100 kΩ (marron, noir, jaune)
*R*₇ : 100 kΩ (marron, noir, jaune)
*R*₈ : 1,8 MΩ (marron, gris, vert)
*R*₉ : 15 kΩ (marron, vert, orange)
*R*₁₀ : 560 kΩ (vert, bleu, jaune)
*R*₁₁ : 560 kΩ (vert, bleu, jaune)
*R*₁₂ : 390 kΩ (orange, blanc, jaune)
*R*₁₃ : 390 kΩ (orange, blanc, jaune)
*R*₁₄ : 10 kΩ (marron, noir, orange)
*R*₁₅ : 10 kΩ (marron, noir, orange)
*R*₁₆ : 10 kΩ (marron, noir, orange)
*R*₁₇ : 4,7 kΩ (jaune, violet, rouge)
*R*₁₈ à *R*₃₀ : 390 Ω (orange, blanc, marron)

Condensateurs

*C*₁ : 0,1 μF 400 V
*C*₂ : 1 000 μF 25 V

*C*₃ : 47 μF 25 V
*C*₄ : 100 μF 25 V
*C*₅, *C*₆ : 1 μF 16 V tantale
*C*₇, *C*₈ : 0,47 μF 16 V tantale
*C*₉ : 10 μF 16 V
*C*₁₀ : 47 nF

Diodes

*D*₁, *D*₂ : 1N4001 ou équivalent
*D*₃, *D*₄, *D*₅, *D*₆, *D*₇, *D*₈, *D*₉, *D*₁₀,
*D*₁₁ : 1N914 ou 1N4148

Transistors

*T*₁, *T*₂ : 2N2222
*T*₃ : TIP 127

Circuits intégrés

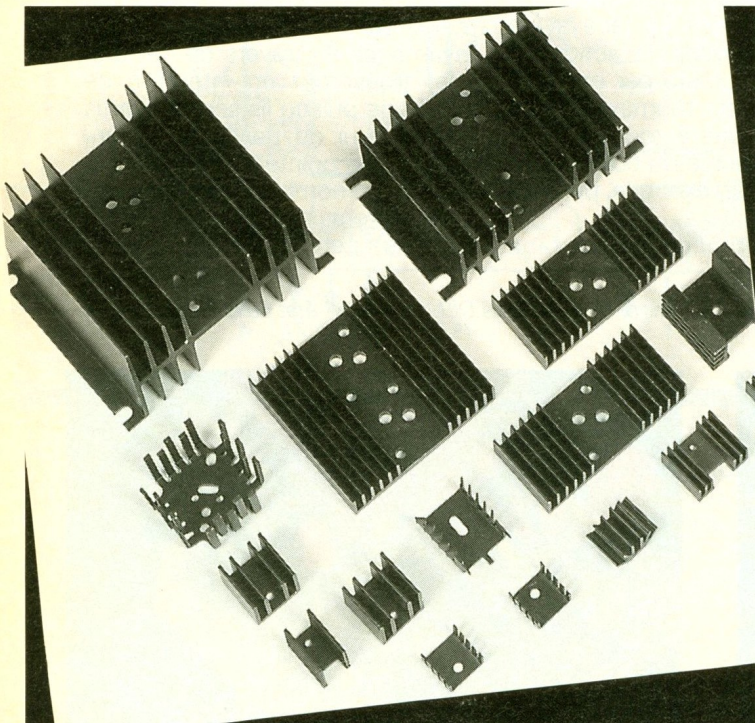
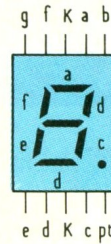
*IC*₁, *IC*₂ : CD4001
*IC*₃ : CD4081
*IC*₄ : CD4518
*IC*₅, *IC*₆ : CD4511
*IC*₇ : UA555
 1 reg. 7805

LED

1 verte
 2 oranges
 3 rouges clignotantes
 Afficheurs DIS1806 ou TIL702
 ou LTS547

Divers

1 accu cadmium-nickel Varta,
 3,6 V, 120 mAh
 1 relais HB2 D6V
 2 contacts RT
 2 borniers 3 plots à souder
 1 bornier 2 plots à souder
 2 poussoirs *D*₆ pour CI
 Supports pour CI
 1 boîtier Retexbox Gibox RG3
 1 buzzer actif
 1 transfo 1,8 VA, 220 V, 2 × 9 V



POUR LE REFROIDISSEMENT DE VOS SEMI-CONDUCTEURS

Une gamme complète de dissipateurs.

Documentation contre 4,60 F en timbres-poste à :
IDDM 21, RUE DE FECAMP 75012 PARIS - Tél. : 34.61.06.11 - Fax : 34.61.11.05

NOM Prénom
 Adresse
 Code postal Ville

ALIMENTATION 0-30 V/2,5 A

+

GÉNÉRATEUR 2 MHz 8102

+

MULTIMÈTRE HC 32
 2 000 points
 AC/DC
 Ohmmètre
 Test diodes
 Continuité
 mémoire

+

PLAQUE DE CONNEXIONS GL12
 840 points

=

LE LABO COMPLET N° 1
5 032^F TTC
 - 40 %
= 3019,20^F TTC
 + port : 50^F

VOTRE LABO JUSQU'A 40 ou 45 % MOINS CHER, C'EST CHEZ :

+

GÉNÉRATEUR 2 MHz avec fréquencemètre 100MHz

+

MULTIMÈTRE HC 779
 Gammes auto-
 matiques - 2000 pts
 AC/DC - 10 A -
 Ohmmètre - Test
 diodes - Transis-
 tormètre mémoire

+

PLAQUE DE CONNEXIONS GL24
 1680 points

=

LE LABO COMPLET N° 2
6 998^F TTC
 - 45 %
= 3848,90^F TTC
 + port : 50^F

FRANÇAISE D'INSTRUMENTATION - 1, rue Eugène-Piat - 10000 TROYES
Tél. : (16) 25.78.15.55 - Fax : (16) 25.74.11.88 - Téléx : 842 921
 Facilités de paiement - Documentation détaillée sur demande

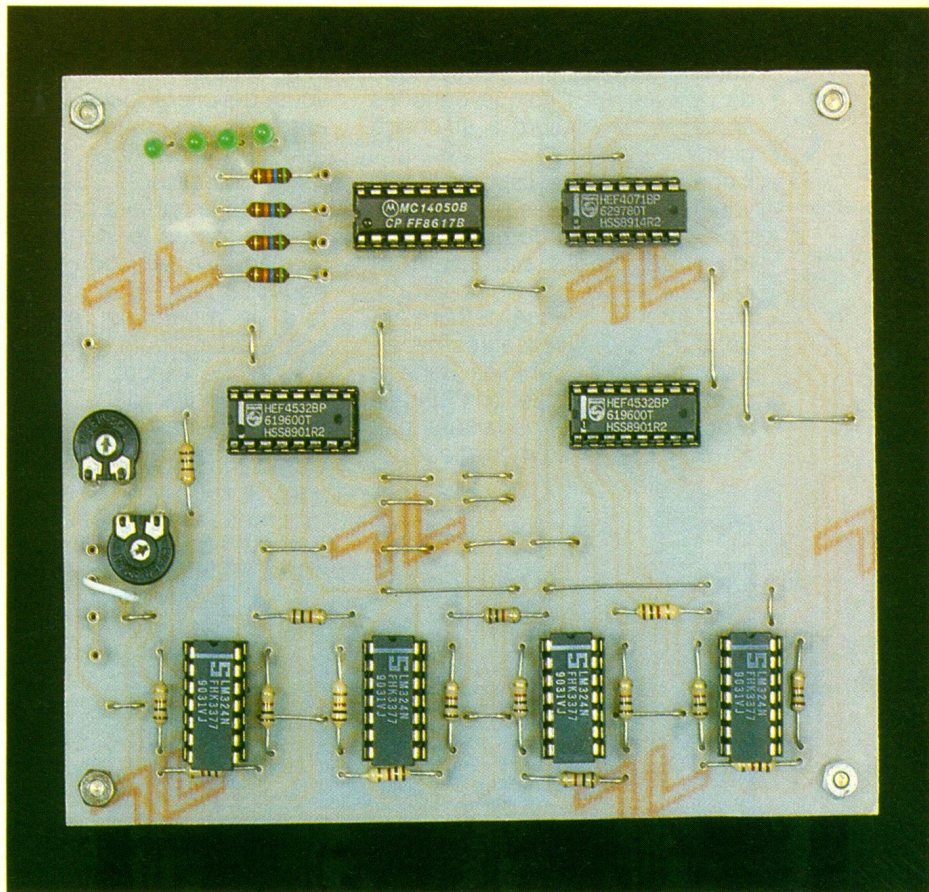
CONVERTISSEURS A/D ET D/A



Sous ce titre quelque peu mystérieux, il s'agit de convertir une grandeur analogique en son équivalent digital ou numérique, pour profiter pleinement de la puissance de traitement des circuits logiques et de la possibilité de stocker une information codée dans une mémoire électronique ou encore sur un disque compact. La conversion digital vers analogique est l'opération inverse de restitution du signal initial. Nous nous attacherons à bien mettre en évidence le principe de ce procédé désormais courant, et l'aspect didactique des modules proposés devrait pleinement satisfaire nos lecteurs avides d'expérimentation.

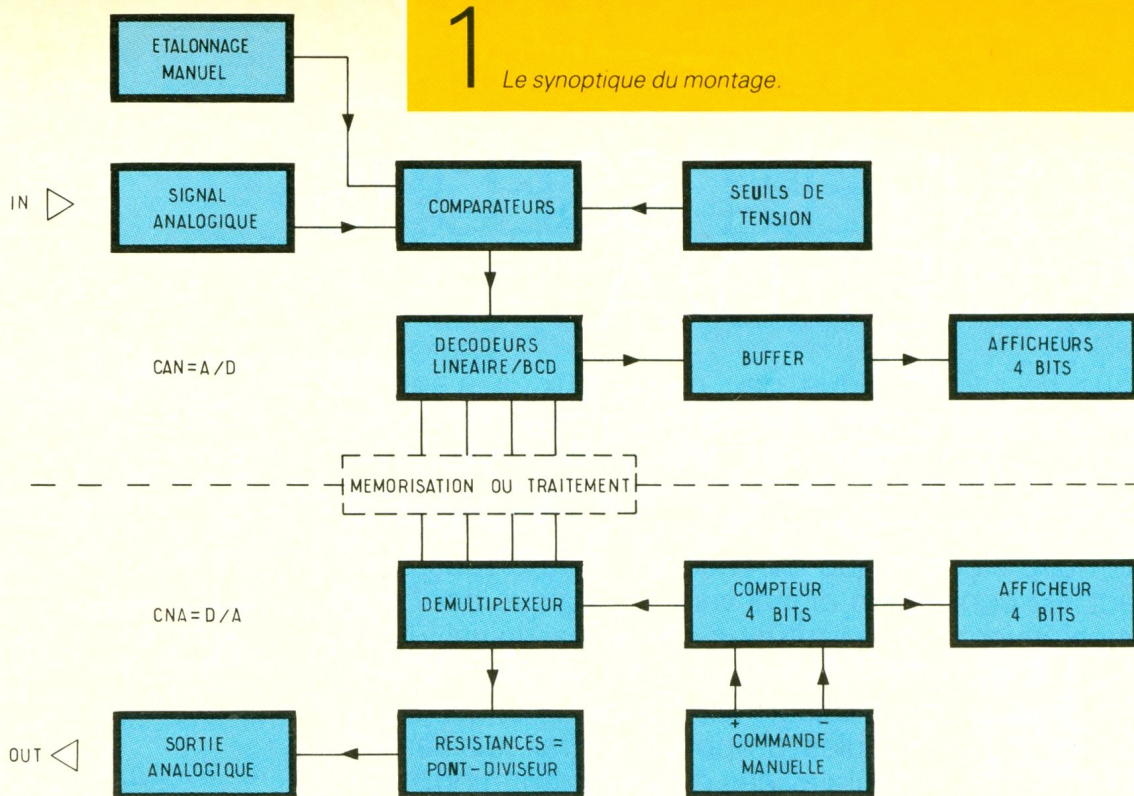
A - PRINCIPE DE LA REALISATION (fig. 1)

Il est quelquefois nécessaire ou rentable de pouvoir modifier l'aspect d'un signal, de le transformer en vue d'une meilleure exploitation, en un mot de le convertir sous une forme différente. Prenons un exemple très simple : la représentation de l'heure se fait habituellement en heures et minutes, mais elle peut également se traduire sous une forme décimale, quelquefois plus pratique à utiliser lors des calculs. Ainsi deux heures et trente minutes peut s'écrire 2,5 heures. Il est également fondamental en électronique de pouvoir « numériser » une grandeur analogique, afin de lui faire profiter des possibilités de traitement de l'électronique digitale, avec ses compteurs, registres et mémoires diverses. L'exemple le plus frappant est sans nul doute l'avènement quasi irréversible du disque compact qui est tout bonnement en train de balayer le bon vieux disque de vinyle ! En effet, sous un volume plus restreint, on parvient à enregistrer les informations audio sous la forme d'alvéoles microscopiques, lues ensuite par un fin faisceau laser, avec une pureté et une fiabilité jamais atteinte à ce jour. Ce véritable petit miracle technologique consiste à traduire les faibles signaux captés par le micro (= analogique) en signaux numériques (= digital). On parle bien d'un



convertisseur analogique/numérique également noté A/N, qui analyse le signal d'entrée et le transforme quasi instantanément en un nombre binaire souvent codé sur 16 bits, c'est-à-dire une valeur comprise entre 0 et 65535.

A la lecture du disque compact, un autre convertisseur opère la transformation inverse et restitue les valeurs binaires lues sous la forme analogique initiale, propre à être écoutée par l'utilisateur sur son haut-parleur. Ces convertisseurs A/D et D/A sont très cou-



rants dans l'industrie, sur les variateurs utilisés en électronique de puissance et jusque dans les appareils de mesure à affichage digital.

Il nous a semblé indispensable de vous en dévoiler les grands principes par le biais de deux modules didactiques parfaitement complémentaires. Nous avons, bien entendu, refusé de faire appel à des circuits intégrés hyperperformants disponibles dans le commerce, et à quel prix ! Fidèle à notre devise, nous faisons plutôt de *l'Electronique pratique*, et

l'utilisation de nombreux circuits intégrés connus et économiques vous dévoilera parfaitement les entrailles des modules et facilitera surtout l'accès aux points tests intéressants. Sans vouloir atteindre la parfaite précision des convertisseurs existants, et sans faire appel à des codages sophistiqués, nous vous promettons tout de même de retrouver en sortie du module D/A la valeur analogique exacte telle qu'elle a été introduite dans le module A/D. Précisons encore que notre convertisseur portera sur une

échelle de 4 bits seulement, c'est-à-dire que la grandeur analogique à traiter sera précise à $1/15^e$ près de sa valeur totale.

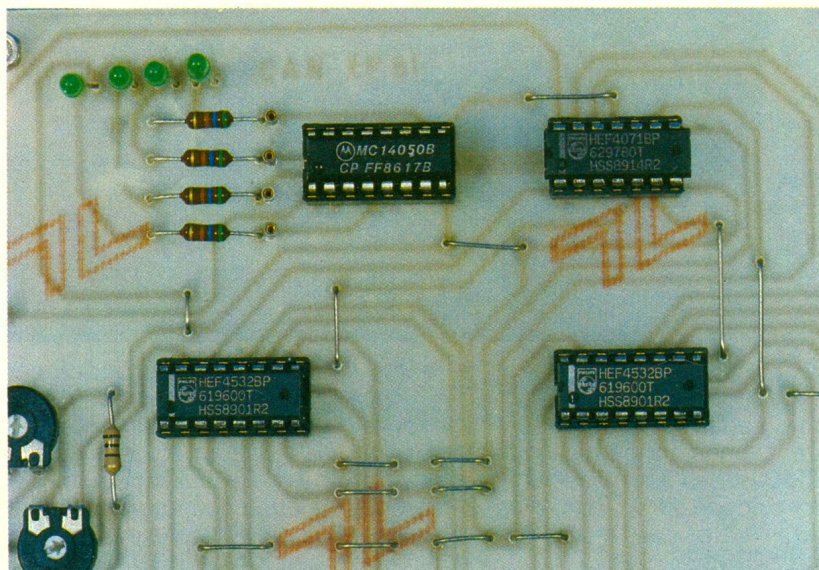
B - ANALYSE DES SCHEMAS ELECTRONIQUES

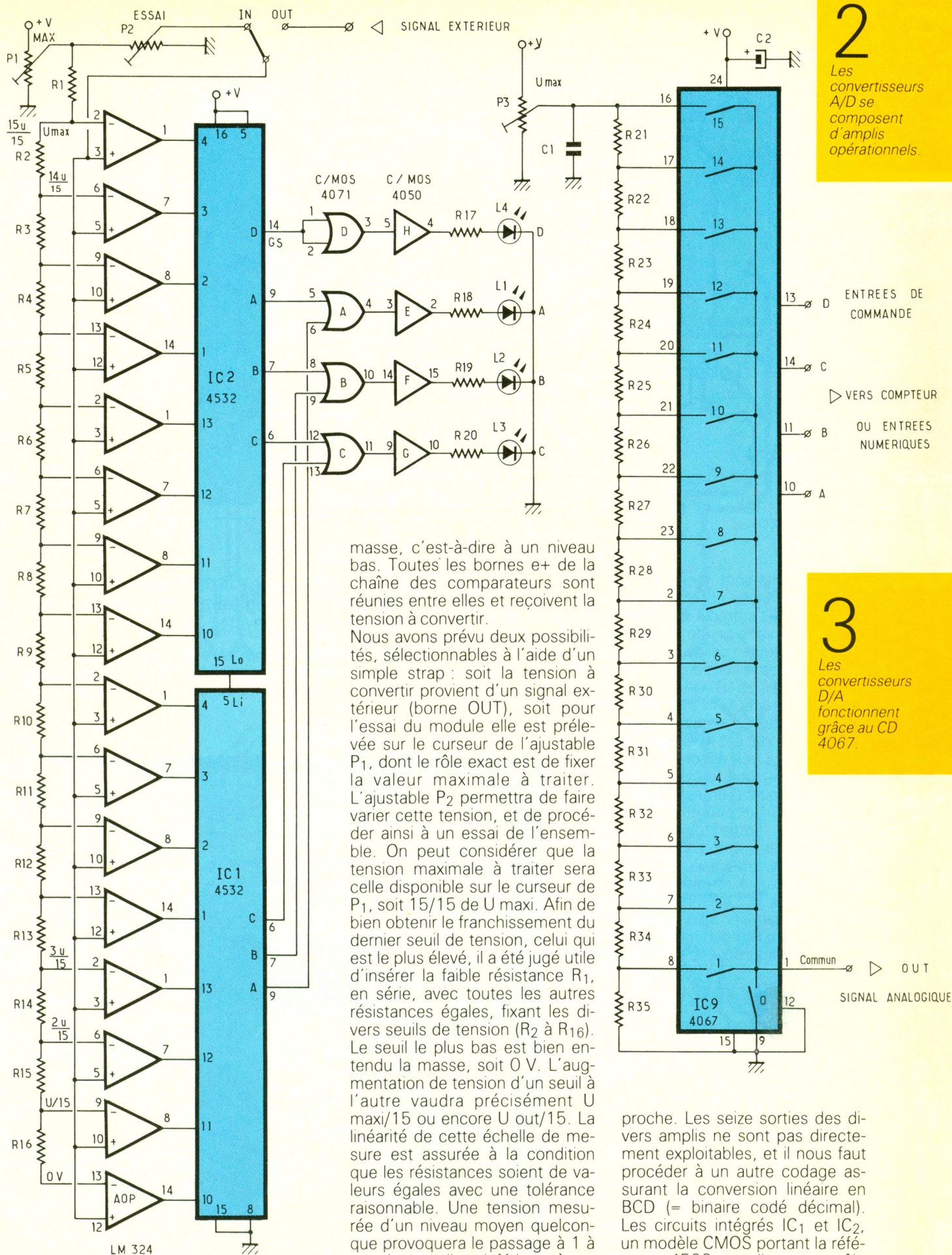
a) Convertisseur analogique-numérique (A/D)

Le schéma de principe est donné à la **figure 2** et regroupe rien de moins que seize ampli-op, tous montés en comparateur de tension. Nous parviendrons à simplifier ce tracé en utilisant quatre circuits LM 324, comportant chacun quatre amplis : ils sont bien connus de nos lecteurs, car souvent utilisés dans ces pages. Rappelons tout d'abord que l'ampli-op monté en comparateur de tension fonctionne de la manière suivante : si son entrée non inverseuse $e+$ est soumise à une tension supérieure, ne serait-ce que de quelques millivolts, à celle présente sur son entrée inverseuse $e-$, la sortie de l'ampli-op en question passe brutalement au niveau de la tension positive d'alimentation, considérée comme un état logique haut ou niveau 1.

Dans le cas contraire, la sortie reste proche du niveau de la

Photo 2. - Le circuit imprimé reste aéré.





2
Les convertisseurs A/D se composent d'amplis opérationnels.

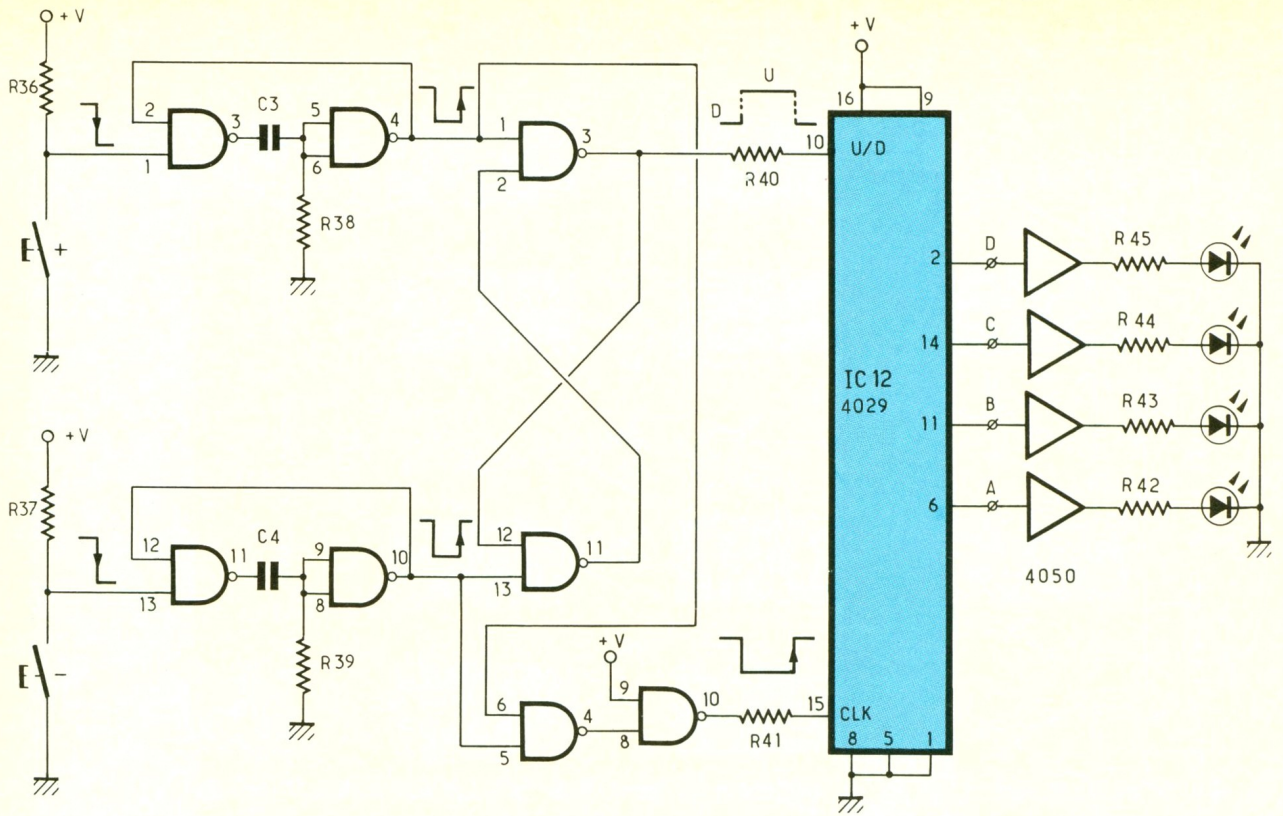
masse, c'est-à-dire à un niveau bas. Toutes les bornes e+ de la chaîne des comparateurs sont réunies entre elles et reçoivent la tension à convertir. Nous avons prévu deux possibilités, sélectionnables à l'aide d'un simple strap : soit la tension à convertir provient d'un signal extérieur (borne OUT), soit pour l'essai du module elle est prélevée sur le curseur de l'ajustable P1, dont le rôle exact est de fixer la valeur maximale à traiter. L'ajustable P2 permettra de faire varier cette tension, et de procéder ainsi à un essai de l'ensemble. On peut considérer que la tension maximale à traiter sera celle disponible sur le curseur de P1, soit 15/15 de U maxi. Afin de bien obtenir le franchissement du dernier seuil de tension, celui qui est le plus élevé, il a été jugé utile d'insérer la faible résistance R1, en série, avec toutes les autres résistances égales, fixant les divers seuils de tension (R2 à R16). Le seuil le plus bas est bien entendu la masse, soit 0 V. L'augmentation de tension d'un seuil à l'autre vaudra précisément U maxi/15 ou encore U out/15. La linéarité de cette échelle de mesure est assurée à la condition que les résistances soient de valeurs égales avec une tolérance raisonnable. Une tension mesurée d'un niveau moyen quelconque provoquera le passage à 1 à tous les ampli-op inférieurs à celui correspondant au seuil le plus

3
Les convertisseurs D/A fonctionnent grâce au CD 4067.

proche. Les seize sorties des divers amplis ne sont pas directement exploitables, et il nous faut procéder à un autre codage assurant la conversion linéaire en BCD (= binaire codé décimal). Les circuits intégrés IC1 et IC2, un modèle CMOS portant la référence 4532 remplissent ce rôle particulier. Il est évident que deux

4

Une première application très simple.



circuits sont nécessaires si nous souhaitons obtenir 4 bits en sortie. Si l'entrée 1 du circuit IC₁ est soumise à un état haut, il est clair que toutes celles qui lui sont inférieures le sont aussi, à savoir 13, 12, 11 et 10. On applique le mot binaire 00011111 sur les huit entrées du circuit, le code binaire en sortie est 100, soit 4 en décimal. Il faut encore préciser à cet instant que le circuit intégré IC₁ est muni d'un sélecteur automatique de priorité au plus haut rang, sortie toujours prioritaire sur les autres en cas de présentation simultanée d'un état haut sur plusieurs entrées, ce qui est le cas ici. Les sorties sur IC₁ s'effectuant sur 3 bits seulement, on trouve le mot binaire 100 respectivement sur les sorties C, B, A (bornes 6, 7 et 9). Le circuit IC₂ est inopérant tant que IC₁ n'aura pas atteint sa valeur maximale ; de même, le premier circuit sera bloqué lorsque le second est à travailler. La suite se devine aisément : quelques portes OR récupèrent les diverses sorties pour les diriger vers l'étage buffer chargé d'illuminer les LED L₁, L₂, L₃ et L₄, qui représentent le code binaire sur 4 bits, correspondant au signal à traiter. La sortie GS du second décodeur sera notre bit de poids fort, soit D sur le schéma.

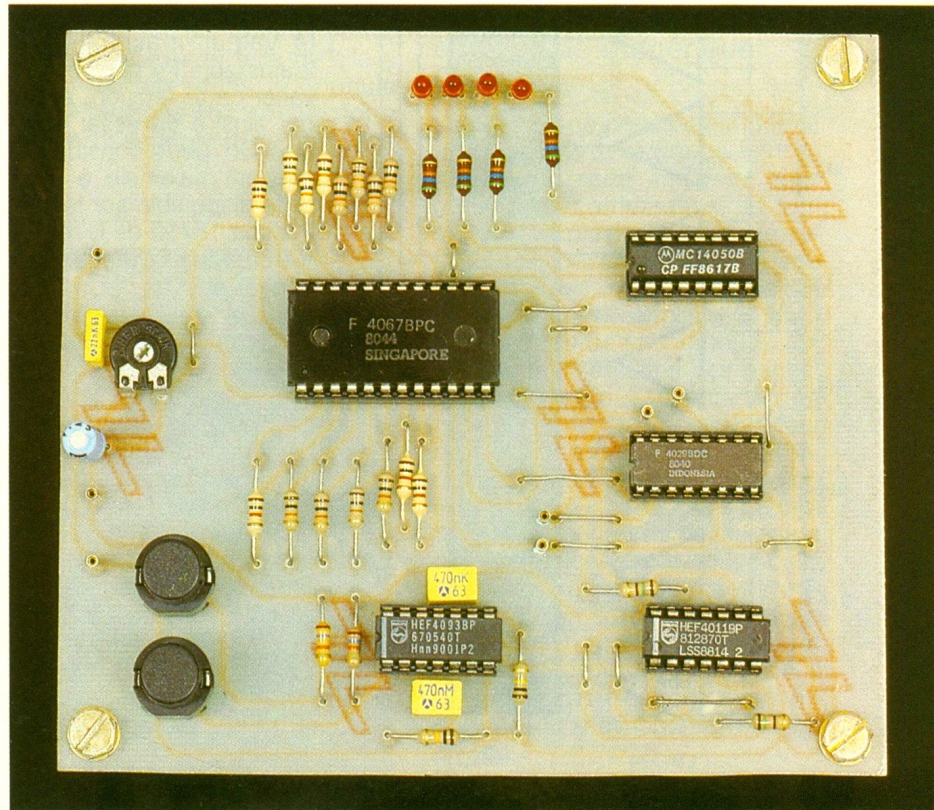
Un signal évoluant entre 0 et U maxi en volts sera converti en

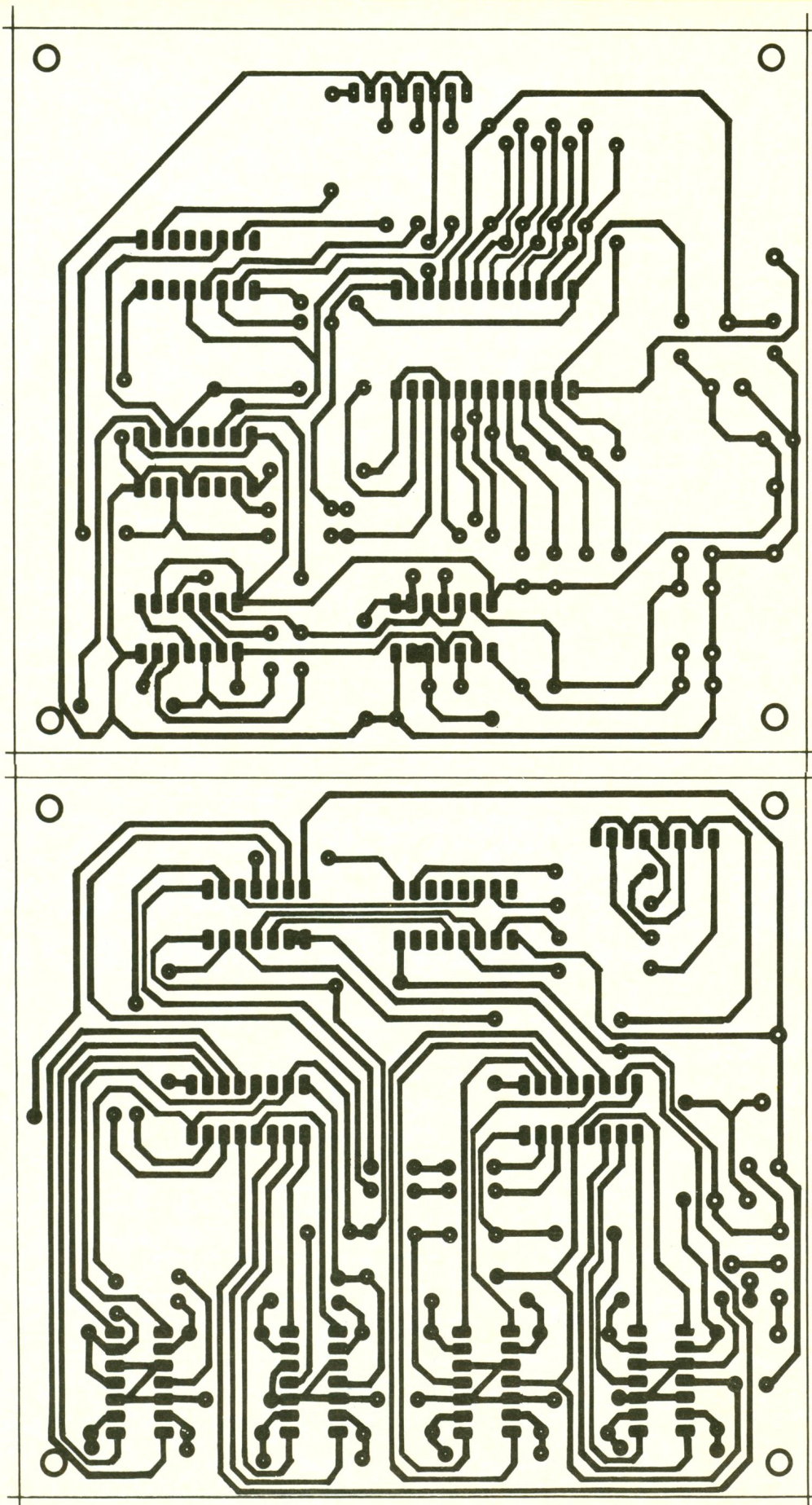
une valeur binaire comprise entre 0000 et 1111. Les performances modestes de notre petit schéma suffisent néanmoins à bien nous faire saisir le principe de fonctionnement de ce premier étage CAN.

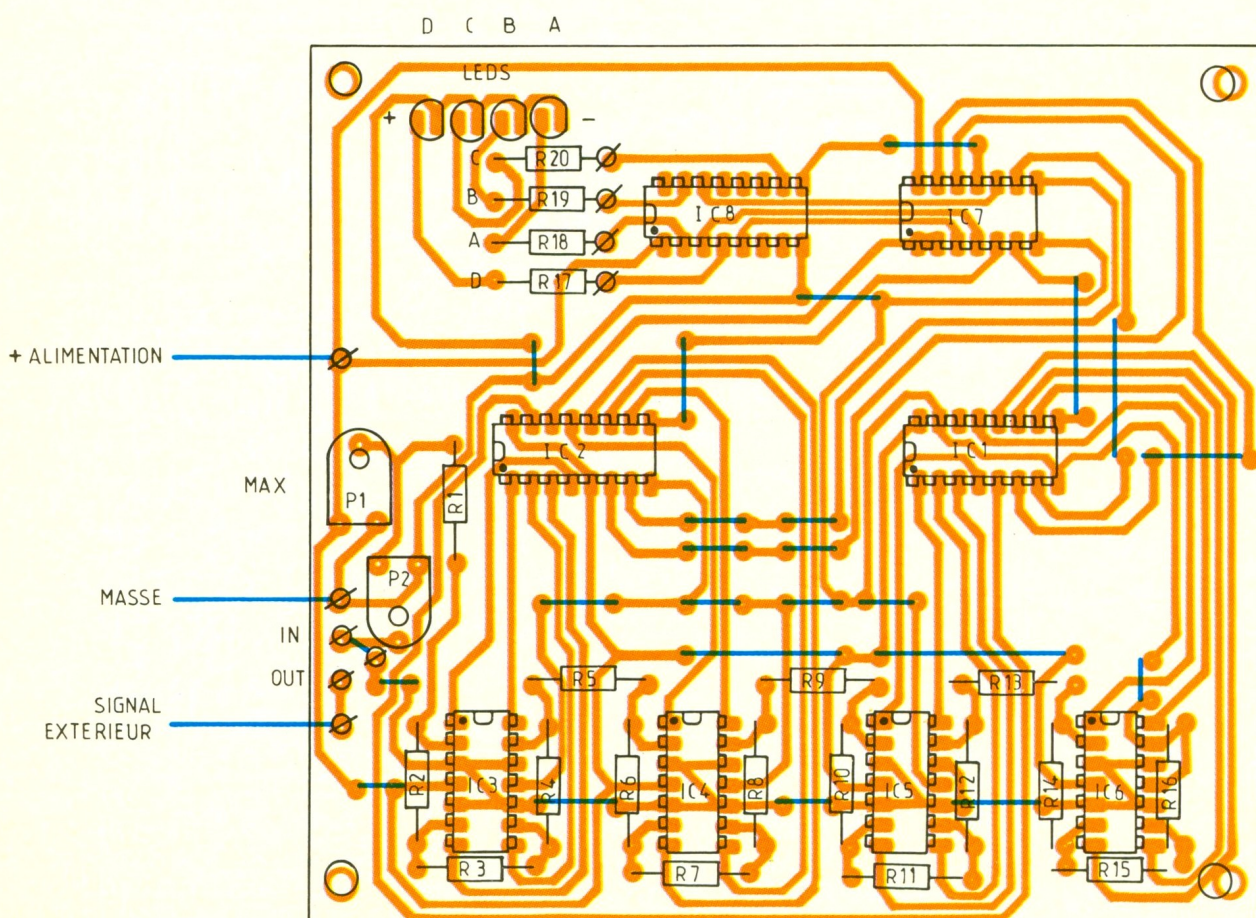
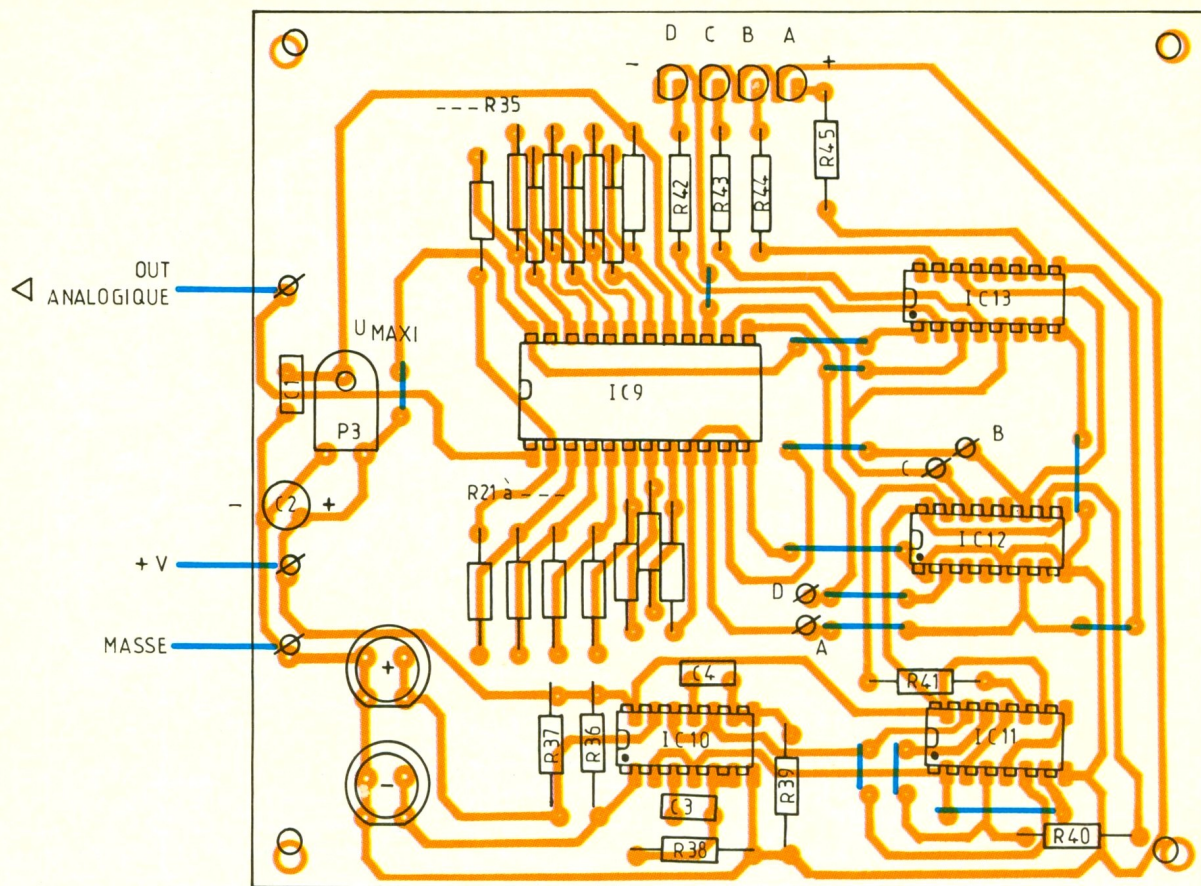
b) Convertisseur digital-analogique : (D/A)

Il peut également se nommer étage CNA. Son principe est basé sur celui des ponts diviseurs

Photo 3 - Vue globale de la carte d'application.







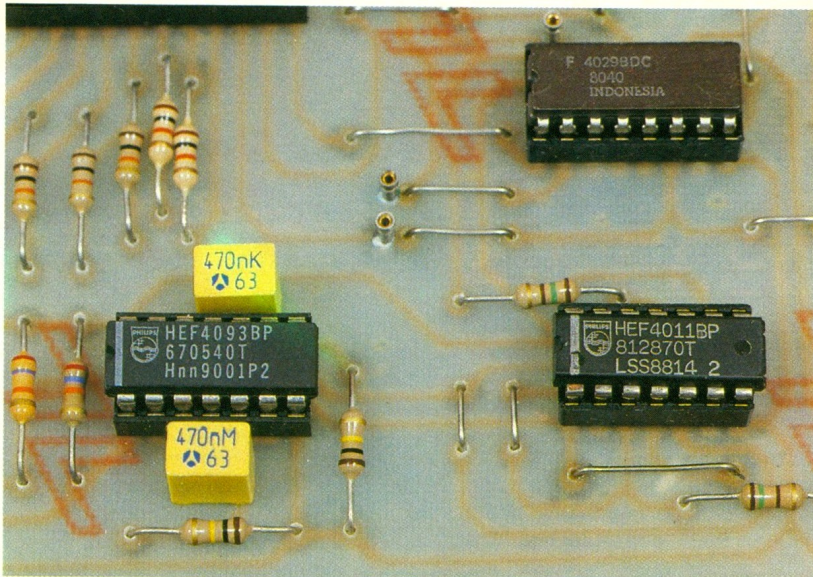


Photo 4. – Les circuits intégrés demeurent classiques.

de tension que chacun se doit de connaître déjà. Deux résistances de valeurs égales permettent d'obtenir au point milieu des deux une tension exactement égale à la moitié de la tension d'entrée. Un nombre plus élevé de résistances ou une résistance plus forte d'un côté permet de modifier aisément la valeur du facteur de division du pont ainsi

constitué. En modifiant par shuntage, à l'aide d'un commutateur à plusieurs positions, le nombre de résistances mises en service, on peut aisément admettre que la tension de sortie du signal dépend étroitement du rapport de la partie basse et de la partie haute du pont diviseur. Le schéma de notre circuit se trouve à la figure 3 et il apparaît de suite

que le gros du travail sera réalisé par le circuit IC₉, un circuit CMOS portant la référence 4007. Ce circuit est un multiplexeur/démultiplexeur à seize canaux. De quoi s'agit-il ? Il possède quatre entrées A, B, C, et D qui sont affectées à l'adressage ; une autre broche nommée « commun » est destinée au signal analogique à transmettre ou à recevoir, selon l'utilisation que l'on compte faire du circuit intégré, qui possède encore seize bornes d'entrées, sorties, qui représentent les seize canaux d'utilisation.

Le fonctionnement est le suivant : si la broche 15 d'inhibition est soumise à un état bas, le circuit se comporte comme un commutateur à seize directions, dont l'une seule est validée à la fois, bien entendu, selon le code binaire appliqué sur les entrées A, B, C et D.

Si, par exemple, on applique le code 0101, on réalise la liaison entre la borne commune 1 et le canal 5 en sortie. La résistance d'un canal passant est d'environ une centaine d'ohms, mais de plusieurs mégohms si ce canal n'est pas activé. La chaîne des résistances R₂₁ à R₃₅, de valeurs égales, forme le pont diviseur uti-

MULTIMETRES CIRKIT

Grandes Capacités! Petits Prix!



TM 115 F399,-
 • 26 plages d'utilisation
 - Volt dc : 200mV - 1kV
 - Volt ac : 200mV - 750V
 - Courant dc : 200µA - 10A
 - Courant ac : 200µA - 10A
 - Résistance : 200Ω - 2000MΩ
 Fonction Test : Continuité; diode; HFE
 Précision de base dc ±/ 0.5%



TM 135 F499,-
 • 39 plages d'utilisation
 - Volt dc : 200mV - 1kV
 - Volt ac : 200mV - 750V
 - Courant dc : 200µA - 10A
 - Courant ac : 200µA - 10A
 - Résistance : 200Ω - 2000MΩ
 - Température : 200°, 750°C
 - Capacité : 2nF - 20µF
 Fonction Test : Continuité; diode; HFE

TM 175 F599,-
 • 39 plages d'utilisation
 - Volt dc : 200mV - 1kV
 - Volt ac : 200mV - 750V
 - Courant dc : 200µA - 10A
 - Courant ac : 200µA - 10A
 - Résistance : 200Ω - 2000MΩ
 - Capacité : 2nF - 20µF
 - Fréquence : 2kHz - 10MHz
 Fonction Test : Continuité; diode; HFE; Logique et LED.



TM 5365 F429,-
 • 30 plages d'utilisation
 - Volt dc : 200mV - 1kV
 - Volt ac : 200mV - 750V
 - Courant dc : 200µA - 10A
 - Courant ac : 200µA - 10A
 - Résistance : 200Ω - 2000MΩ
 - Fréquence : 2kHz - 200kHz
 - Capacité : 2nF - 20µF
 Fonction Test : Continuité; diode; logique; HFE



TM 5375 F399,-
 • 24 plages d'utilisation
 - Volt dc : 200mV - 1kV
 - Volt ac : 200mV - 750V
 - Courant dc : 200µA - 10A
 - Courant ac : 200µA - 10A
 - Résistance : 200Ω - 20MΩ
 - Fréquence : 2kHz - 20MHz
 Fonction Test : Continuité; diode; HFE
 Précision de base dc ± 0.5%



TM 5315 F239,-
 • 10A DC
 - Volt dc : 200mV - 1kV
 - Volt ac : 200mV - 750V
 - Courant dc : 200µA - 10A
 - Résistance : 200Ω - 20MΩ
 Précision de base dc ± 0.8%
 Dimensions : 128 x 72 x 33mm



Mode de paiement : Chèque bancaire, C.C.P. ou mandat joint à la commande, Prix TTC, port compris (France Métropolitaine)



Distributeur agréé
PARIS - ILE DE FRANCE
 302, rue des Pyrénées
 75020 PARIS
 Tél. : (1) 43.49.32.30
 Fax : (1) 43.49.42.91

Tous les multimètres CIRKIT ont en commun :
 Boîtiers résistants ABS, protection de surcharge pour chaque plage d'utilisation, 1 an de garantie, affichage à cristaux liquides 3 1/2 digits, remise à zéro automatique, affichage automatique de la polarité, durée de fonctionnement 200 h sur piles. Livrés avec notice technique, piles et fiches de test.

BON DE COMMANDE (à retourner à Cirkit ou Compo Pyrénées)

Nom :
 Adresse :
 Téléphone :
TM 175 à F 599,-TM 5365 à F 429,-
TM 135 à F 499,-TM 5375 à F 399,-
TM 115 à F 399,-TM 5315 à F 239,-
 Prix TTC, Port compris (France Métropolitaine)
 Mode de paiement : Chèque bancaire ou CCP Mandat
 Montant.....F (ci-joint)



IMPORTATEUR FRANCE :
CIRKIT Sarl,
 28, rue Servient, 69003 Lyon
 Tél. : 78.62.31.82, Fax : 78.62.31.95

lisé. Pour transmettre la tension d'entrée intégralement vers la sortie, il suffit de mettre la broche 16 en relation avec la borne 1 commune. Il suffit pour cela de produire le code 1111 aux entrées binaires, activant ainsi le contact 15 interne. A un code binaire sur 4 bits correspond bien une tension analogique précise, dont la valeur maximale est ajustée par P₃ et prélevée directement sur l'alimentation de la plaquette. Une tension extérieure peut faire l'objet d'une conversion de la même manière, mais il faudra, dans ce cas précis, ôter l'ajustable P₁ inutile.

Pour compléter ce module et obtenir aisément un code BCD sur 4 bits, nous lui avons adjoint les composants de la figure 4. On trouve le circuit compteur/décompteur IC₁₂, le très célèbre 4029. Il peut passer de 0000 à 1111 ou inversement, à l'aide des deux poussoirs notés + et -. Deux bascules monostables précèdent une simple bascule RS, et génèrent ensemble les divers signaux de commande, sur l'entrée CLOCK d'une part, et sur l'entrée UP/DOWN d'autre part. Une visualisation sur quatre LED est disponible et permet de bien suivre l'évolution du comptage binaire. Cette option ne sera utile que si vous souhaitez convertir manuellement un signal digital en son équivalent analogique. Dans le cas le plus courant, il vous suffira de relier les modules entre eux et d'injecter un signal à l'entrée du bloc A/D pour le voir ressortir intact sur le bloc D/A.

Il sera possible ultérieurement de mettre en œuvre divers registres à décalage ou mémoires avant de procéder à la conversion du signal numérisé. Nous ne manquerons pas de vous proposer quelques applications dans les mois à venir. Une alimentation sur pile de 9 V pourra suffire pour chaque module.

C – REALISATION PRATIQUE (fig. 5, 6, 7, 8)

Nous vous proposons deux plaquettes cuivrées de dimensions identiques et aucune mise en coffret puisqu'il s'agit ici de montages plutôt utilitaires. Le procédé photographique semble le plus apte à reproduire ces dessins à l'échelle 1 comme à l'habi-

tude. De nombreux straps ne purent être évités, du moins avec un circuit imprimé à simple face ; des supports sont conseillés pour les divers circuits, moins pour les excès de chaleur lors de l'opération de soudage qu'en raison de la facilité de maintenance éventuelle. Quelques picots tulipes ou poignards faciliteront les diverses liaisons à prévoir entre les deux modules. La mise au point de l'ensemble est aisée : sur la plaquette du convertisseur A/D, il faut tout d'abord fixer la valeur de la tension maximale appliquée au sommet de la chaîne des résistances qui forment le pont diviseur. Il faut agir pour cela sur l'ajustable P₁. Pour procéder à un premier essai, il suffit d'utiliser l'ajustable P₂ qui simulera diverses valeurs analogiques. En fait, un signal externe est accepté sur la borne OUT et sera traité de la même manière.

Le module D/A se contente de produire un signal analogique équivalent au nombre binaire appliqué sur ses entrées. Si vous souhaitez récupérer strictement la même valeur maximale, il faut agir sur P₃ pour disposer à la borne 16 de IC₉ d'une tension égale à celle présente sur le curseur de P₁.

Il ne devrait y avoir aucune surprise, et tout capteur physique capable de faire varier une tension pourra prendre place à l'entrée du circuit CAN. Quant à la vitesse de conversion, sachez par exemple que le circuit DAC 0808, souvent utilisé en mode digital vers analogique, réalise une opération en 150 ns avec un taux de précision de + ou - 0,19 %, le tout sur un octet complet. La conversion opposée peut s'effectuer avec le circuit ADC 0804 du même fabricant.

Guy ISABEL

LISTE DES COMPOSANTS

1° Convertisseur A/D

a) Semi-conducteurs

IC₁, IC₂ : décodeur linéaire BCD CMOS 4532

IC₃, IC₄, IC₅, IC₆ : quadruple ampli-op LM 324

IC₇ : quadruple OR CMOS 4071

IC₈ : sextuple buffer CMOS 4050

L₁, L₂, L₃, L₄ : diode LED 3 mm verte

b) Résistances (toutes valeurs 1/4 W)

R₁ : 100 Ω (marron, noir, marron)

R₂ à R₁₆ : 1 kΩ (marron, noir, rouge)

R₁₇ à R₂₀ : 560 Ω (vert, bleu, marron)

P₁ : ajustable horizontal 30 kΩ

P₂ : ajustable horizontal 4,7 kΩ

c) Divers

5 supports à souder 14 broches

3 supports à souder 16 broches

Coupleur pression pile 9 V

Picots à souder

2° Convertisseur D/A

a) Semi-conducteurs

IC₉ : démultiplexeur 4 bits CMOS 4067

IC₁₀ à IC₁₁ : quadruple NAND CMOS 4011 ou 4093

IC₁₂ : compteur/décompteur CMOS 4029

IC₁₃ : sextuple buffer CMOS 4050

L₅, L₆, L₇, L₈ : diode LED 3 mm rouge

b) Résistances (toutes valeurs 1/4 W)

R₂₁ à R₃₅ : 10 kΩ (marron, noir, orange)

R₃₆, R₃₇ : 27 kΩ (rouge, violet, orange)

R₃₈, R₃₉ : 100 kΩ (marron, noir, jaune)

R₄₀, R₄₁ : 150 Ω (marron, vert, marron)

R₄₂ à R₄₅ : 560 Ω (vert, bleu, marron)

P₃ : ajustable horizontal 100 kΩ

c) Condensateurs

C₁ : plastique 22 nF

C₂ : chimique vertical 22 μF/25 V

C₃, C₄ : plastique 470 nF

d) Divers

Support à souder 24 broches

2 supports à souder 16 broches

2 supports à souder 14 broches

2 poussoirs pour circuit imprimé

Coupleur pression pile 9 V

Picots à souder

UNE CLOCHE ELECTRONIQUE

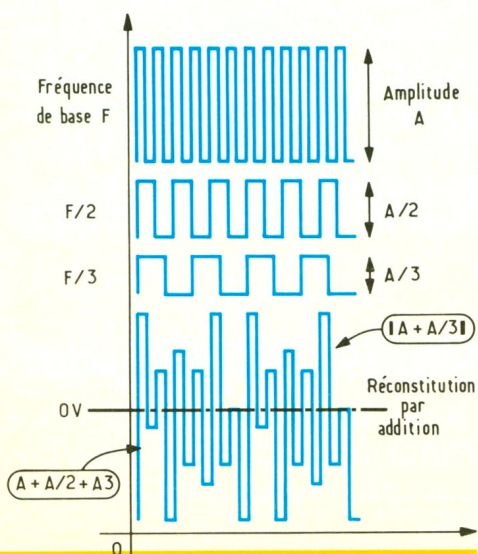
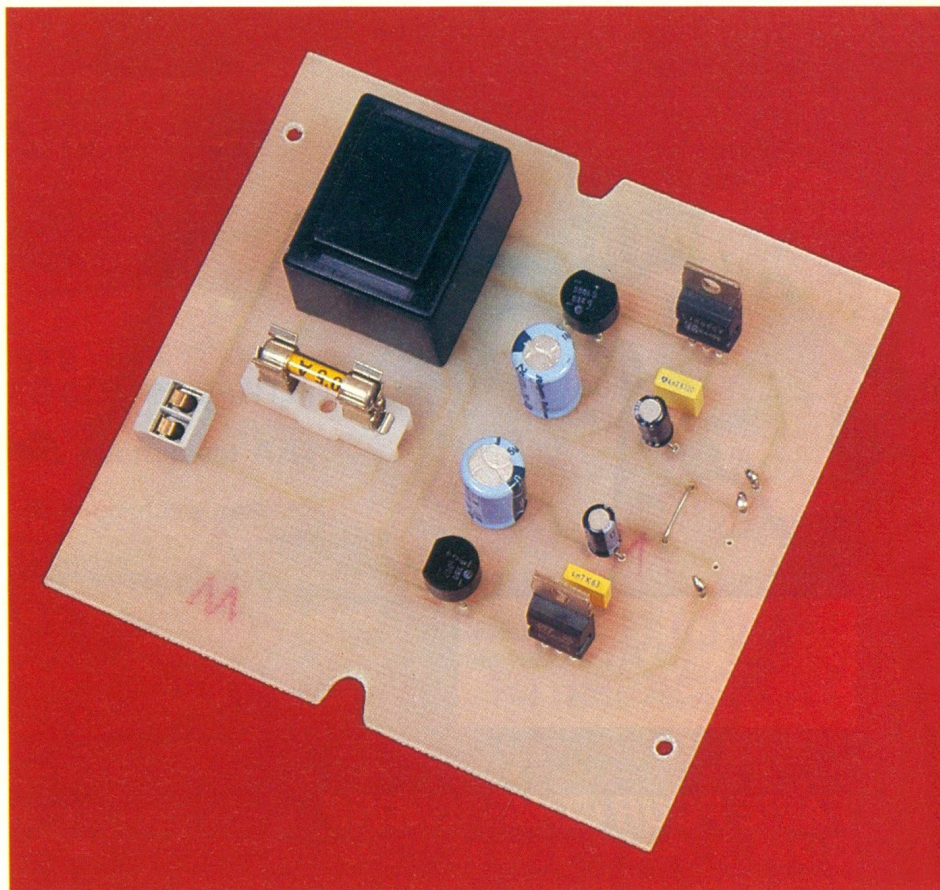


La musique électronique moderne utilise fréquemment le synthétiseur, capable de simuler n'importe quel son connu. Le tintement caractéristique d'une cloche ou de plusieurs à l'unisson a été possible par la mise en œuvre du petit circuit SAB 600 de Siemens.

Nous vous proposons une version simpliste mais pédagogique d'un tel module imitateur, qu'il vous sera facile de modifier, de multiplier et enfin d'utiliser pour réaliser, pourquoi pas ? un véritable carillon ou jeu de cloches. Les composants nécessaires sont tous très ordinaires et faciles d'approvisionnement.

A - PRESENTATION DU MONTAGE

La cloche est un instrument de musique fort ancien déjà, dont la forme métallique en coupe renversée se met en vibration lorsqu'on frappe sa surface extérieure avec un marteau ou sa face interne avec un battant. Elle se compose de plusieurs parties, comme la pince, la panse, le cerveau et la couronne. En résonance, la cloche fait entendre une note fondamentale à laquelle s'ajoutent les harmoniques éventuels (octave, quinte, tierce, etc.). Le tracé extérieur et inté-



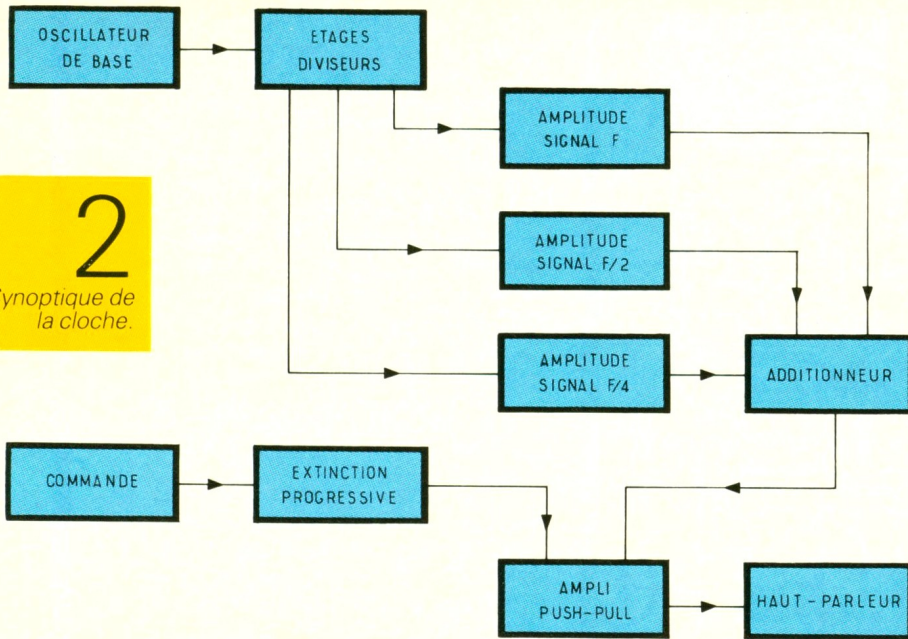
1 Chronogrammes du fonctionnement électronique.

rieur de cet instrument si particulier conditionne sa justesse. Le métal habituellement employé pour la foudre est un bronze spécial, alliage de 80 % de cuivre et de 20 % d'étain. Un ensemble de plusieurs cloches constitue un carillon, instrument de musique traditionnel dans certaines régions, mais tellement malaisé à déplacer en raison de son volume et surtout de sa masse. L'électronique moderne, avec les synthétiseurs par exemple, parvient à imiter d'une manière satisfaisante le son d'une cloche, son particulier, si riche en sonorités métalliques, qui s'atténue lentement à moins qu'un autre choc provoque une nouvelle note

identique. Pour simuler d'une manière correcte le timbre d'une cloche avec des moyens purement électroniques, il suffit de produire un signal carré d'une fréquence F donnée et d'une certaine amplitude A (voir fig. 1). Ce signal est ensuite divisé par 2 en fréquence et en amplitude ; on obtient donc une fréquence $F/2$ avec une amplitude $A/2$. Une troisième composante est souhaitable, valant $F/3$ avec $A/3$ pour tension. L'addition, ou plutôt le mélange de ces trois signaux génère une courbe particulière très complexe et ressemblant à celle d'un son produit par une cloche véritable. A vrai dire, dans notre maquette, la division

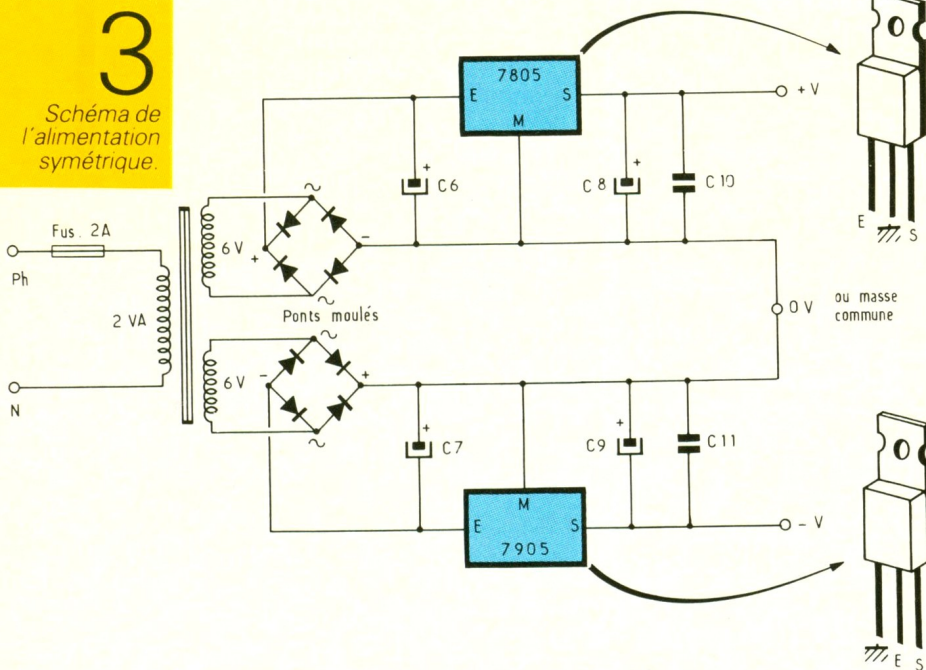
2

Synoptique de la cloche.



3

Schéma de l'alimentation symétrique.



par 3 n'est guère aisée à obtenir, et nous lui avons préféré celle par 4, suivant ainsi la progression binaire 1, 2, 4 (8, 16...). Le résultat est plus simple à obtenir et encore fort honorable du point de vue des sonorités. Il reste à traiter ce signal composite pour lui faire acquérir une atténuation progressive sur l'amplitude, chose facile il est vrai avec la décharge contrôlée d'un gros condensateur chimique... Les heureux possesseurs d'un oscilloscope pourront voir évoluer la courbe construite par addition des trois signaux et juger du résultat à l'oreille. Les autres devront se contenter de mesurer les

amplitudes au moyen d'un multimètre. Consolez-vous, souvent seule l'oreille est bonne conseillère. En construisant plusieurs modules identiques, mais à des fréquences de base différentes, on peut envisager la construction d'un mini-carillon très spectaculaire.

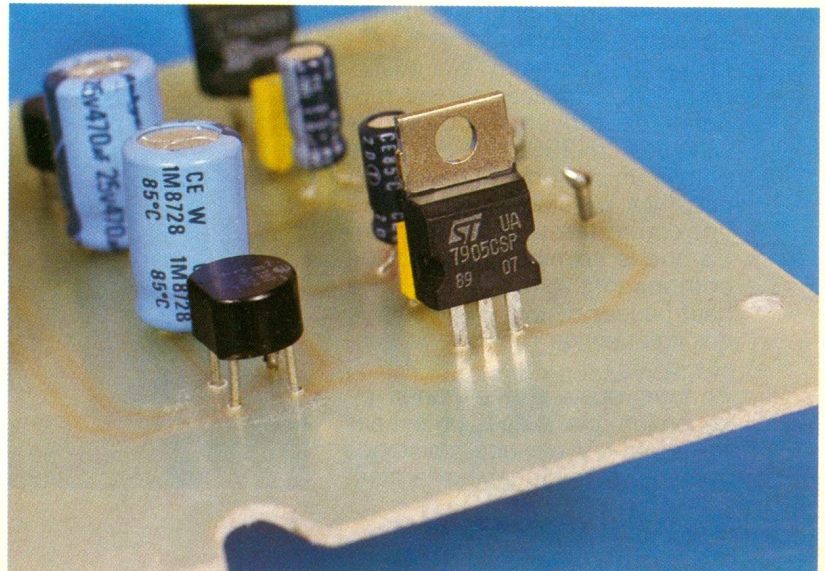
B - ANALYSE DU SCHEMA ELECTRONIQUE

Le schéma synoptique vous est proposé à la fig. 2.

Précisons de suite que nous aurons besoin d'alimenter un ampli-op sous une tension symétrique, pour faire évoluer l'amplitude des signaux par rapport à une masse de référence commune. La figure 2 donne le détail de construction d'une telle alimentation, construction facilitée, il est vrai, par l'utilisation de deux régulateurs intégrés, l'un positif, l'autre négatif. Attention, ils n'ont pas exactement le même brochage et une erreur à ce niveau n'est pas tolérable sous peine de destruction. Un transformateur à deux secondaires alimente deux ponts redresseurs distincts et leur cortège de condensateurs de filtrage. Le 0 V ou masse commune se situe entre le + 5 V et le - 5 V, notés + V et - V sur le schéma, dont l'autre partie est donnée à la figure 3.

Trois portes NAND A, B, C forment un classique oscillateur astable libre, dont la fréquence de base est réglable aisément par l'ajustable P₁, qui pourra avantageusement être remplacé par un potentiomètre en face avant d'un coffret (voir photos). On trouve ensuite le circuit C/MOS 4040

Photo 2. - Le régulateur négatif et son redresseur.



4

Schéma du circuit électronique de la cloche, le signal musical provient du diviseur CD4040 au rythme de l'oscillateur.

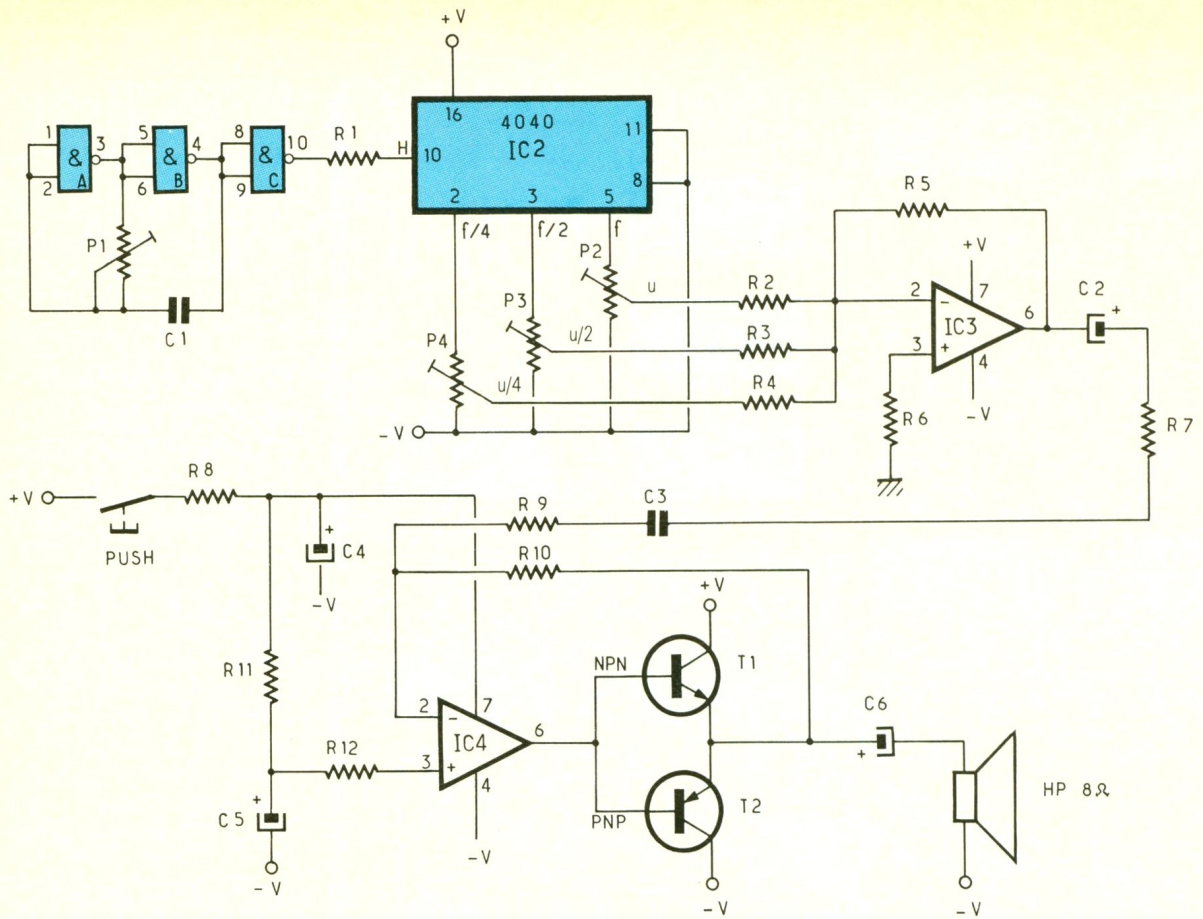
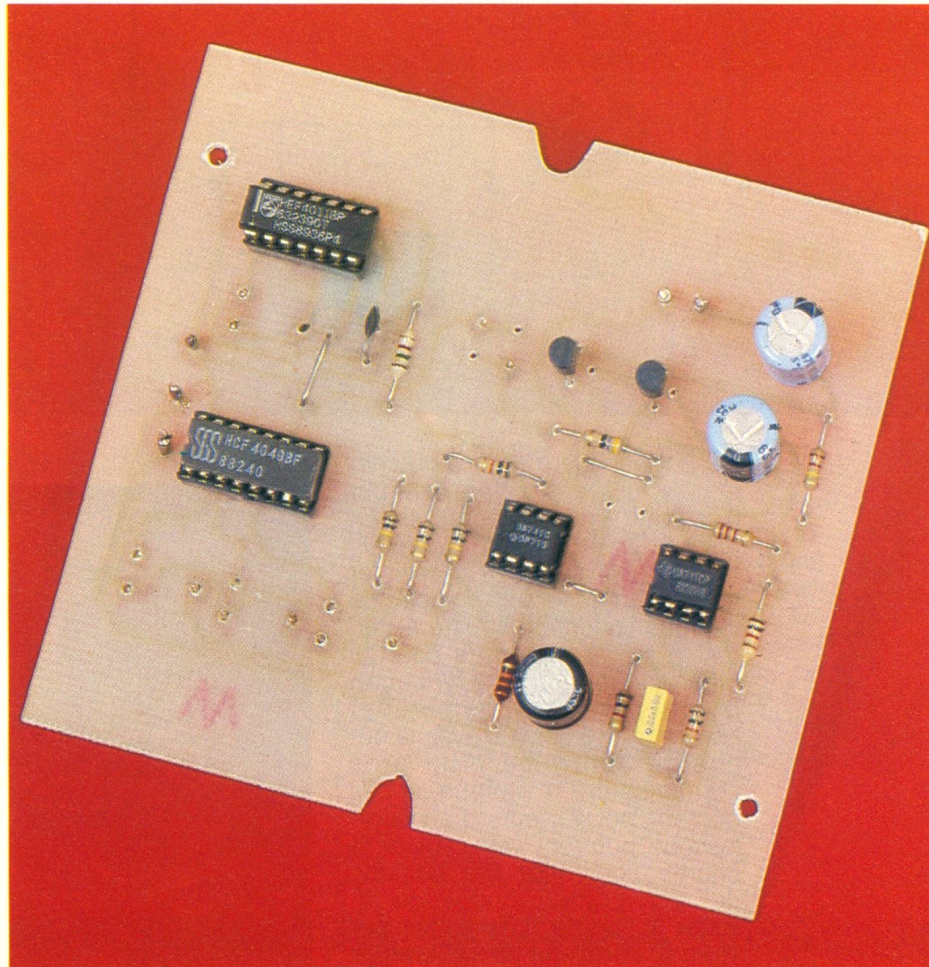


Photo 3. – La carte électronique de la cloche.

contenant de nombreux étages diviseurs par 2. Nous avons choisi bien entendu trois sorties consécutives : une fréquence de base F sur la borne 5, puis $F/2$ sur la borne 3 et enfin $F/4$ sur la borne 2 du circuit IC₂. Ces trois fréquences aboutissent sur les ajustables P₂, P₃ et P₄, destinés à mettre au bon niveau l'amplitude des divers signaux avant de les acheminer vers l'ampli-op IC₃, monté ici en additionneur. Le signal traversant la résistance R₉ est finalement la somme algébrique des amplitudes individuelles et instantanées à la fréquence du signal le plus élevé, soit F . On trouve encore l'étage amplificateur de puissance, construit autour de l'ampli-op IC₄, et des transistors complémentaires T₁ et T₂, qui pourront éventuellement être remplacés par des modèles de moyenne puissance (2N2904-2N2905) si l'on désire obtenir un son un peu moins ridicule ! La résistance R₁₀ assure une contre-réaction efficace, tandis que le chimique C₆ coupe la composante continue vers le haut-parleur de 8 Ω, qui restitue des fréquences même très basses.

A noter que l'entrée non-inversee (broche 3) de IC₄ n'est pas reliée au -V par une résistance comme on le fait habituellement,



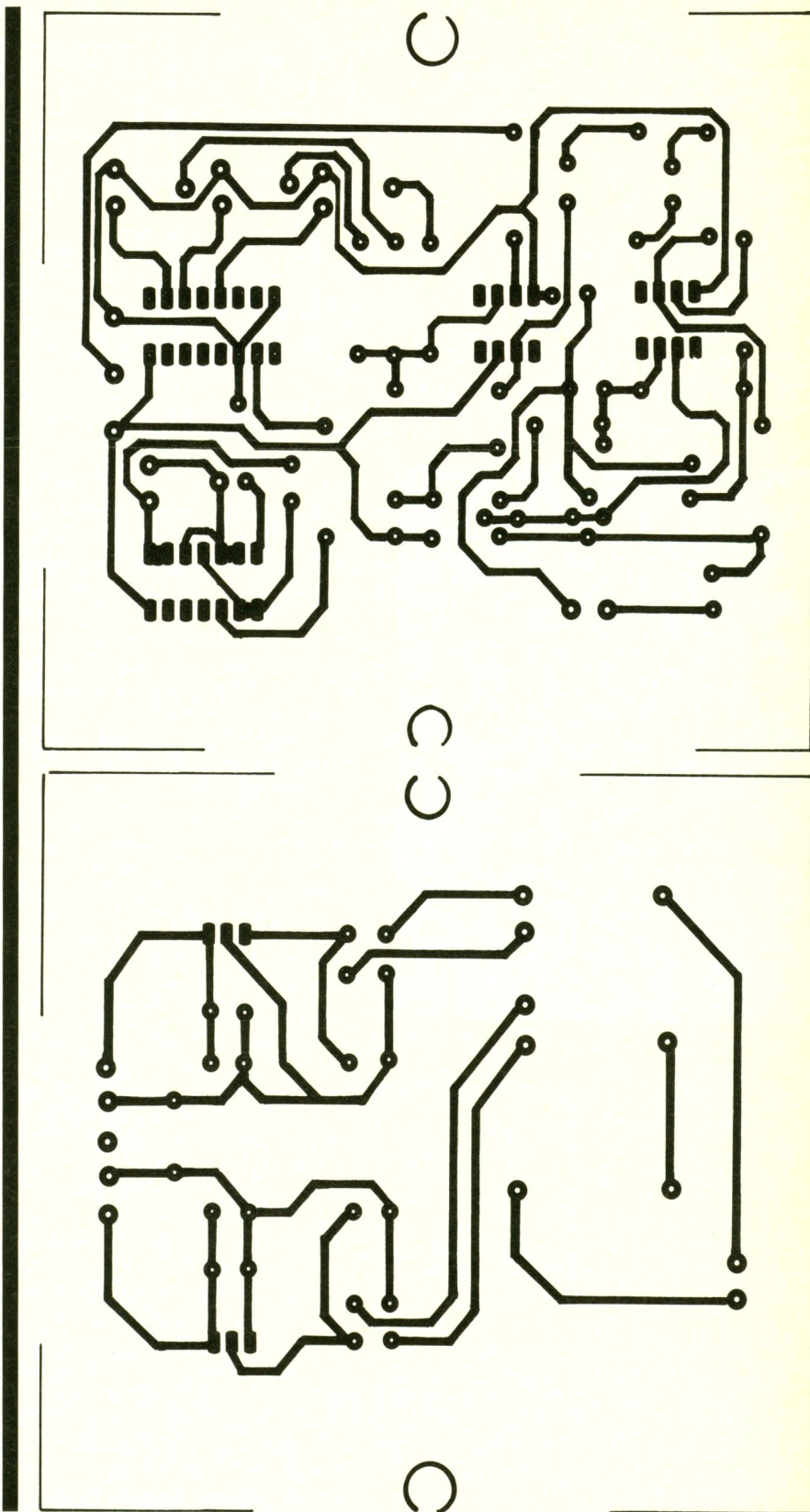
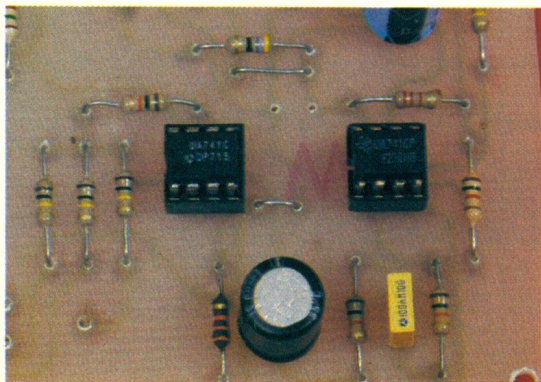
mais reçoit un potentiel variable par la charge, puis la décharge du condensateur C_5 , ce qui produit un réalisme supplémentaire pour l'obtention du son recherché. Une action sur le poussoir génère le son de la cloche, qui s'évanouit lentement dès la mise au repos du poussoir. Cette maquette simple se prête aisément à quelques modifications ou extensions en vue d'une réalisation plus sérieuse.

C - REALISATION PRATIQUE

Si vous n'optez pas pour la mise en coffret du montage, la plaquette cuivrée comporte toutes les pastilles pour des ajustables horizontaux et recevra de même un poussoir miniature à 4 picots : deux piles de 4,5 V doivent assurer une alimentation rapide pour quelques expérimentations seulement. Le tracé du cuivre de la plaquette principale est donné à l'échelle 1 à la **figure 5**, sa forme particulière est destinée à prendre place dans une 1/2 coquille d'un très pratique boîtier MMP portant la référence 116 PP. Les supports des circuits intégrés ne sont pas indispensables, mais fort pratiques pour la mise au point et la maintenance éventuelle. La **figure 6** donne le tracé d'une petite alimentation symétrique délivrant une tension de ± 5 V. L'implantation des composants de la carte principale se trouve à la figure 7 et son alimentation à la figure 8. L'unique strap de cette plaquette est précisément destiné à relier les deux tensions égales et pourra se retirer si vous souhaitez un jour disposer de deux tensions de 5 V indépendantes.

Guy ISABEL

Photo 4. - Les circuits intégrés prennent place sur des supports.



LISTE DES COMPOSANTS

1° Semi-conducteurs

IC_1 : portes NAND A, B, C
C/MOS 4011

IC_2 : étages diviseurs par 2
C/MOS 4040

IC_3, IC_4 : ampli-op μA 741 DIL 8

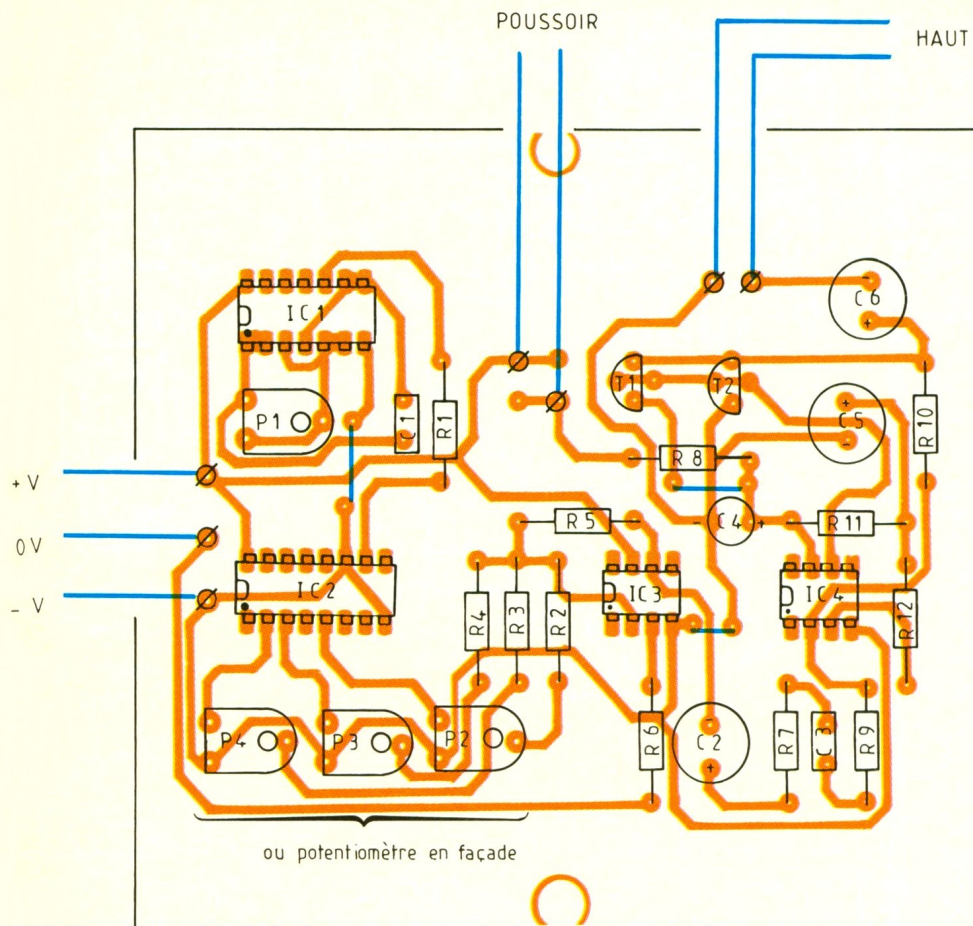
T_1 : transistor NPN BC 337

T_2 : transistor PNP BC 327

2 ponts moulés boîtier rond

Régulateur 5 V positif 7805

Régulateur 5 V négatif 7905



2° Résistances 1/4 W

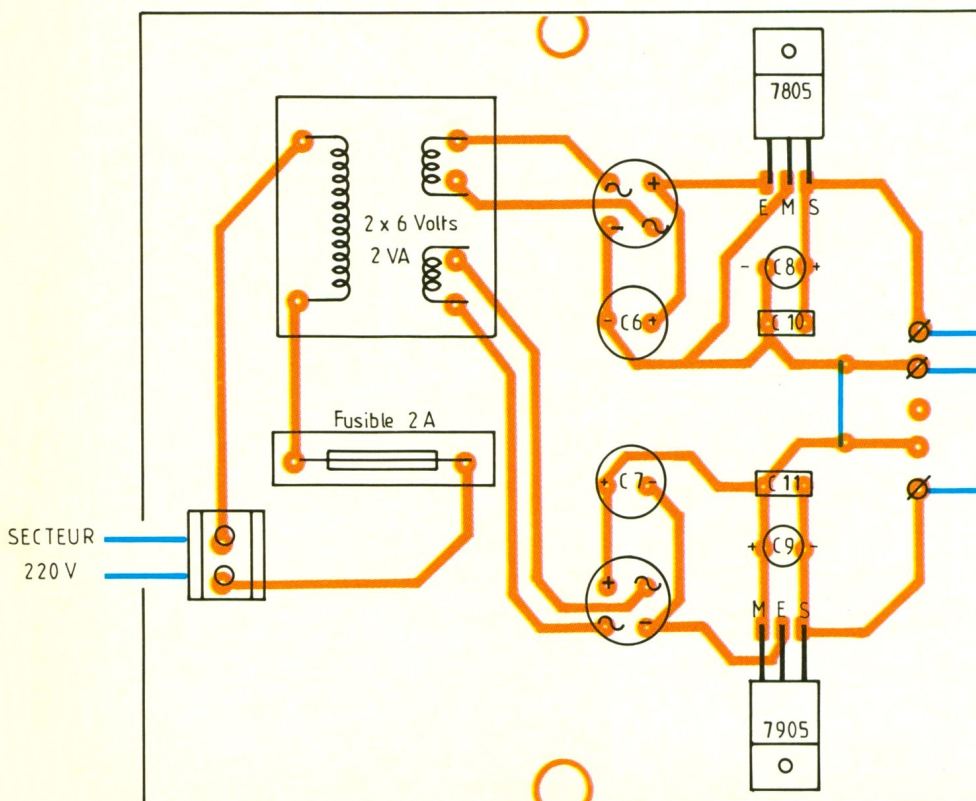
- R_1 : 1,5 k Ω (marron, vert, rouge)
- R_2, R_3, R_4 : 100 k Ω (marron, noir, jaune)
- R_5 : 10 k Ω (marron, noir, orange)
- R_6 : 33 k Ω (orange, orange, orange)
- R_7 : 1 k Ω (marron, noir, rouge)
- R_8 : 47 Ω (jaune, violet, noir)
- R_9, R_{12} : 10 k Ω (marron, noir, orange)
- R_{10} : 220 k Ω (rouge, rouge, jaune)
- R_{11} : 2,2 k Ω (rouge, rouge, rouge)
- P_1 : ajustable 47 k Ω horizontal ou potentiomètre + bouton
- P_2, P_3, P_4 : ajustable 4,7 k Ω ou potentiomètre + bouton

3° Condensateurs

- C_1 : plastique 1 nF
- C_2, C_5 : chimique vertical 100 μ F, 25 V
- C_3 : plastique 100 nF
- C_4 : chimique vertical 4,7 μ F, 25 V
- C_6, C_7 : chimique vertical 470 μ F, 25 V
- C_8, C_9 : chimique 47 μ F, 25 V
- C_{10}, C_{11} : plastique 22 nF

4° Divers

- Boîtier plastique MMP modèle 116 PP
- Transfo moulé à picots 220, 2 x 6 V, 2 VA
- Fusible sous verre 5 x 20 + support



- Bloc de 2 bornes vissé-soudé, pas de 5 mm
- Poussoir pour C1 ou miniature
- 2 supports à souder 8 broches
- Support à souder 14 broches
- Support à souder 16 broches
- Haut-parleur 8 Ω , 1 W maxi
- Fils souples, picots à souder

SONOMETRE



Souhaitant effectuer quelques essais comparatifs sur le niveau sonore de différents véhicules placés dans des conditions identiques, nous avons été amenés à mettre au point un sonomètre. Sans être un modèle de précision, il permet de faire des mesures comparatives exemptes de tout *a priori* comme pourrait l'être l'oreille humaine.

Nous vous proposons dans les lignes qui suivent de réaliser cet appareil très simple, auquel vous trouverez très vite bien des applications.

SYNOPTIQUE

La **figure 1** montre que, après transformation du signal sonore en courant électrique dans le micro, le montage comporte trois sous-ensembles :

- un amplificateur dont le gain peut être ajusté en fonction du type de « bruit » à mesurer,
- un détecteur de crête,
- un filtre passe-bas dont la constante de temps a été choisie pour que l'appareil puisse mesurer le niveau moyen du « bruit » et non suivre ses variations, parfois très rapides.

Le signal continu ainsi recueilli est alors appliqué à un galvanomètre gradué en décibels, qui constitue notre indicateur de niveau.

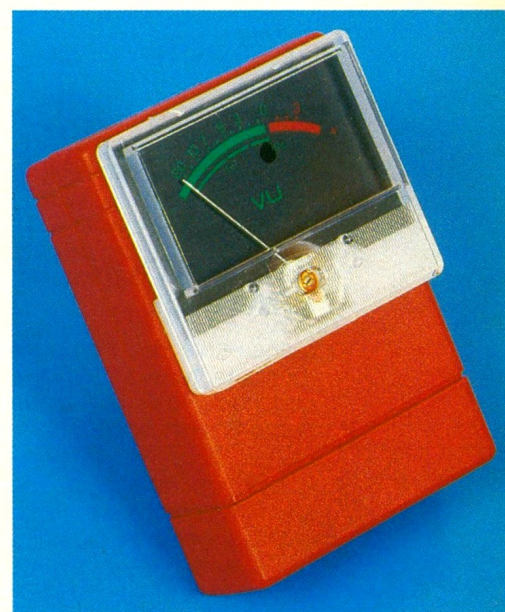
LE SCHEMA D'ENSEMBLE

Le montage ne fait appel qu'à un seul circuit intégré bien connu puisqu'il s'agit d'un TL084 qui comporte quatre amplificateurs opérationnels, exactement le nombre nécessaire à cette réalisation.

La **figure 2** montre que la section « d » du boîtier sert à symétriser la tension délivrée par une pile de 9 V (modèle 6F22). Les deux résistances R_1 et R_2 , de valeur identique, polarisent l'entrée non inverseuse à la moitié de la tension d'alimentation, soit 4,5 V. Comme cet AOP est monté en suiveur, on retrouve sur sa sortie, sous une très faible impédance, cette même tension, qui va constituer notre potentiel de référence, c'est-à-dire la masse du montage. Les condensateurs C_2 et C_3 assurent un découplage efficace des potentiels + et - 4,5 V par rapport à la masse.

Sur la **figure 3**, nous voyons que le micro électret utilisé est polarisé par la résistance R_3 . Le signal délivré par celui-ci est couplé capacitivement par C_4 à un premier amplificateur de gain ($-R_5-R_4$). Une deuxième amplification est obtenue grâce à la section « b » du TL084, qui, compte tenu de la présence de la diode D dans sa boucle de réaction, ne laisse passer que les alternances positives vers le circuit parallèle $R_{12}-C_5$, qui se charge à la valeur crête du signal amplifié.

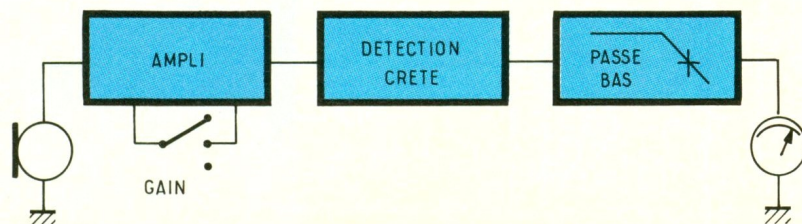
Notons au passage que l'amplification de ce deuxième étage dépend de la position du commutateur K_2 . Avec les valeurs prises pour les résistances R_9 à R_{11} , l'amplification varie d'un facteur



2,5 à environ 40 suivant que les interrupteurs sont tous fermés ou tous ouverts.

La section « c » du TL084 est câblée en filtre passe-bas d'ordre 2, ce qui contribue à un meilleur filtrage de la tension présente aux bornes de C_5 et permet d'obtenir une tension proportionnelle à la valeur moyenne du bruit.

La résistance R_{15} limite la valeur du courant dans le galvanomètre. Avec un modèle déviant complètement pour un courant de $250 \mu A$, il faut compter $4 k\Omega$ par volt appliqué à ses bornes. Etant donné qu'ici la tension délivrée par l'AOP « c » ne dépasse pas 3,5 V, une résistance de $15 k\Omega$ convient très bien. Ce calcul ne tient pas compte de la résistance propre du cadre, ce qui n'est absolument pas gênant puisque l'appareil n'est pas destiné à faire des mesures absolues mais relatives.



1

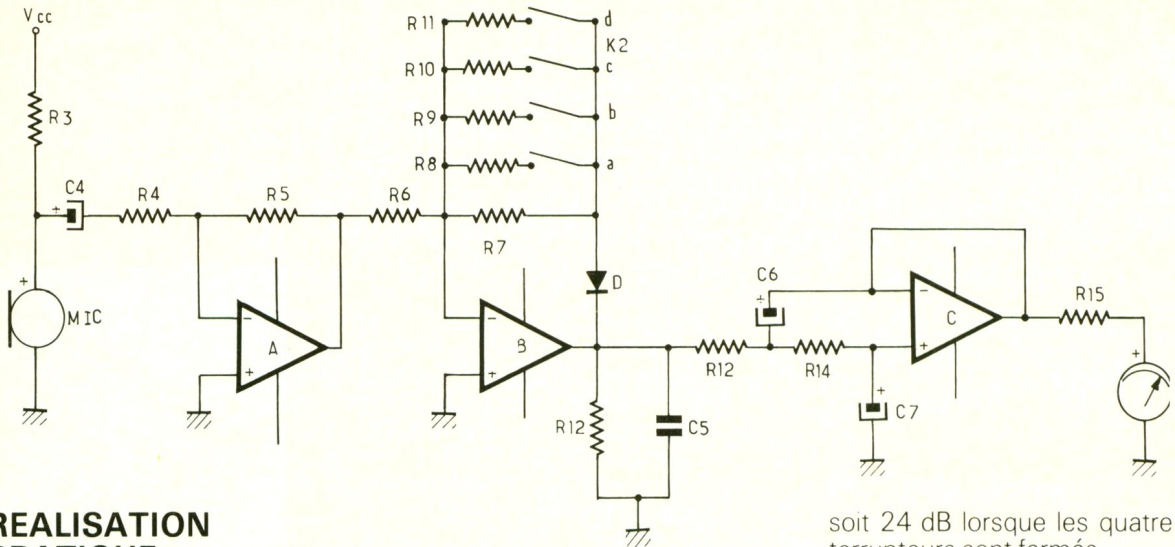
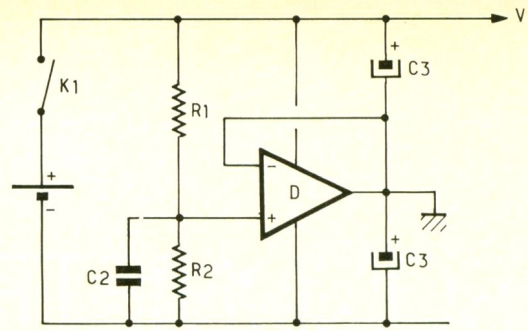
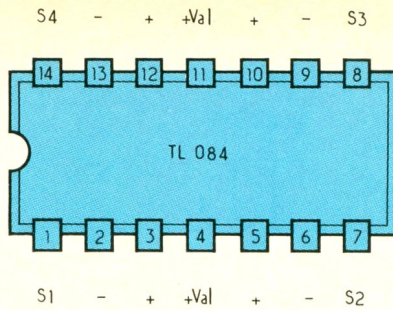
Schéma fonctionnel du montage.

2

Le symétriseur d'alimentation.

3

Schéma électronique du sonomètre / Dessin du circuit imprimé.



REALISATION PRATIQUE

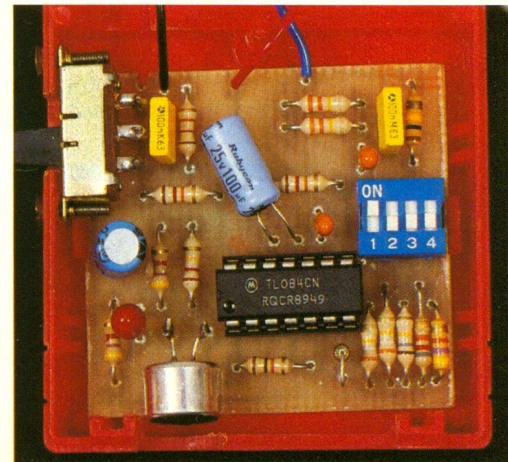
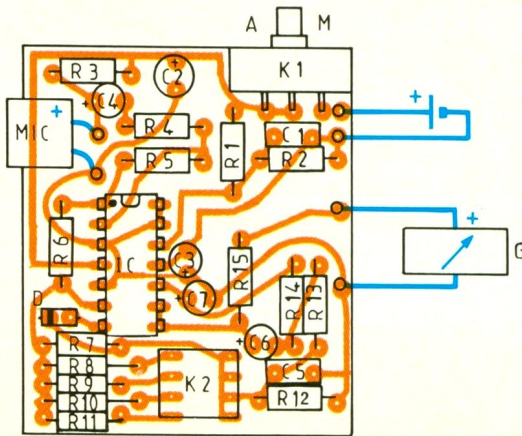
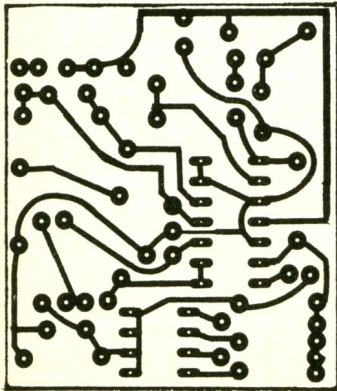
L'ensemble des composants du montage trouve sa place sur le circuit imprimé de la figure 4. La figure 5 montre comment les implanter. En particulier les condensateurs au tantale, qui sont des éléments polarisés. Les dimensions du circuit imprimé sont telles qu'il peut s'insérer dans un boîtier (MMP de type C1) dont les dimensions réduites facilitent l'utilisation en tout lieu. Ce boîtier sera découpé pour permettre la fixation de l'interrupteur K1 (un inverseur à glissière). On prévoira un trou en face du micro et on percera la partie supérieure du boîtier pour que le cadre du vu-mètre rentre à l'intérieur de celui-ci.

UTILISATION

Le seul élément de réglage de cet instrument est le commutateur K2. Lorsque les quatre « inters » sont ouverts, le gain de l'AOP « b » vaut R7-R6, soit 39. Si l'on ferme l'interrupteur inférieur (K2a), R8 se trouve en parallèle sur R7. Ces deux résistances ayant la même valeur, le gain de l'étage est donc divisé par 2, ce qui correspond à une perte de 6 dB. Si l'on met maintenant R9 en parallèle avec le couple R7-R8 (K2a et K2b fermés) on obtient encore une division de l'amplification par 2, donc une nouvelle perte de 6 dB. On voit ainsi que l'amplification peut être réduite d'un facteur 16,

soit 24 dB lorsque les quatre interrupteurs sont fermés. Pour relier les indications en décibels du vu-mètre à la notion de puissance acoustique, on se souviendra qu'une augmentation de 3 dB de la tension (indication du vu-mètre) correspond à une puissance multipliée par 2. Dans l'autre sens, une perte de 3 dB est associée à une puissance divisée par 2. Pour 6 dB la puissance est multipliée par 4, et ainsi de suite. Il va de soi que chacun pourra trouver à ce sonomètre une application particulière. Outre la mesure relative du niveau sonore des véhicules, pour lequel nous l'avons réalisé, celui-ci a servi aussi pour mesurer la différence de niveau sonore lors du passage des messages de publicité à la télévision. Inutile de vous dire

Photo 2. - Vue d'ensemble de la platine.



4/5

Dessin du circuit imprimé / Implantation des composants.

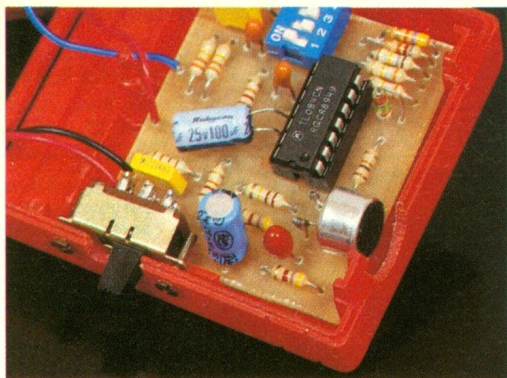


Photo 3. - Le circuit imprimé s'adapte au boîtier MMP-C1.

qu'il y a souvent plus de 4 ou 5 dB d'écart (c'est-à-dire une puissance doublée voire quadruplée) pendant le passage de ces messages.

On pourra aussi envisager son utilisation pour évaluer l'amélioration apportée par l'isolation d'une paroi si l'on a pris soin de mesurer le niveau de bruit, dans les mêmes conditions, avant et après la transformation. Quelle que soit l'application envisagée on devra toujours garder à l'esprit que le montage n'est effectué que des mesures relatives.

NOMENCLATURE DES COMPOSANTS

Résistances

- R_1 : 12 k Ω (marron, rouge, orange)
- R_2 : 12 k Ω (marron, rouge, orange)
- R_3 : 4,7 k Ω (jaune, violet, rouge)
- R_4 : 4,7 k Ω (jaune, violet, rouge)
- R_5 : 220 k Ω (rouge, rouge, jaune)
- R_6 : 10 k Ω (marron, noir, orange)
- R_7 : 390 k Ω (orange, blanc, jaune)
- R_8 : 390 k Ω (orange, blanc, jaune)
- R_9 : 180 k Ω (marron, gris, jaune)
- R_{10} : 82 k Ω (gris, rouge, orange)
- R_{11} : 47 k Ω (jaune, violet, orange)
- R_{12} : 100 k Ω (marron, noir, jaune)
- R_{13} : 330 k Ω (orange, orange, jaune)
- R_{14} : 330 k Ω (orange, orange, jaune)
- R_{15} : 12 k Ω (marron, rouge, orange)

Condensateurs

- C_1 : 100 nF
- C_2 : 100 μ F 16 V
- C_3 : 100 μ F 16 V
- C_4 : 10 μ F tantale 16 V
- C_5 : 100 nF
- C_6 : 0,47 μ F tantale 16 V
- C_7 : 0,47 μ F tantale 16 V

Circuit intégré

CI_1 : TL084

Diode

D_1 : AA119

Divers

- 1 interrupteur DIL à 4 circuits
- 1 inverseur à 2 positions
- 1 micro électret 2 fils
- 1 galvanomètre de 250 μ A de déviation totale
- 1 boîtier MMP type C1

Selectronic

BP 513 59022 LILLE Tél. : 20.52.98.52

NOUVEAUTÉS

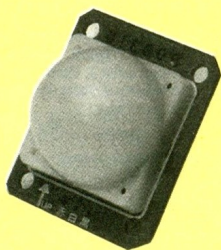
MODULE SUBMINIATURE DE DETECTION I.R. SGM 5910

A peine plus grand qu'un timbre-poste, ce nouveau module est équipé d'origine d'une lentille de FRESNEL hémisphérique

- Dim. : 30 x 35 mm \varnothing = 22 mm
- Alim. : 5 à 10 V/1mA
- Températisation laissée au choix de l'utilisateur
- Portée : 6 m. Sortie : collecteur ouvert

Idéal pour l'allumage automatique de lampes, ouverture de portes, surveillance, etc... (Ne convient pas pour système d'alarme).

2 versions sont disponibles :

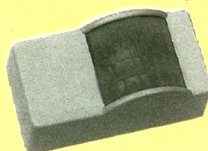


- Montage mural : SGM 5910 RE :
Détection sur 100° en horizontal et 60° en vertical
Le module SGM 5910 RE 121.9409 **149,50 F**

- Montage en plafonnier : SGM 5910 SB :
Cône de détection de 100° d'ouverture.
Détection sur 360° en horizontal.
Le module SGM 5910 SB 121.9415 **149,50 F**

COFFRET SIG-BOX :

Il remplace désormais le coffret GIL - BOX - Même utilisation
Pour lentille CE 24/CE 26
Dimensions : 103 x 52 x 62 mm
Couleur : crème
le coffret SIG-BOX 121.9379 **30,00 F**



GENERATEUR DE FONCTIONS WOBBOLE

(Décrit dans ELEKTOR 143)
Le générateur que l'on attendait avec impatience !
- Gamme de fréquence : 10 Hz à 200 kHz en 4 gammes
- Fréquence de balayage : 0,1 à 100 Hz
- Sinus, carré, triangle
- Taux de distorsion en sinus : < 0,5 %
- Impédance de sortie : 50 Ω
- Etc...

Fourni avec coffret percé et sérigraphié, alimentation, boutons et accessoires.
Le kit complet 121.9350 **739,00 F**



Pour faciliter le traitement de vos commandes, veuillez mentionner la REFERENCE COMPLETE des articles commandés.

CONDITIONS GÉNÉRALES DE VENTE : Voir notre publicité annexe

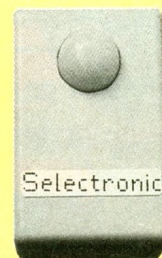
FIATLUX

Système miniature d'allumage automatique de lampes, basé sur le SGM 5910 décrit ci-contre

- Minuterie programmable intégrée
- P max. : 800 W
- Dimensions : 85 x 56 x 35 mm

La solution à vos problèmes de couloir, palier, etc...

Le Kit complet avec boîtier :
Version Murale 121.9346 **249,00 F**
Version Plafond 121.9353 **249,00 F**



GENERATEUR DE COURANT

Encore une innovation SELECTRONIC qui s'imposera dans tous les labos.

Fourni un courant stable quelque soit la charge (30 Vmax.)
- De 1 mA à 1,2 A réglable par potentiomètre multivoirs.

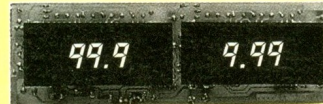
- Affichage LCD
Le kit complet avec tôle percée et sérigraphiée

PROMO
749,00 F



121.9340 **825,00 F**

KIT VOLTMETRE + AMPEREMETRE NUMERIQUE A LED



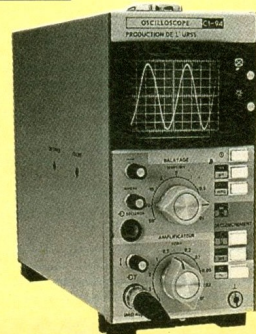
Ce double module d'affichage 1000 points à LED vous sera précieux pour mesurer simultanément une tension et un courant. (0 à 99,9 V et 0 à 9,99 A).
- Encadrement : 48 x 158 mm.
- Fourni avec fenêtre spéciales, plexi rouge, etc...

Le Kit complet (sans boîtier) 121.1100 **275,00 F**

POURQUOI S'EN PRIVER ?

L'OSCILLOSCOPE CI 94 + KIT D'EXTENSION BICOURBE + SONDE

..... 121.0087 **1350,00 F FRANCO**



DEPORT PAR RADIO DE TELECOMMANDE INFRAROUGE



Comme nous le suggérons, il y a quelque temps de cela, l'arrivée d'un déport de télécommande infrarouge par liaison hertzienne se faisait sentir. Aujourd'hui, nous voici arrivé à ce débat : il semble utile ou parfois indispensable de déporter à des distances importantes une liaison infrarouge pour actionner un téléviseur, un magnétoscope ou autres chaînes hi-fi. La solution qui vient immédiatement à l'esprit consiste à la réaliser par fibre optique ou câble coaxial, mais est-ce bien raisonnable ?

En fait, l'idée qui nous a séduit reste celle de la transmission HF. De par sa souplesse d'emploi, son autonomie et sa portée, notre appareil satisfait à la majorité des situations envisageables. L'utilisation du circuit intégré LM 1872 de la firme National Semi-Conducteurs a facilité la conception et simplifiera, bien entendu, la tâche du réalisateur que vous êtes. Avant d'entrer dans le vif du sujet, nous allons revenir un court instant sur ce circuit intégré pour en assimiler les fonctions principales et bien comprendre le principe de la réalisation dont il fait partie.

CARACTERISTIQUES PRINCIPALES

L'émetteur

Gamme de fréquences : 72 MHz.

Tension d'alimentation : une pile de 9 V de type 6LR61.

Puissance de sortie : 10 mW sous 50 Ω .

Type de modulation : amplitude A1D.

Le récepteur

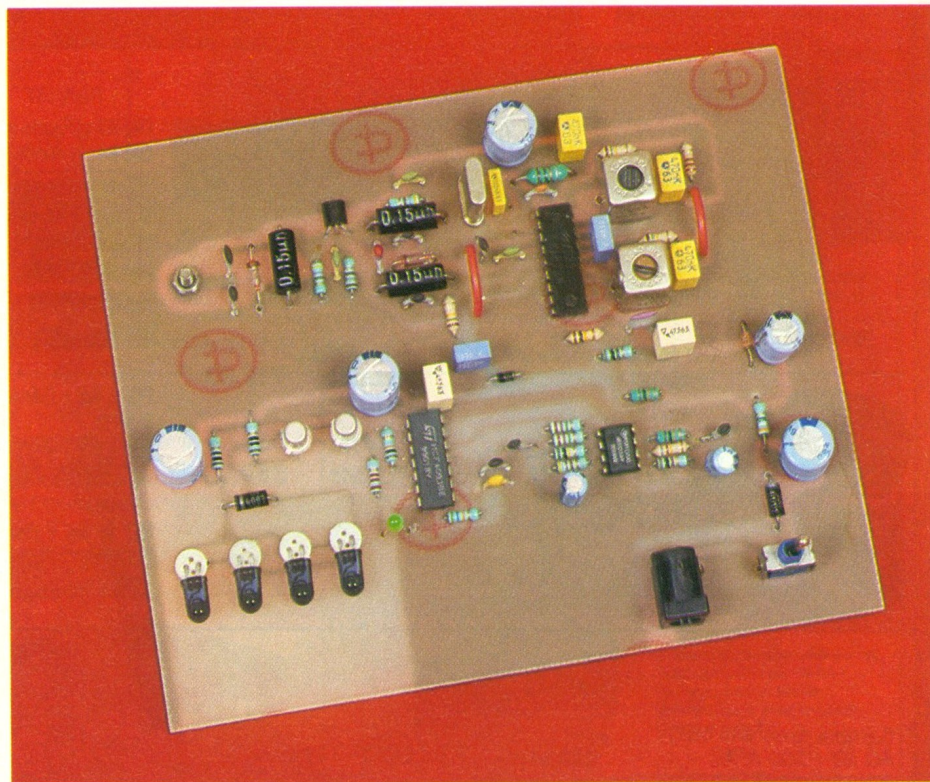
Gamme de fréquences : 72 MHz.

Sensibilité utile : 10 μ V.

Sélectivité globale : 10 kHz placée à - 10 dB.

Type de modulation : amplitude A1D.

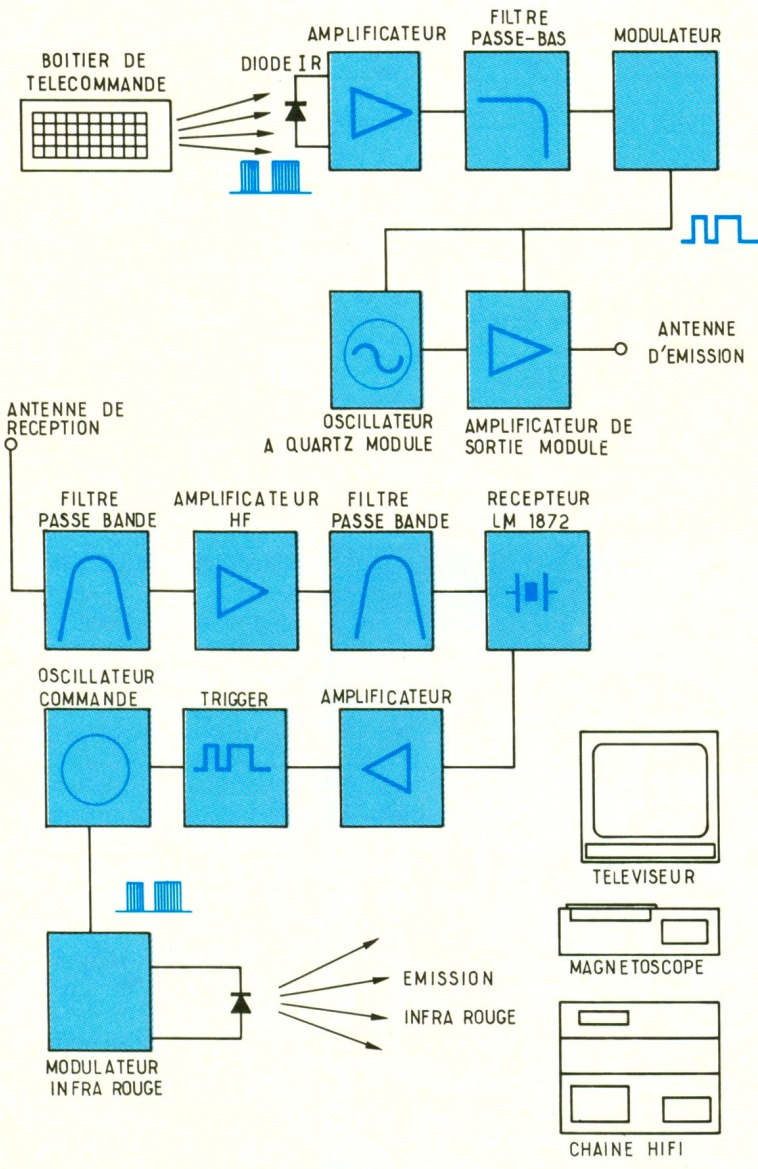
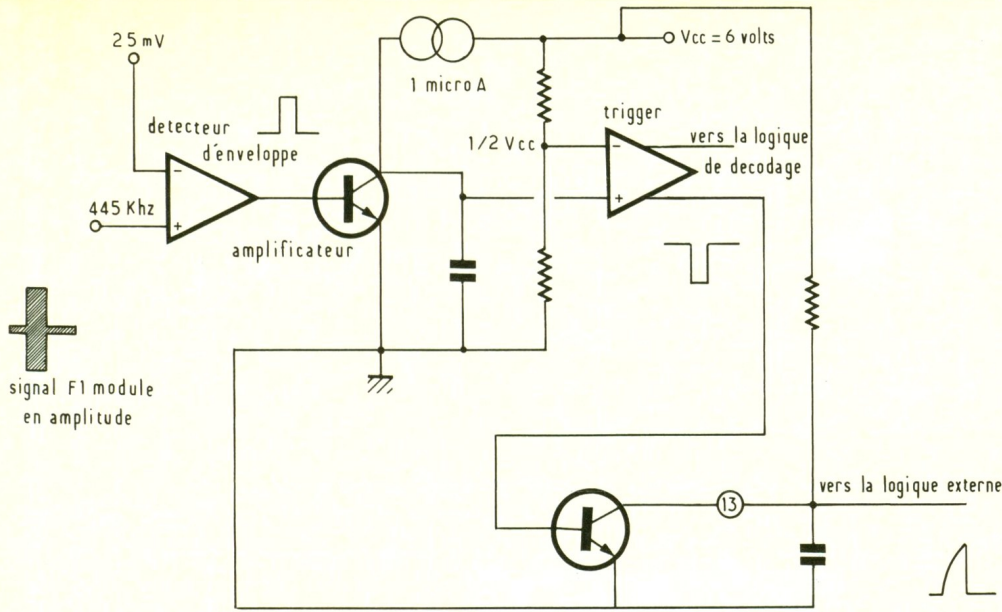
Portée du rayonnement IR : de 2 à 4 mètres.



LE LM 1872

La modulation de fréquence ayant pris une place très importante dans le domaine des radio communications, les fabricants de composants électroniques ont œuvré dans ce sens et pour le moins abandonné leur production de petits récepteurs en modulation d'amplitude. Pour sa part, la firme National Semi-Conducteurs a su préserver quelques modèles dans son catalogue - nous parlerons, bien sûr, du LM 1872. Ce dernier se voit confier les tâches demandant la transmission de signaux numéri-

ques puisqu'il comporte toute une logique interne de mise en forme (trigger) et de restitution des voies analogiques et digitales pour la télécommande de modèles réduits. La section HF se compose de l'oscillateur local pourvu de son mélangeur, suivi par la chaîne d'amplification FI 455 kHz et du démodulateur d'enveloppe, restituant le train d'impulsion série envoyé par l'émetteur. Par chance, National Semi-Conducteurs nous fournit ces impulsions sur la broche 13 de son circuit. La **figure 1** reproduit la partie démodulation et mise en forme. La tension de sor-



tie maximale disponible correspond à $V_{cc}/2$, ce qui implique une amplification puis une remise en forme efficace des créneaux constituant l'information. A l'instar de ce qui se fait de mieux, le détecteur d'enveloppe se compose d'une structure différentielle active procurant un gain de 30 dB, à comparer aux détecteurs classiques à diodes germanium qui n'offrent pas cet avantage. L'entrée inverseuse se voit polarisée à un potentiel de 25 mV pour fixer le seuil de détection. A titre indicatif, une tension FI de 25 mV efficaces est obtenue pour 25 μ V sur l'entrée HF du LM 1872 (gain FI de 1000). Un transistor amplifie le signal utile pour déclencher le trigger à une tension de $V_{cc}/2$ avec la capacité de 10 pF qui se charge grâce à la source de courant de 1 μ A dans le collecteur. La sortie directe du trigger est dirigée vers la logique de décodage interne alors que nous obtenons à la sortie 13, via un transistor inverseur, le signal composé des bits de codage. Une résistance et une capacité externe y prennent place. L'apparition d'une porteuse provoque le blocage de ce transistor et son collecteur est au potentiel V_{cc} , ainsi la capacité se charge. Sa disparition porte à $V_{cc}/2$ la base du transistor, ainsi saturé, il va décharger le condensateur au travers de son espace collecteur-émetteur. La loi qui régit ces composants est la suivante : $T = 0,7 \times R \times C$.

LA SECTION HAUTE FREQUENCE

La conception du récepteur relève du principe à simple changement de fréquence possédant une FI placée à 455 kHz. Deux pots ferrite sont utilisés pour obtenir une bande passante de 10 kHz, ces transformateurs FI possèdent un coefficient de qualité d'environ 110. Par le choix judicieux du facteur de couplage entre la sortie du mélangeur, broche 18, et l'entrée FI, broche 17, nous pouvons espérer l'augmentation de la sensibilité du récepteur dans un rapport de 1 à 2. L'oscillateur local travaille avec des quartz en résonance parallèle, taillés 455 kHz plus bas de la fréquence à recevoir. L'ensemble FI donne un gain de 58 dB. Un contrôle automatique de gain agit sur les transistors FI, la ten-

3

L'émetteur de signaux infrarouge.

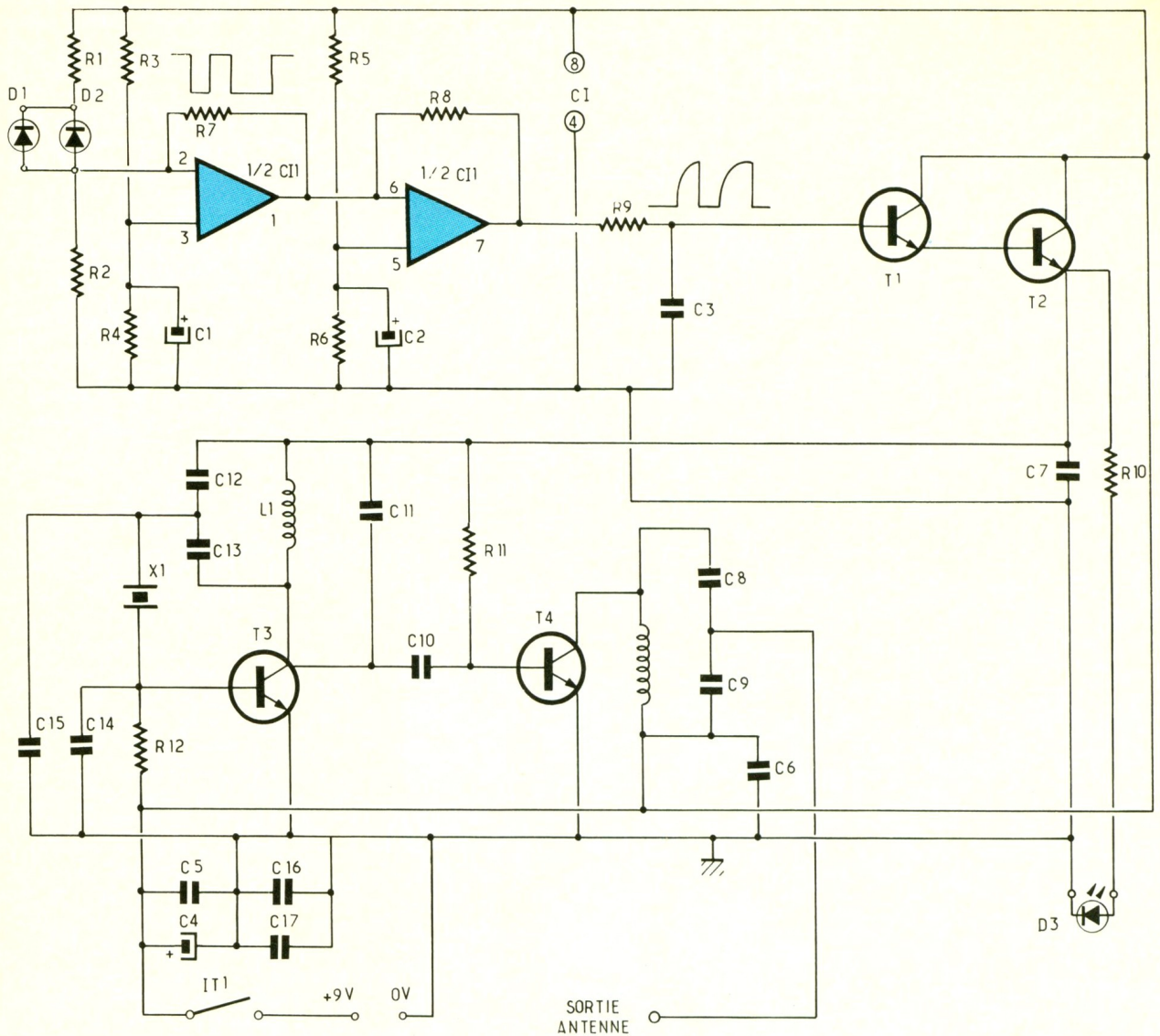
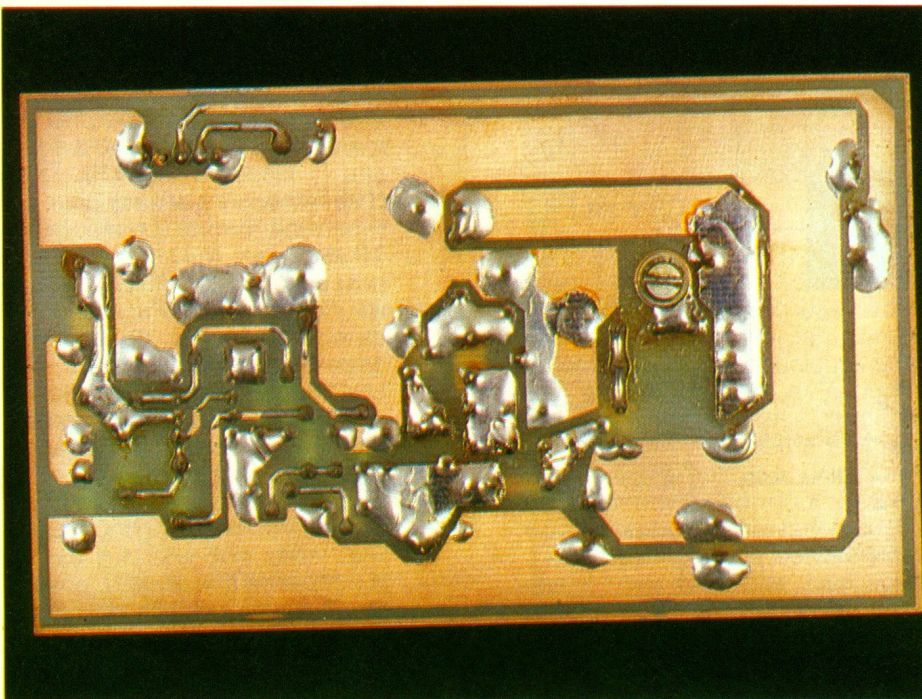


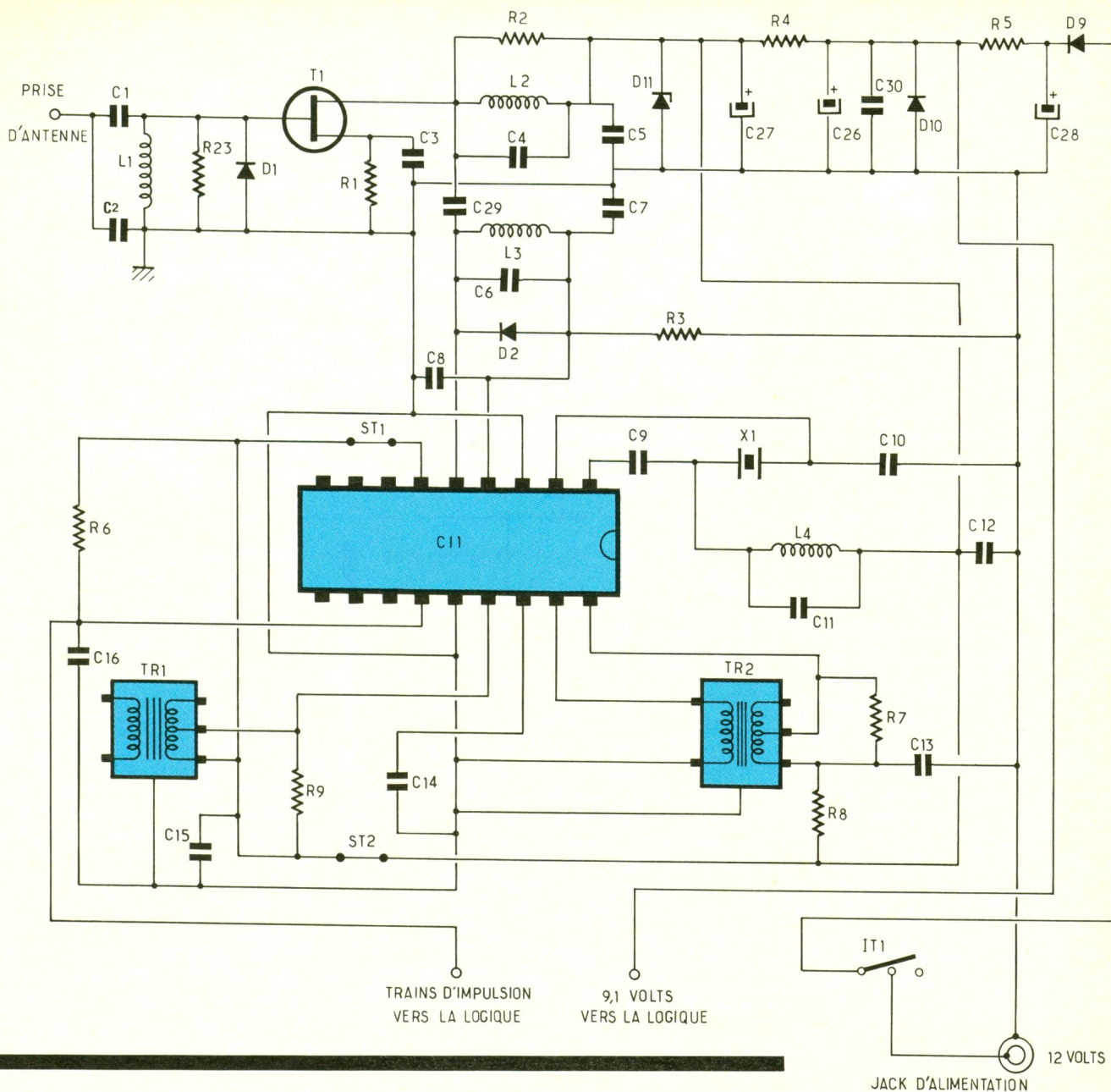
Photo 2. - La vis sous le circuit imprimé tient l'antenne sur le dessus.



sion de CAG intégrée par un réseau RC modifie les courants de polarisation des transistors F1, donc le gain global dans une plage de 70 dB. Ce CAG fonctionne par détection et intégration de l'onde modulée en amplitude présente sur la broche 15, le seuil d'action se situe à 100 mV.

DESCRIPTION DU FONCTIONNEMENT DE NOTRE MONTAGE

Après ce bref rappel sur les caractéristiques du LM1872 nous voici arrivé dans le vif du sujet, dont le principe reste simple. Il s'agit de retransmettre par voie hertzienne les informations d'un boîtier de télécommande infrarouge à usage domestique. Pour ce faire, deux photodiodes couplées à une paire d'amplificateurs



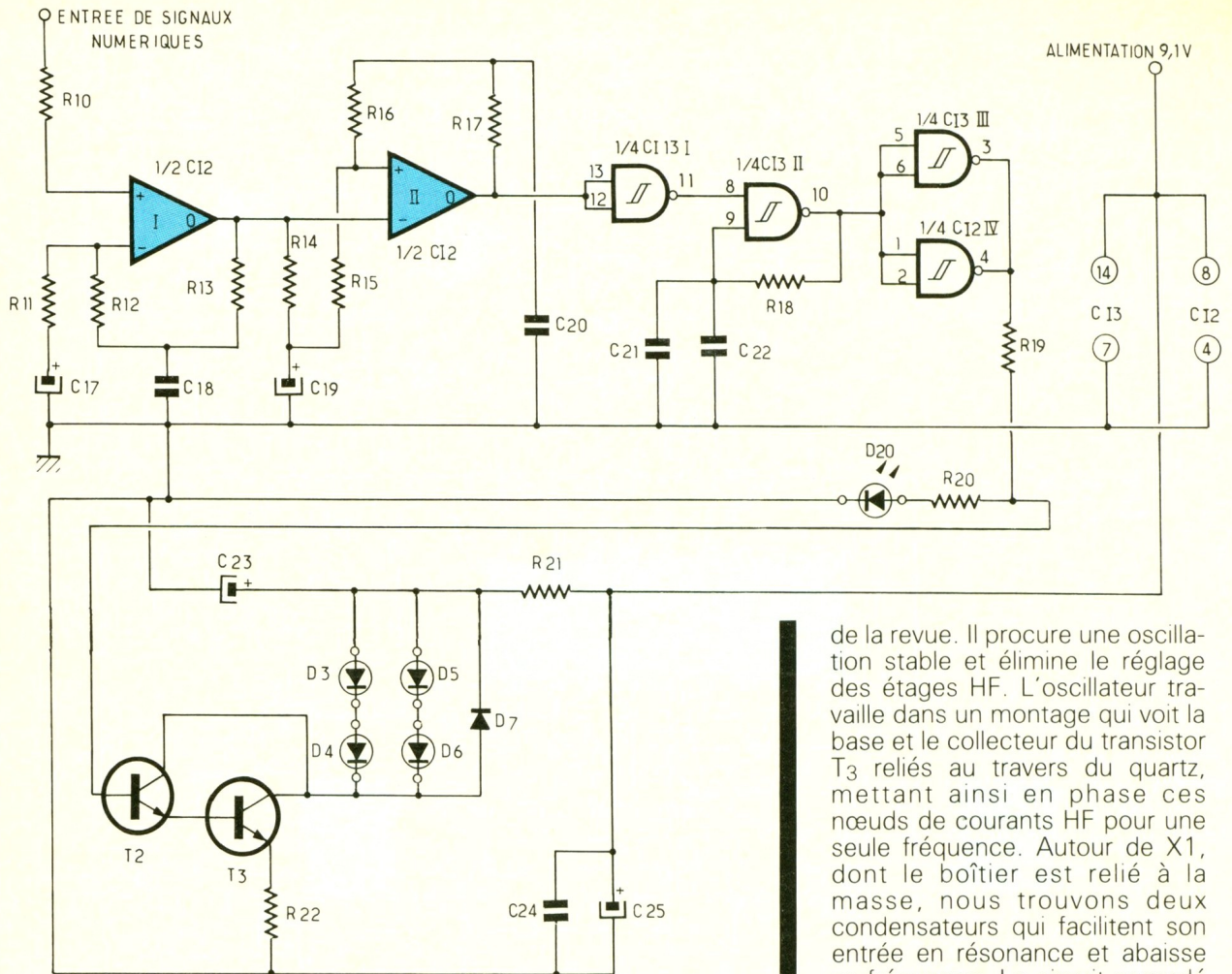
opérationnels détectent les ordres puis les mettent en forme. Ces informations attaquent un couple de transistors montés en darlington qui alimente à leurs rythmes l'oscillateur à quartz et son amplificateur. Donc nous aurons une porteuse HF modulée dans le seul cas où se présente une commande à retransmettre. Le récepteur, pour sa part, reçoit, démodule et retranscrit dans son intégralité les impulsions de télécommande. Comme à l'émission la fréquence porteuse de 36 kHz du code a été supprimée, il faut le reproduire avant d'exciter les diodes d'émission infrarouge. Nous proposons le synoptique à la figure 2, il permet d'assimiler l'ensemble des fonctions du montage.

DESCRIPTION DETAILLÉE DU FONCTIONNEMENT

Note au sujet des quartz utilisés dans nos montages

Tout élément cristallin permet, selon l'usage, de fonctionner sur deux fréquences bien distinctes : l'une se nomme fréquence de résonance série, la plus basse, l'autre est appelée la fréquence de résonance parallèle, plus haute de quelques kilohertz. Dans le tableau de la figure 7, vous voyez la courbe d'impédance de tout quartz en fonction de son mode de résonance. En ce qui nous concerne, les modè-

les que nous suggérons dans ce montage permettent un fonctionnement sur les deux modes. Le cristal monté dans le récepteur s'adapte parfaitement au montage, résonance parallèle. En revanche, le quartz d'émission est normalement prévu pour travailler dans une configuration toute autre : il s'agit d'un modèle résonnant sur son cinquième harmonique dans le mode série, alors que notre schéma laisse apparaître un montage pour des quartz en résonance parallèle, plus simple à reproduire. Pour cette raison, nous avons dû compenser sa fréquence en la rabaisant par des capacités externes.



L'EMETTEUR RADIO

Le récepteur infrarouge

On devrait plutôt l'appeler récepteur infrarouge-réémetteur radio.

La décision sur le choix du type de modulation fut dictée par deux points cruciaux : il s'agissait de concevoir un émetteur consommant un courant réduit en veille et occupant l'héتر just au moment où un ordre est sollicité. Or une transmission en FM ne convenant pas, seule la modulation d'amplitude offrait ces possibilités. Nous proposons le schéma électrique à la **figure 3** : deux photodiodes BPW34 mises en parallèle et placées au milieu d'un pont diviseur reçoivent le signal infrarouge ; à ce moment, les diodes conduisent, et le potentiel présent sur la broche 2 de IC₁ équivaut à $V_{cc}/2 - R_d \times I_d$. La sortie bascule vers un état bas puis réinversé par le deuxième amplificateur. Cette configuration permet d'éliminer dans sa totalité la porteuse de 36 kHz émise par votre boîtier de télécommande.

Nous trouvons sur la broche 7 de IC₁ des impulsions variant de 0 à V_{cc}, un filtre passe-bas constitué par R₉, et C₃ diminue le temps de montée des crêteaux, réduisant du même coup les fréquences harmoniques du signal de modulation. L'avantage de cette technique est de permettre la transmission de la seule information utile sans encombrer inutilement le spectre radio fréquence. De ce fait, on peut espérer un taux de modulation proche de 100 % et augmenter ainsi l'efficacité de la transmission. La bande passante produite par la modulation se voit ainsi limitée à une valeur d'environ deux fois 562 Hz, « aux harmoniques près ». Cette fréquence correspond à celle que produit le code RC5 du standard Philips.

Le modulateur radio

Nous opérons dans la gamme de fréquences des 72 MHz par l'emploi d'un quartz, que nous avons trouvé au rayon « Télécommandes » des annonceurs

de la revue. Il procure une oscillation stable et élimine le réglage des étages HF. L'oscillateur travaille dans un montage qui voit la base et le collecteur du transistor T₃ reliés au travers du quartz, mettant ainsi en phase ces nœuds de courants HF pour une seule fréquence. Autour de X1, dont le boîtier est relié à la masse, nous trouvons deux condensateurs qui facilitent son entrée en résonance et abaisse sa fréquence. Le circuit accordé dans le collecteur de T₃ entraîne la mise en évidence de la porteuse, le point milieu des capacités C₁₂ et C₁₃ autorise le prélèvement de l'onde HF par l'intermédiaire de C₁₀ pour son amplification. Cette dernière, réalisée par T₄, se retrouve dans le collecteur et appliquée à l'antenne par le pont capacitif constitué autour de C₈ et C₉. La modulation en amplitude de l'onde pure est effectuée par les transistors T₁ et T₂, montés en darlington. L'émetteur de T₂ applique le train série du codage simultanément sur le collecteur de T₃ et sur la base de T₄. Enfin une diode électroluminescente permet d'apprécier la mise en route du modulateur. Vis-à-vis de la longueur d'onde employée, une antenne télescopique de un mètre permettra la bonne propagation du champ généré par le modulateur. L'alimentation est simplement confiée à une pile de 9 V, alcaline de préférence.

LE RECEPTEUR

La **figure 4** en présente le schéma électronique.

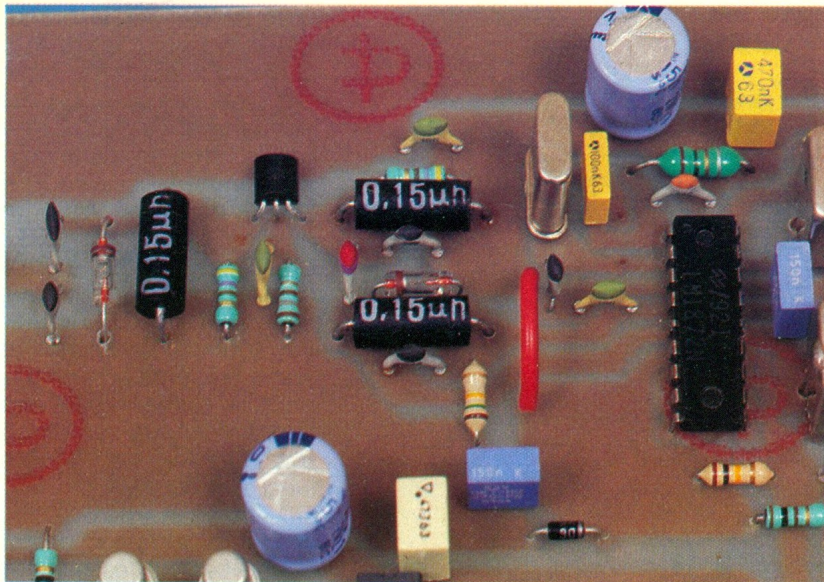


Photo 3. – La partie HF du récepteur avec son quartz et son filtre de bande.

Le préamplificateur d'entrée

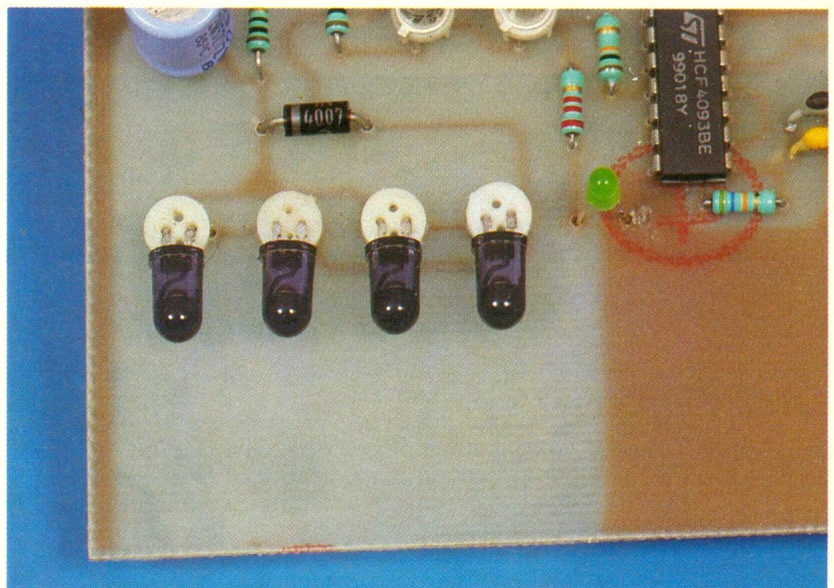
Afin de parfaire la sensibilité utile du LM1872, nous avons doté notre récepteur d'un étage de préamplification HF. Celui-ci s'articule autour du transistor FET T_1 , le J310 de Siliconix, et se compose d'un premier réseau RLC accordé dans la gamme des 72 MHz dans la porte du FET. Une diode au germanium AA119 limite à 300 mV l'amplitude maximale admissible par le montage. La polarisation de T_1 se voit confiée à la résistance R_1 , de telle sorte que le courant drainé par ce transistor soit de 10 mA. Le gain en tension d'un tel montage atteint 20 dB. Dans le drain de T_1 , nous disposons d'un double réseau accordé, celui-ci est amorti par une résistance de 470Ω pour prévenir une légère instabilité du transistor (tendance à l'auto-oscillation). Le couplage vers le récepteur CI_1 s'effectue par C_{29} , de faible valeur pour conserver la bande passante et l'accord en fréquence des circuits accordés.

Le démodulateur

Il se compose du LM1872 où le signal provenant de l'antenne arrive sur la broche 5, aux bornes du circuit accordé L_3-C_6 . La fréquence intermédiaire s'obtient par translation entre la fréquence reçue et celle que génère le circuit intégré grâce au quartz X_1 et son réseau accordé constitué par

les éléments L_4 , C_{11} et C_{10} . En réalité, la résonance de l'élément cristallin se réalise dans la bande des 36 MHz, il s'agit d'un quartz dont la fréquence vaut la valeur de réception moins 455 kHz et divisé par deux. L'oscillateur interne fournit l'harmonique deux à un niveau suffisant pour réaliser le mélange des signaux de réception. Nous trouvons sur la broche 18 la sortie du mélangeur où nous sélectionnons la fréquence de 455 kHz au travers du transformateur FI TR_2 . Par un enroulement de couplage, nous l'injectons sur l'entrée FI du récepteur ; enfin, le circuit accordé TR_1 , qui

Photo 4. – Les quatre diodes IR retransmettent la commande vers l'appareil à télécommander.

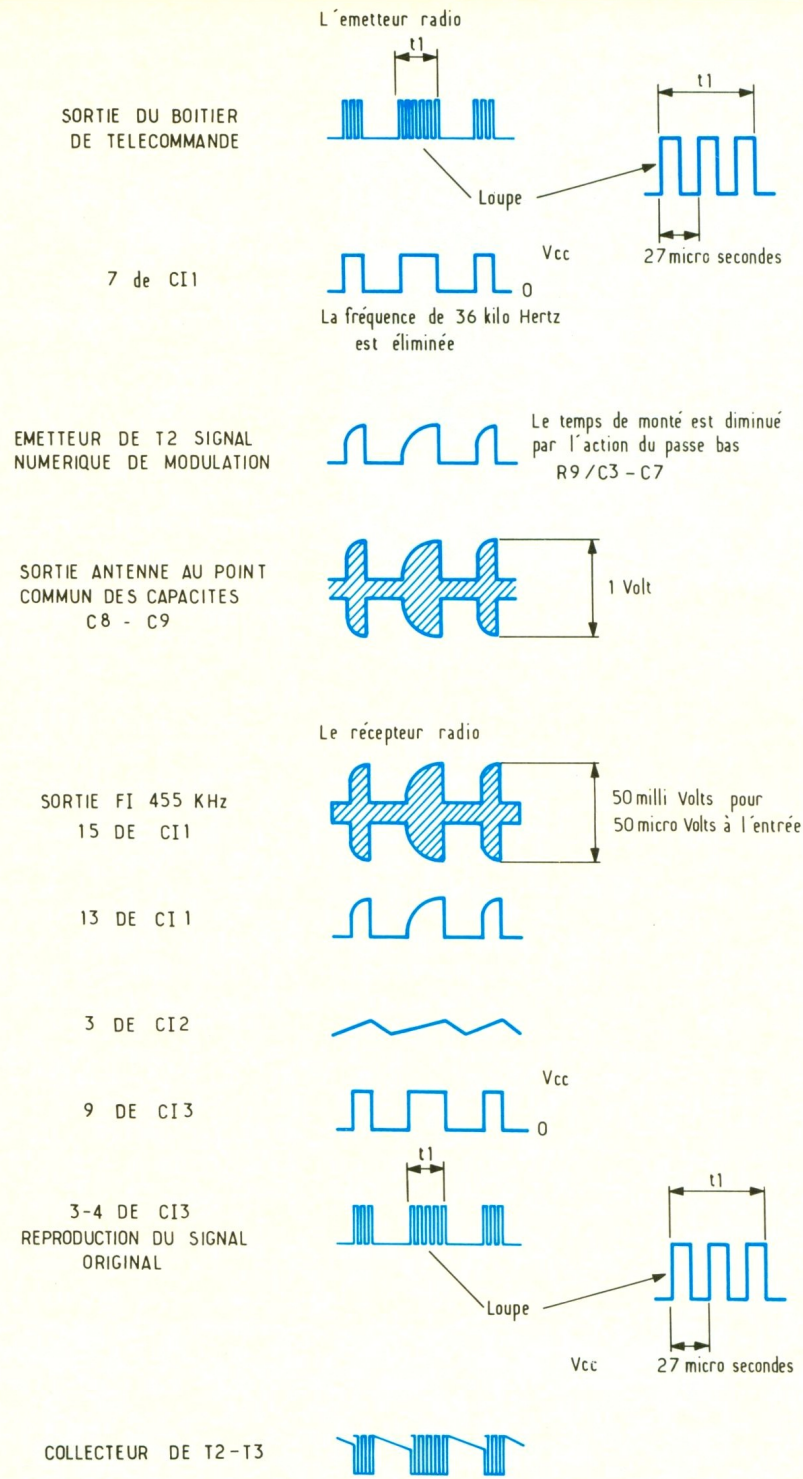


possède un facteur de surtension élevé (110), la prélève pour l'appliquer sur le démodulateur d'enveloppe. Après une dernière amplification nous retrouvons sur la broche 13 notre train d'impulsion série envoyé par l'émetteur.

Amplification et mise en forme du signal numérique

La figure 5 donne le schéma de principe. Pour suivre le cheminement du signal numérique, nous proposons dans le tableau de la figure 6 la forme des impulsions disponibles en différents points de l'émetteur et du récepteur.

Pour l'amplification et une première mise en forme, nous employons le performant NE5532, qui possède la particularité de présenter un faible bruit et comprend deux amplificateurs opérationnels dans un boîtier 8 broches. Une première moitié de ce circuit apporte un gain de 820 sans inverser le sens du signal ; la seconde moitié permet de remettre en forme le signal. Le seuil de ce trigger est fonction du signal disponible sur la broche 7 de CI_2 . Les points de basculement haut et bas sur le signal d'entrée sont donc proportionnels à l'amplitude de celui-ci grâce aux composants R_{14} , R_{15} et C_{19} , et non plus fixés une fois pour toutes. Ce dispositif s'avère intéressant lorsque nous devons ressortir correctement des signaux de grande dynamique. Sur la bro-



gnal délivré par la broche 1 de $C1_2$ et active la porte II. En l'absence d'impulsions, cette porte voit son entrée à un état haut permanent, ce qui, d'après la table de vérité, entraîne un état bas en sortie. L'oscillateur de porteuse doit produire une fréquence voisine de 36 kHz, hachée au rythme du train d'impulsions présent sur l'entrée 9 de la porte II. Si cette entrée est soumise à un état haut, sa sortie présente un état bas ; pendant la durée d'une impulsion, l'oscillateur agit sur le front montant d'entrée. La période de celui-ci est donnée par la formule suivante : $T = 0,8 \times R \times (C_{21} + C_{22})$, et le rapport cyclique vaut 50 %. Les portes III et IV inversent le signal numérique et activent le montage Darlington bâti autour des transistors T_2 et T_3 afin de fournir aux diodes IR leur courant d'excitation. La diode D_7 protège des surtensions le circuit collecteur de T_2 - T_3 .

La résistance R_{21} et le condensateur C_{23} fonctionnent en régulateur de potentiel, suppléant dans le même temps le courant absorbé à la pile. En fait C_{23} se charge à travers R_{21} pendant les brèves sollicitations de T_2 et T_3 , on obtient ainsi de forts courants de pointe circulant dans les diodes infrarouge, sans pour cela altérer la charge de la pile.

L'alimentation du montage

Elle est confiée à un bloc fournissant 12 V et reliée à la platine par un jack d'alimentation, le pôle positif branché au milieu de la fiche.

REALISATION PRATIQUE

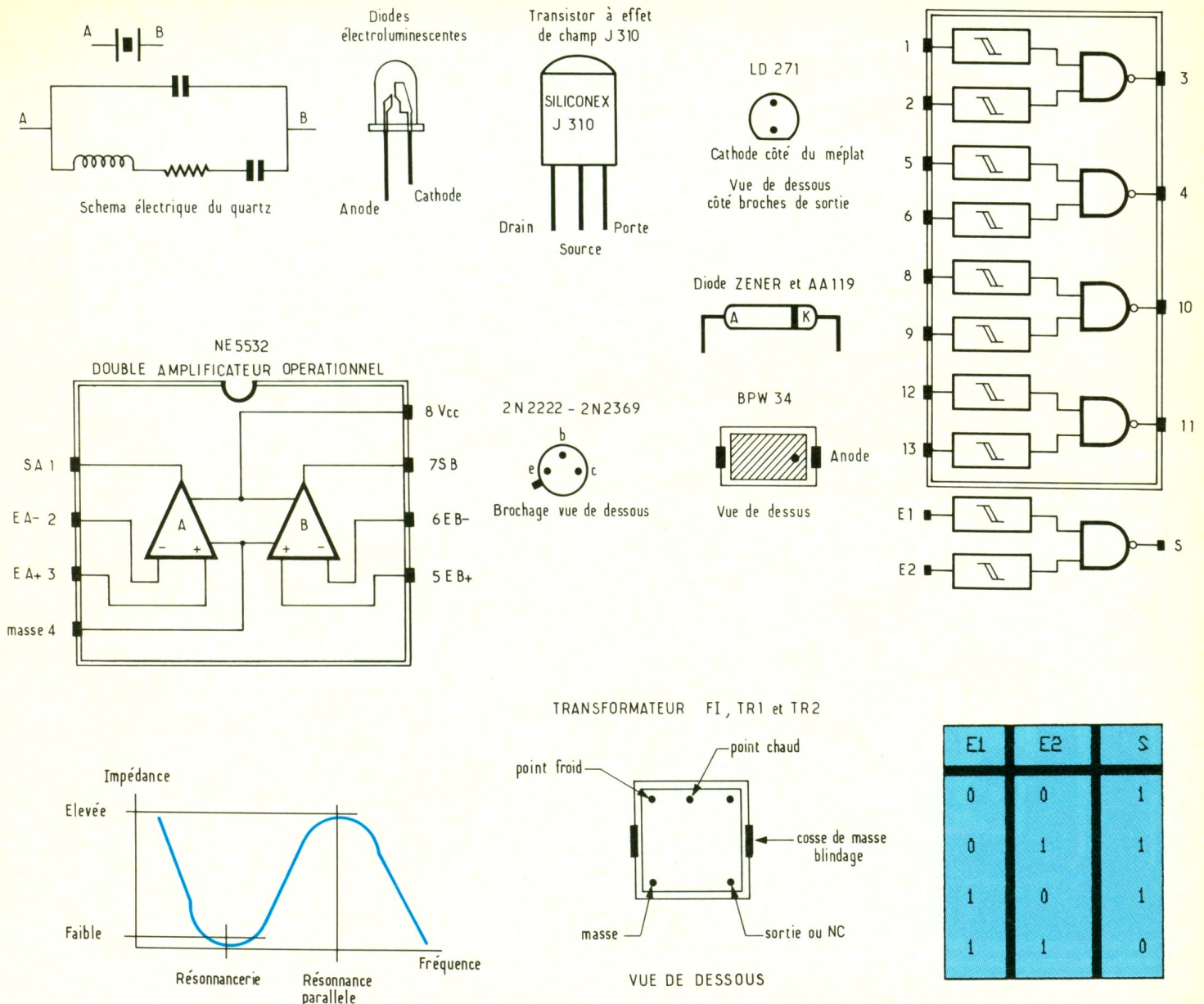
Les circuits imprimés

Le montage comporte deux circuits imprimés en verre époxy simple face, dont les dessins vous sont présentés aux figures 8 et 9. Une méthode couramment employée par l'électronicien consiste à photocopier sur papier calque les dessins proposés par la revue. Puis muni de leur « mylar », d'insoler le cuivre photosensible. Cette « technique », bien que très pratique, paraît désuète par rapport aux divers possibilités proposées de nos jours. Nous préférons de loin faire confiance aux annonceurs

che 1 de $C1_2$ nous disposons d'un train d'impulsion variant de 0 à V_{cc} quelle que soit l'amplitude du signal appliqué sur l'entrée 2 de cet amplificateur. Pour être utilisable par le décodeur infrarouge de votre téléviseur ou magnétoscope, le signal doit subir un traitement particulier, que nous abordons maintenant.

Le traitement des informations

Sur le schéma de la figure 5 vous découvrez quatre portes NAND CD4093B qui comportent chacune un trigger d'entrée. Elles remplissent quatre fonctions bien distinctes, une première porte logique 1 permet l'inversion du si-



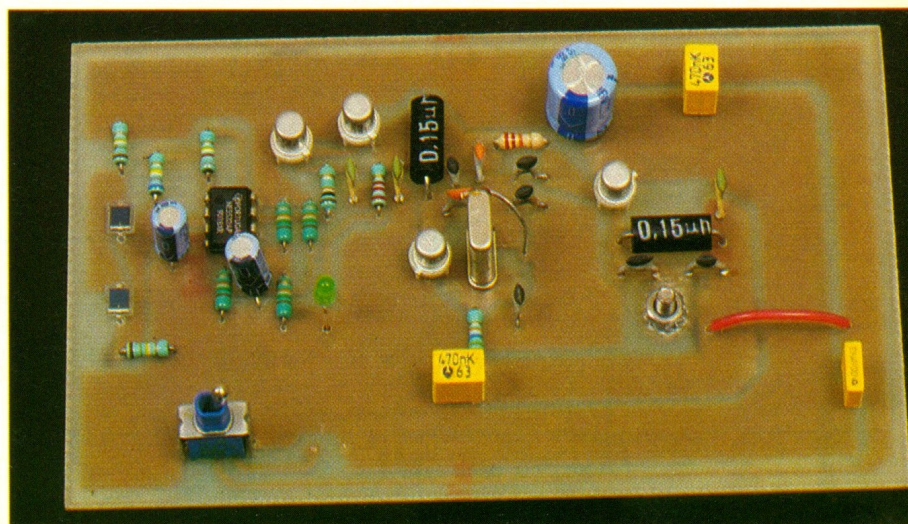
de la revue, qui réalisent avec soin et à moindres frais vos circuits imprimés, ou bien produire un mylar de qualité grâce au film Posireflex.

Photo 5. - Vue générale de l'émetteur.

Les perçages des circuits

De manière classique, ils se réalisent à l'aide d'un foret de 0,7 mm, sauf pour :

- les quartz : 1,1 mm ;
- les transformateurs FI : 1,1 mm pour les picots et 1,5 mm pour les points masse (capots de blindage) ;
- les interrupteurs de marche/arrêt : 1,1 mm ;
- les prises d'antenne : 3 mm ;
- le jack d'alimentation : 2,2 mm ;
- les diodes et inductances moulées : 1,1 mm.



Cela fait, dégraissez les deux circuits imprimés avec de l'éthanol dénaturé.

L'implantation des composants

Conformément aux figures 10 et 11 vous câblerez en premier lieu les composants passifs, les résistances, les straps, les condensateurs, les inductances moulées, les pots FI, puis les semi-conducteurs, les quartz. Attention aux diodes AA119 qui s'avèrent fragiles, ne les pliez pas au ras de la capsule en verre, l'implantation est prévue en conséquence (voir le tableau de la figure 7). Le tran-

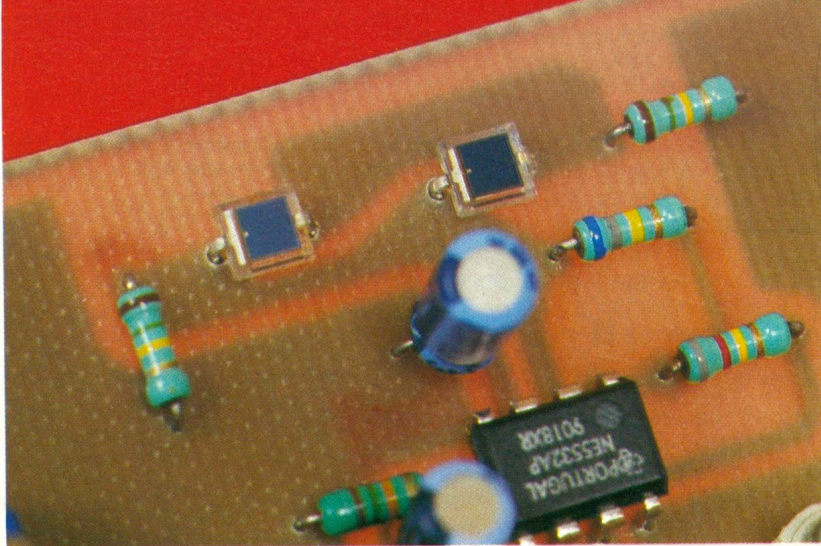
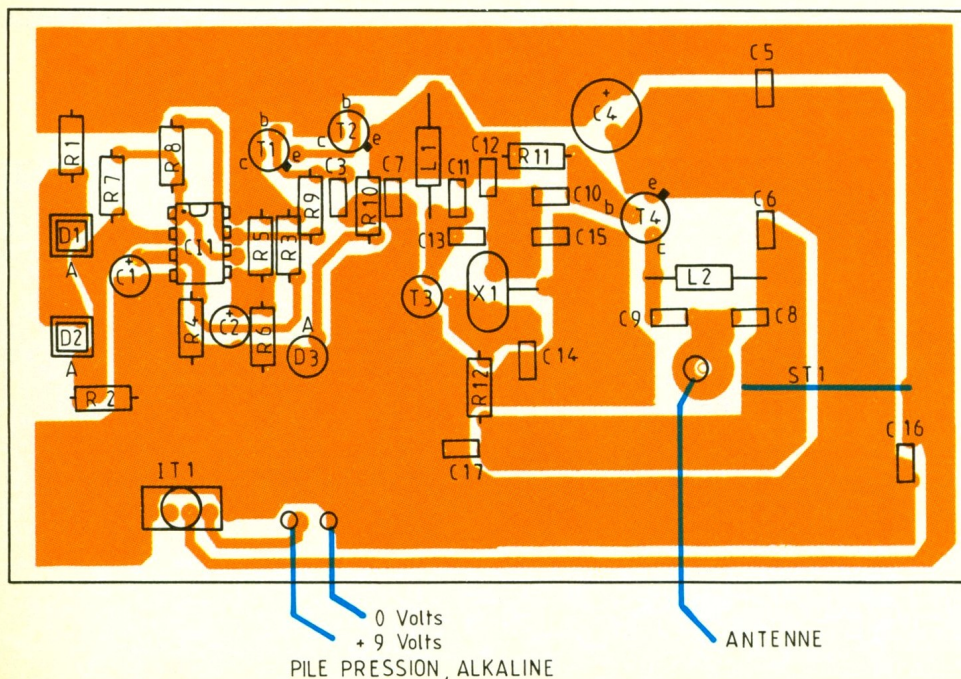
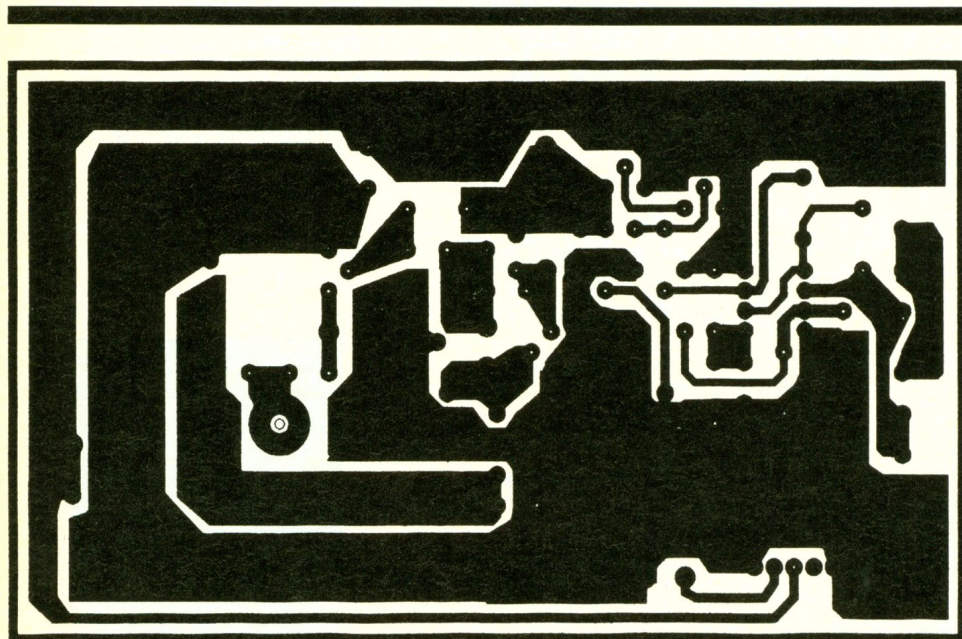


Photo 6. – Les deux capteurs IR de type BPW34 reçoivent les ordres du boîtier de télécommande.



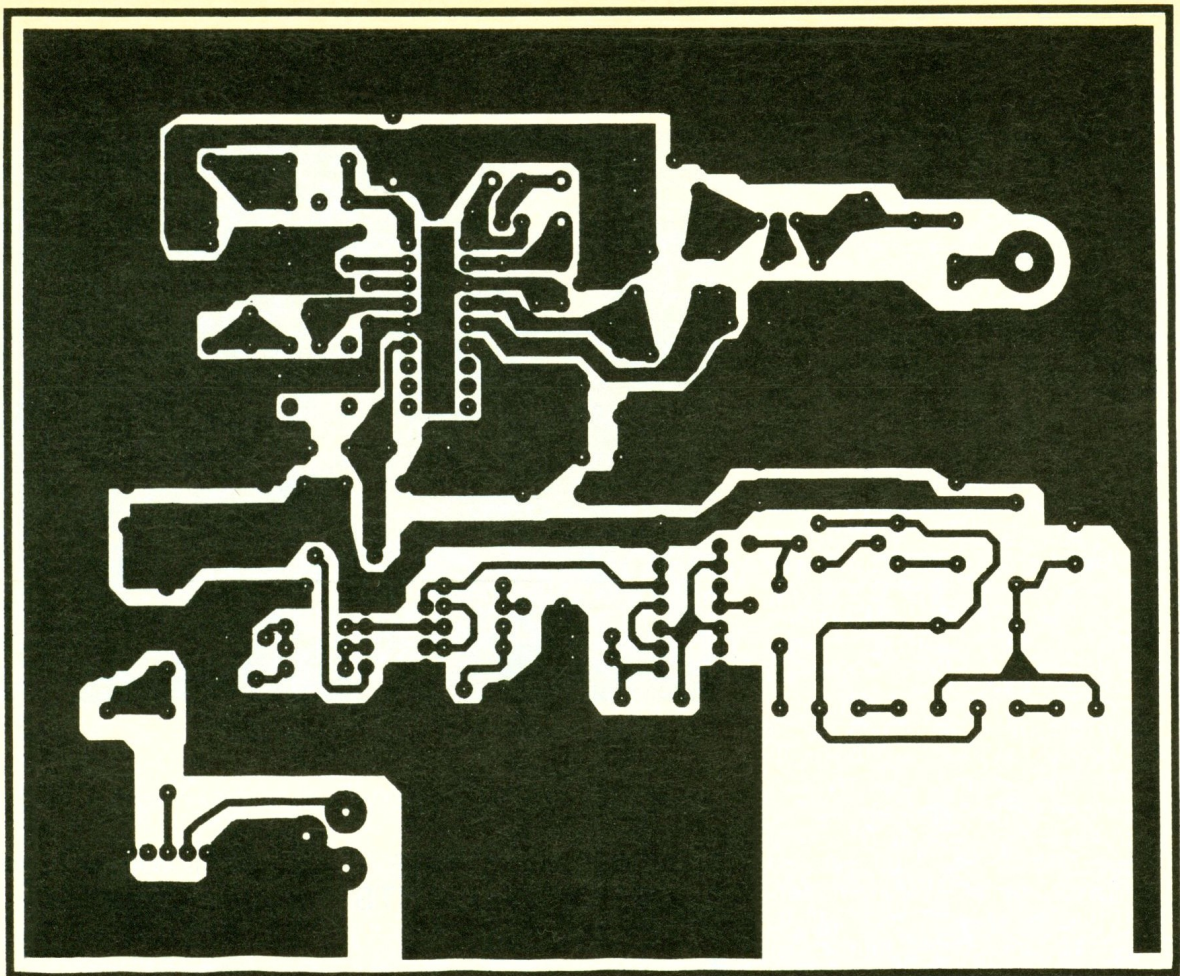
sistor FET J310 se pose à plat sur le circuit. Les transistors et diodes d'émission IR reposent sur des entretoises en nylon ou en plastique. Aux points prévus à cet effet, nous avons mis en place des vis avec leurs contre-écrous sur les circuits imprimés, pour visser directement l'antenne télescopique.

Mise au point

Vérifiez les circuits imprimés contre d'éventuels faux contacts ou courts-circuits, lorsque tout est correct connectez les alimentations. Soudez sous les circuits imprimés, à la place de l'antenne, une résistance de 47Ω pour les premiers réglages. Une pile de 9 V pour l'émetteur, et 12 V vers le récepteur, provenant d'un bloc d'alimentation secteur. Si vous avez observé les informations fournies plus haut, le fonctionnement est immédiat à quelques dizaines de centimètres. Le seul réglage à faire consiste à ajuster les pots FI de telle manière que les trains d'impulsions correspondent exactement à ceux transmis par l'émetteur. Pour cela, prenez comme référence les données présentées par le tableau de la figure 6. Un oscilloscope double trace pourrait vous rendre de précieux services. Eloignez progressivement les deux appareils pour peaufiner les réglages. On peut tolérer un certain écart de fréquence entre émission et réception, il suffit de le compenser par le réglage des transformateurs TR1 et TR2 du récepteur. Dès lors, vous pouvez dessouder les deux résistances et positionner enfin les antennes, vous serez en

9

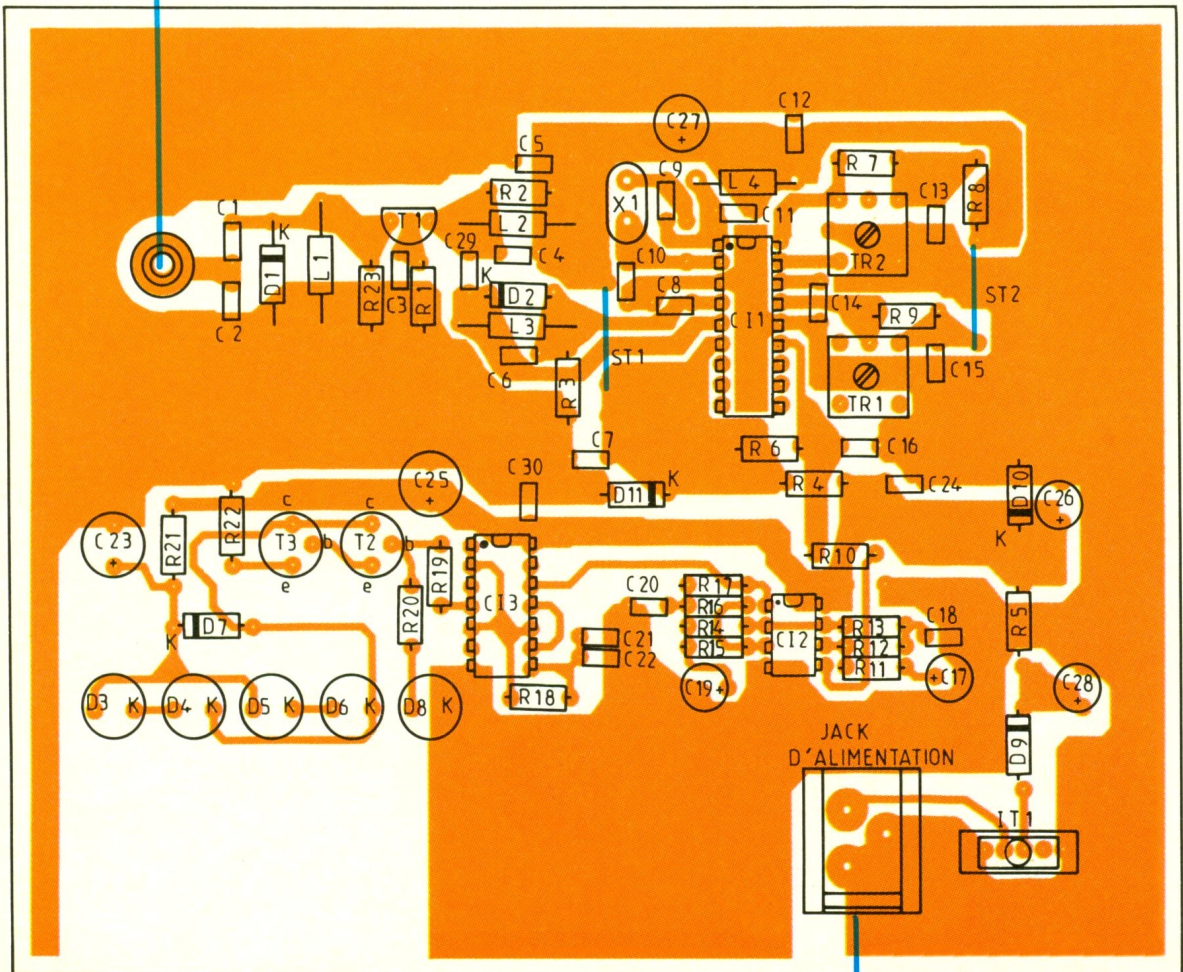
Dessin du circuit imprimé du récepteur.



Antenne télescopique de 1m

11

Implantation des composants du récepteur.



Bloc secteur
12 Volts au milieu

mesure de piloter votre TV, magnétoscope ou chaîne hi-fi. Si cela ne se produit pas, vérifiez votre réalisation, les valeurs des composants, leurs polarités, et reprenez les réglages.

Utilisations

Une fois n'étant pas coutume nous vous parlerons de portée « relative », relative aux conditions dans lesquelles votre appareil est employé (antennes, lieu d'utilisation, infrastructures métalliques). Trop de paramètres entrent en jeu dans le système pour se permettre d'être précis dans ce domaine. Toutefois, sans craindre quelques malentendus, nous pouvons avancer la couverture totale d'un pavillon de deux étages. Cela devrait suffire à la majorité des cas. Muni de cette réalisation, vous pourrez commander à distance tous vos appareils équipés de télécommandes infrarouge. La distance entre les diodes BPW34 et le boîtier de télécommande variera avec sa puissance ; dans notre cas (matériel Philips), elle va de 0 à 10 cm en fonction du boîtier. La réception satellite de l'auteur (un modèle Portenseigne) se voit également télécommandée par notre « déport ». Les lecteurs qui ont réalisé l'émetteur TV décrit précédemment dans la revue apprécieront (sûrement autant que l'auteur) la possibilité d'actionner le magnétoscope à distance, au cours par exemple d'une « télé-diffusion privée », et bien sûr tout autre appareil à usage domestique. Après tout, à l'époque du D2BUS, tout est permis ! Nous espérons avoir été assez précis dans nos explications pour vous permettre de réaliser cet appareil, et rappelez-vous que les ondes hertziennes appartiennent à la DTRE, le bon respect des lois soumet les citoyens désireux de faire de la télécommande à acquitter la taxe annuelle proposée par l'administration. Après ce détail important, nous vous souhaitons une bonne réalisation. A bientôt pour une nouvelle application des ondes radio !

Ph. B.



Photo 7. – Le boîtier du quartz d'émission rejoint la masse par un strap.

NOMENCLATURE DES COMPOSANTS

L'EMETTEUR

Résistances

R_1 et R_2 : 150 k Ω (marron, vert, jaune)
 R_3 à R_6 : 15 k Ω (marron, vert, orange)
 R_7 : 680 k Ω (bleu, gris, jaune)
 R_8 : 820 k Ω (gris, rouge, jaune)
 R_9 : 10 k Ω (marron, noir, orange)
 R_{10} : 2,2 k Ω (rouge, rouge, rouge)
 R_{11} : 22 k Ω (rouge, rouge, orange)
 R_{12} : 56 k Ω (vert, bleu, orange)

Condensateurs

C_1 et C_2 : 10 μ F, 12 V, vertical
 C_3 : 10 nF
 C_4 : 220 à 470 μ F, 12 V, vertical
 C_5 : 470 nF
 C_6 : 10 nF
 C_7 : 10 nF
 C_8 : 39 pF
 C_9 : 82 pF
 C_{10} : 47 pF
 C_{11} : 10 pF
 C_{12} : 33 pF
 C_{13} : 120 pF
 C_{14} : 47 pF
 C_{15} : 3,3 pF
 C_{16} : 100 nF
 C_{17} : 470 nF

Inductances

L_1 et L_2 : 150 nH, moulée axiale

Semi-conducteurs

CI_1 : NE5532 Philips, amplificateur opérationnel double, entrée bipolaire
 T_1 et T_2 : 2N2222A, transistor de commutation
 T_3 et T_4 : 2N2369A, transistor NPN pour applications HF
 D_1 et D_2 : BPW34, diode de réception infrarouge
 D_3 : DEL verte \varnothing 3 mm

Quartz

X_1 : quartz 72,4 MHz

Divers

IT_1 : interrupteur pour CI au pas de 2,54
 1 pile de 9 V alcaline
 1 circuit imprimé époxy simple face
 1 antenne télescopique de 1 m
 4 entretoises pour les transistors

LE RECEPTEUR

Résistances

R_1 : 180 Ω (marron, gris, marron)
 R_2 : 470 Ω (jaune, violet, marron)
 R_3 : 150 k Ω (marron, vert, jaune)
 R_4 : 100 Ω (marron, noir, marron)
 R_5 : 39 Ω (orange, blanc, noir)
 R_6 : 100 k Ω (marron, noir, jaune)
 R_7 : 150 k Ω (marron, vert, jaune)
 R_8 : 220 Ω (rouge, rouge, marron)
 R_9 : 150 k Ω (marron, vert, jaune)
 R_{10} : 10 k Ω (marron, noir, orange)

R₁₁ : 1 kΩ (marron, noir, rouge)
 R₁₂ : 820 kΩ (gris, rouge, jaune)
 R₁₃ : 10 kΩ (marron, noir, orange)
 R₁₄ : 100 kΩ (marron, noir, jaune)
 R₁₅ : 4,7 kΩ (jaune, violet, rouge)
 R₁₆ : 2,2 MΩ (rouge, rouge, vert)
 R₁₇ : 2,2 MΩ (rouge, rouge, vert)
 R₁₈ : 56 kΩ (vert, bleu, orange)
 R₁₉ : 10 kΩ (marron, noir, orange)
 R₂₀ : 2,2 kΩ (rouge, rouge, rouge)
 R₂₁ et R₂₂ : 10 Ω (marron, noir, noir)
 R₂₃ : 470 Ω (jaune, violet, marron)

Condensateurs

C₁ : 82 pF
 C₂ : 39 à 47 pF
 C₃ : 10 nF
 C₄ : 27 pF
 C₅ : 10 nF
 C₆ : 27 pF
 C₇ : 150 nF
 C₈ : 10 nF
 C₉ : 100 nF
 C₁₀ : 18 pF
 C₁₁ : 33 pF
 C₁₂ et C₁₃ : 470 nF
 C₁₄ : 150 nF

C₁₅ : 470 nF
 C₁₆ : 330 pF
 C₁₇ : 10 μF, 12 V, vertical
 C₁₈ : 22 pF
 C₁₉ : 10 μF, 12 V, vertical
 C₂₀ : 22 pF
 C₂₁ : 47 pF
 C₂₂ : 560 pF
 C₂₃ : 470 μF, 12 V, vertical
 C₂₄ : 470 nF
 C₂₅ : 470 μF, 12 V, vertical
 C₂₆ : 220 μF, 12 V, vertical
 C₂₇ : 470 μF, 12 V, vertical
 C₂₈ : 220 μF, 16 V, vertical
 C₂₉ : 2,2 pF
 C₃₀ : 470 nF

Inductances

L₁ à L₃ : 150 nH, moulée axiale
 L₄ : 1 μH, moulée axiale
 TR₁ : transformateur FI 455 kHz, 10 x 10, couleur jaune
 TR₂ : transformateur FI 455 kHz, 10 x 10, couleur noire

Quartz

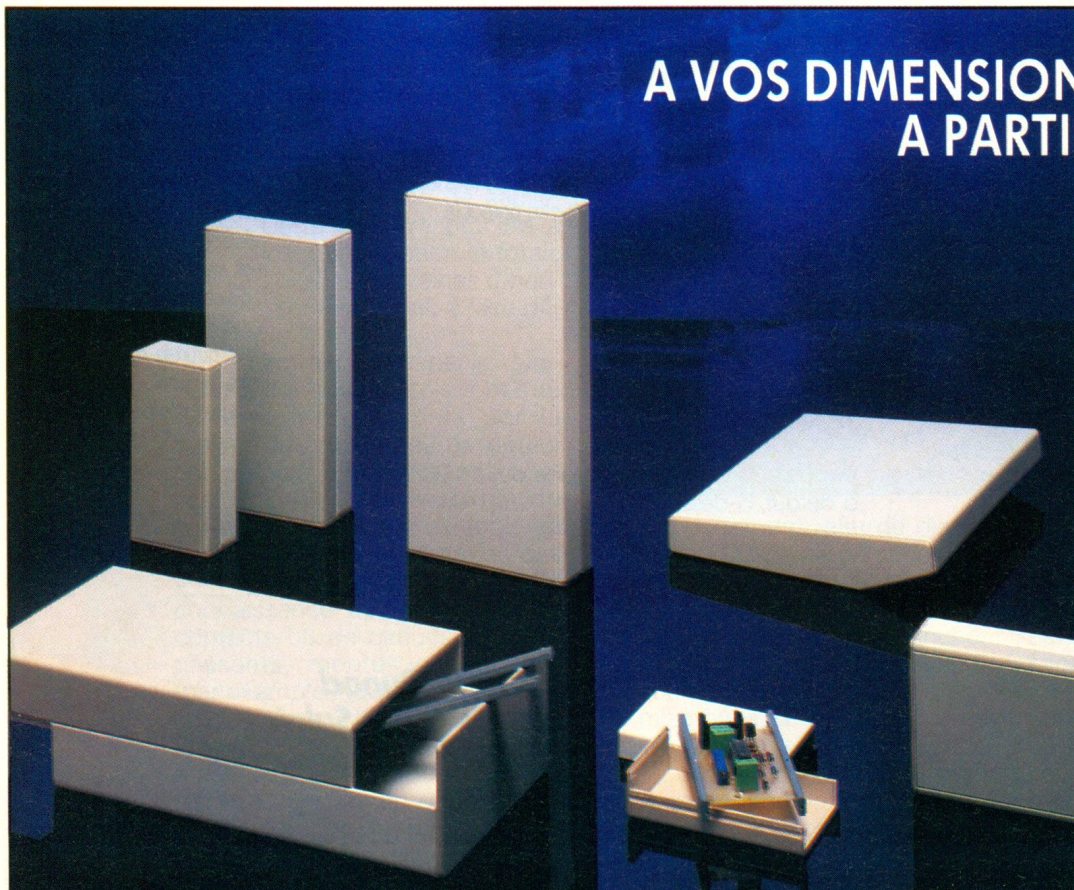
X₁ : quartz de réception pour FI de 455 kHz, le plus simple consiste à se procurer une paire de quartz « émission-réception » de télécommande, notre maquette emploie une paire 72,4 MHz.

Semi-conducteurs

T₁ : J310 Siliconix, transistor FET pour applications HF
 T₂ et T₃ : 2N2222A, transistor de commutation
 CI₁ : LM 1872 National, circuit intégré de réception AM
 CI₂ : NE 5532 Philips, double amplificateur opérationnel
 CI₃ : CD 4093, quadruple porte NAND à trigger
 D₁ et D₂ : AA119, diode germanium de limitation
 D₃ à D₆ : LD271, diode d'émission infrarouge
 D₇ : LD271, diode d'émission infrarouge
 D₇ : 1N4001, diode silicium
 D₈ : DEL verte, ø 3 mm
 D₉ : 1N4001, diode silicium
 D₁₀ : BZX9,1, diode Zener de 9,1 V
 D₁₁ : BZX6,1, diode Zener de 6,1 V

Divers

IT₁ : interrupteur marche/arrêt pour CI, pas de 2,54
 2 straps ST1 et ST2
 1 prise jack pour l'alimentation
 1 bloc secteur 12 V 100 mA
 1 plaque de circuit imprimé en époxy
 1 antenne télescopique de 1 m
 2 entretoises pour les transistors



**A VOS DIMENSIONS
 A PARTIR DE 300 PIECES**

**SERIE DB
 DPC**

**DESIGN
 PLASTIQUE**

- SUPPORTS CIRCUIT IMPRIME AMOVIBLES
- SANS VIS
- FERMETURE PAR CLIPS SECURITE
- FORMAT EUROPE
- 4 PARTIES DEMONTABLES

DB1 : 25 x 53 x 103
 DB2 : 25 x 63 x 125
 DB3 : 30 x 83 x 163
 DB4 : 30 x 103 x 203

DB5 : 50 x 103 x 203
 DB6 : 17 x 38 x 83
PUPITRES :
 DPC 1 : 17/25 x 103 x 163
 DPC 2 : 17/25 x 203 x 163



**DEPARTEMENT : PRODUITS STANDARDS
 LA TOLERIE PLASTIQUE**
 Z.I ROUTE D'ETRETAT Tél. : 35.44.92.92
 76930 OCTEVILLE/MER Fax : 35.44.95.99

UN SYSTEME D'ALARME



L'évolution de la courbe statistique du nombre de cambriolages étant plutôt à la hausse ces dernières années, l'installation d'un système d'alarme fiable et efficace devient une nécessité. Aussi, nous vous proposons la réalisation de cette centrale d'alarme capable de contrôler trois zones à déclenchement retardé ou non, et à alimentation secourue en cas de panne du réseau 220 V. De plus, les sollicitations éventuelles sont mémorisées, et la mise en action ainsi que l'arrêt sont soumis à un code secret.

Ses performances n'ont donc rien à envier à des montages relativement plus coûteux disponibles dans le commerce.

I - LES CARACTERISTIQUES DE FONCTIONNEMENT

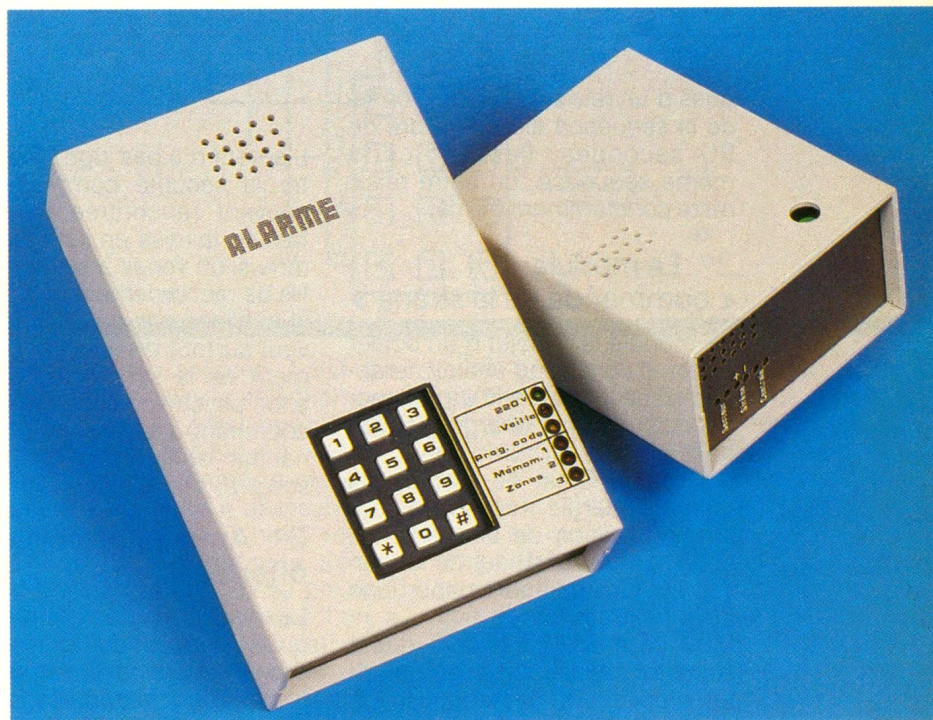
La figure 1 reprend le synoptique général du dispositif.

1° La centrale d'alarme

La partie maîtresse est bien entendu le boîtier renfermant la centrale de commande. Elle est alimentée par le secteur 220 V qui, après un traitement approprié, assure en permanence la charge d'une batterie de sauvegarde. Cette dernière procure à l'ensemble une autonomie totale pendant plusieurs dizaines d'heures, si le secteur venait à faire défaut.

Cette centrale est capable d'assurer le contrôle de trois zones indépendantes, et cela par le moyen de deux types de détection d'une éventuelle alarme : détection de l'ouverture de contacts montés par exemple en série (contacts magnétiques des fenêtres et portes) ou encore reconnaissance de fermetures de contacts ou de circuits devenus passants, montés en parallèle (par exemple les détecteurs infrarouges comme le MS 02).

Pour chaque zone, le déclenchement peut être immédiat ou retardé. Il convient en effet de prévoir une temporisation de retardement du déclenchement pour la zone qui correspond à l'accès normal de la maison ou



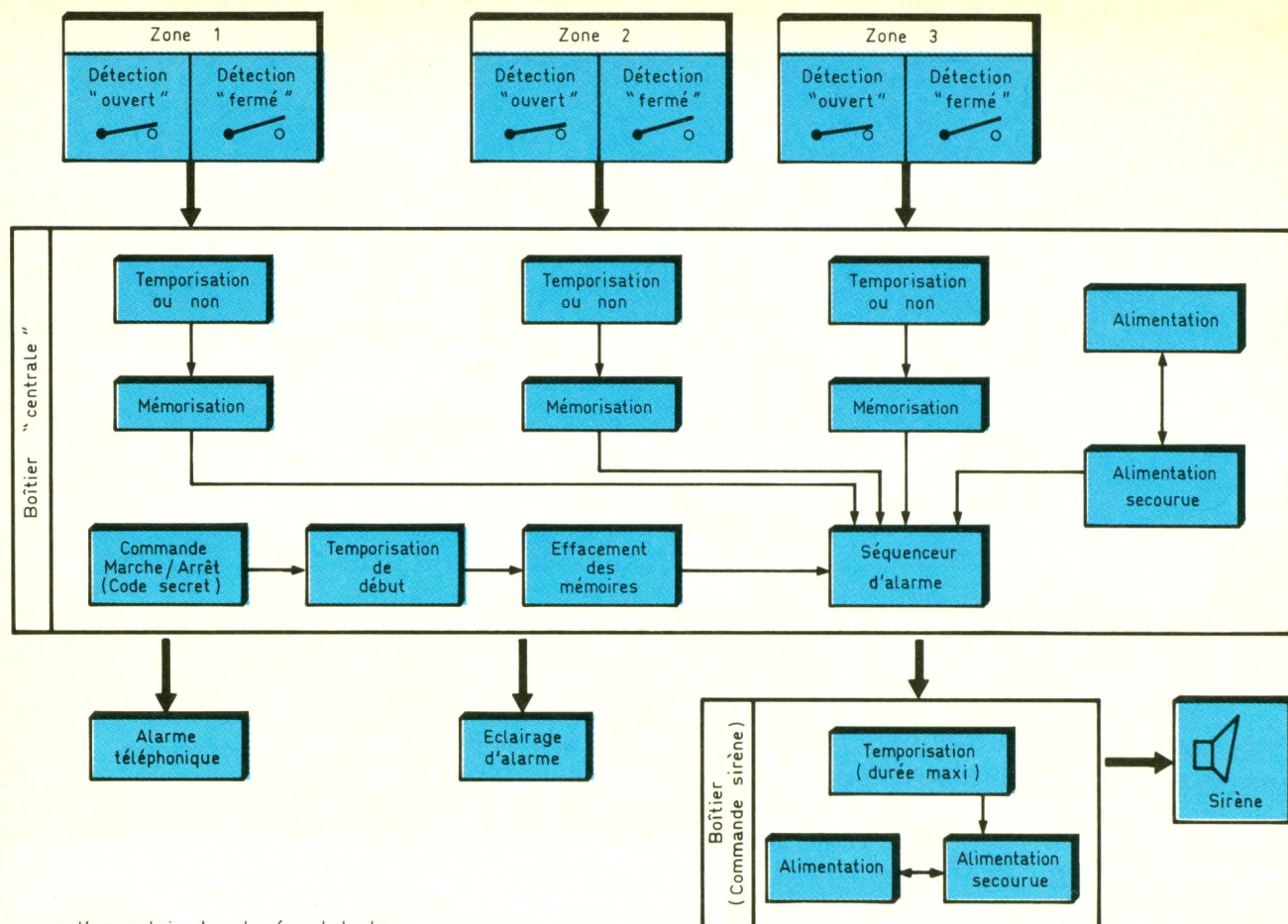
de l'appartement, afin de disposer d'une quinzaine de secondes pour couper le système d'alarme avant le démarrage de la séquence d'alarme. En revanche, pour les autres zones, le déclenchement est immédiat.

La mise en veille du dispositif se réalise, par le biais d'un clavier de 12 touches, par l'entrée d'un code secret pour la mise en marche et d'un autre code pour l'arrêt. Bien entendu, il est possible de modifier ces codes à tout moment.

Après la mise en marche, il se produit une temporisation de neutralisation de l'ordre d'une quarantaine de secondes pour permettre la sortie de l'habitat, sans déclencher le système.

Toute détection est mémorisée par zone, par l'allumage d'une LED correspondante. Pour effacer cette mémorisation, il suffit d'entrer le code prévu pour l'arrêt. La conséquence d'une détection réside dans le démarrage d'une séquence d'alarme aboutissant à neuf fermetures périodi-

1
Schéma
fonctionnel
du système
d'alarme.



ques d'un relais. La durée globale de la séquence est de l'ordre de 90 secondes. Pendant cette même séquence, un autre relais reste constamment fermé.

2° Le module « commande de la sirène »

Ce module fait l'objet d'un boîtier à part. Il comprend une alimentation issue également du secteur qui assure une charge permanente d'un accumulateur de puissance. C'est ce dernier qui fournit l'énergie nécessaire à la mise en action de la sirène qui est placée à l'extérieur de la maison ou dans un endroit approprié de l'appartement.

Mais ce module est doté d'une sécurité supplémentaire. En effet, un dispositif de temporisation interne limite la durée globale de fonctionnement de la sirène, pour une séquence d'alarme donnée, à une valeur de l'ordre de 80 à 95 secondes.

Cette précaution évite le phénomène désagréable des sirènes hurlant en permanence dont l'effet indispose tout le voisinage sans apporter de protection supplémentaire, en cas de perturbations répétitives du système d'alarme (animal dans la maison, courants d'air, fenêtres non fermées dont les battants oscillent...).

L'auteur n'a pas jugé utile d'ajouter la sécurité complémentaire, souvent rencontrée, et consistant en la mise en action de la sirène si on venait à sectionner ses fils de raccordement.

N'oublions pas qu'une alarme se veut surtout dissuasive : le hurlement de la sirène doit créer un choc psychologique sur l'individu cherchant à s'introduire dans un habitat et lui faire abandonner son projet.

3° Autres possibilités offertes

Le relais précédemment évoqué, qui se ferme neuf fois au cours d'une séquence d'alarme, commande donc autant de fois la sirène d'alerte. Un second jeu de contacts du même relais assure un allumage d'alarme, au même rythme, sous la forme d'un spot intense par exemple, en contribuant ainsi à déstabiliser l'individu s'étant introduit dans le logement, surtout la nuit.

Enfin, le second relais a été prévu pour actionner une alarme téléphonique sur laquelle un numéro a été préalablement programmé. Un tel montage a fait l'objet d'une description détaillée dans notre numéro EP 146 de mars 1991.

II - LE FONCTIONNEMENT ELECTRONIQUE

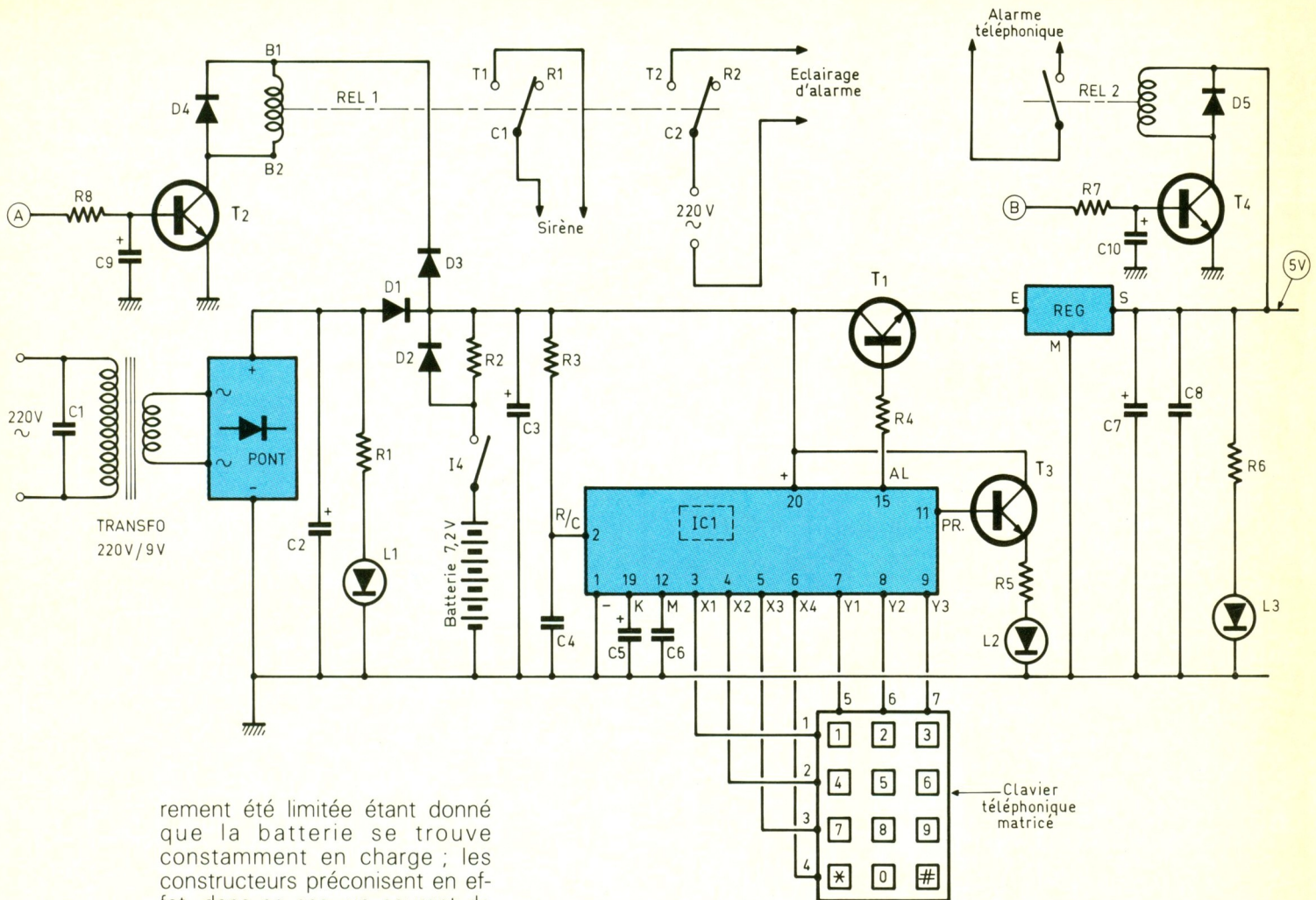
1° Centrale d'alarme (fig. 2, 3 et 4)

a) Alimentation

Le montage est relié en permanence sur le secteur 220 V, par l'intermédiaire d'un transformateur délivrant sur son enroulement secondaire un potentiel de 9 V, aussitôt redressé en double alternance par un pont de diodes. Une capacité C_2 assure un filtrage efficace de ce potentiel. La LED verte L_1 , dont le courant est limité par R_1 , indique la présence du secteur. Notons également la capacité C_1 , chargée d'éliminer les éventuelles fréquences parasites du réseau de distribution.

Par l'intermédiaire de la diode D_1 , un potentiel continu de l'ordre d'une dizaine de volts est alors disponible sur l'armature positive de la capacité C_3 .

Une batterie de 7,2 V (120 mAh) est en charge permanente par le biais de la résistance de limitation R_2 . Le courant de charge est très faible : de 1 à 1,5 mA. Cette valeur a volontai-



rement été limitée étant donné que la batterie se trouve constamment en charge ; les constructeurs préconisent en effet, dans ce cas, un courant de charge égal au nombre de mA, à 1 % de la valeur de la capacité exprimée en mAh.

En cas de défaillance du secteur, la batterie est ainsi capable d'assurer le relais de l'alimentation, par shuntage de R_2 , grâce à la diode D_2 .

L'interrupteur I_4 est normalement toujours fermé ; il a été prévu uniquement pour le cas d'une mise hors service prolongée du système d'alarme.

b) Serrure électronique

Le circuit intégré IC_1 est une serrure électronique ; il s'agit d'un LS 7223. Il a déjà fait l'objet d'une description détaillée dans EP n° 149 (juin 1991). Rappelons que ce circuit est de la famille CMOS, alimenté par un potentiel pouvant aller de 4 à 18 V. Sa consommation à l'état de veille ne dépasse pas quelques dizaines de microampères. Il a été prévu pour être piloté par un clavier du type matricé avec un maximum de 4 rangées et 4 colonnes, donc 16 touches.

Dans le cas présent, il est fait usage d'un clavier téléphonique classique de 12 touches : 4 rangées et 3 colonnes.

Un tel circuit comporte plusieurs possibilités. Nous n'allons pas les examiner toutes et nous retiendrons uniquement la sortie « Alarme ». Cette sortie passe à l'état haut, une fois que l'on a composé sur le clavier, et dans un temps alloué, un code de 4 chiffres. Elle passe à l'état bas après que l'on a entré un second code de 4 chiffres.

Le LS 7223 comporte une programmation d'origine. Celle-ci s'exprime par une suite de 6 chiffres qui sont les suivants (pour le cas des liaisons établies par le clavier, dans la présente application) : 1-2-5-4-1-2.

Les trois premiers chiffres sont communs aux deux fonctions : marche et arrêt. Dans la programmation d'origine, le code « Arrêt » est 1-2-5-4 et le code « Marche » 1-2-5-2. En fait, le quatrième chiffre correspond à

l'arrêt et le sixième à la mise en marche. Quant au cinquième, il est réservé à la programmation. Pour reprogrammer, il suffit d'entrer 1-2-5-1-**-*. Dans ce cas, la sortie 11 (Prog) passe à l'état haut, ce qui se traduit par l'allumage de la LED jaune L_2 . On entre alors la nouvelle programmation de 6 chiffres. Par exemple : 8-5-4-0-1-3.

La LED jaune s'éteint, et le LS 7223 garde en mémoire sa nouvelle programmation s'établit dans ce cas ainsi :

Arrêt : 8-5-4-0

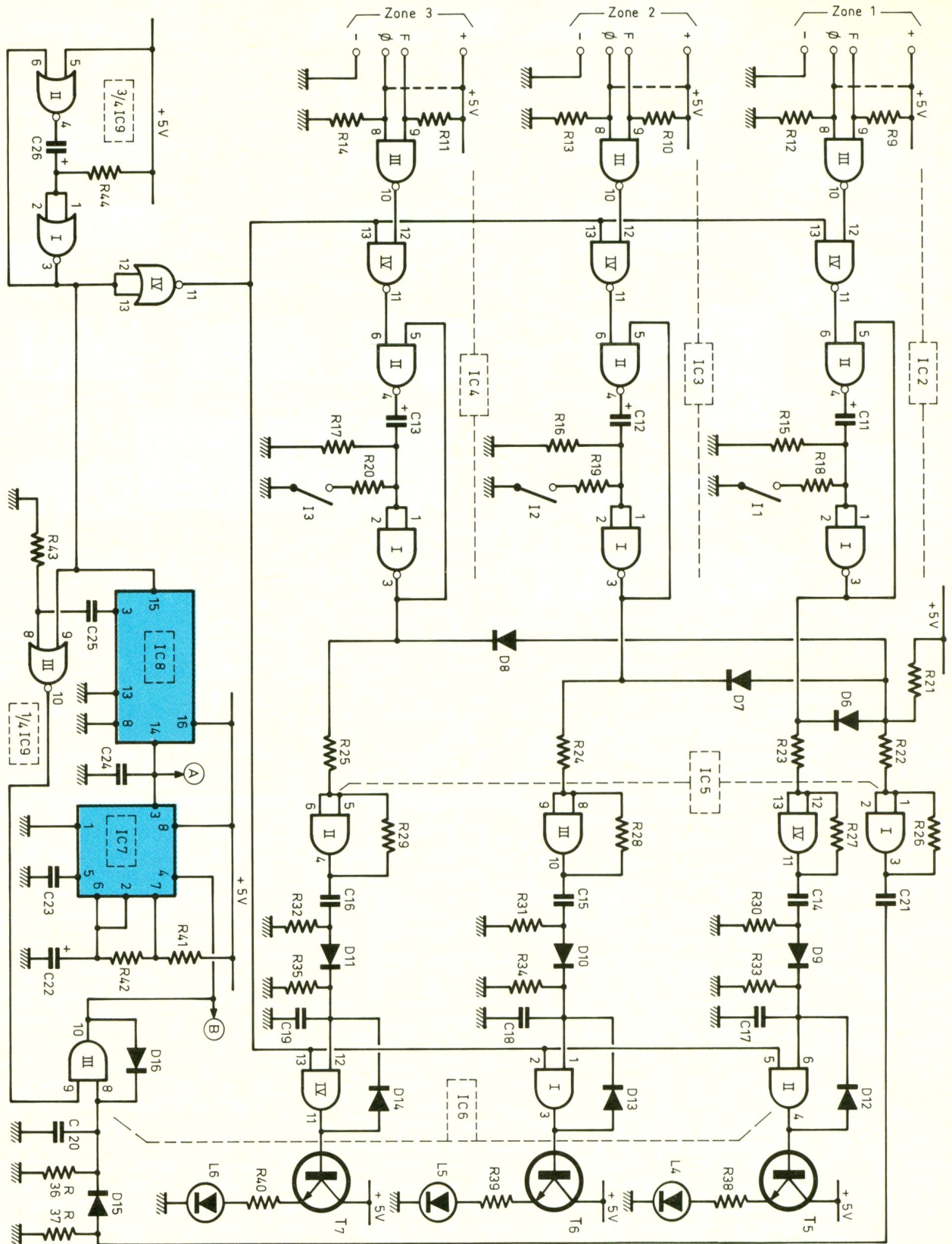
Marche : 8-5-4-3

Changement de programmation : 8-5-4-1-**-*

Le tableau de la figure 10 reprend ce principe.

Si on cesse d'alimenter le LS7223, par exemple en ouvrant l'interrupteur I_4 et en débranchant le secteur, après avoir déchargé C_3 , le circuit intégré retrouve toujours sa programmation d'origine.

La résistance R_3 et la capacité C_4



pilote un oscillateur interne, nécessaire au fonctionnement du CI. La capacité C_5 fixe le temps alloué dont dispose l'opérateur pour entrer le code secret. Cette valeur est de 7 à 9 secondes

dans la présente application. La mise en marche de IC_1 rend passant le transistor T_1 . L'émetteur de ce dernier alimente alors l'entrée d'un régulateur qui délivre sur sa sortie un potentiel

continu et régulé à 5 V. La capacité C_7 assure un ultime filtrage de ce potentiel, tandis que la LED L_3 témoigne de la mise du dispositif d'alarme en position de veille.

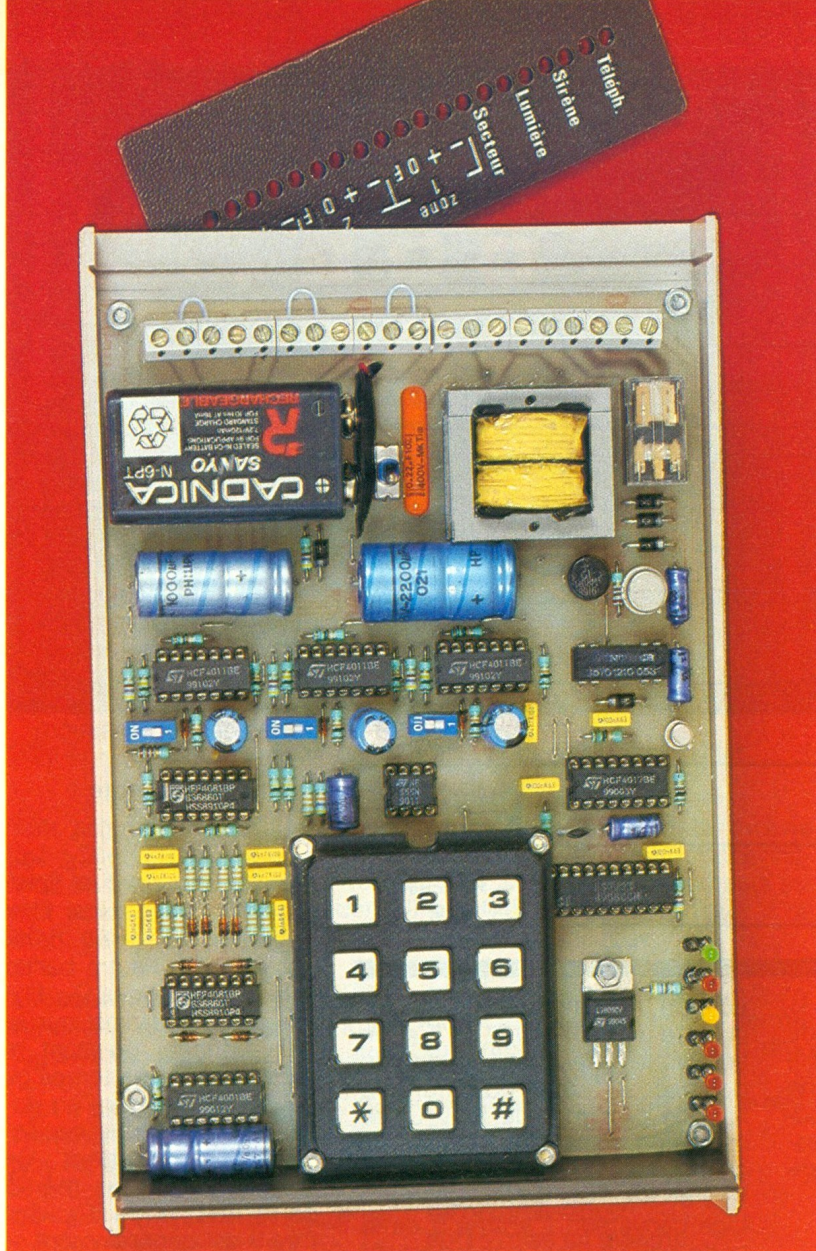


Photo 2. – La carte principale avec son clavier.

Le potentiel de 5 V a été retenu pour servir d'alimentation éventuelle à des détecteurs passifs infrarouges du type MS 02 dont le potentiel d'alimentation doit rester inférieur à 5,5 V.

c) Zones de détection

Ainsi que nous l'avons déjà évoqué précédemment, le montage comporte la possibilité de se raccorder à trois zones de détection. Sur le schéma de la **figure 3**, on distingue assez nettement ces dernières ; elles correspondent respectivement aux circuits intégrés IC₂, IC₃ et IC₄ qui renferment chacun quatre portes NAND à deux entrées. A titre d'exemple, examinons le cas de la zone 1, dont le contrôle revient à la porte NAND III de IC₂. A l'état de non-sollicitation, les deux entrées de cette porte sont soumises à un état haut perma-

nent ; la sortie présente ainsi un état bas.

Deux types de sollicitations peuvent se présenter :

α) Contrôle d'ouverture de contacts

La liaison figurant en pointillé est normalement assurée par une chaîne de contacts placés en série. D'ailleurs, dans le cas d'une non-utilisation de ce type de détection, la liaison est à réaliser à l'aide de straps reliant les bornes + et 0 du bornier de raccordement.

Dans le cas où cette liaison vient à être interrompue, l'entrée 8 de la porte passe à l'état bas, par le biais de R₁₂.

La sortie de la porte NAND présente alors un état haut.

β) Contrôle de fermeture

En plaçant entre les entrées F et – un ou plusieurs contacts en parallèle, si l'un d'eux vient à se

fermer, l'entrée 9 de la porte NAND passe à l'état bas et la sortie de la porte présente également un état haut.

On peut également utiliser cette possibilité pour raccorder une entrée +, F et –, un ou plusieurs détecteurs passifs à infrarouges du type MS 02, la borne F étant à relier sur le collecteur normalement ouvert de ces derniers.

En définitive, on retiendra qu'une détection se manifeste par la présentation d'un état haut, permanent ou fugitif, sur la sortie de la porte NAND III.

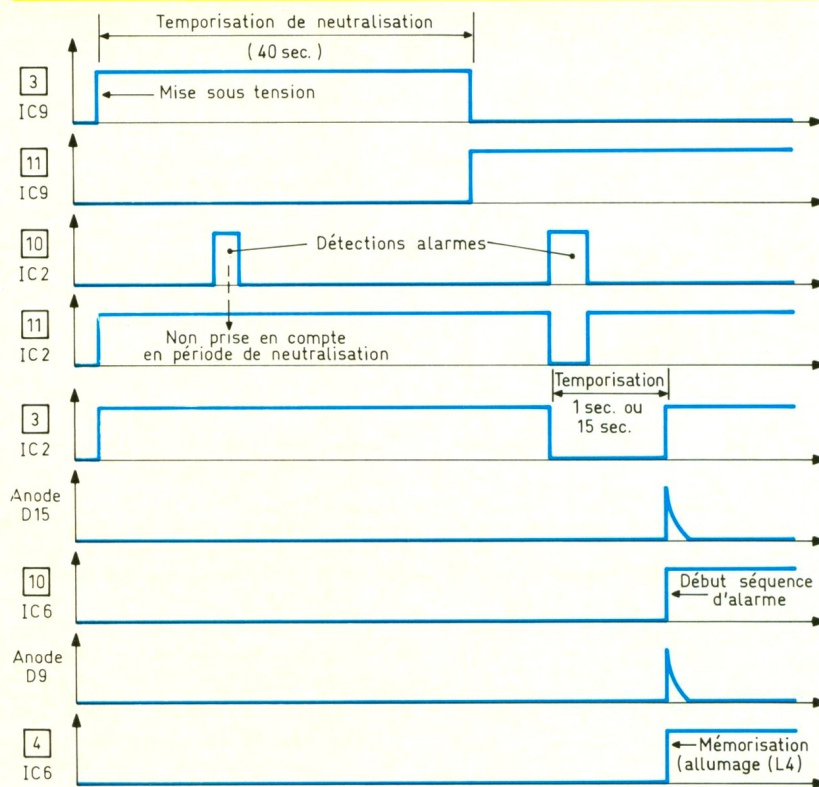
d) Temporisation de déclenchement

La porte NAND IV de IC₂ a normalement son entrée 13 soumise à un état haut, dans les conditions normales d'un état de veille. Nous verrons au dernier paragraphe qu'il n'y a exception à cette règle que pendant la quarantaine de secondes qui suit la mise en marche du dispositif. Mais lorsque le montage est opérationnel, une alarme se traduit par un état bas, permanent ou temporaire, disponible sur la sortie de la porte NAND IV. Cet état bas sollicite la bascule monostable constituée par les portes NAND I et II de IC₂. La sortie de la bascule, qui présente normalement un état haut de repos, délivre alors une impulsion négative d'une durée déterminée, et en tout cas indépendante de celle qui lui a donné naissance. Le phénomène se produit donc même dans le cas où le signal de détection reste permanent (cas d'une porte ou d'une fenêtre restant ouverte par exemple). Deux temporisations sont prévues :

- si l'interrupteur I₁ est fermé, la durée de l'impulsion négative est très réduite (moins d'une seconde) étant donné la faible valeur de R₁₈ ;
- si l'interrupteur I₁ est ouvert, l'impulsion dure une quinzaine de secondes à cause de la valeur relativement plus importante de R₁₅.

La porte AND IV de IC₅ forme un trigger de Schmitt dont le rôle est de présenter sur la sortie des fronts montants et descendants bien verticaux. Ainsi sur la sortie de ce trigger, après la détection d'une alarme, on enregistre un front *montant* :

- immédiatement si I₁ est fermé ;



– retardé de 15 secondes si I₁ est ouvert ; grâce à ce retard de déclenchement, il est possible d'arrêter le système d'alarme avant sa mise en action. On ouvrira donc l'interrupteur correspondant à la zone réservée à l'entrée normale du domicile.

e) Mémoire d'une détection

La porte AND II de IC₆ est montée en porte de mémoire.

Photo 3. – En cas de coupure secteur, un accu maintient le système en action

Lors du front montant délivré par la porte trigger AND IV de IC₅, on enregistre une brève impulsion positive au point commun de l'anode de D₉ et de R₃₀. Cette impulsion est le résultat de la charge rapide de C₁₄ à travers R₃₀ et R₃₀, qui forme un montage dérivateur. L'entrée 5 de la porte AND II étant généralement à l'état haut, la sortie passe également à l'état haut, et reste à ce niveau logique grâce au verrouillage réalisé par D₁₂ : c'est donc

la mémorisation de l'alarme. Le transistor T₅ se sature, et la LED L₄, montée dans le circuit émetteur avec une résistance de limitation, s'allume.

Pour effacer cette mémorisation, il faudra placer le dispositif sur « Arrêt ». A l'occasion de la prochaine mise en position de veille, nous verrons que les entrées d'effacement des trois portes de mémorisation AND I, II et IV sont soumises à un état bas de neutralisation et d'effacement en guise d'initialisation. En effet, lors de la mise sous tension du montage, on enregistre toujours des perturbations qui, sans précaution adéquate, risqueraient de provoquer la mémorisation indésirable de l'une ou de l'autre des portes de mémorisation.

f) Prise en compte d'une détection

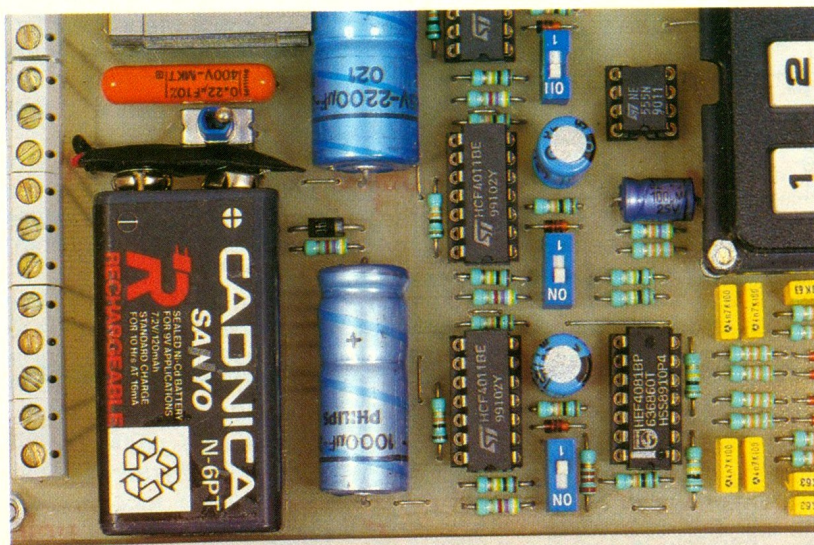
La porte AND I de IC₅, également montée en trigger de Schmitt, reproduit sur sa sortie l'impulsion négative de durée déterminée par l'une ou l'autre bascule, par le biais des diodes D₆, D₇ ou D₈. On enregistre ainsi sur la sortie de ce trigger un front montant vertical en même temps que celui qui se produit sur l'un ou l'autre des trois triggers évoqués au paragraphe précédent. Ce front montant, via C₂₁, mémorise la porte AND III de IC₆, dont l'entrée 9 est généralement soumise à un état haut.

Elle peut être soumise temporairement à un état bas provoquant l'effacement à l'occasion de deux événements :

- au moment de la mise sous tension du montage, après avoir entré le code « Marche » ;
- à la fin de la séquence d'alarme, comme nous le verrons au paragraphe suivant.

g) Séquence d'alarme

Le boîtier référencé IC₇ est un « 555 » monté en oscillateur. En règle générale, il a son entrée RAZ soumise à un état bas de blocage par la sortie de la porte de mémorisation AND III de IC₆, évoquée ci-dessus. Dans ce cas, la sortie S du « 555 » présente un état bas de repos. En revanche, dès que la porte de mémorisation AND III passe à l'état haut, le circuit IC₇ entre en oscillation. Cela se traduit par des créneaux disponibles sur la sortie, caractérisés par une période directe-



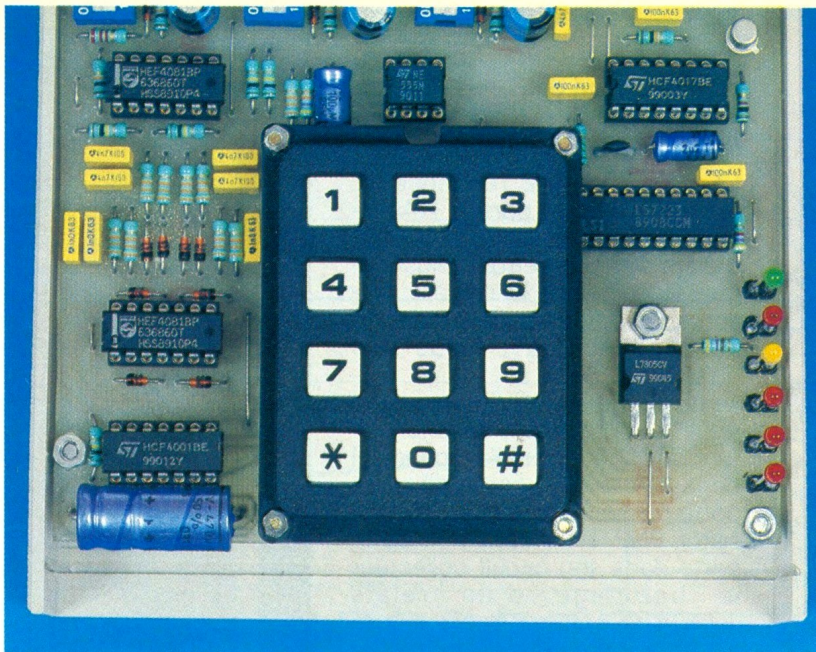


Photo 4. – Le clavier de programmation et les DEL de signalisation d'état.

ment proportionnelle au produit $(R_{41} + 2 \times R_{42}) \times C_{22}$. Dans le cas présent, cette dernière est de l'ordre de 9 secondes (6 s d'état haut et 3 s d'état bas).

A chaque front ascendant de ces créneaux, le compteur décimal IC₈ avance d'un pas. Initialement, il était en position S₀, c'est-à-dire que la sortie S₀ (3) présentait un état haut. Cet état haut se déplace ainsi de proche en proche : S₁, S₂, et ainsi de suite jusqu'à revenir au début de la dixième impulsion, sur S₀. Le front montant alors disponible sur cette sortie est aussitôt pris en compte par le dispositif dérivateur que constituent R₄₃ et C₂₅, ce qui a pour conséquence la soumission, pendant un bref instant, de l'entrée 8 de la porte NOR III de IC₉ à un état haut.

L'autre entrée étant généralement à un état bas, en dehors de la neutralisation de départ, on observera une impulsion négative sur la sortie de cette porte. Elle provoque la démemorisation de la porte AND III de IC₆, dont la sortie repasse à son état bas de repos. La séquence d'alarme s'achève ainsi, étant donné que l'entrée RAZ du « 555 » est à nouveau bloquée sur un état bas.

Le déroulement de la séquence d'alarme a deux conséquences :

α) Le transistor T₂ se trouve saturé périodiquement, neuf fois de suite. Il comporte dans son circuit collecteur le bobinage d'un relais 2RT. A chaque fermeture,

nous verrons que la sirène d'alarme entre en fonctionnement. L'autre jeu de contacts assure l'éclairage périodique d'un récepteur lumineux.

β) Le transistor T₄ est saturé pendant toute la durée de la séquence. Cela entraîne la fermeture des contacts « travail » d'un relais REED dont le rôle est de mettre en action une alarme téléphonique.

h) Temporisation de neutralisation après mise en marche

Les portes NOR I et II de IC₉ constituent une bascule mono-

stable. Celle-ci prend son départ au moment de la mise sous tension du montage, c'est-à-dire après avoir entré le code « Marche » et constaté l'allumage de la LED rouge L₃. La sortie de cette bascule passe aussitôt à l'état haut. Cette situation persiste aussi longtemps que le potentiel sur l'armature positive de C₂₆ (qui croît suite à la charge de cette capacité à travers R₄₄) n'a pas atteint la demi-tension d'alimentation. Ce phénomène se réalise environ 40 secondes après la mise en marche. Ainsi, pendant 40 secondes, l'état haut disponible sur la sortie de la bascule produit plusieurs effets :

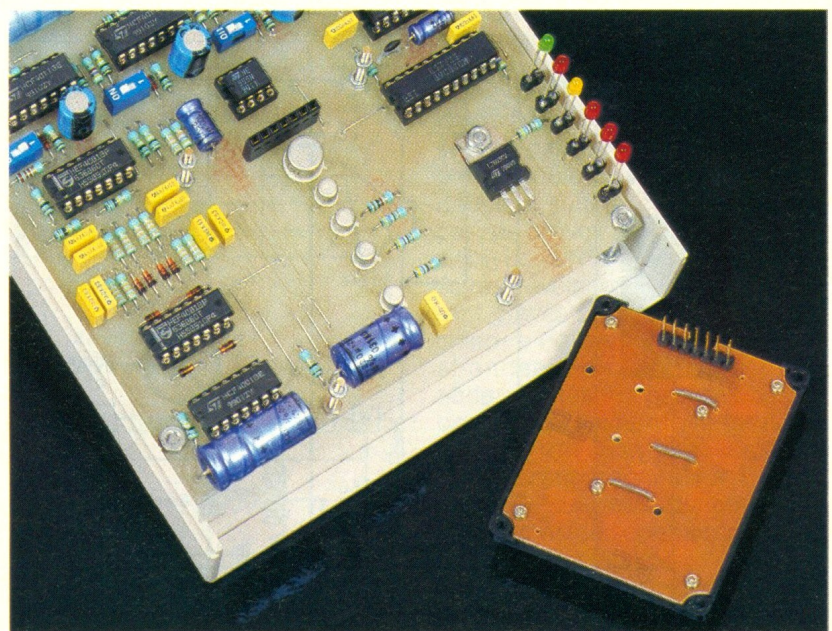
- le blocage du compteur IC₈ sur la position S₀ ; c'est une initialisation forcée qu'il convient effectivement de réaliser, faute de quoi le compteur pourrait occuper n'importe quelle position au hasard ;

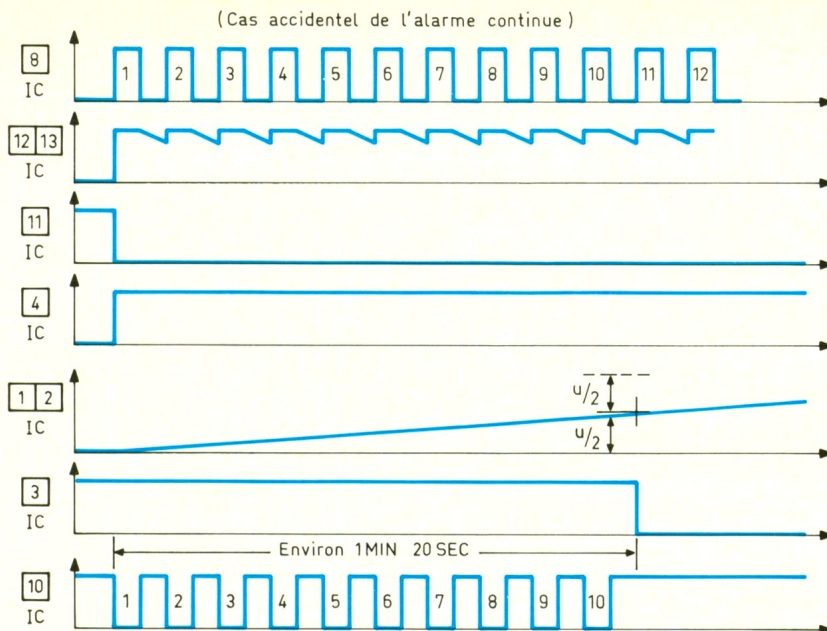
- le passage à l'état bas de la sortie de la porte NOR III de IC₉, ce qui assure, toujours au titre d'une initialisation, la démemorisation forcée de la porte AND III de IC₆ ;

- par inversion de l'état haut en état bas par la porte NOR IV de IC₉, l'effacement forcé des trois portes de mémorisation de l'alarme (AND I, II et IV de IC₆) ;

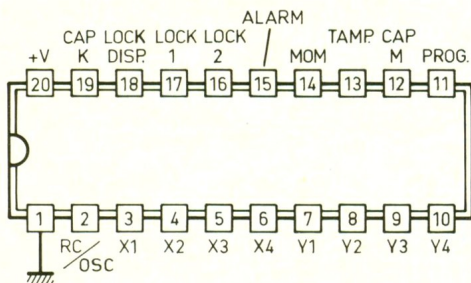
- toujours par la même inversion, la neutralisation de la prise en compte d'une éventuelle détection en provenance des trois zones.

Photo 5. – Même le clavier repose sur un support.

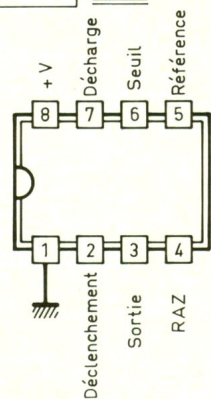




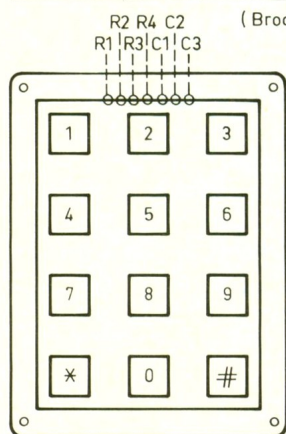
LS 7223 Serrure électronique



NE 555 TIMER



CLAVIER 12 TOUCHES MATRICIÉ (Vu de dessus)

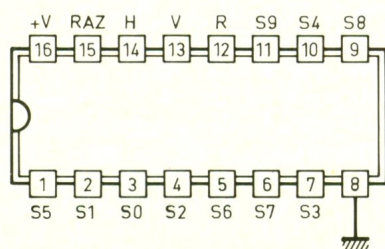


(Brochage vu par transparence)

Tableau des liaisons réalisées

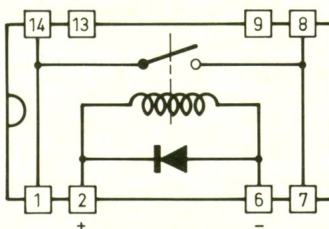
| | R1 | R2 | R3 | R4 | C1 | C2 | C3 |
|---|----|----|----|----|----|----|----|
| 1 | X | | | | X | | |
| 2 | X | | | | | X | |
| 3 | X | | | | | | X |
| 4 | | X | | | X | | |
| 5 | | X | | | | X | |
| 6 | | X | | | | | X |
| 7 | | | X | | X | | |
| 8 | | | X | | | X | |
| 9 | | | X | | | | X |
| 0 | | | | X | | X | |
| * | | | | X | X | | |
| # | | | | X | | | X |

CD 4017 Compteur-décodeur décimal



Relais REED 5V / 1T

(avec diode incorporée)



de se charger à travers R_4 . Lorsque le potentiel sur l'armature positive atteint environ 6 V, la porte I bascule : sa sortie passe à l'état bas, ce qui a pour conséquence le blocage de la sortie de la porte III à l'état haut. Le transistor T ne peut plus se saturer ; c'est la fin de la durée maximale de fonctionnement de la sirène. Compte tenu des valeurs de R_4 et de C_3 , cette durée est d'environ 80 à 95 secondes.

Lorsque les sollicitations en provenance de la centrale cessent, les portes IV et II basculent : la sortie de la porte II repasse à son état bas de repos. La capacité C_3 se décharge alors rapidement à travers R_5 et D_3 , afin d'être opérationnelle pour une éventuelle et nouvelle sollicitation.

Le bouton-poussoir BP permet de tester le bon fonctionnement de la sirène.

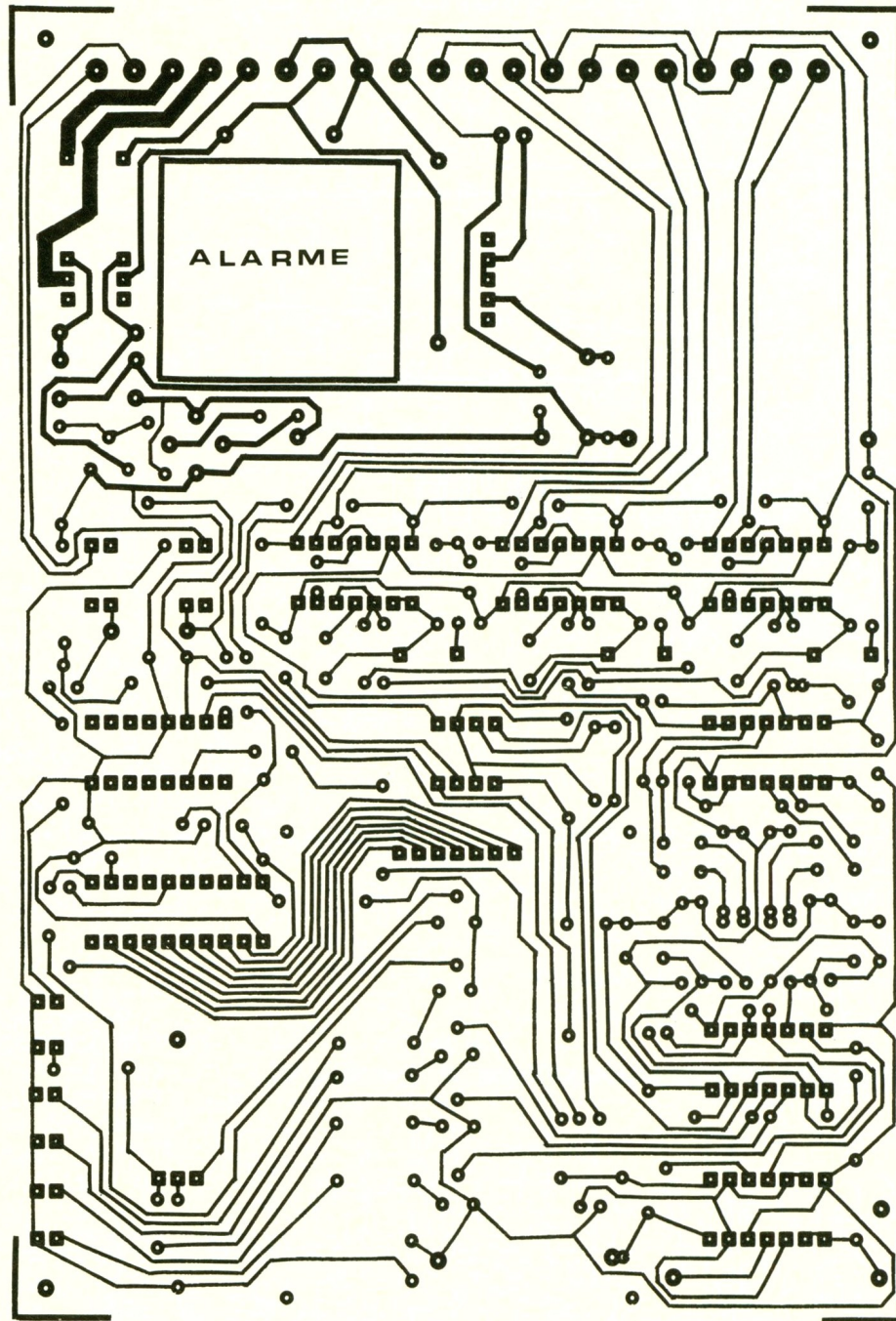
II - REALISATION PRATIQUE

1° Circuits imprimés (fig. 8)

Concernant le circuit imprimé relatif au module de la centrale, la configuration des pistes est assez serrée. Pour la reproduction, un moyen simple consiste à photocopier le dessin publié, sur feuille d'acétate translucide. Cette opération est pratiquée à peu de frais par la plupart des magasins spécialisés en reproduction de documents et photocopies. A l'aide du « mylar » ainsi obtenu, on pourra alors passer à la fabrication du circuit imprimé en faisant usage du verre époxy présensibilisé. L'exposition peut s'effectuer soit par utilisation d'un rayonnement ultraviolet, ou encore par le recours à une simple ampoule au krypton en verre dépoli. Il suffira, dans ce dernier cas, de prévoir une durée d'exposition de l'ordre de la demi-heure. Après révélation, les circuits seront gravés dans un bain de perchlorure de fer, pour être ensuite abondamment rincés à l'eau tiède. Toutes les pastilles seront percées à l'aide d'un foret de 0,8 mm de diamètre. Certains trous seront à agrandir à 1, voire 1,3 mm, suivant le diamètre des connexions des composants auxquels ils sont destinés. Par la suite, les pistes pourront avantageusement être étamées afin de présenter une meilleure

8a/
9a

Dessin du circuit
imprimé de la
carte principale
avec son
implantation.



tenue mécanique ainsi que d'avantage de résistance aux agressions chimiques telles que l'oxydation.

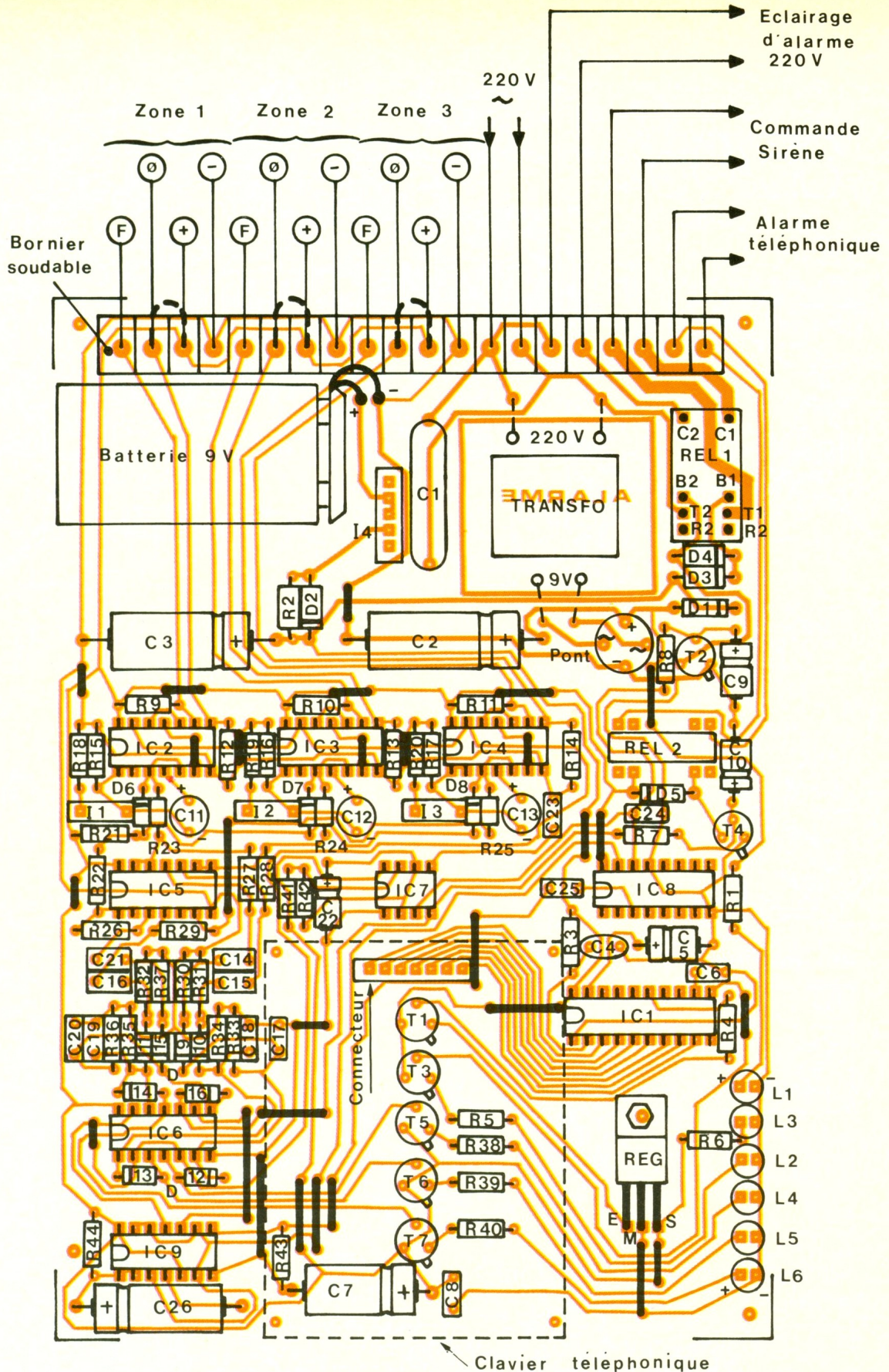
Enfin, un dernier conseil : avant d'entreprendre la réalisation d'un circuit imprimé, il est toujours intéressant de se procurer auparavant les composants nécessaires au montage. Ainsi, il sera possible de rectifier éventuellement le tracé des pistes en cas de brochage d'un composant différent du modèle publié.

2° Implantation des composants (fig. 9)

Le principe d'implantation conseillé consiste à débiter par la mise en place des straps de liaison, des résistances, des diodes et des capacités de petite taille. Par la suite, ce sera le tour des transistors, des supports de circuits intégrés, pour terminer par les éléments de dimensions plus grandes tels que les grosses capacités électrolytiques, le

transformateur, les relais. On notera que, pour diminuer la hauteur globale des implantations au-dessus du module de la centrale, le transformateur a été noyé et collé dans une découpe rectangulaire.

La batterie a également été collée sur la face supérieure du module. Le clavier vient se connecter dans le connecteur femelle prévu à cet effet, puis a été immobilisé à l'aide de vis et d'écrous de 2 mm de diamètre



en guise d'entretoises de hauteur facilement réglable. Il va sans dire qu'il convient d'apporter un soin tout à fait particulier au niveau de l'orientation des composants polarisés. Pour finir ce travail d'implantation, les traces de vernis laissées

par le décapant du fil de soudure pourront être facilement éliminées à l'aide d'un pinceau imbibé d'un peu d'acétone. On peut même projeter sur le circuit un vernis isolant que les fournisseurs présentent en bombe aérosol, pour obtenir une isola-

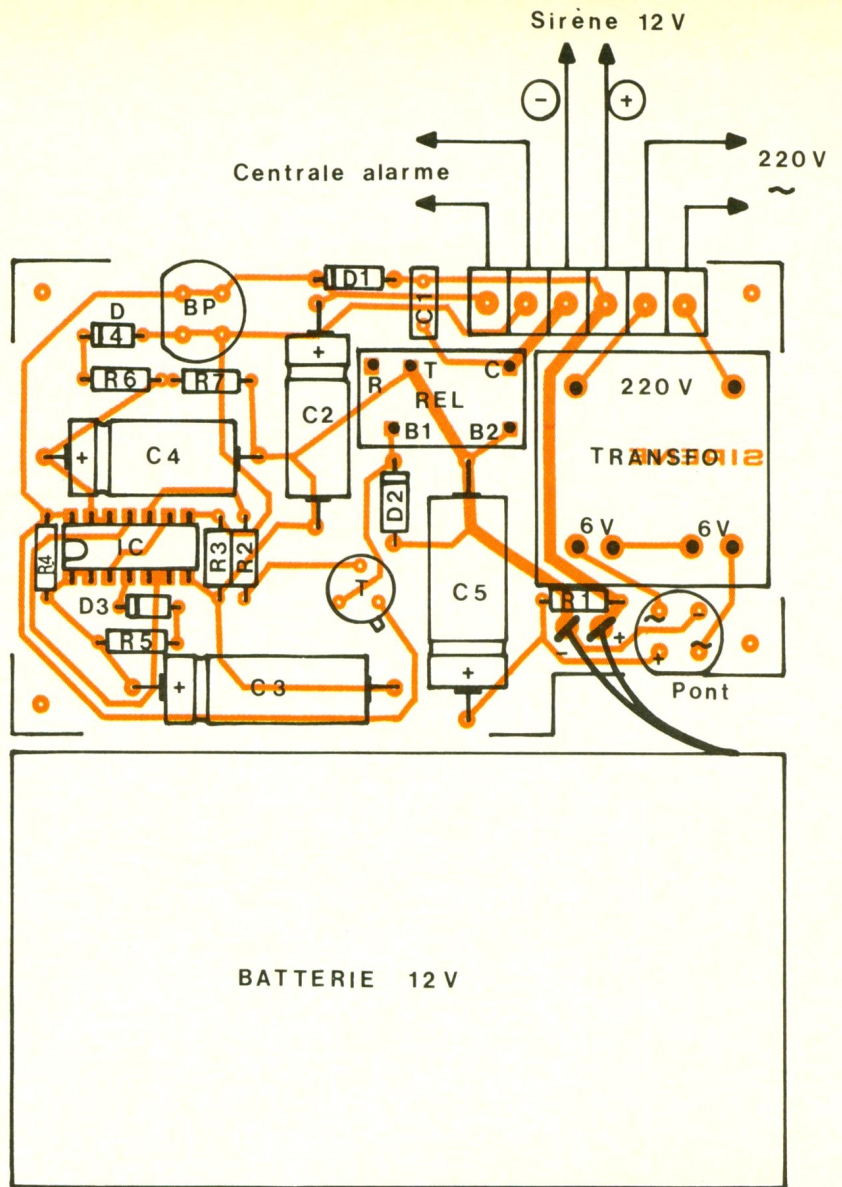
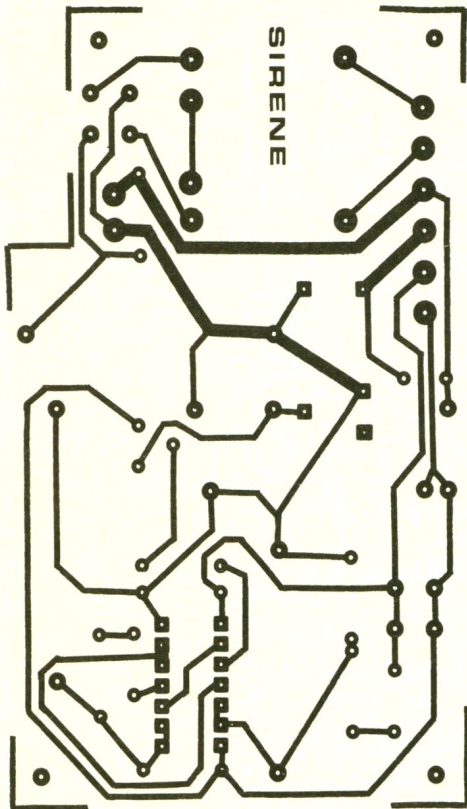
tion parfaite vis-à-vis de l'humidité environnante.

3° Montage et essais

Les modules seront placés et immobilisés dans les boîtiers prévus. Une découpe d'accès au

8b/9b

Dessin du circuit imprimé de la sirène avec son implantation.



Programmation du code secret

| | | | | | | |
|------------------------|---|---|---|---|---|---|
| Marche | 1 | 2 | 5 | 2 | | |
| Arrêt | 1 | 2 | 5 | 4 | | |
| Nouvelle programmation | 1 | 2 | 5 | 1 | * | * |

→ Allumage L2
 ↓
 Faire nouvelle programmation à 6 chiffres
 ↓
 Extinction de L2

Autre programmation personnalisée

(6 chiffres sont à entrer)

| A partir de la programmation d'origine (1 ^{re} programmation) | Modification du code existant Programmation existante : a b c d e f |
|---|--|
| <ul style="list-style-type: none"> - Taper 1 2 5 1 ** Allumage L2 - Taper a b c d e f Extinction de L2 - Le nouveau code est alors : Marche : a b c F Arrêt : a b c d Programmation : a b c e ** | <ul style="list-style-type: none"> - Taper a b c e ** Allumage L2 - Taper nouveau code : A B C D E F Extinction de L2 - Le nouveau code est alors Marche : A B C F Arrêt : A B C D Programmation : A B C F ** |

10

Méthode de programmation.

Tableau des liaisons réalisées

| | R1 | R2 | R3 | R4 | C1 | C2 | C3 |
|---|----|----|----|----|----|----|----|
| 1 | x | | | | x | | |
| 2 | x | | | | | x | |
| 3 | x | | | | | | x |
| 4 | | x | | | x | | |
| 5 | | x | | | | x | |
| 6 | | x | | | | | x |
| 7 | | | x | | x | | |
| 8 | | | x | | | x | |
| 9 | | | x | | | | x |
| 0 | | | | x | | x | |
| * | | | | x | x | | |
| # | | | | x | | | x |



Photo 7. – Vue intérieure de la sirène.

clavier est à réaliser sur la face supérieure du coffret de la centrale.

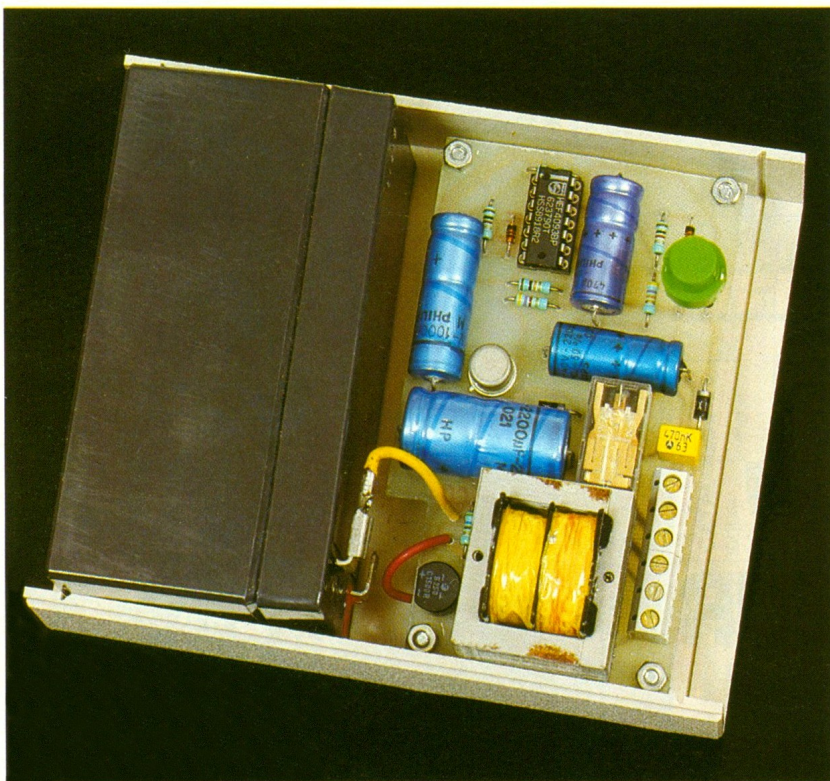
On n'oubliera pas de relier entre eux, et pour chaque zone, les contacts + et 0 du bornier de raccordement. Pour effectuer les premiers essais, on pourra simplement avoir recours à la programmation d'origine du circuit LS 7223. Le tableau de la figure 10 indique comment procéder pour modifier la programmation des codes secrets.

Les entrées de détection se caractérisent par des impédances relativement élevées ; de ce fait, elles sont sensibles à tout signal

parasite. Or, les conducteurs reliant les différents détecteurs (IL5, détecteurs infra-rouges...) cheminent sur des distances qui peuvent être importantes et se comportent en antenne. Ils peuvent ainsi être le siège de signaux dont le potentiel risque d'atteindre des valeurs déclenchant des alarmes intempestives.

Aussi est-il conseillé d'utiliser des conducteurs blindés, le blindage étant à relier au « moins » de l'alimentation. De même, il convient d'améliorer encore cet antiparasitage en montant entre toutes les bornes de raccordement repérées « O » ou « F » et le

Photo 8. – Une grosse batterie assure un fonctionnement optimal.



« moins », des capacités de 0,22 μF ou de 0,47 μF .

Le montage ne nécessite pas de réglage. Il ne vous reste plus qu'à installer l'ensemble, la centrale étant à placer dans un endroit suffisamment discret du logement. Par la suite, il conviendra de bien définir, après étude, la délimitation des zones de protection et à procéder au montage des différents détecteurs périphériques.

Robert KNOERR

LISTE DES COMPOSANTS

1° Centrale d'alarme

28 straps (6 horizontaux, 22 verticaux)

- R_1 : 1 k Ω (marron, noir, rouge)
- R_2 : 4,7 Ω (jaune, violet, rouge)
- R_3 : 1,5 M Ω (marron, vert, vert)
- R_4 : 4,7 k Ω (jaune, violet, rouge)
- R_5 : 1 k Ω (marron, noir, rouge)
- R_6 : 470 Ω (jaune, violet, marron)
- R_7 : 10 k Ω (marron, noir, orange)
- R_8 : 2,2 k Ω (rouge, rouge, rouge)
- R_9 à R_{14} : 6 \times 10 k Ω (marron, noir, orange)
- R_{15} à R_{17} : 3 \times 100 k Ω (marron, noir, jaune)
- R_{18} à R_{20} : 3 \times 4,7 k Ω (jaune, violet, rouge)
- R_{21} : 2,2 k Ω (rouge, rouge, rouge)
- R_{22} à R_{25} : 4 \times 10 k Ω (marron, noir, orange)
- R_{26} à R_{29} : 4 \times 100 k Ω (marron, noir, jaune)
- R_{30} à R_{37} : 8 \times 33 k Ω (orange, orange, orange)
- R_{38} à R_{40} : 3 \times 470 Ω (jaune, violet, marron)
- R_{41} : 33 k Ω (orange, orange, orange)
- R_{42} : 47 k Ω (jaune, violet, orange)
- R_{43} : 10 k Ω (marron, noir, orange)
- R_{44} : 100 k Ω (marron, noir, jaune)
- D_1 à D_5 : 5 diodes 1N4004, 4007
- D_6 à D_{16} : 11 diodes-signal 1N4148, 914
- L_1 : LED verte \varnothing 3
- L_2 : LED jaune \varnothing 3
- L_3 à L_6 : 4 LED rouges \varnothing 3
- Pont redresseur (1,5 A)
- REG : régulateur 5 V, 7805
- C_1 : 0,22 μF /400 V, mylar
- C_2 : 2 200 μF /25 V, électrolytique
- C_3 : 1 000 μF /25 V, électrolytique

C₄ : 10 pF, céramique
 C₅ : 2,2 µF/25 V, électrolytique
 C₆ : 0,1 µF, milfeuil
 C₇ : 220 µF/10 V, électrolytique
 C₈ : 0,22 µF, milfeuil
 C₉ : 22 µF/10 V, électrolytique
 C₁₀ : 10 µF/10 V, électrolytique
 C₁₁ à C₁₃ : 3 × 220 µF/10 V, électrolytique (sorties radiales)
 C₁₄ à C₁₆ : 3 × 4,7 nF, milfeuil
 C₁₇ à C₂₀ : 4 × 1 nF, milfeuil
 C₂₁ : 4,7 nF, milfeuil
 C₂₂ : 100 µF/10 V, électrolytique
 C₂₃ : 4,7 nF, milfeuil
 C₂₄, C₂₅ : 2 × 0,1 µF, milfeuil
 C₂₆ : 470 µF/10 V, électrolytique
 T₁, T₂ : 2 transistors NPN 2N1711, 1613
 T₃ à T₇ : 5 transistors NPN BC 108, 109, 2N2222
 IC₁ : LS7223 (serrure électronique)
 IC₂ à IC₄ : 3 × CD 4011 (4 portes NAND à 2 entrées)
 IC₅, IC₆ : 2 × CD 4081 (4 portes AND à 2 entrées)
 IC₇ : NE 555 (timer)
 IC₈ : CD 4017 (compteur-décodeur décimal)

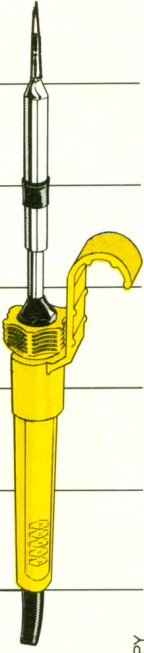
IC₉ : CD 4001 (4 portes NOR à 2 entrées)
 1 support 20 broches (tulipe)
 1 support 16 broches (tulipe)
 6 supports 14 broches (tulipe)
 1 support 8 broches (tulipe)
 Bornier soudable (20 contacts)
 Batterie rechargeable 9 V (45 × 25 × 17) 120 mAh
 Coupleur pour batterie 9 V
 I₄ : interrupteur monopolaire pour circuit imprimé
 I₁ à I₃ : 3 microswitches (à 1 seul interrupteur)
 Transformateur 220 V/9 V/2 VA
 REL₁ : relais 6 V/2RT (type National)
 REL₂ : relais REED 5 V, 1T
 Connecteur femelle 7 broches
 Clavier téléphonique 12 touches (à structure matricée, 7 sorties)
 Boîtier « Tôlerie plastique » D30 (170 × 120 × 40)

R₅, R₆ : 2 × 1 kΩ (marron, noir, rouge)
 R₇ : 47 kΩ (jaune, violet, orange)
 D₁, D₂ : 2 diodes 1N4004, 4007
 D₃, D₄ : 2 diodes-signal 1N4148, 914
 Pont redresseur (1,5 A)
 C₁ : 0,47 µF, milfeuil
 C₂ : 220 µF/16 V, électrolytique
 C₃ : 1 000 µF/16 V, électrolytique
 C₄ : 470 µF/16 V, électrolytique
 C₅ : 2 200 µF/25 V, électrolytique
 T : transistor PNP 2N2905
 IC : CD 4093 (4 portes NAND-trigger)
 Support 14 broches (tulipe)
 Bornier soudable (6 contacts)
 Bouton-poussoir à contact travail, pour circuit imprimé
 Relais 12 V/1 RT (type National)
 Transformateur 220 V/12 V/2 VA
 Batterie 12 V/1,2 Ah
 Sirène 12 V
 Fils de liaison avec cosses pour batterie
 Boîtier « Tôlerie Plastique » D10 (110 × 100 × 50)

2° Boîtier « sirène »

R₁ : 560 Ω (vert, bleu, marron)
 R₂ : 4,7 kΩ (jaune, violet, rouge)
 R₃ : 10 kΩ (marron, noir, orange)
 R₄ : 100 kΩ (marron, noir, jaune)

LES FERS
UN TABAC
AU JAPON!
DEMANDEZ
POURQUOI
A VOTRE
DISTRIBUTEUR!



RAPY

BRAY FRANCE

76, rue de Silly
 92100 BOULOGNE-SUR-SEINE
 Tél. : 46.04.38.06 - Téléc. : 633 385 F
 Télécopie (1) 46.04.76.32

ALIMENTATIONS à découpage Made in Germany

- * Alimentations enfichables secteur à découpage primaire jusqu'à 50 W.
- * Alimentations à découpage format Europe, châssis ouvert, ou en boîtier (classe d'isolement I et II) à plusieurs sorties.
- * Programme stock standard.
- * Développement et fabrication selon spécifications clients.

Le premier fabricant en Europe de petites alimentations et chargeurs!

FRIWO®

ESE Ets STAMBOULI ELECTRONIQUE
 43, avenue du Gl de Gaulle/BP 2 · F-94420 LE PLESSIS-TREVISE
 Téléphone (1) 45 76 63 30+ · Télécopie (1) 45 94 84 36 · Téléc. 264 333 F

Minitel : (1) 45 93 31 51

CAMERA CCD PR 625

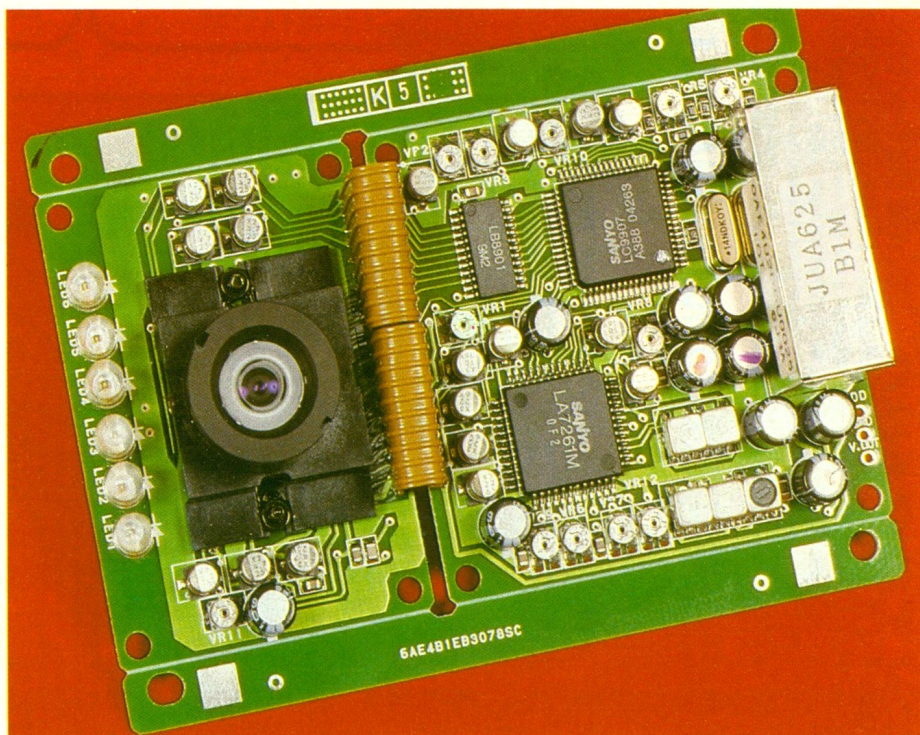


Depuis toujours, le marché de la vidéo se porte comme un charme et reste l'un des plus florissants. Lorsqu'une application se dessinait, les choix de matériels, plutôt importants, laissaient libre cours à l'imagination des concepteurs.

On trouvait des modèles de caméra CCD à des prix franchement prohibitifs, surtout quand il fallait ajouter la boîte indispensable pour le générateur de synchronisation vidéo. Par ailleurs, les modèles restaient d'un encombrement souvent trop volumineux pour certaines applications. Afin d'éviter des acrobaties mécaniques il fallait retirer toute l'électronique du boîtier et la redresser à sa guise dans un coffret *ad hoc* adapté à ses besoins spécifiques. Aujourd'hui, un fabricant nous propose une caméra CCD sous la forme d'un module extraplat de dimensions compactes. Elle offre en outre d'excellentes performances sur sa résolution et sa sensibilité, ce qui lui donne la possibilité d'occuper des tâches jusqu'à présent non réalisables, telle la surveillance de locaux plongés dans la pénombre avec un encombrement physique presque négligeable. La sortie vidéo au standard EIA lui permet de restituer l'image sur n'importe quels moniteurs actuellement disponibles dans le commerce, toutefois l'enregistrement reste possible si un magnétoscope tristandard ou NTSC est utilisé.

CARACTERISTIQUES PRINCIPALES

Résolution : 200 000 pixels, 500 x 400.
Sensibilité : 20 lux ou 0,1 lux avec diodes IR.
Vidéo : standard américain EIA.
Niveau : 1 V efficace sous 75 Ω .
Tension : 12 V régulés.
Consommation : 130 mA ou 180 mA avec les diodes IR.
Objectif : grand angle de 50°.
Iris : réglage automatique du diaphragme.



Focale : réglable de quelques millimètres à l'infini.
Dimensions : 107 x 77 x 40 mm.

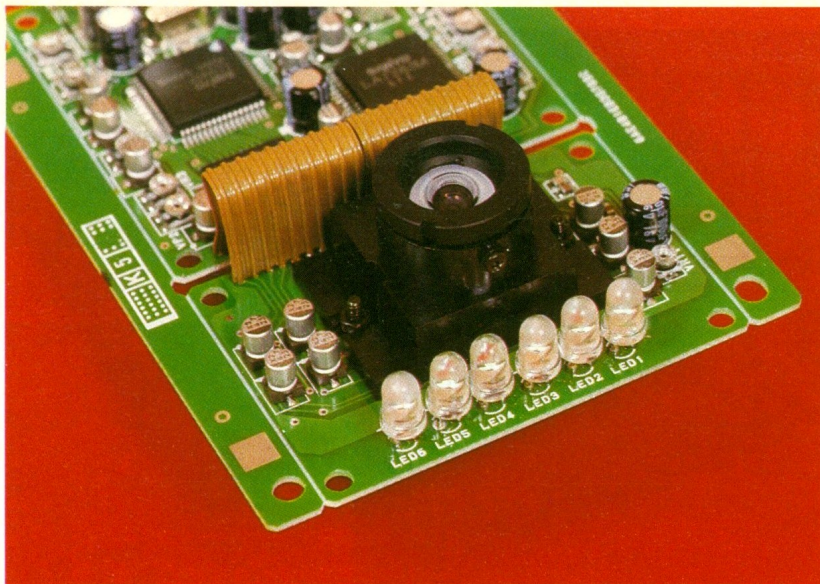
RAPPELS THEORIQUES SUR LA VIDEO

Sans rentrer dans l'extrême complexité de la composition d'un signal vidéo, nous allons essayer de tracer les grandes lignes qui vous permettront d'acquérir la somme de connaissances indispensables à la mise en œuvre et à la compréhension de ce dernier si d'aventure il vous prenait l'envie de le visualiser sur l'écran d'un oscilloscope. La vidéo-composite noir et blanc se caractérise par la présence de signaux de

synchronisation, ligne et trame, et d'une composante donnant le niveau de gris, appelé la luminance.

DES LIGNES ET DES TRAMES

Une caméra explore une image selon des lignes horizontales du haut vers le bas. Une ligne se compose de points la formant de gauche à droite. L'image commence à se former au coin supérieur gauche de l'écran pour aller jusqu'au coin droit, la première ligne est alors réalisée. A cet instant le spot s'éteint et revient à gauche pour se placer légèrement en dessous de la première. Le cycle recommence jusqu'au coin bas droit de l'écran, le spot



Les 6 diodes à infrarouge procurent une sensibilité voisine de 0,1 lux.

revient alors grâce à une impulsion de synchronisation au coin supérieur gauche de l'écran pour effectuer un second balayage. En Europe la fréquence du secteur vaut 50 Hz alors que d'autres pays utilisent le 60 Hz, pour ces raisons le balayage de l'écran se fait en 25 images par seconde pour le standard CCIR (Europe) et 30 images par seconde pour le standard EIA. Une image se distingue par la formation de deux trames entrelacées, donc avec 25 images par seconde nous obtenons 50 trames. L'entrelacement des trames consiste à un balayage des lignes impaires puis des lignes paires, on évite ainsi le scintillement de l'image, causé par un balayage trop lent. En fait, une trame correspond à une demi-image.

RESOLUTION DE L'IMAGE OU PIXEL

Le terme anglais Pixel correspond à l'abréviation de « Picture element », élément de l'image. Ce sont eux qui composent une ligne de trames d'images, le nombre de points blancs et de points noirs donne le niveau de gris.

LES SIGNAUX DE SYNCHRONISATION

LA SYNCHRONISATION LIGNE

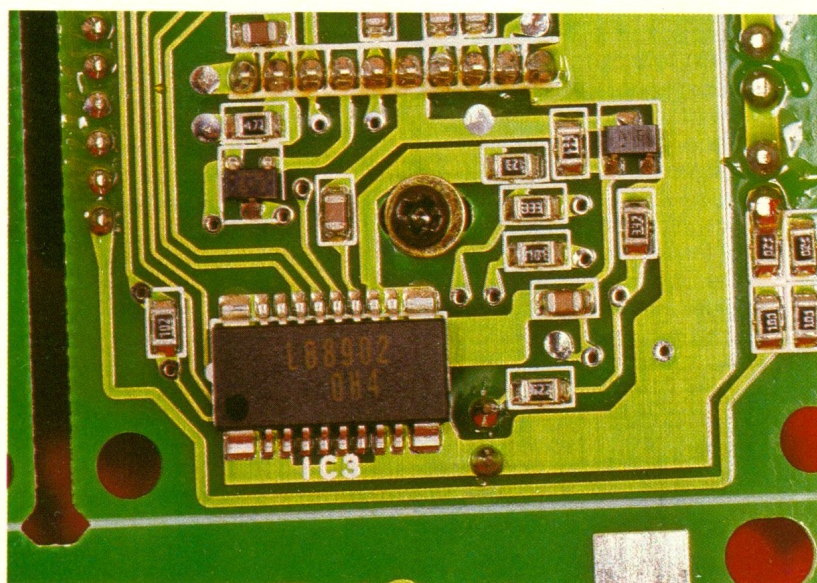
Le circuit de balayage du téléviseur est commandé par une im-

pulsion à front descendant de durée variable selon les standards vidéo.

LA SYNCHRONISATION TRAME

A la fin de chaque demi-image le spot doit traverser le tube cathodique dans sa diagonale, donc le temps sera plus important que celui du retour ligne. La trame paire ne possède pas la même durée que la trame impaire, les tops de trames paires arrivent avec un retard d'une demi-ligne alors que ceux des trames impaires se produisent avec un retard d'une ligne.

La face inférieure de la caméra reste encore bien chargée de composants.

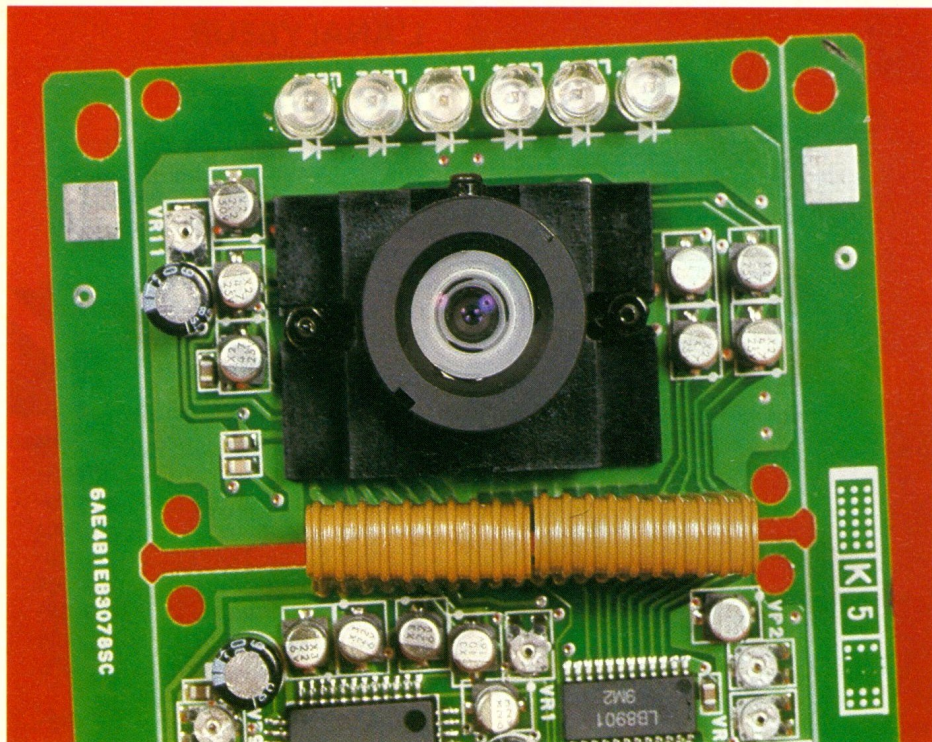


L'ANALYSEUR D'IMAGES A CAPTEUR CCD

Dans ce paragraphe nous allons voir comment se compose une caméra à capteur solide CCD. Le terme CCD vient de l'appellation anglaise de « coupled charge device », qui une fois francisé nous donne « registres à transfert de charge ». La technologie employée consiste à prendre des capteurs MOS au silicium qui transforment les photons en charges électriques. Après cette détection on réalise l'accumulation de ces charges dans des registres pour les traduire au rythme d'une horloge en un signal vidéo composite noir et blanc. La caméra PR 625 possède une résolution de 200 000 pixels, ce qui veut dire que son capteur occupe 500 lignes composées de 400 éléments photosensibles chacune.

DESCRIPTION DE LA CAMERA PR 625

Les diverses photographies laissent entrevoir la technologie moderne de cette caméra. En effet, dans votre revue nous n'avons jusqu'alors jamais présenté de montages employant des composants montés en surface pour leur construction. Il y a un préliminaire à toute chose et il va de soi que ce module offre une bonne



Le câble méplat offre la possibilité de réduire encore la taille de cette caméra.

entrée en matière, d'autant qu'il est livré tout monté, raison qui nous a permis de vous le décrire. La carte se compose en réalité de deux sous-ensembles liés entre eux par un câble méplat, cette particularité donne la possibilité de plier les cartes supérieures et inférieures afin d'obtenir une caméra de très bonne performance sous un encombrement réduit. Le positionnement des composants réalisé sur les deux faces du circuit imprimé donne un aspect professionnel au produit. La face supérieure supporte les composants de volume important tels que les inductances sous capot blindé, le bloc d'alimentation isolé dans son blindage métallique pour éviter les fuites de courant à haute fréquence, le capteur CCD doté de son objectif grand angle de 50° et les diverses résistances ajustables qui jonchent sa surface. La face inférieure des deux cartes supporte les composants de tailles réduites montés en surface. L'ensemble présente un aspect particulièrement attrayant. La sensibilité d'origine vaut 20 lux mais le simple fait de doter la carte supérieure, qui supporte le capteur CCD, de 6 diodes à infrarouge la fait descendre jusqu'à 0,1 lux. Les plus curieux d'entre

vous ne perdront pas l'occasion de tester divers objectifs afin d'opter pour celui qui convient le mieux à son application.

DOMAINES D'APPLICATION

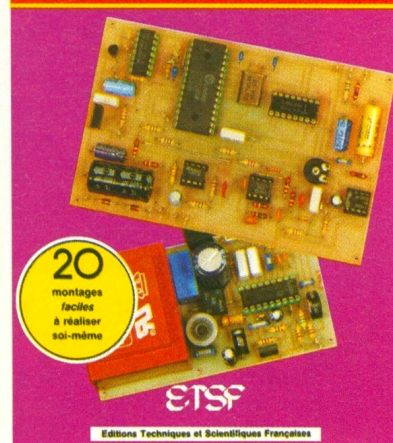
Cette carte, notamment disponible chez Perlor Radio au prix de 1 835 F TTC, permet de réaliser diverses fonctions de surveillance de processus ou d'acquisition d'images. Dans ce dernier cas, le signal vidéo peut être numérisé et traité par un micro-ordinateur, donnant alors la possibilité d'effectuer des traitements et de pousser l'analyse de l'image. Ainsi la caméra s'adapte sur un télescope ou un microscope. Le niveau de sortie standard de 1 V sous 75 Ω confère un large domaine d'utilisation à cette caméra. Son rapport qualité/prix vraiment excellent donne accès aux techniques modernes de prises de vue.

P. MARTIN

MONTAGES DOMOTIQUES

Christian TAVERNIER

MONTAGES DOMOTIQUES



La domotique, ou encore l'application de l'électronique et de l'informatique à l'accroissement du confort domestique, on en parle depuis déjà longtemps mais on ne la voit pas vraiment se concrétiser.

Les grands fabricants tentent de mettre sur pied une norme définissant les méthodes et principes de câblages futurs des maisons et appartements et, pendant ce temps, le consommateur attend ou se rabat sur les rares produits commerciaux qui commencent à voir le jour.

Il est pourtant tout à fait possible à n'importe quel amateur électronicien de réaliser toute une gamme de produits, peu coûteux mais néanmoins performants, pouvant apporter de réelles solutions dans les principaux domaines concernés par la domotique. Ce livre vous propose de réaliser plus de vingt montages dans tous les domaines de la domotique :

- détection de fuites d'eau ou de gaz, d'incendie, d'intrusion ;
 - simulation de présence, appels téléphoniques automatiques ;
 - télécommande à courants porteurs, par téléphone, programmateur intelligent... ;
- qui vous permettront de rendre votre vie de tous les jours plus sûre et plus agréable.

Editions Radio
11, rue Gossin
92543 Montrouge Cedex

LES TESTEURS CDA



La société CDA (Construction d'appareillage, la mesure française) commercialise deux testeurs dont la simplicité d'utilisation est allée à une sécurité d'emploi véritablement poussée. La place d'un tel appareil est tout à fait indiquée dans l'outillage de base nécessaire aux contrôles électriques que l'on a à effectuer à un moment ou à un autre à la maison, sur un appareil électroménager, ou encore sur sa voiture.

LES CARACTERISTIQUES GENERALES

Les deux types de testeurs sont très proches. Le CDA 100 se présente sous la forme d'un boîtier plastique de couleur jaune ; la pointe de touche positive est intégrée au boîtier, tandis que la pointe de touche négative est reliée à un cordon solidaire du boîtier, d'une longueur de 120 cm.

Le CDA 100 P est habillé d'un boîtier plastique gris ; la pointe de touche positive, toujours intégrée au boîtier et de couleur rouge, est rétractable. Il en est de même pour la pointe négative, solidaire d'un cordon.

Dans les deux cas, le cordon peut être bobiné autour du boîtier, dans le sens longitudinal et dans une découpe prévue à cet effet. De plus, la pointe de touche mobile est maintenue sur la face latérale par un astucieux dispositif de calage, ce qui donne à l'ensemble, une fois rangé, une netteté qui nous change des habituels cordons volants s'enchevêtrant dans tous les sens.

Le boîtier se caractérise par une longueur hors tout de 210 mm, une largeur de 70 et une épaisseur de 30 mm. Sa masse en ordre de marche, c'est-à-dire avec la pile montée, est de 170 g.

Les testeurs CDA sont prévus pour fonctionner dans des ambiances thermiques allant de -10°C à $+50^{\circ}\text{C}$. Leur isolation électrique est double et la tenue diélectrique est de 6 kV.

L'affichage se réalise par le biais de 9 LED (2 vertes et 7 rouges).

AUTOTEST DE LA PILE ET REMPLACEMENT

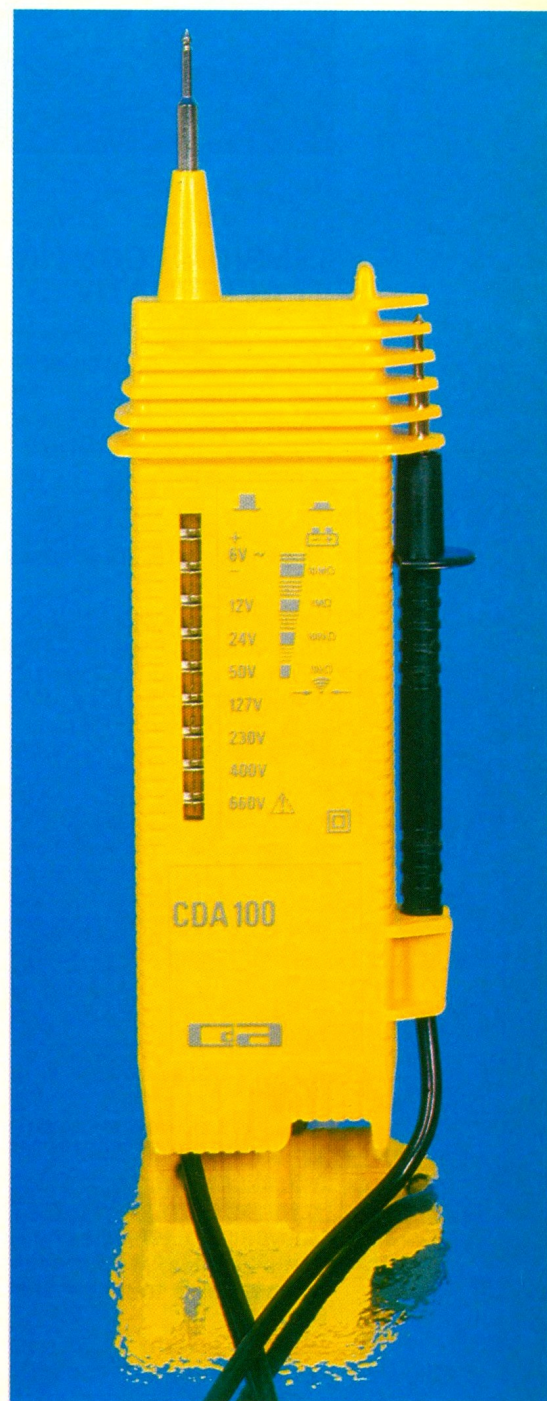
L'appareil fonctionne avec une pile de 9 V (6 F22 ou 6 LF22). Elle est d'ailleurs livrée avec le testeur. Ce dernier est équipé d'un dispositif d'auto-test de la pile. Il suffit pour cela d'appuyer sur le bouton-poussoir disposé au dos du boîtier. Si la pile est en bon état, la mini-LED verte référencée « + 6 V » doit s'allumer.

La LED rouge « + 12 V » peut également s'allumer, surtout s'il s'agit d'une pile neuve. En effet, le seuil de détection de cette LED est compris entre 7,2 V et 10,8 V.

Ensuite, toujours en appuyant sur le bouton-poussoir, et en reliant les deux pointes de touche, la LED « 10 k Ω » doit s'allumer et on doit entendre le BIP sonore.

Si la pile ne répond plus à ces conditions, il convient de la changer. Cette opération est très simple. Elle consiste à démonter les deux vis qui relient entre elles les deux demi-coquilles constituant le boîtier. On voit alors apparaître la pile. Pour mettre en place la nouvelle pile, il est nécessaire de respecter sa polarité, qui est d'ailleurs marquée sur le fond du boîtier. Mais un détrompeur oblige l'opérateur à ce respect, ce qui élimine tout risque d'erreur.

À l'occasion de ce démontage on peut noter la robustesse et la sobriété du circuit imprimé dont les composants essentiels sont tous montés suivant la technologie CMS.



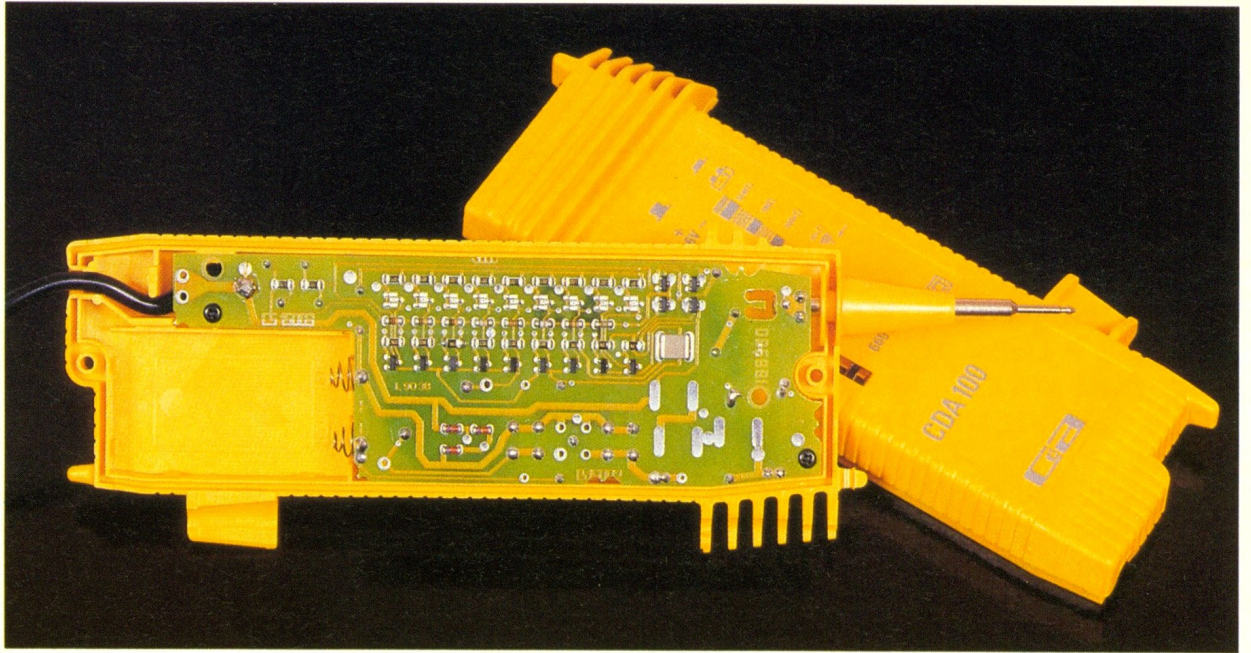


Photo 2. – L'emplacement pour la pile dispose d'un détrompeur.

TENSIONS CONTINUES ET ALTERNATIVES

Le testeur évalue indifféremment les tensions continues et alternatives sinusoïdales de fréquence inférieure à 20 kHz. L'impédance d'entrée est de 150 k Ω et la consommation dépend bien sûr du nombre de LED allumées, donc de la valeur de la tension mesurée. Elle peut varier de 35 μ A à 4,4 mA.

Par exemple pour 220 V (alternatifs) le débit de la pile est de 1,5 mA. Le temps de réponse reste inférieur à 0,5 s et la protection est assurée jusqu'à 1 000 V pendant un maximum de 5 s.

Pour les mesures de tension, il ne faut pas appuyer sur le bouton-poussoir. L'affichage du résultat se réalise sous la forme d'une colonne de LED dont la dernière allumée indique le niveau de la tension, soit : 6 V, 12 V, 24 V, 50 V, 127 V, 230 V, 400 V ou 660 V.

Plusieurs cas peuvent se présenter :

- les 2 LED vertes (+ et –) s'allument : il s'agit alors d'une tension alternative ;
- la verte « + » s'allume : on se trouve en présence d'une tension continue, le positif correspondant à la pointe de touche solidaire du boîtier ;
- la LED verte « – » s'allume : c'est toujours une tension continue, le négatif correspondant

cette fois à la pointe de touche solidaire du boîtier ;

- aucune LED ne s'allume : la tension est inférieure à 4 V.

CONTINUITÉ ET RESISTANCE

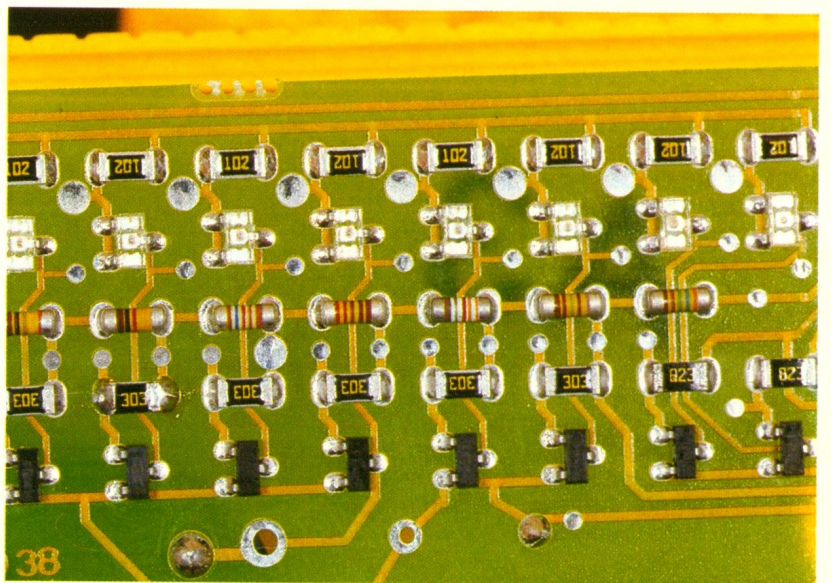
Pour les tests de continuité et d'évaluation des résistances, l'impédance du testeur est supérieur à 6 k Ω . Le courant de test maximal est de 0,5 mA (en court-circuit) sous une tension de test

de 9 V en circuit ouvert. Comme pour les évaluations des tensions, le temps de réponse reste inférieur à la demi-seconde.

Grâce à une protection par thermistances et diodes, une protection jusqu'à 550 V est garantie en cas de mesure accidentelle sur un circuit sous tension. Dans ce cas, si la tension en question est supérieure à la tension de sécurité de 50 V, toutes les LED s'allument.

Pour évaluer une résistance, il convient d'appuyer sur le bouton-

Photo 3. – Les composants sont tous des modèles CMS.



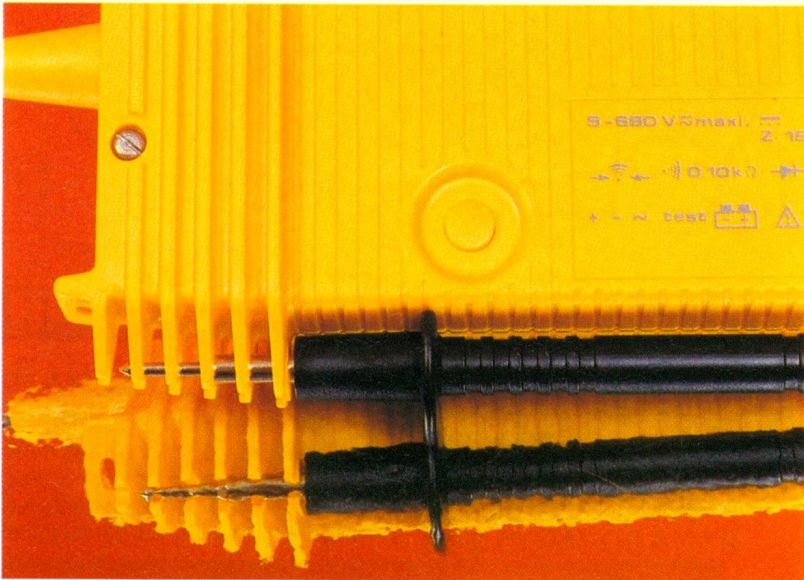


Photo 4. - Le cordon reste maintenu en place par un astucieux dispositif.

poussoir du dos du testeur et d'insérer électriquement la résistance, ou le circuit à vérifier, entre les deux pointes de touche. L'affichage se réalise par le jeu d'une colonne de 4 LED dont la dernière allumée donne une éva-

luation de la résistance en présence, soit : inférieure à 10 k Ω , 100 k Ω , 1 M Ω ou 10 M Ω . Si la résistance est inférieure à 10 k Ω , le buzzer émet un son, simultanément avec l'allumage de la LED 10 k Ω .

JONCTIONS

Le principe du test reste identique à celui de la continuité. En sachant que la pointe de touche fixe correspond à la source positive, on peut vérifier le sens et l'état des jonctions anode \rightarrow cathode des diodes et des transistors. Si cette jonction n'est pas coupée, l'allumage de la LED « < 10 k Ω » s'accompagne de la sonorité émise par le buzzer.

CONCLUSION

Les testeurs de poche CDA 100 et CDA 100 P font partie de l'outillage professionnel pour effectuer des contrôles rapides. Leur maniement simple, les sécurités diverses intégrées constituent une réponse à toutes les applications électrotechniques, électroniques, maintenance, automobile, moto, domestique, téléphone, son... ■

COMMUNIQUE

CHAUVIN ARNOUX, CDA ET L'EUROPE

La perspective prochaine de l'ouverture du grand marché européen donne l'occasion à **CHAUVIN ARNOUX** de conforter sa dimension européenne en regroupant toutes ses potentialités sous son seul nom.

A cet effet, la fusion entre les sociétés **CDA et CHAUVIN ARNOUX** est devenue officielle à dater du 1er juillet 1991.

C'est en s'appuyant sur la notoriété et la réputation de qualité de **CHAUVIN ARNOUX**, le plus ancien et le plus important constructeur d'appareils de mesure, que toute l'équipe CDA, devenue *la Division Mesure Portable Distribution de CHAUVIN ARNOUX* continuera exactement, comme elle le faisait par le passé, à développer et à renforcer le partenariat de qualité qu'elle a su créer et entretenir avec la distribution française.

UNE OREILLE PARTOUT!

MICRO-ESPION TX 2007

270 F
GARANTI 3 ANS

Pour tout surveiller, tout découvrir, tout savoir, à distance, tout entendre discrètement et de loin.

TRÈS SIMPLE : une pile de 9 volts à brancher, et c'est tout ! Dès lors, il émet pour vous.

FRÉQUENCE RÉGLABLE de 88 à 115 MHz. Pile 9 volts.

TRÈS DISCRET : très petit, sans fil, sans antenne si nécessaire, fonctionne en silence, invisiblement.

TRÈS EFFICACE : il vous retransmet en direct tous les bruits, les conversations et la moindre action de l'endroit où il est placé.

Il vous suffit d'écouter incognito sur votre poste radio FM dans un rayon de 300 à 500 m (et même bien plus si nécessaire par simple rajout de piles et antenne selon le mode d'emploi). **Une radio FM suffit** (walkman FM, auto-radio, chaîne hi-fi, radio K7 pour enregistrer, etc). Vous entendez tout, même les chuchotements.

Traverse les murs, plafonds, cloisons, immeubles, etc.

TRÈS, TRÈS UTILE... pour surveiller vos enfants, malades, mais aussi vos biens, maisons, bureaux, magasins, bateaux, caravanes, garages, ou la maison des voisins pour éviter les vols, etc. Pour résoudre également les problèmes de confiance, escroqueries, vols, détournements, etc.

Essayez vite et sans risque cet appareil, surprenant de puissance et si utile. Vraie petite radio-libre (voir mode d'emploi).



SUR PILE ALCALINE 9 VOLTS

TRÈS GRANDE PORTEE

2 NOUVEAUTÉS !

Magasin (de 9 h à 19 h 30)

C.I.A.-K.G.B.

95, boulevard Diderot.

Métro Reuilly-Diderot ou Nation

75012 PARIS

Tél. (1) 40 09 88 33

Fax (1) 40 09 81 73

1 **TOUT L'ESPIONNAGE, CONTRE-ESPIONNAGE, BOURSE DES**

MERCENAIRES ET SCOOPS

SUR

3615 PRAGMA

2

PRAGMA, Fabricant, fournit les administrations, police, armée, ambassades, détectives, professionnels, etc.

POUR COMMANDER, DECOUPEZ OU RÉCOPIEZ CE BON ET ENVOYEZ-LE A :

Laboratoires PRAGMA. 276, bd Chave. 13005 MARSEILLE ou commandez par téléphone : **91 34 34 94** (lignes groupées) - Par Minitel : **3615 PRAGMA** - Par Fax : **91 49 11 91**

EP 09/91

ENVOI RECOMMANDÉ ET RAPIDE 48 H

- Oui, expédiez-moi svp _____ **TX 2007**
au prix unitaire de 270 F + 25 F de port Colissimo.
- Ajoutez-moi svp _____ piles 9 volts alcalines(s)
au prix unitaire de 30 F.
- Ajoutez-moi votre catalogue "**Produits très spéciaux**" au prix de 30 F (Gratuit sur 3615 PRAGMA).
- Je vous joins mon règlement par :
- Chèque Mandat-lettre **Carte-Bleue (ci-contre)**
- Je préfère régler au facteur (+ 30 F de frais postaux).

NOM : _____
PRENOM : _____
ADRESSE : _____
CODE POSTAL _____ VILLE : _____
PAYS : _____

Paiement par Carte Bleue : **CB**
Numéro
Expire à fin : Signature : _____

COMMANDE NUMERIQUE DE CONVOIS FERROVIAIRES (VII)

modules de protection (suite)



Nous allons, avec le présent chapitre, clore la description du système train digital. Il s'agit de nouveaux modules de protection qui viennent en complément des autres, déjà décrits.

MODULE DE PROTECTION D'UN CROISEMENT

La figure 1 illustre la situation géographique.

Cette carte permet de protéger les deux cantons situés avant le croisement (cantons A et B) lorsqu'un convoi est présent sur l'un ou l'autre des cantons situés après ce croisement.

Les conditions à respecter sont les suivantes :

- (D) \Rightarrow non (A) donc priorité à la voie (B) ;
- (C) \Rightarrow non (B) et non (A).

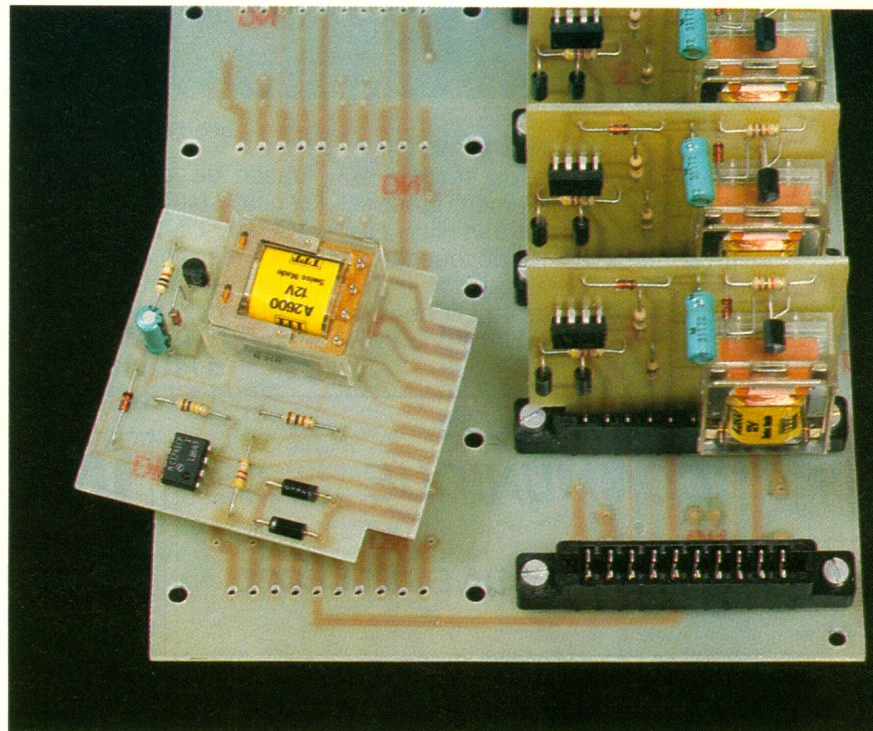
Chacun des cantons sera équipé d'un module de protection « normal » (module n° 1 décrit dans la première partie) et le module du canton (C) sera relié au module décrit.

PRINCIPE DE FONCTIONNEMENT

On se reporte au schéma de la figure 14.

Ce montage est composé de deux mêmes éléments, donc permettra la protection de deux croisements.

La borne 7 du module du canton (C), qui commute le + 12 V lorsque le canton est occupé, est à relier à la borne 1 (ou 6) de ce module.

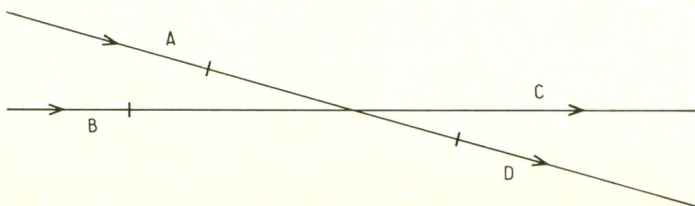


Lorsque le canton (C) est occupé, le transistor T_1 se sature par l'intermédiaire de R_1 et R_2 , et le potentiel de son collecteur devenant égal à - 12 V. Cette tension est appliquée, par l'intermédiaire de R_3 , à la borne 2 du module du canton (D) pour le mettre en occupation forcée.

On a donc :

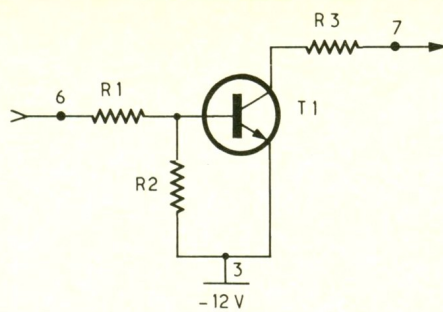
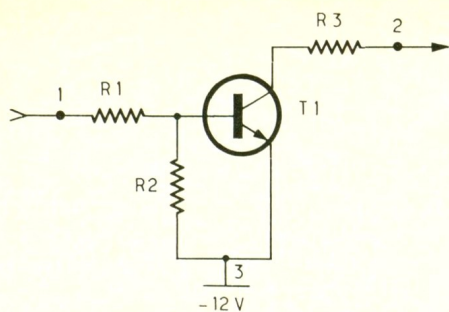
- (C) occupé \Rightarrow occupation forcée de (C) ;
 - (D) occupé \Rightarrow coupure de (A).
- Dans ce cas, les cantons (A) et (B) ne sont plus alimentés, car le relais du module de (C) coupe le canton (B) et le relais du module de (D) coupe le canton (A).

Un convoi, venant du canton (A) et qui franchit le croisement, arrive sur le canton (C), ce qui provoque l'occupation forcée du canton (D) et la coupure de (A). Ensuite, il se dirige sur (D) et le canton (A) reste coupé. La voie du canton (B) devient donc prioritaire sur celle du canton (A) lors du franchissement du croisement.



1

Illustration d'une situation géographique quelconque.



REALISATION

On fait appel au circuit imprimé de la figure 3 et à l'implantation des composants en figure 4.

On commencera par souder les résistances R_1 à R_3 puis les transistors T_1 .

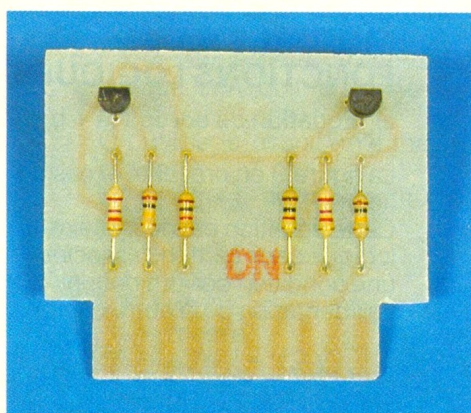


Photo 2. - Le module de canton.

Pour les liaisons, se reporter au brochage du connecteur et aux exemples de montage.

NOMENCLATURE DES COMPOSANTS

R_1 : 27 k Ω , 1/4 W (rouge, violet, orange)

R_2 : 1 k Ω , 1/4 W (marron, noir, rouge)

R_3 : 100 k Ω , 1/4 W (marron, noir, jaune)

T_1 : 2N2222 plastique TO92

Liaisons

- 1 \Rightarrow 1^{re} entrée
- 2 \Rightarrow 1^{re} sortie pour occupation forcée
- 3 \Rightarrow alim. : - 12 V
- 4 \Rightarrow nc
- 5 \Rightarrow nc
- 6 \Rightarrow 2^e entrée
- 7 \Rightarrow 2^e sortie pour occupation forcée
- 8 \Rightarrow nc
- 9 \Rightarrow nc
- 10 \Rightarrow nc

PROTECTION D'UN PASSAGE A NIVEAU

La figure 5 illustre la situation géographique. Lorsqu'un convoi se présente sur le canton (A), il faut que le passage à niveau se baisse et reste baissé jusqu'à ce que le canton (A) soit libre.

C'est la fonction du module décrit ci-après.

PRINCIPE DE FONCTIONNEMENT

On se reporte au schéma de la figure 6.

La borne 7 est à relier à la borne 7 du module de protection du canton (A) et la borne 6 à la borne 6.

Lorsqu'un convoi se présente sur le canton (A), la borne 7 de son module de protection passe à + 12 V, ce qui entraîne l'illumination de la LED D_1 par R_4 et l'apparition d'une impulsion positive sur la base de T_1 . Celui-ci se sature et alimente brièvement la bobine de descente du passage à niveau.

Lorsque le convoi quitte le canton (A), c'est la borne 6 de son module de protection qui passe à + 12 V, ce qui provoque le même phénomène, mais sur la bobine de montée du passage à niveau.

Il sera nécessaire de mettre en parallèle sur chacune des bobines du passage à niveau une diode (type 1N4001...7) où les cathodes seront reliées au commun (+ 15 V par exemple).

REALISATION

On fait appel au circuit imprimé de la figure 7 et à l'implantation des composants en figure 8.

On commencera par souder les résistances R_1 à R_4 , puis les condensateurs C_1 , les transistors T_1 et enfin la LED D_1 .

Pour les liaisons, se reporter au brochage du connecteur et aux exemples de montage.

NOMENCLATURE DES COMPOSANTS

R_1 : 22 k Ω , 1/4 W (rouge, rouge, orange)

R_2 : 100 k Ω , 1/4 W (marron, noir, jaune)

R_3 : 2,2 k Ω , 1/4 W (rouge, rouge, rouge)

R_4 : 1 k Ω , 1/4 W (marron, noir, rouge)

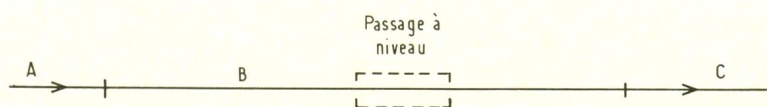
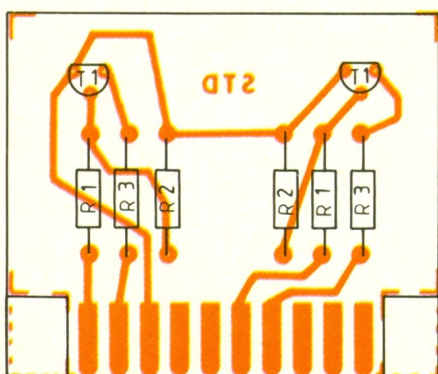
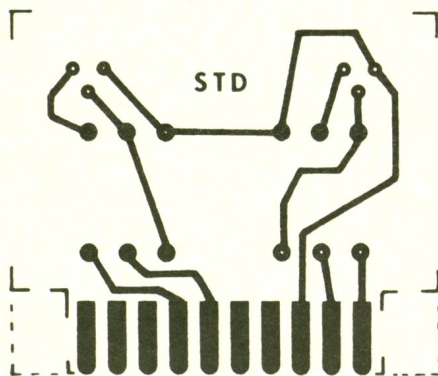
C_1 : 22 μ F 16 V, radial

D_1 : LED au choix

T_1 : BC 337

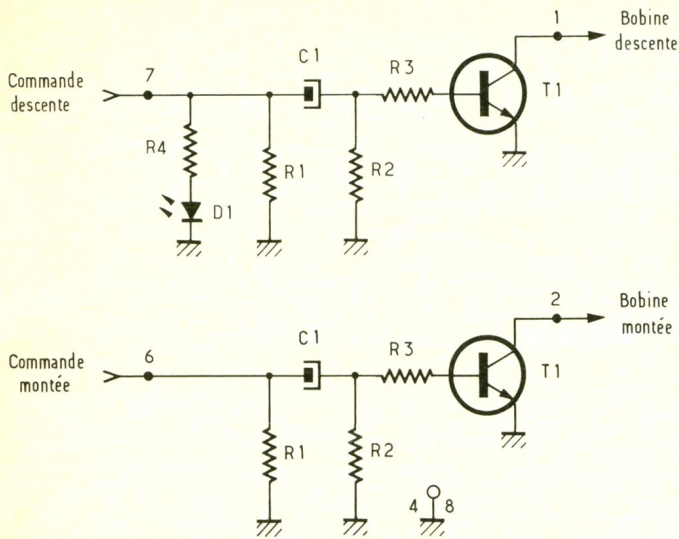
Liaisons

- 1 \Rightarrow sortie descente
- 2 \Rightarrow sortie montée
- 3 \Rightarrow nc
- 4 \Rightarrow masse
- 5 \Rightarrow nc
- 6 \Rightarrow entrée montée
- 7 \Rightarrow entrée descente
- 8 \Rightarrow nc
- 9 \Rightarrow masse
- 10 \Rightarrow nc



6

Schéma de principe du passage à niveau.



9

Schéma de principe des fonctions logiques.

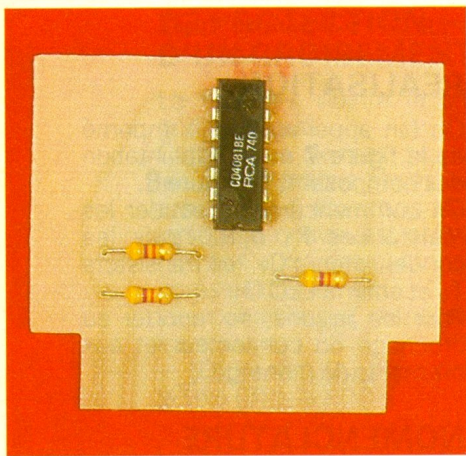
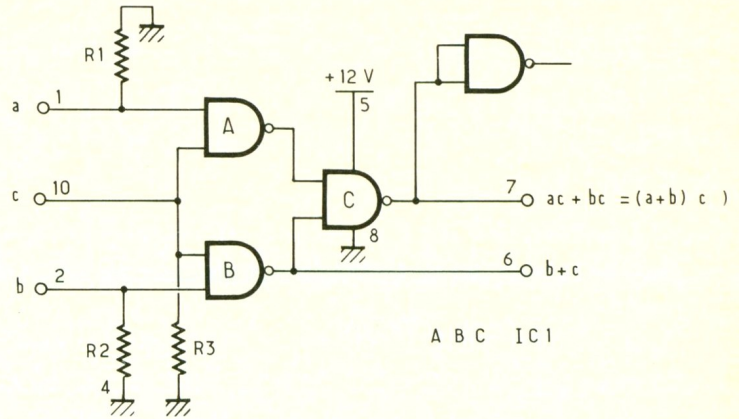


Photo 3. – Le module de sortie.

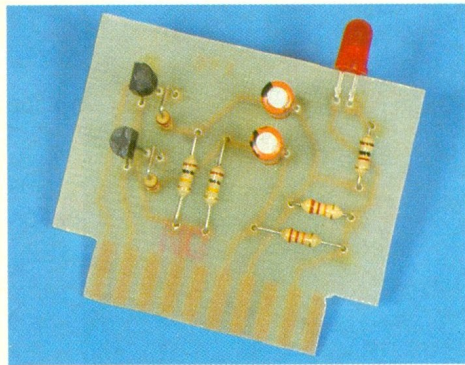


Photo 4. – Le module de passage à niveau.

MODULES A FONCTIONS LOGIQUES

a) Equation de sortie : $(a + b) \cdot c$

. C.
La figure 9 en présente le cas de figure.

Cette équation est nécessaire lorsque deux cantons associés à une condition doivent couper l'alimentation d'un autre canton.

REALISATION

On fait appel au circuit imprimé de la figure 10 et à l'implantation des composants en figure 11. On commencera par souder les résistances R_1 à R_3 , puis le circuit intégré IC_1 , soit directement, soit sur un support. Pour les liaisons, se reporter au brochage du connecteur et aux exemples de montage.

NOMENCLATURE DES COMPOSANTS

R_1 à R_3 : 47 k Ω , 1/4 W (jaune, violet, orange)
 IC_1 : 4 portes NAND à 2 entrées 4011

Liaisons

- 1 \Rightarrow entrée a
- 2 \Rightarrow entrée b
- 3 \Rightarrow nc
- 4 \Rightarrow masse
- 5 \Rightarrow alim. : + 12 V
- 6 \Rightarrow b + c
- 7 \Rightarrow $(a + b) \cdot c$
- 8 \Rightarrow masse
- 9 \Rightarrow nc
- 10 \Rightarrow entrée C

7-8

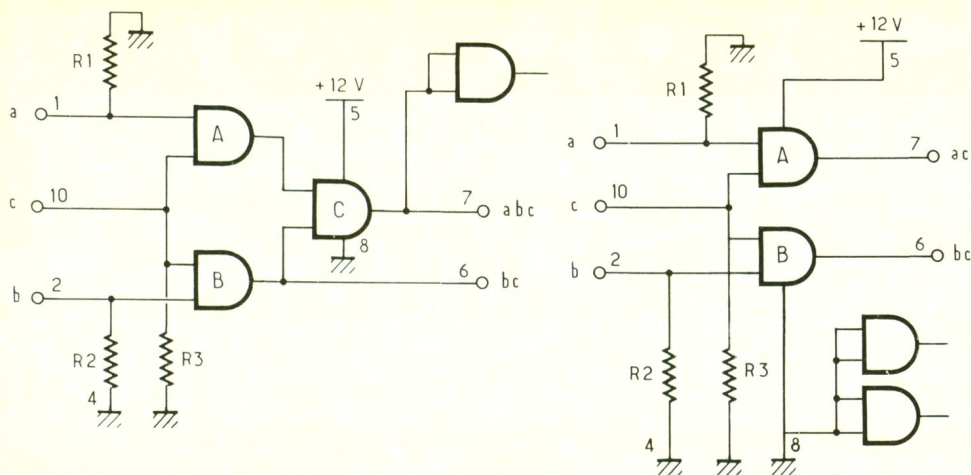
Dessin et implantation des composants du passage à niveau.

10-11

Dessin et implantation des composants des fonctions logiques.

12

Schéma de principe de la logique de sortie.



b) Equation de sortie a.b.c.

La figure 12 en propose le schéma de principe.

Cette équation est nécessaire lorsque l'on doit combiner plusieurs conditions.

On utilise le circuit imprimé précédent.

Le brochage du connecteur devient :

- 1 ⇒ entrée a
- 2 ⇒ entrée b
- 3 ⇒ nc
- 4 ⇒ masse
- 5 ⇒ alim. : + 12 V
- 6 ⇒ sortie b.c
- 7 ⇒ sortie a.b.c
- 8 ⇒ masse
- 9 ⇒ nc
- 10 ⇒ entrée c

REALISATION

On fait appel au circuit imprimé de la figure 13 et à l'implantation des composants en figure 14.

On commencera par souder les résistances R₁ à R₃, puis le circuit intégré IC₁, soit directement, soit sur un support.

Pour les liaisons, se reporter au brochage du connecteur et aux exemples de montage.

NOMENCLATURE DES COMPOSANTS

R₁ à R₃ : 47 kΩ, 1/4 W (jaune, violet, orange)
IC₁ : 4 portes AND à 2 entrées 4081

c) Equations de sortie : S₁ = a.c ; S₂ = b.c.

La figure 15 en propose le schéma de principe.

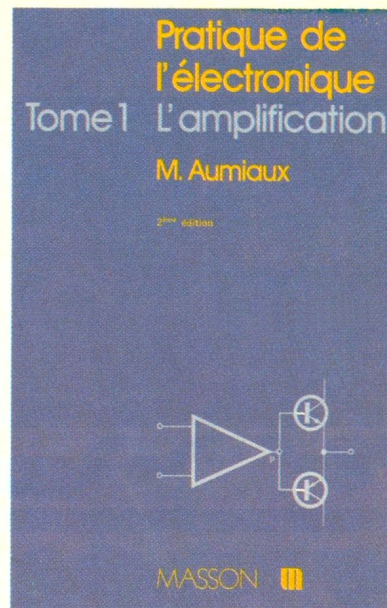
Ces équations sont utilisées lorsqu'un canton doit couper l'alimentation de deux autres cantons suivant deux conditions différentes.

Même composants que le précédent module.

Liaisons

- 1 ⇒ entrée a
- 2 ⇒ entrée b
- 3 ⇒ nc
- 4 ⇒ masse
- 5 ⇒ alim. : + 12 V
- 6 ⇒ sortie S₂
- 7 ⇒ sortie S₃
- 8 ⇒ masse
- 9 ⇒ nc
- 10 ⇒ entrée c

J.-L. TISSOT

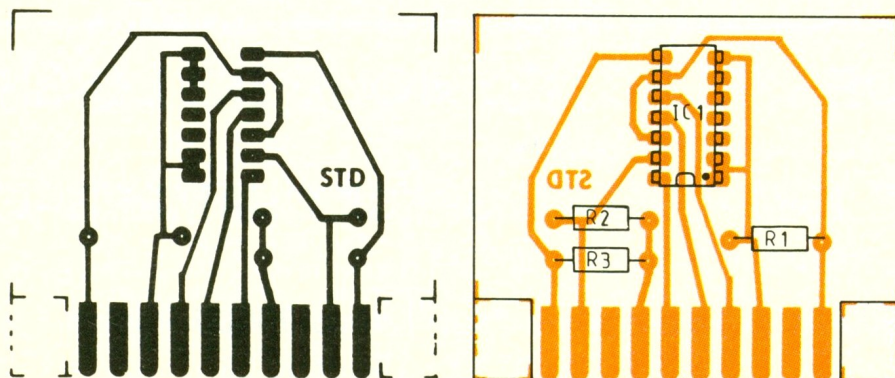


Ayant été pendant sept ans ingénieur puis chef de laboratoire dans une entreprise d'électronique, l'auteur a acquis une riche expérience dans la pratique des amplificateurs opérationnels. C'est cette expérience, et aussi celle de l'équipe d'ingénieurs et d'agents techniques qu'il supervisait, qu'il traduit dans cet ouvrage que les lecteurs de la première édition ont apprécié compte tenu de ses originalités :

- ouvrage d'un esprit pratique, mais où l'explication théorique ne fait pas défaut ;
- des formules utiles qui surprennent, parce qu'on y trouve à la fois précision et simplicité ;
- une présentation remarquable : texte sur la page de droite, schémas correspondants sur la page de gauche ;
- des exercices avec solutions représentant 25 % du volume de l'ouvrage.

La pédagogie et le très bon niveau de formation de cet ouvrage le rendront fort utile aux ingénieurs et agents techniques, pour qui il sera un outil de travail, aux étudiants, à qui il apportera un précieux complément de formation pratique. Les uns et les autres voudront posséder cet ouvrage qui leur apportera une formation sérieuse et efficace sans éprouver de difficulté, car ils n'auront à résoudre ni intégrale ni équation différentielle.

Masson
120, bd Saint-Germain
75280 Paris Cedex.



13-14

Dessin du circuit imprimé.
Implantation des composants.

ALARME AUTO/MOTO



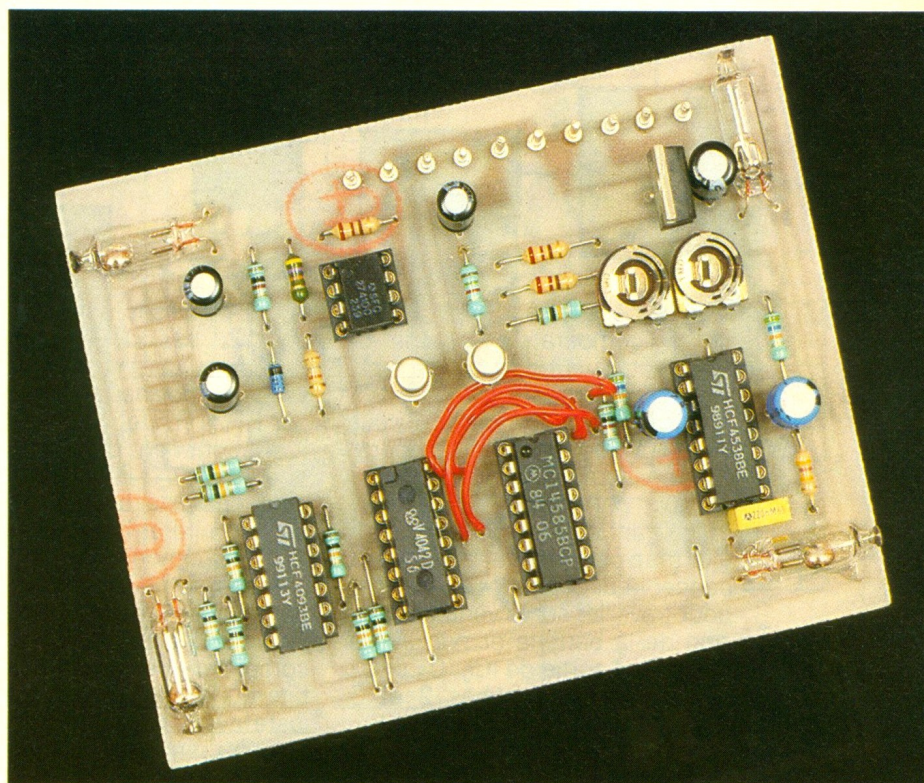
Bien heureux est le possesseur d'un beau véhicule bien équipé n'ayant jamais fait l'objet d'un vol. Pour d'autres, moins chanceux, la liste est longue entre les autoradios, les phares, les jantes et autres pneus taille basse. Il est évident que, au-devant de tels délits, il vaut mieux mettre toutes les chances de son côté et investir dans un petit système de protection.

PRINCIPE DE FONCTIONNEMENT

(fig. 1)

Il repose sur la variation d'assiette du véhicule. On désigne par « assiette » la stabilité, l'attitude du véhicule, sur une route par exemple. L'attitude dépend du support sur lequel se trouve le véhicule. Le système de base le plus rudimentaire se contente d'un contact au mercure, où l'on détecte le moment où le mercure va établir une liaison électrique et va donc déclencher l'alarme. Le point noir d'un tel système est qu'il faut s'arranger pour que le véhicule soit garé de façon que le contact au mercure n'entre pas en action, ce qui semble très contraignant lorsqu'on est sur une route de montagne, par exemple. La solution qui vient alors à l'esprit est simple et consiste à doter notre système d'une intelligence de manière qu'il soit capable de savoir dans quelle position exacte se trouve le véhicule.

Ce dernier peut occuper au moins quatre positions différentes, selon qu'il tangue ou qu'il roule. Mais il peut également occuper des positions supplémentaires résultant d'une combinaison de deux ou trois positions. Ainsi, en disposant quatre contacts au mercure, chacun orienté vers un point cardinal différent, nous résolvons une partie du problème. Mais le système doit être aussi capable de mémoriser l'état des capteurs au mercure, quel que soit la position du véhicule, et de signaler tout mouvement de sa part. Notre système, qui ne veut en aucun cas rivaliser avec les alarmes profes-



sionnelles, semble répondre au petit cahier des charges que nous venons d'évoquer. De plus, nous l'avons doté d'un testeur d'état de la batterie

ANALYSE DU SCHEMA DE PRINCIPE (fig. 2)

Notre étude se compose de cinq parties.

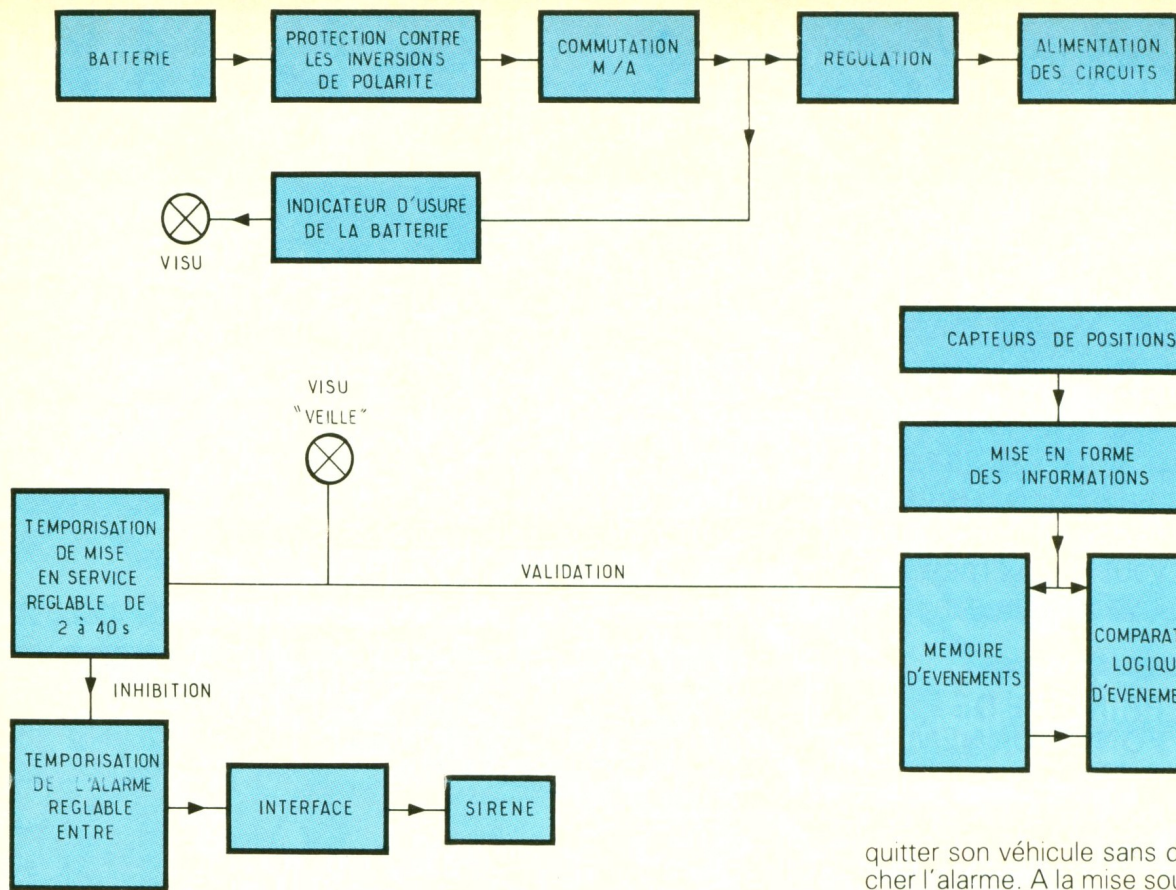
a) La régulation de l'alimentation

Pour alimenter le montage et conformément à la figure 5, la batterie se connecte aux bornes A et B. De A à C nous passons par D₂, qui empêche les inversions de polarité, pour arriver à D par un interrupteur de service. Il conviendra donc d'alimenter le

montage avec une tension de 12 V qui sera abaissée et régulée à 9,5 V par IC₆, R₁, R₂, C₂. C₁ découple l'alimentation. D₂ est facultative, aussi l'auteur ne l'a pas soudée sur le circuit imprimé.

b) Le détecteur d'usure de la batterie

Comme nous le voyons, il se compose de IC₁, un amplificateur opérationnel de type 741, monté en comparateur de tensions. Dans cette configuration, il compare une tension U sur sa broche 3 à un seuil qui se trouve sur sa broche 2. Avec la valeur des composants R₃, R₄, R₅ et D₁, on teste le quart de la tension de l'alimentation. Si cette tension



reste supérieure à 9,90 V, la sortie du comparateur (broche 6) est à l'état haut. Par contre, si la tension d'alimentation venait à descendre en dessous du seuil de 9,9 V, la sortie du comparateur passerait à l'état bas, permettant par R₆ de faire circuler un courant entre les points I et J. Ce dispositif très fiable est connecté directement au point D pour travailler sur la véritable tension de la batterie et non sur la tension de sortie de IC₆. C₃ et C₄ découplent les broches 2 et 3 d'IC₁.

c) Détection de la position du véhicule

Les photographies le montrent bien, il y a quatre capteurs au mercure, CPT₁ à CPT₄, qui sont le reflet physique de la position du véhicule. Ces capteurs attaquent les entrées de quatre opérateurs Nand à trigger de Schmitt polarisés à l'état haut par R₇ à R₁₀. Ainsi, toute variation se traduit en sortie des opérateurs A, B, C, D d'IC₂ par un niveau haut ou un niveau bas.

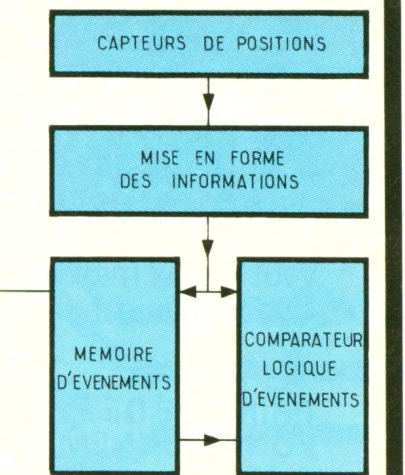
d) Traitement de l'information et interprétation

IC₃ est un verrou de quatre bits et, tant que sa broche 5 est à l'état bas, il recopie l'information présente sur ses broches 4, 7,

13, 14 sur ses sorties, les broches 2, 10, 11, 1. Les entrées du verrou, les broches 4, 7, 13, 14 sont polarisées à l'état bas par R₁₁ à R₁₄ et reçoivent les informations en provenance des opérateurs A, B, C, D d'IC₂. Si maintenant la broche 5 vient à passer à l'état haut, le verrou se fige et mémorise alors l'état de ses entrées. Il n'est plus affecté par aucun changement d'état sur celles-ci. Il dispose donc, sur ses sorties, d'une information de 4 bits qui est le reflet des entrées juste avant la mémorisation. IC₄ est un comparateur logique. Tel qu'il est configuré ici, il compare deux mots A et B. Si A = B, la broche 3 du comparateur est à l'état haut. Si A ≠ B, alors la sortie passe à l'état bas. Le mot A se trouve sur les broches 15, 7, 10, 2. Le mot B, lui, se trouve sur les broches 14, 9, 11, 1.

De cette façon, on compare en permanence la position du verrou à la position réelle des capteurs issue des opérateurs A, B, C, D de IC₂.

IC₅ est un circuit qui renferme deux bascules monostables indépendantes. Toutes deux offrent un délai réglable entre 2 et 40 secondes. La première, à l'aide de R₁₅, P₁, C₁, fixe la durée T₁ de l'alarme. La deuxième, à l'aide de R₁₆, P₂, C₆, fixe la durée T₂ pendant laquelle l'utilisateur peut



quitter son véhicule sans déclencher l'alarme. A la mise sous tension du montage, C₇ et R₁₇ génèrent une brève impulsion sur la broche 12, qui a pour effet de déclencher la deuxième bascule monostable. Sa sortie complétée (broche 9) passe à l'état bas pendant un temps T₂. Il se produit alors deux effets : mise à zéro de la première bascule afin d'éviter un déclenchement de l'alarme, et envoi de l'information nécessaire au verrou pour être transparent. Au bout du temps T₂, la broche 9 d'IC₅ passe à l'état haut, rendant la première bascule opérationnelle, et figeant le verrou IC₃.

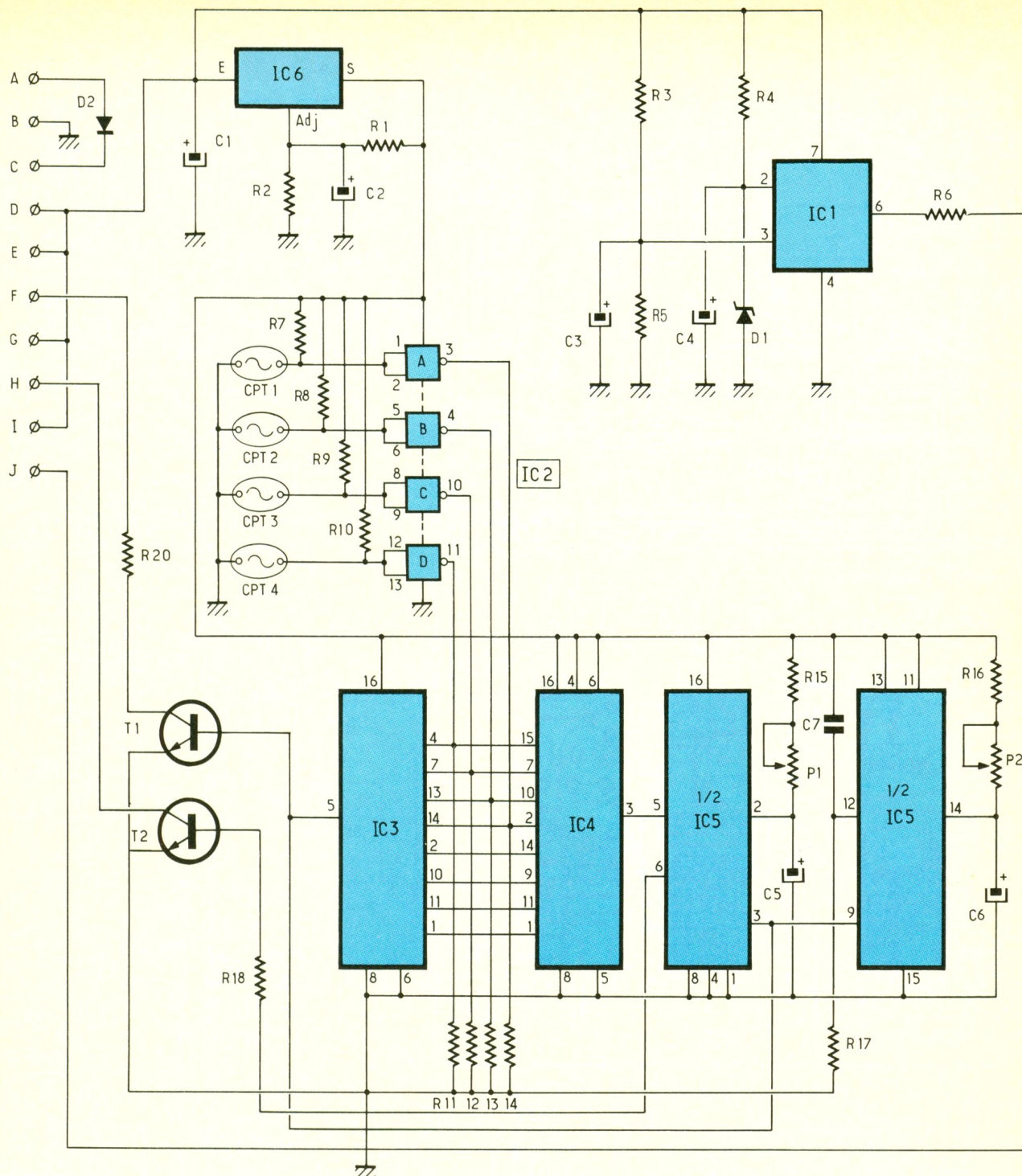
Si la broche 3 d'IC₄ passait à l'état bas, par suite d'un mouvement du véhicule, la première bascule monostable d'IC₅ se déclencherait pendant le temps T₁ et la broche 6 passerait à l'état haut durant T₁. Le procédé est simple mais fonctionnel.

e) Les sorties

T₁ est contrôlé par la broche 3 d'IC₅ via R₁₉. Lorsque se présente un état haut, T₁ est conducteur et permet donc la circulation d'un courant entre E et F à travers R₂₀, pour alimenter une LED par exemple. T₂, lui, est contrôlé à travers R₁₈ par la broche 6 d'IC₅. Pendant le temps T₁ de l'alarme, il est conducteur et permet, par les points I et J, d'alimenter une sirène électronique modulée de basse puissance. T₁

2

Schéma de principe, CPT1 à CPT4 représentent les contacts Mercure.



et T₂ constituent une interface entre le module et le monde extérieur.

REALISATION PRATIQUE (fig. 3 et 4)

Vous pouvez employer la méthode photographique pour réaliser le circuit imprimé. L'auteur s'est efforcé de réduire au maximum les dimensions du montage afin qu'il tienne sur une plaque d'époxy de dimensions standards (75 x 100 mm).

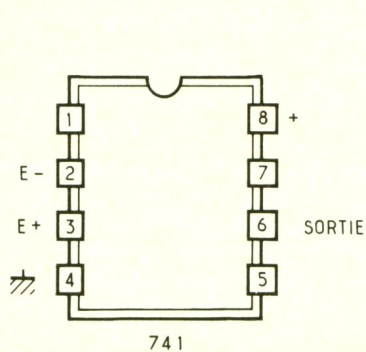
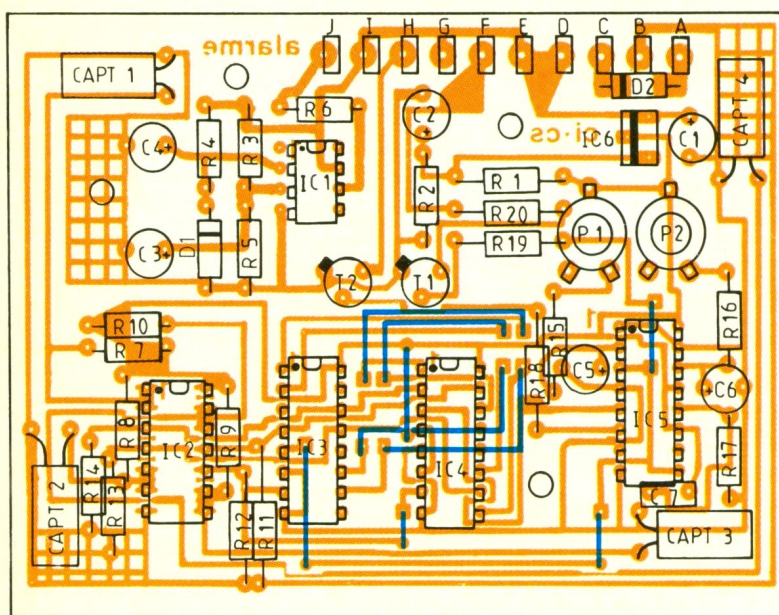
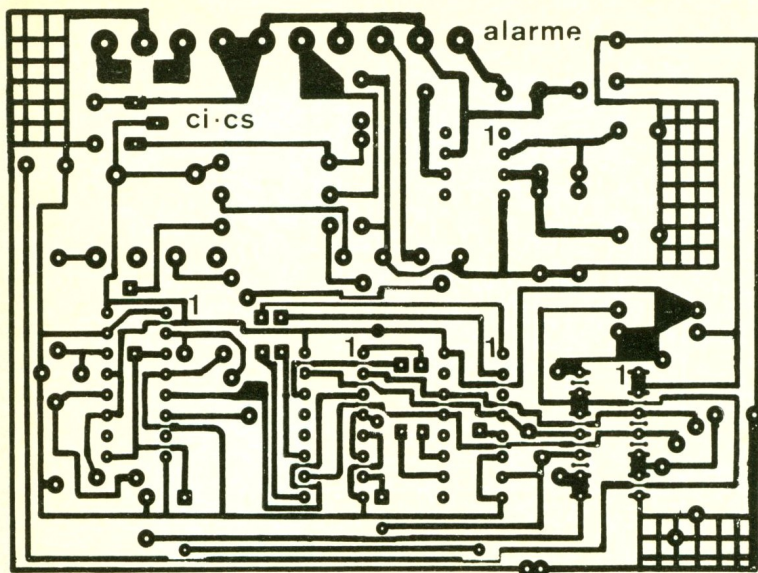
Après révélation et gravure dans un bain de perchlorure de fer chauffé, il faudra de préférence étamer les pistes du circuit par

rapport au milieu dans lequel il va évoluer. Etamer consiste à protéger les pistes contre toutes les agressions dues au climat. Pour cela, on peut utiliser un bain d'étain chimique à froid, par exemple. Il faudra ensuite percer chaque pastille avec des forets de 0,6 mm pour les circuits intégrés, transistors et capteurs au mercure, 0,8 mm pour les résistances, condensateurs, straps et régulateur. On emploiera du 1 mm pour les résistances ajustables P₁ et P₂, ainsi que pour les picots de sorties et la diode D₂. Attention de ne pas omettre le strap sous IC₅. Il faudra également se reporter à la figure 4

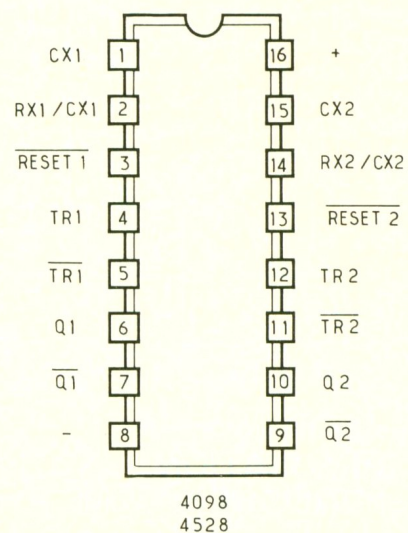
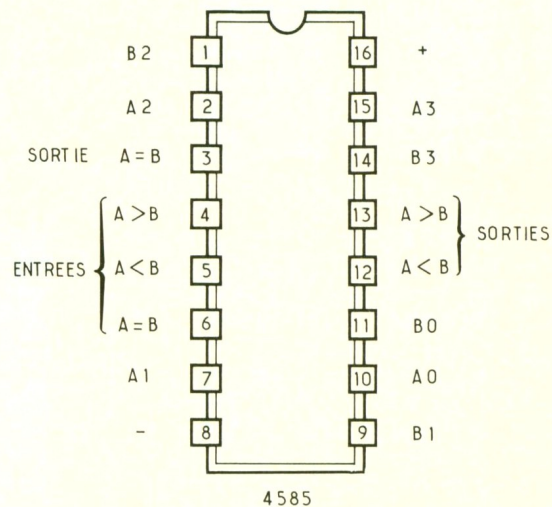
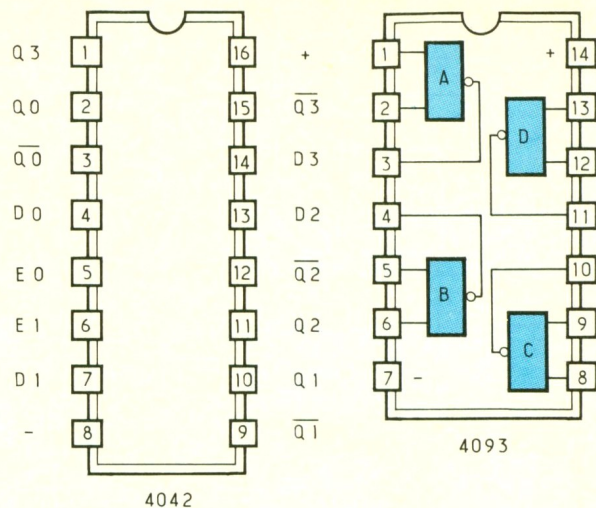
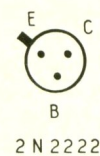
pour les liaisons par fils qui se trouvent sur le montage. Ces quatre connexions à fils sont extrêmement importantes. Si elles ne sont pas respectées, le montage fonctionnera très mal. On veillera également à la polarité des semi-conducteurs et des condensateurs. Les quatre capteurs au mercure pourront être rendus solidaires du circuit imprimé avec un point de colle Néoprène.

Une fois que tout aura été contrôlé minutieusement, on pourra passer au câblage du module avec les différents organes extérieurs. Pour cela, il convient de se reporter à la figure 5.

3-4 *Dessin du circuit imprimé et implantation des composants.*



Vue de dessus



ESSAIS

Vous disposez donc de votre module relié à une batterie et à une sirène...

Mode opératoire

– Mettre P₁ et P₂ au minimum (vers la droite).

– Actionner l'interrupteur de service.

A ce niveau, il peut se produire une sonorité brève de la sirène digne des alarmes professionnelles. Cela dépend en fait de IC₅. Il faudra de préférence utiliser un 4098.

– Au bout du temps T₂, réglable par P₂, la LED clignotante de

veille entre en action. A partir de cet instant, le moindre mouvement sera fortement sanctionné par l'action de la sirène dont la durée est réglable par P₁.

– Il convient alors de réinitialiser le montage. On peut également alimenter le montage avec une alimentation variable et constater alors l'efficacité du détecteur

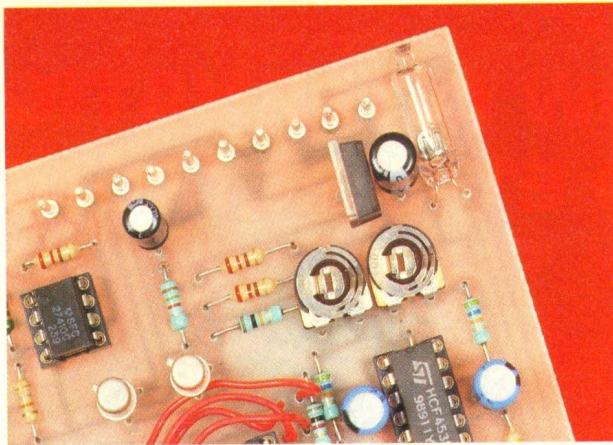


Photo 2. – Les contacts Mercure se placent aux quatre coins de la carte.

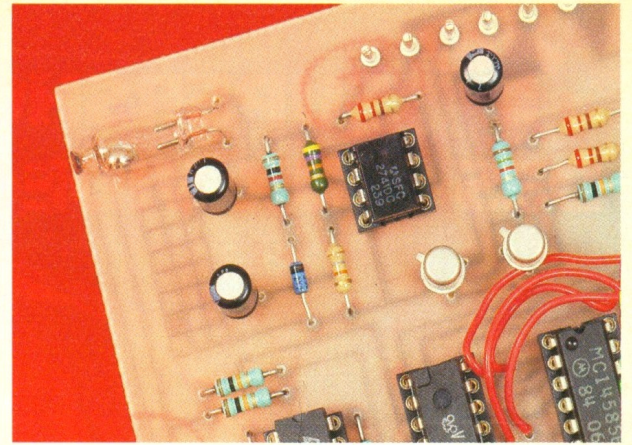


Photo 3. – Quelques straps passent en-dessous des circuits intégrés.

d'usure de la batterie par l'illumination de la LED appropriée. Ce petit module deviendra vite un compagnon de sécurité indispensable. Les plus bricoleurs d'entre vous pourront l'adapter à une installation déjà existante, ou à une autre application. Nous vous souhaitons beaucoup de plaisir face à cette réalisation, et beaucoup de chance face aux aléas de la vie quotidienne.

Bruce PETRO

NOMENCLATURE DES COMPOSANTS

Résistances 1/4 W

- R_1 : 220 Ω (rouge, rouge, marron)
- R_2 : 1,5 k Ω (marron, vert, rouge)
- R_3 : 47 k Ω (jaune, violet, orange)
- R_4 : 1 k Ω (marron, noir, rouge)
- R_5 : 18 k Ω (marron, gris, orange)

- R_6 : 220 Ω (rouge, rouge, marron)
- R_7 à R_{14} : 10 k Ω (marron, noir, orange)
- R_{15} , R_{16} : 56 k Ω (vert, bleu, orange)
- R_{17} : 470 k Ω (jaune, violet, jaune)
- R_{18} : 1 k Ω (marron, noir, rouge)
- R_{19} : 10 k Ω (marron, noir, orange)
- R_{20} : 220 Ω (rouge, rouge, marron)
- P_1 , P_2 : résistances AJ de 1 M Ω

Semi-conducteurs

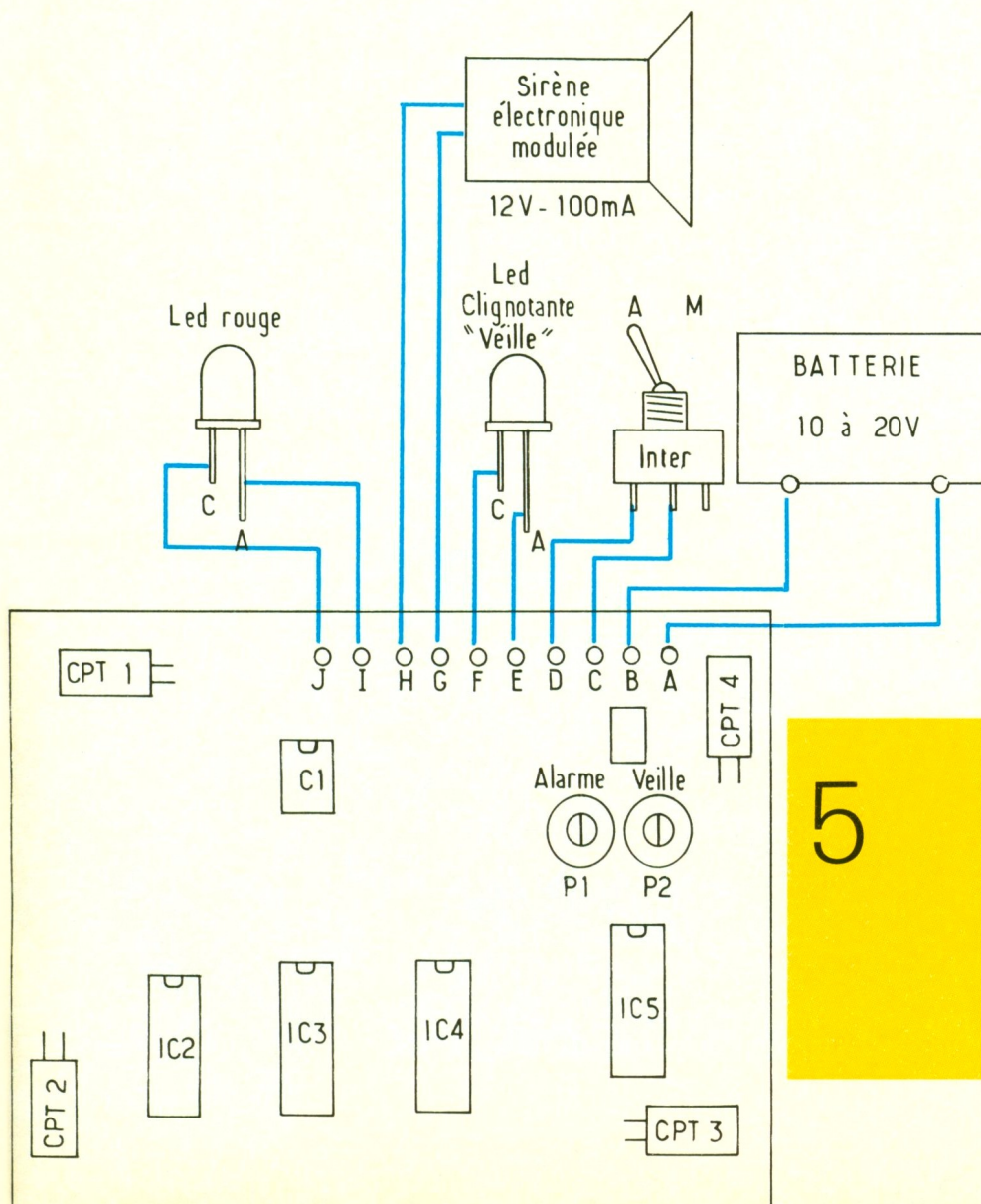
- D_1 : diode Zener 2,7 V
- D_2 : 1N4007 (facultative)
- T_1 , T_2 : 2N2222
- IC_1 : 741
- IC_2 : 4093 CMOS
- IC_3 : 4042 CMOS
- IC_4 : 4585 CMOS
- IC_5 : 4098, 4528 CMOS
- IC_6 : LM 317 T

Condensateurs

- C_1 : 470 μ F/25 V, électrochimique radial
- C_2 : 1 μ F/16 V, électrochimique radial
- C_3 , C_4 : 1 μ F/16 V, électrochimique radial
- C_5 , C_6 : 47 μ F/16 V, électrochimique radial
- C_7 : 220 nF

Divers

- 4 contacts « ampoules mercure »
- Picots mâles et femelles pour circuits imprimés
- Plaque époxy 76 x 100 mm présensibilisée
- 1 LED clignotante rouge \varnothing 5 mm
- 1 LED rouge normale \varnothing 5 mm
- 1 support 8 broches
- 1 support 14 broches
- 3 supports 16 broches



AMPLIFICATEUR AUDIO-VIDEO



Ce montage permet de rehausser les signaux de fréquences comprises entre 20 Hz et 10 MHz. Les domaines d'application vont du simple préamplificateur audio jusqu'à l'amplificateur vidéo couleurs.

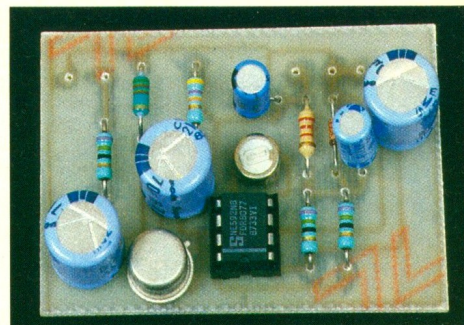
LE SCHEMA DE PRINCIPE (fig. 1)

Le cœur du montage repose sur un circuit intégré, le NE 592, très réputé, et donc d'un approvisionnement facile. Il offre de très bonnes performances puisque nous avons affaire à une structure différentielle en technologie bipolaire. Son gain maximal atteint 400 sur une large bande passante, de 20 Hz à 10 MHz pour ce qui nous concerne. L'ajustage de ce dernier s'avère possible grâce à une résistance variable R_6 de 20 k Ω , il vous sera même possible d'effectuer une atténuation, gain inférieur à 1 quand R_6 vaut 20 k Ω . En utilisant une résistance R_6 de 1 M Ω , vous pourrez obtenir des gains allant de 0,02 à 400, mais attention, le réglage devient pointu. Il s'avère préférable de disposer en série avec R_6 une résistance dite de pied, ou tampon, dont la somme correspond à une partie de la variation.

En définitive, le gain croît lorsque la résistance R_6 diminue.

Le gain s'ajuste par rapport à la tension d'entrée, sachant que la tension maximale disponible à la sortie vaut 4 V crête à crête, sur une charge de 1000 Ω , avant écrêtage du signal. Pour un gain de 400, la tension d'entrée maximale vaudra alors 10 mV crête à crête.

A la place de R_6 , il s'avère possible de placer un réseau sélectif parallèle ou série, dont l'indépendance est variable en fonction de la fréquence. A ce moment, on peut réaliser des filtres coupe-bande, passe-bande, passe-bas ou passe-haut. De part sa structure, le NE 592 nécessite une alimentation symétrique de 16 V. Pour parer à cela, nous avons polarisé les entrées inverseuse et non inverseuse, grâce à la diode D_1 . Celle-ci régule à 6,2 V, avec la résistance R_1 , portant à $1/2 V_{CC}$ le potentiel des deux accès *via* les résistances R_2 et R_3 .

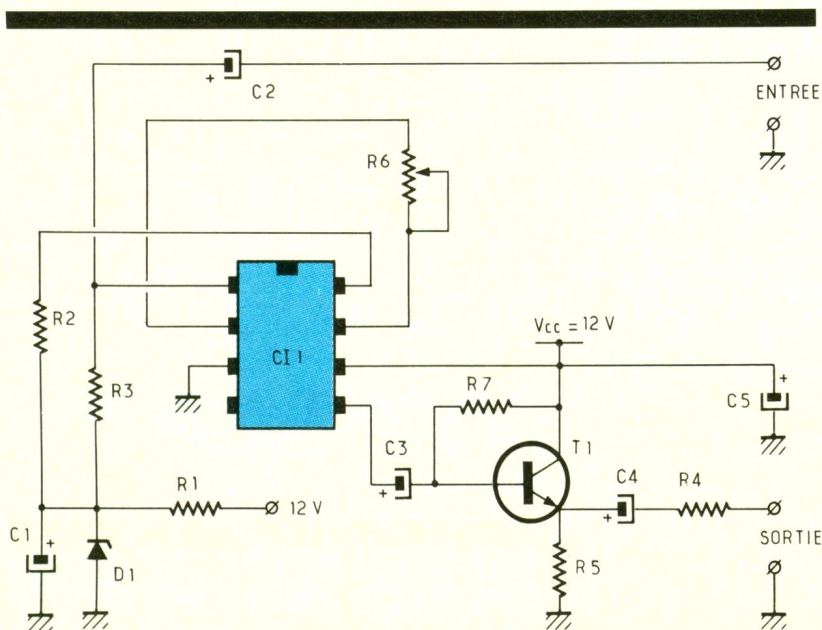


Outre la fonction de faire circuler le courant de polarisation, elles offrent une impédance d'entrée égale à 75 Ω , le condensateur C_1 offre une faible résistance aux courants de basse et moyenne fréquences, ce point se nomme couramment « point froid d'un montage ». Le circuit intégré est doté de deux sorties sur lesquelles nous disposons d'un signal inversé de 180 degrés. Notre maquette utilise la sortie permettant d'obtenir une sortie directe, non inversée. Mais rien n'empêche l'utilisateur de se connecter sur la broche 4 du NE 592. Dans tous les cas, le signal subira un déphasage de -20 degrés lorsque la fréquence atteint 10 MHz.

Sur la broche 5, nous prélevons le signal de sortie non inversé au travers d'un condensateur chimique de 220 nF. Il attaque la base d'un transistor monté en collecteur commun afin de l'envoyer vers la sortie sous une impédance de source de 75 Ω . La résistance R_7 polarise la transistor.

REALISATION PRATIQUE

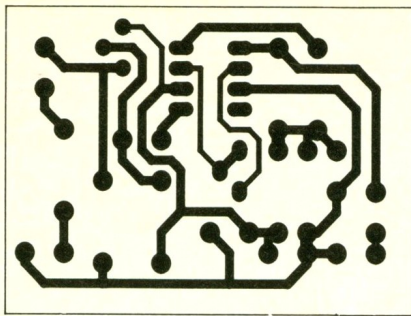
La figure 2 donne le dessin du circuit imprimé, qui peut aisément se réaliser à l'aise de bandes ou de pastilles Mécanorma. Le diamètre de perçage correspond à 0,8 mm. Le circuit intégré prend place sur un support 8 broches



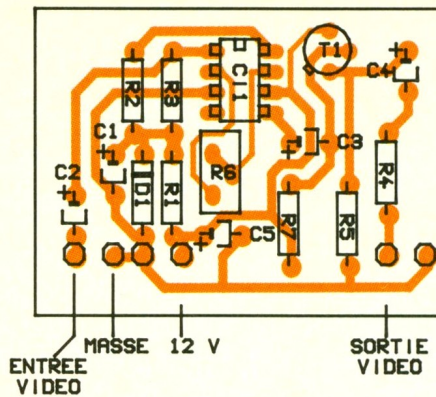
1

Le schéma de principe repose sur un NE 592, circuit intégré spécialisé.

2 Le dessin du circuit imprimé reste facile à tracer.



3 Implantation des composants.



NOMENCLATURE DES COMPOSANTS

Résistances

R_1 : 2,2 k Ω (rouge, rouge, rouge)
 R_2 à R_4 : 75 Ω (violet, vert, noir)
 R_5 : 510 Ω (vert, marron, marron)
 R_6 : 20 k Ω ajustable verticale (voir le texte)
 R_7 : 47 k Ω (jaune, violet, orange)

Condensateurs

C_1 à C_4 : 220 μ F, 16 V radial
 C_5 : 10 μ F, 16 V radial

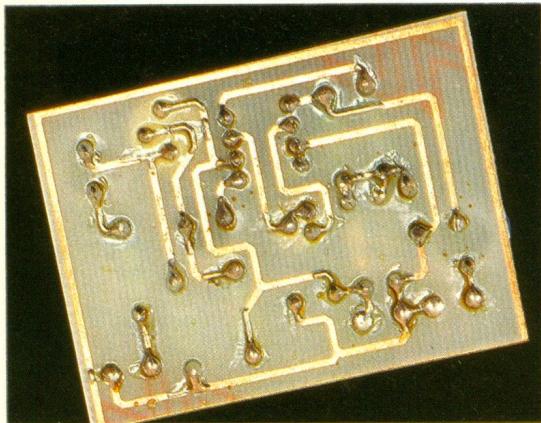
Semi-conducteurs

Cl_1 : NE 592, amplificateur large bande
 T_1 : 2N2219
 D_1 : BZX 6,2, diode Zener 6,2 V

Divers

1 support Cl_1 8 broches
 1 platine époxy simple face de 56 x 40

Peu de soudures sur ce montage.



conformément au dessin de l'implantation représenté à la figure 3.

UTILISATION

Pour les faibles amplitudes d'entrée, la résistance R_6 prendra une valeur de 20 k Ω . Cette réalisation vous permet désormais de procéder à l'amplification de signaux faibles ou amoindris dans les gammes de fréquences allant du domaine BF à 10 MHz.

P. MARTIN

FLUKE ET PHILIPS - L'ALLIANCE EN TEST ET MESURE

FLUKE.



PHILIPS

Fluke nouvelle série 70 II :
des multimètres à partir de 560 FHT*



- Garantie 3 ans
- Pièces et main d'œuvre
- Une gamme de 8 modèles
- Fonctions avancées (Fréquence, capacité, Lo-Ohms...)

* PRIX AU 1.0791

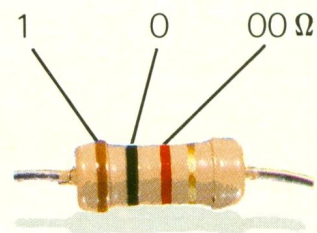
Pour en savoir plus : Tél. : PARIS (1) 49.42.80.80
 PROVINCE n° Vert 05.48.95.80

S.A. PHILIPS INDUSTRIELLE ET COMMERCIALE

Division Science et Industrie - Département Test et Mesure - 105, rue de Paris - B.P. 187 - 93003 BOBIGNY CEDEX

TM 17

CODE des COULEURS des RESISTANCES



offert par :

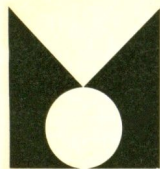
Electronique pratique

1 2 3 Tolérance : or \pm 5 %, argent \pm 10 %

| 1 ^{re} bague 1 ^{re} chiffre | 2 ^e bague 2 ^e chiffre | 3 ^e bague multiplicateur |
|--|--|--|
| | 0 | $\times 1$ |
| 1 | 1 | $\times 10$ |
| 2 | 2 | $\times 100$ |
| 3 | 3 | $\times 1\,000$ |
| 4 | 4 | $\times 10\,000$ |
| 5 | 5 | $\times 100\,000$ |
| 6 | 6 | $\times 1\,000\,000$ |
| 7 | 7 | |
| 8 | 8 | |
| 9 | 9 | |



LE RECEPTEUR AVIATION TSM71



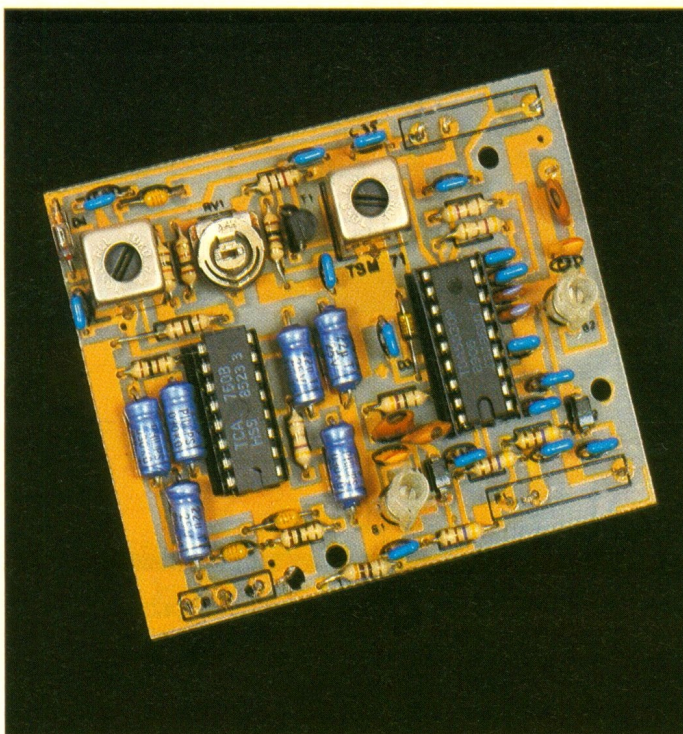
Le récepteur décrit aujourd'hui permet l'écoute des ondes radio-fréquence entre 115 et 135 MHz. Dans cette gamme il s'avère possible d'entendre les liaisons entre les avions et la tour de contrôle, des informations météorologiques, les balises et liaisons de service sur les pistes.

Les VHF connurent un franc succès avec l'apparition de la modulation de fréquence, malgré tout l'AM reste le support privilégié des communications liées au trafic aviation. La conception d'un tel récepteur suppose la mise en œuvre de plusieurs techniques spécifiques, la solution retenue par la société TSM consiste à faire simple et efficace. En effet, l'utilisation des technologies modernes laisse entrevoir, au travers de montages sophistiqués, une grande simplicité au niveau tant du concepteur que du réalisateur.

LE SCHEMA DE PRINCIPE (fig. 1).

Le récepteur TSM71 repose sur l'emploi du circuit intégré fabriqué par RTC, le TDA5030. Afin de réduire le nombre de composants au strict minimum, la conception globale retenue utilise un simple changement de fréquence. Dans ce kit, la fréquence image placée à deux fois la valeur de la FI, soit ici 2×455 kHz, reste minimisée par l'accord continu du circuit d'antenne. Le TDA5030 comporte tous les éléments pour mettre en œuvre l'oscillateur, le mélangeur qui apporte un gain en tension de 25 dB et son amplificateur FI.

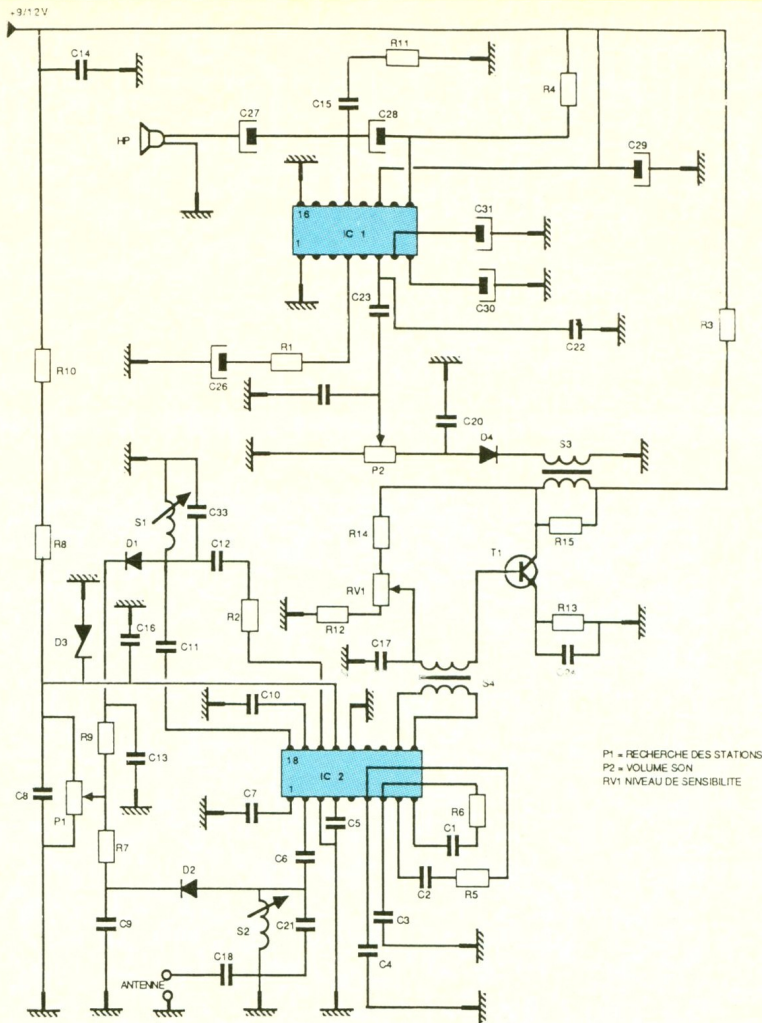
Les diodes Varicaps D_1 et D_2 procurent le contrôle de la fréquence de réception, l'une (D_1) pour l'oscillateur et l'autre (D_2) pour l'accord d'antenne. Les inductances S_1 et S_2 sont formées d'une spire de fil étamé sur un mandrin à noyau ajustable qui permet de se caler sur le bas de la bande, vers 115 MHz. Le potentiomètre P_1 devra être de préférence un modèle multitour ou doté d'un bouton démultipli-



teur. La sortie FI disponible aux broches 10 et 11 de IC_2 attaque un transformateur 455 kHz qui apporte une sélectivité de l'ordre de 15 kHz. L'enroulement secondaire de S_4 rejoint la base du transistor d'amplification FI dont le gain s'ajuste à l'aide de la résistance ajustable RV_1 . Le collecteur T_1 supporte la charge apportée par le transformateur S_3 , la résistance R_{15} réduit le coefficient de surtension pour optimiser la stabilité de fonctionnement. Le bobinage secondaire charge la diode de détection D_4 qui fournit aux bornes de P_2 la tension BF redressée. Pour donner un confort d'écoute raisonnable, un amplificateur porte la puissance à 1 W dans un haut-parleur de 8 Ω . L'alimentation s'effectue sous une tension continue bien filtrée de 9 à 12 V.

REALISATION PRATIQUE

Le dessin du circuit imprimé présenté à la **figure 2** se réalise sur du verre époxy cuivré simple face, mais d'une épaisseur de 8/10. Une petite astuce nous est apparue en examinant de plus près le tracé du circuit. En effet, si vous regardez les pistes sous l'inductance S_2 , vous remarquerez la bobine imprimée, qui permet de coupler par C_{18} l'antenne via une prise intermédiaire. A ces fréquences un bout de piste aussi fine constitue déjà une inductance non négligeable que l'on doit prendre en compte, le schéma de la **figure 1** le montre bien, car la capacité C_{18} se trouve au pied de S_2 pour représenter ce point de couplage côté froid du bobinage.



Les selfs VHF S₁ et S₂ et les pots 455 kHz S₃ et S₄ livrées toutes montées ne doivent subir aucun excès de chaleur lors des soudures, les semi-conducteurs restent aussi des composants fragiles aux températures élevées. Mais TSM a eu la bonne idée de doter les deux circuits intégrés de sup-

ports, ce qui ne pose pas de problèmes particuliers si l'on considère que la conception du circuit imprimé a été faite en conséquence, du moins pour la partie VHF avec le TDA5030. Les composants se placent sur le circuit imprimé en suivant le dessin d'implantation de la **figure 3**.

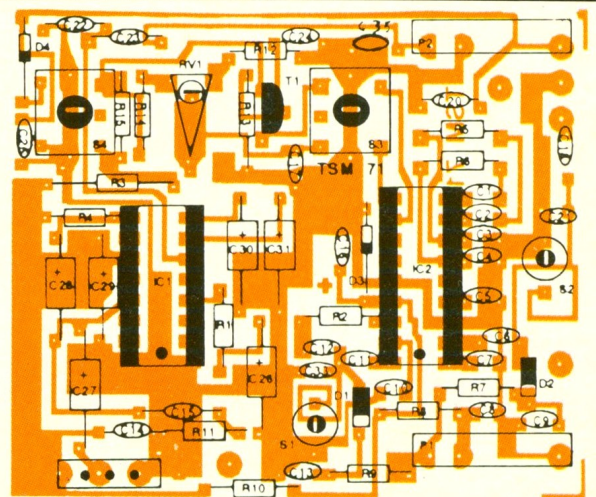
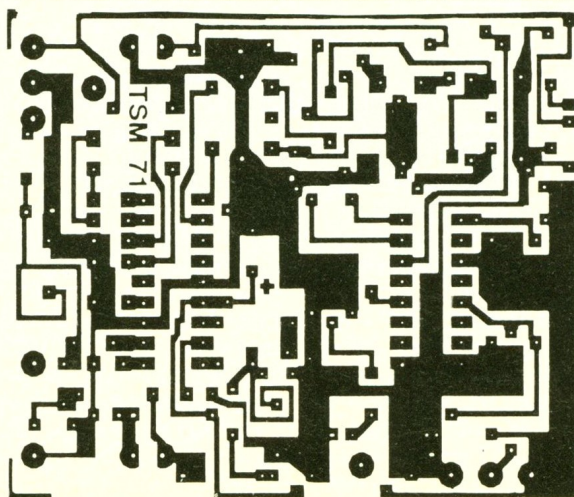
Pour lui donner un aspect sympathique le module TSM71 prendra place à l'intérieur d'un boîtier sur lequel sont fixés les deux potentiomètres, le HP, l'interrupteur et les fiches d'antenne et d'alimentation. L'antenne prend la forme d'un fil d'une longueur de 1 mètre tendu verticalement.

MISE AU POINT ET UTILISATION

Les bobinages S₁ et S₂ tels qu'ils sont livrés demandent une rotation de 3 tours vers le haut pour obtenir un pré réglage, les transformateurs S₃ et S₄ s'ajustent pour un minimum de distorsion sur le signal BF. La résistance ajustable RV₁ se règle en fonction de la proximité ou de l'éloignement d'un aéroport pour éviter la saturation de l'étage amplificateur composé du transistor T₁.

Le trafic aéronautique s'accommode d'un langage particulier. Souvent les phrases se limitent à l'utilisation du code international dit « Code Q » ; quelques termes les plus usités développés dans le tableau de la **figure 4** vous permettront une meilleure compréhension des « dialogues ». Chaque avion possède un indicatif ; celui-ci, du type FSM, se prononce à l'aide des analogies officielles décrites à la **figure 5**, la prononciation par analogie nous donne : « Fox-trot Sierra Mike ».

Nous voici arrivés au terme de cette description qui vous permettra dans de bonnes conditions l'écoute passionnante de la bande aviation.



| | |
|-----|---|
| QAM | observations météo actuelles |
| QAN | direction et vitesse du vent |
| QAV | radioguidage |
| QBA | visibilité horizontale |
| QBB | hauteur des nuages |
| QBI | règles de vol aux instruments |
| QBO | aérodrome le plus proche pour atterrissage en vol à vue |
| OCX | indicatif d'appel |
| ODM | cap magnétique |
| OFA | prévisions météo |
| QFE | pression atmosphérique au lieu actuel |
| QFF | pression atmosphérique au niveau de la mer |
| QFU | numéro de la piste à utiliser |
| OGN | autorisation d'atterrir |
| OGO | interdiction d'atterrir |
| QGP | ordre d'atterrissage |
| ONH | pression à laquelle on doit caler l'altimètre |
| QNY | conditions météo actuelles |
| QRE | heure d'arrivée prévue |
| QRG | la fréquence actuelle en mégahertz |
| QRT | cessez votre transmission |
| QRZ | vous êtes appelé par... |
| QSL | accusé de réception |
| OSY | changez de fréquence |
| QTL | le cap vrai |
| QTM | le cap magnétique |
| QTR | l'heure exacte |
| QUH | pression barométrique |
| QUJ | cap vrai par vent nul |

| | | | | | |
|---|----------|---|----------|---|---------|
| A | Alpha | J | Juliette | S | Sierra |
| B | Bravo | K | Kilo | T | Tango |
| C | Charlie | L | Lima | U | Uniform |
| D | Delta | M | Mike | V | Victor |
| E | Echo | N | November | W | Whisky |
| F | Fox-trot | O | Oscar | X | X-ray |
| G | Golf | P | Papa | Y | Yankee |
| H | Hotel | Q | Quebec | Z | Zoulou |
| I | India | R | Roméo | | |

LISTE DES COMPOSANTS

1 circuit imprimé

Résistances

R_1 : 4,7 Ω
 R_2 : 47 Ω
 R_3 : 100 Ω
 R_4 : 100 Ω
 R_5 : 4,7 Ω
 R_6 : 4,7 Ω
 R_7 : 470 Ω
 R_8 : 470 Ω
 R_9 : 470 Ω
 R_{10} : 47 Ω
 R_{11} : 1 Ω
 R_{12} : 1 k Ω
 R_{13} : 100 Ω
 R_{14} : 10 k Ω
 R_{15} : 10 k Ω

Résistances ajustables

RV_1 : 4,7 k Ω

Supports de circuits intégrés

16 broches
 18 broches

Circuits intégrés

IC_1 : TCA 760 B
 IC_2 : TDA 5030 P

Condensateurs non polarisés

$C_1, C_2, C_5, C_6, C_7, C_8, C_9, C_{10}, C_{13}, C_{16}, C_{17}, C_{35}, C_{20}, C_{22}, C_{24}, C_{25}$: 3,9 nF à 22 nF
 C_{34} : 68 pF
 C_{11}, C_{12}, C_{18} : 8,2 pF
 C_{21}, C_{33} : 27 pF
 C_{14}, C_{15}, C_{23} : 100 nF = 104

Condensateurs polarisés

$C_{26}, C_{27}, C_{28}, C_{29}, C_{30}, C_{31}$: 22 μ F à 47 μ F, 25 V axiaux

Diodes

D_1, D_2 : BB105
 D_3 : Zener 6,8 V à 8,2 V
 D_4 : diode de détection

Transistor

T_1 : BF199

Potentiomètres

P_1 : 100 k Ω
 P_2 : 4,7 k Ω à 100 Ω

Selfs

S_1, S_2 : self VHF
 S_3, S_4 : 40044 FI 455 kHz

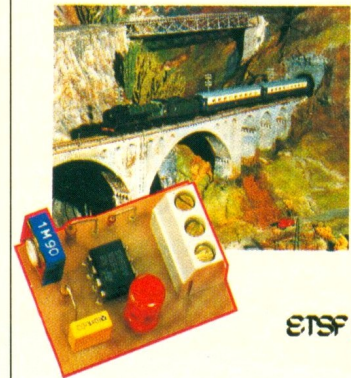
Divers

1 pression 9 V
 1 haut-parleur

ELECTRONIQUE ET MODELISME FERROVIAIRE

Jean-Luc TISSOT

Electronique et modélisme ferroviaire



Cet ouvrage est destiné aux modélistes ferroviaires qui sont intéressés par la fabrication de montages électroniques afin d'améliorer le réalisme de leur réseau miniature.

On voit de plus en plus apparaître sur le marché des montages électroniques tout faits, destinés à rendre plus réaliste le fonctionnement des réseaux de trains miniatures. Malheureusement, ces montages sont assez chers et souvent mal adaptés aux besoins personnels.

Le présent livre a l'ambition de séduire le modéliste ferroviaire en l'initiant progressivement à l'électronique.

Après un panorama rapide et complet du modélisme, l'auteur propose douze montages simples pour animer et personnaliser son réseau.

Après ces « exercices » d'initiation il développe le STD, ensemble complet de gestion de réseau, réalisable par étapes successives.

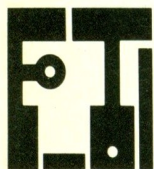
Tous les composants électroniques utilisés pour réaliser ces différents montages sont simples et disponibles auprès de tous les fournisseurs.

Des montages plaisants qui permettront à tout modéliste d'animer ses maquettes.

Editions Radio
 11, rue Gossin
 92543 Montrouge Cedex

CONNAITRE ET COMPRENDRE LES CIRCUITS INTEGRES

FICHE TECHNIQUE N° 56 LE 40193



Dans la gamme des divers compteurs, le 40193 offre des possibilités tout à fait intéressantes. Il s'agit en effet d'un compteur-décompteur binaire synchrone avec possibilité d'assurer à tout moment un chargement parallèle asynchrone.

I - CARACTERISTIQUES GENERALES

Alimentation : 3 à 18 V.
 Fréquence maximale horloge :
 - 5 MHz sous 5 V
 - 18 MHz sous 10 V
 - 26 MHz sous 15 V
 Débit sur les sorties limité à quelques milliampères
 Comptage et décomptage binaires (4 bits)
 Prépositionnement asynchrone
 Sorties de report
 Entrée de remise à zéro générale
 Toutes les sorties sont « bufférisées »

II - BROCHAGE (fig. 1)

Le circuit se présente sous la forme d'un boîtier rectangulaire comportant 16 broches « dual in line » (2 rangées de 8). Le « plus » est à relier à la broche n° 16 tandis que le « moins » correspond à la broche n° 8.

Entrées :

PL (broche n° 11) : réservée à la commande du chargement parallèle asynchrone.

P₀ à P₃ (broches 15, 1, 10 et 9) : prévues pour la présentation des données binaires en vue du chargement parallèle.

CP_U (broche 5) : reçoit les impulsions d'horloge pour le comptage.

CP_D (broche 4) : reçoit les impulsions d'horloge pour le décomptage.

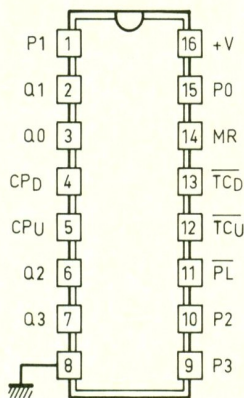
MR (broche 14) : entrée de remise à zéro générale asynchrone.

Sorties :

Q₀ à Q₃ (broches 3, 2, 6 et 7) : sorties binaires du compteur.

TC_U (broche 12) : sortie de retenue pour le comptage.

TC_D (broche 13) : sortie de retenue pour le décomptage.



III - FONCTIONNEMENT

(fig. 2, 3 et 4)

Le compteur compte ou décompte au moment du front montant du signal horloge présenté, soit sur CP_U (comptage), soit sur CP_D (décomptage). Cependant, pour que le comptage soit correct, il est nécessaire que les deux entrées « horloge » ne se trouvent jamais reliées simultanément à un état bas.

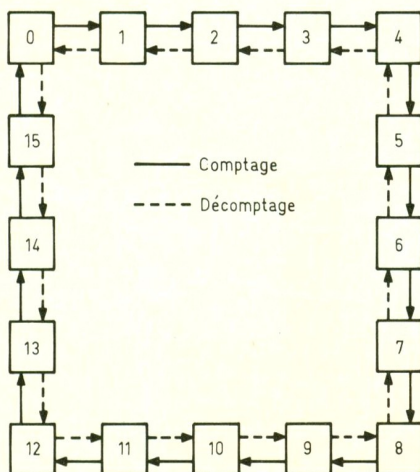
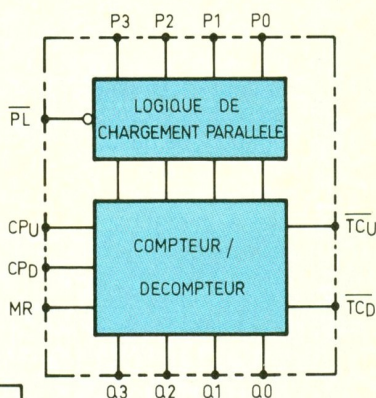
Le comptage (ou le décomptage) se réalise suivant les lois de la nu-

mération binaire, et la position du compteur se trouve matérialisée par les niveaux logiques présentés par les sorties Q₀ à Q₃. A titre d'exemple, la configuration 1011 (sens de lecture Q₃ → Q₀) correspond à la valeur décimale 2⁰ + 2¹ + 2³ = 1 + 2 + 8 = 11.

En mode « comptage », le compteur prend automatiquement la position zéro après la position 15. La sortie de report TC_U est généralement à l'état haut. Elle passe à l'état bas sous la double condition que :

- le compteur occupe la position 15 ;
- l'entrée CP_U se trouve soumise à un état bas.

On enregistre alors un front montant sur cette sortie à l'instant précis où le compteur passe à la position zéro, ce qui permet par exemple d'attaquer l'entrée de



| MR | PL | CP _U | CP _D | Action |
|----|----|-----------------|-----------------|----------------------------|
| 1 | X | X | X | Remise à zéro (asynchrone) |
| 0 | 0 | X | X | Chargement parallèle |
| 0 | 1 | ⏏ | 1 | Comptage |
| 0 | 1 | 1 | ⏏ | Décomptage |

X : Etat indifférent

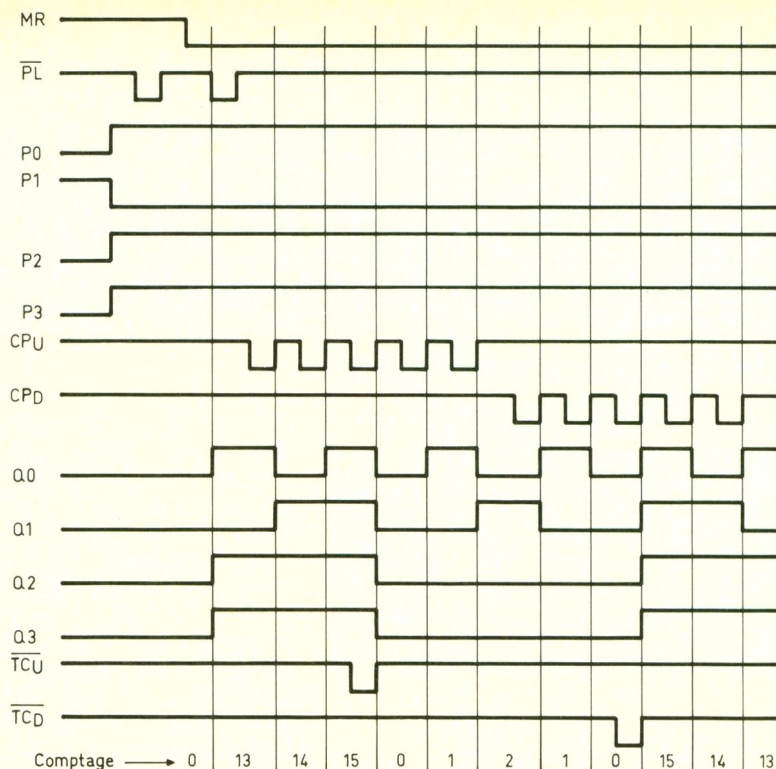
⏏ : Front montant

2 Synoptique interne du CD 40193.

3 Principe du comptage-décomptage.

4

Chronogramme de fonctionnement.



comptage d'un second 40193 placé en aval.

En mode « décomptage », le compteur se place sur la position zéro après la position 15. La sortie TCD, généralement à l'état haut, prend l'état bas sous la double condition que :

- le compteur occupe la position zéro ;
- l'entrée de décomptage CPD soit soumise à un état bas.

Dès que le compteur atteint la valeur zéro, la sortie TCD délivre alors un front positif.

Les étages de sortie du compteur sont du type bascule bistable statique.

L'entrée PL est généralement à relier à un état haut. Si on soumet cette entrée à un état bas, les sorties Q0 à Q3 prennent instantanément les valeurs logiques présentées respectivement sur les entrées P0 à P3 : c'est le chargement asynchrone parallèle, encore appelé « prépositionnement » du compteur. Cette

opération peut également se réaliser en présentant sur l'entrée PL une brève impulsion négative.

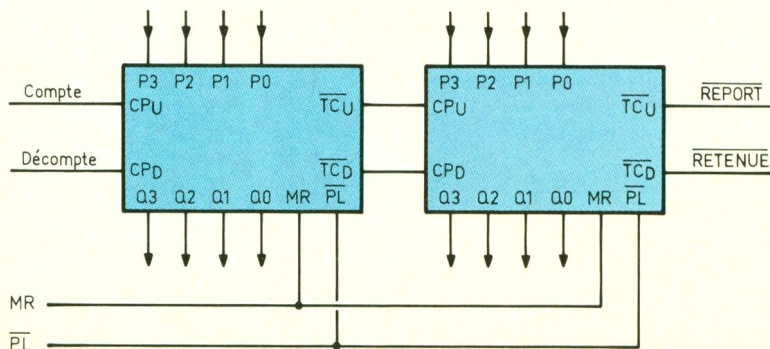
L'entrée MR est généralement soumise à un état bas. Toute présentation d'un état haut, même bref, sur cette entrée, a pour conséquence immédiate la remise à zéro du compteur, et cela quels que soient les états logiques présents sur les autres entrées.

IV - UTILISATION

(fig. 5)

L'exemple présenté est une application générale et typique d'une chaîne de comptage-décomptage de compteurs 40193 montés en cascade. On peut ainsi en monter autant qu'il est nécessaire.

Peu de commentaires sont à faire sur ce schéma d'application dont le fonctionnement est régi par les principes évoqués au paragraphe précédent.



5

Exemple d'utilisation.

FUSION CHAUVIN ARNOUX-CDA

La perspective de l'ouverture du Grand Marché européen et l'accélération des échanges au niveau mondial proposent une nouvelle situation aux professionnels du métier de la mesure, qu'ils soient utilisateurs, distributeurs ou fabricants.

Pour rester compétitif dans un environnement économique de plus en plus concurrentiel, mieux vaut regrouper toutes ses forces que de se disperser dans des directions contraires.

Pour coller à ces réalités, Chauvin Arnoux et CDA ont fusionné à dater du 1^{er} juillet 1991.

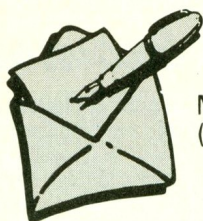
Chauvin Arnoux va fêter son centenaire en 1993. C'est en s'appuyant sur la notoriété et la réputation de qualité du plus ancien et du plus important constructeur d'appareils de mesure que toute l'équipe CDA, devenue la Division Mesure Portable Distribution de Chauvin Arnoux, continuera exactement, comme elle le faisait par le passé, à développer et à renforcer le partenariat de qualité qu'elle a su créer et entretenir avec la distribution française.

Capitalisant sur sa tradition, son expérience, son savoir-faire et sa capacité d'innovation technologique, Chauvin Arnoux s'engage simultanément dans une nouvelle étape d'expansion en confortant sa dimension européenne et internationale. L'impact regroupé des marques Chauvin Arnoux et CDA favorisera la réalisation des objectifs ambitieux de Chauvin Arnoux : imposer une dimension de leader de la mesure européenne et internationale.

Chauvin Arnoux
190, rue Championnet
75018 Paris
Tél. : 42.52.82.55.



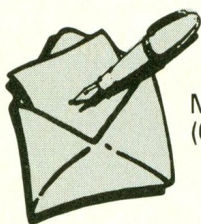
Le service du Courrier des Lecteurs d'*Electronique Pratique* est ouvert à tous et est entièrement gratuit. Les questions d'« intérêt commun » feront l'objet d'une réponse par l'intermédiaire de la revue. Il sera répondu aux autres questions par des réponses directes et personnelles dans les limites du temps qui nous est imparti.



M. Dollfus (78)

Intéressé tout particulièrement par la commande numérique pour convois ferroviaires (depuis *Electronique pratique* n° 143), je procède à l'approvisionnement des pièces, et je me heurte à la difficulté de trouver le NE 5044. Pourriez-vous m'indiquer une adresse ?

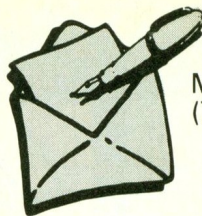
Le circuit intégré NE 5044 qui vous fait défaut est diffusé normalement chez la plupart des revendeurs. Pour cela, vous pouvez consulter, entre autres, les Ets. Sélectronic à Lille.



M. Klugesherz (67)

Pouvez-vous m'indiquer si vous avez déjà utilisé un 576B dans un numéro d'*Electronique pratique*.

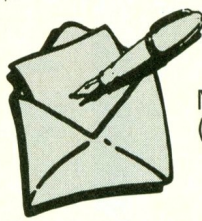
Le 576B qui vous intéresse a été déjà employé dans le gradateur télécommandé à infrarouge décrit dans *EP* n° 119, p. 95. Les photocopies de cet article sont disponibles contre 30 F.



M. Mestrallet (73)

En consultant *Electronique pratique* n° 139, page 115, il est question d'un module logique LO-4. Pourriez-vous me communiquer le schéma de principe et le tracé du circuit imprimé correspondant à ce montage ?

Le module LO-4 qui vous intéresse a été présenté en détail dans *Electronique pratique* n° 137, page 119. Vous trouverez le dessin du circuit imprimé, qu'il vous appartiendra de réaliser, ce montage n'étant pas disponible sous la forme de kit.



M. Bargain (76)

Concernant le programmeur d'EPROM du n° 137, pourriez-vous m'indiquer comment je dois effectuer la programmation ?

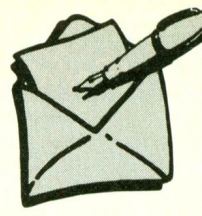
Comme vous le faites remarquer, il suffit de sélectionner, au moyen des roues codeuses correspondantes, l'adresse intéressée. Ensuite, pour cette adresse, il conviendra de placer les roues codeuses données afin de réaliser le codage correct du mot de cette adresse. Après vérification, cette opération sera validée par le poussoir validation. Bien entendu, cette opération est à reproduire pour chaque adresse.



M. Merceron (44)

J'ai réalisé la sonde logique du n° 128. Celle-ci fonctionne correctement. Pourriez-vous cependant m'indiquer la tension maximale que je peux lui injecter.

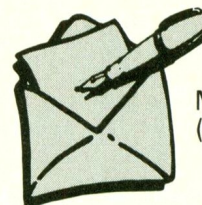
Cette sonde étant conçue autour de circuits intégrés MOS, il est vivement déconseillé d'appliquer une tension supérieure à 15 V continu à l'entrée de la sonde.



M. Cadet (25)

J'ai entrepris la réalisation du chargeur alimentation pour baladeur présent dans E.P. n° 147, p. 85. La commande arrêt ne paraît pas fonctionner. Que me conseillez-vous ?

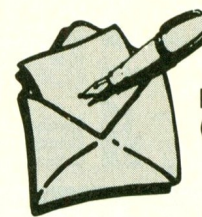
D'après les renseignements que vous nous communiquez, il est probable que le défaut se situe autour de la bascule IC₂. Vérifiez que le + arrive sur le commun des poussoirs A et M, et que l'action de M se retrouve sur 8 du 4001, tandis qu'une action sur M se répercute sur 13 du même circuit. Si tout semble correct à ce niveau, le 4001 sera à remplacer.



M. Dubois (80)

Je souhaiterais réaliser un détecteur d'humidité. Quel montage me conseillez-vous ?

Nous n'avons pas publié récemment un tel montage. Il existe cependant un composant particulièrement adapté dans votre cas. Il s'agit de l'humidistance. Ce composant est normalement approvisionné. Consultez nos revendeurs dont les coordonnées sont précisées dans les pages de publicité.



M. Piedfort (04)

Je suis à la recherche d'un CI MC 4584. Pourriez-vous m'indiquer où trouver ce circuit intégré ?

Le composant que vous nous indiquez (6 inverseurs trigger MOS) est distribué normalement chez les revendeurs. Vous pourrez l'obtenir sans problème chez la majorité de nos annonceurs dont les coordonnées sont rappelées dans les pages de publicité.



9102. Double base de temps. 2 x 20 MHz 4440F
9104. Double base de temps. 2 x 40 MHz 6420F

Composants TERAL

HEURES D'OUVERTURE le lundi de 13 h 30 à 19 h du mardi au samedi de 9 h 30 à 19 h SANS INTERRUPTION

26 RUE TRAVERSIERE PARIS 12e TEL. : 43.07.87.74 + FAX : 43.07.60.32 METRO : GARE DE LYON



9020 Double trace 2 x 20 MHz. Ligne à retard. Testeur de composants. Chercheur de trace. Livré avec 2 sondes combinées 3740F

DERNIERE NOUVEAUTE BECKMAN. OSCILLOSCOPE TI 3051 5 MHz. Disponible en Septembre : PRIX LANCEMENT : 1300F

MULTIMETRES Beckman

- DM 10 - Modèle de poche 270 F
DM 15 B - AD/DC - 10 A - Bip 359 F
DM 20 L - Gain trans. Bip 399 F
DM 23 - Précision 0,5 % HFE 619 F
DM 25 L - Test trans. et Capa 719 F
DM 71 419 F
DM 73 - Gamme Auto-Mini 559 F
DM 78 - Multi de poche. Avec étui 249 F
CM 20 - Capacimètre 829 F
EDM 122 - Multimètre digital. Très grand display. 11 fonctions. Test de continuité sonore. Fréquence-mètre. Test capacité. Test diode 649 F

NOUVEAUTÉS DM 27 XL. Multimètre numérique grand afficheur. 17 mm

- DM 95. 4000 PTS. Bargraph rapide. Sélection auto-manuelle avec sa gaine anti-choc 1095F TTC
DM 97. 4000 PTS. DATA - HOLD - PEAK - HOLD. 1 mémoire MIN et MAX avec gaine anti-choc 1279F TTC

METRIX MULTIMETRES

- MX 112 A avec boîtier de transport 699F
MX 512 1000F
MX 562 2000 points 3 1/2 digits. Précision 0,2 %. 6 fonctions 25 calibres 1719F
MX 453. 20 000 Ω/VCC. VC : 3 à 750 V.I.C : 30 mA à 15 A IA : 30 mA à 15 A. 1000F

- MX 202 C. T. DC 50 mV à 1000 V.T. AC 15 à 1000 V. Int. DC 25 μA à 5 A. AC 50 mA à 5 A. Résist. 10 Ω à 12 MΩ. Décibel 0 à 55 dB. 40 000 Ω/V 1360F
MX 462 G. 20 000 Ω/V CC/AC. 1,5 VC : 1,5 à 1000 V. VA : 3 à 1000 V. IC : 100 μA à 5 A. IA : 1 mA à 5 A. 5 Ω à 10 MΩA 1245F
MX 50 1530F
MX 51. Affichage 5 000 points. Précision 0,1 %. Mémoire 5 mesures. Buffer interne 1950F
MX 52. Affichage 5000 points. Bargraph. Mesure en dB. Fréquence-mètre. Mémoire 5 mesures 2700F

OSCILLOSCOPE METRIX OX 722

Base de temps variable 2 x 20 MHz 3900F

METRIX OX 725 2 x 20 MHz. Retard au déclenchement. Recherche de trace. Vitesse variable. 4440F TTC

FREQUENCEMETRES Beckman

UC 10. 5 Hz à 100 MHz. Compteur. Intervalles. Périodes. 8 afficheurs 3195 F

CENTRAD 346 - 1 Hz 600 MHz 1995 F 961. Gén. de fonction de 1 Hz à 200 Hz 1650 F

GENERATEURS DE FONCTIONS

- FG 2A. 7 gammes. Sinus carrés triangles. Entrée VCF-OFFSET Beckman Qté limitée 1770 F
FG3 AE. 0,2 Hz à z MHz 2700 F
AG 1000. Générateur BF. 10 Hz à 1 MHz 5 calibres Faible dist. imp. 600 Ω Monacor 1360 F
SG 1000. Générateur HF. 100 kHz à 150 MHz 6 calibres Précis. 1,5 %. Sortie 100 mV Monacor 1325 F
368. Générateur de fonction. 1 Hz à 200 kHz. Signaux carrés sinus triangle Centrad 1420 F
869. Générateur de fonctions de 0,01 Hz à 11 MHz Centrad 3490 F

ELC ALIMENTATIONS

- AL 745 AX de 1 V à 15 V - 3 A 700 F
AL 821. 24 V - 5 A 750 F
AL 812. de 1 V à 30 V - 2 A 790 F
AL 781 N. de 0 V à 30 V - 5 A 1840 F
AL 891. 5 V - 5 A 360 F
AL 892. 12,5 V - 3 A 300 F
AL 893. 12,5 V - 5 A 360 F

LABOTEC Toujours à votre service pour réaliser vos circuits imprimés.

- PLAQUES EPOXY. Présensibilisées STEP circuits. La référence du CI. 1 FACE 2 FACES
75 x 100 11 F 12,50 F
100 x 160 19 F 24 F
150 x 200 39 F 45 F
200 x 300 79 F 89 F

PLAQUES BAKELITE

- Cartes étude à bandes ou pastilles étamées. 50 x 100 9,50 F
100 x 100 18 F
100 x 150 27 F
100 x 200 33 F

PERCEUSES MAXICRAFT

- Perceuse 42 W 78 F
Perceuse 42 W avec 15 outils 176 F
Perceuse 50 W 190 F
Alimentation pour perceuse 135 F
Support perceuse 90 F
Fer à souder gaz et Mini chalumeau 198 F

COMPOSANTS

- EXTRAIT TARIF
BU 208 A 16 F MJ 15024 45 F
BU 326 A 14 F 2N 3055 100 V 7 F
BU 508 A 16 F 2N 3442 17 F
BUT 11 A F 16 F 2N 3773 29 F
BUS 11 28 F BUZ 11 19 F
MJ 15023 45 F
Série BC - BD et BF disponible. Tarif sur demande.

DEPARTEMENT UNIQUE EN TRANSFORMATEUR

- FABRICATION FRANÇAISE
6 VA. 1 second 36,00 6 VA. 2 second 40,00
10 VA. 1 second 39,00 10 VA. 2 second 43,50
15 VA. 1 second 45,00 15 VA. 2 second 48,00
24 VA. 1 second 53,00 24 VA. 2 second 57,00
38 VA. 1 second 75,60 38 VA. 2 second 79,50
60 VA. 1 second 103,00 60 VA. 2 second 107,50

CONVERTISSEURS

- A TRANSISTORS
12 V - DC - 220 V - AC
CV - 101. Puissance 120 W 365 F
CV - 201. Puissance 250 W 710 F

ALIMENTATION HIRSCHMANN

- 500 MA réglable de 3 V à 12 V 39F
1 A réglable de 3 V à 12 V
Régulée, filtrée, stabilisée 125F

SUPER PROMO ALIMENTATIONS

- 1 Ampère réglable de 3 volts à 12 volts. Régulée et filtrée 75 F
Alimentation 5 Ampères 12 volts 230 F

BOITIER MULTI PÉRITEL

- OMX 48. Répartiteur de 4 sources différentes vers un téléviseur ou magnétoscope (vidéo composite RVB ou Y.C) commutation électronique 970 F
BMP 02. Boîtier répartition Canal + permet de relier un décodeur sur 2 téléviseurs 370 F

KITS ELECTRONIQUE M.T.C. ELECTRONIQUE COLLEGE

- EXP 03. Thermomètre affichage digital 210 F
EXP 04. Thermostat affichage digital 258 F
EXP 25. Table mixage. 4 entrées ST 260 F
EXP 28. Prise courant T° infra-rouge 110 F
EXP 29. Télécommande infra-rouge 50 F
LABO 01. Voltmètre continu aff. digital 205 F
LABO 08. Multimètre digital 260 F

OFFICE DU KIT

- CH 12. Ioniseur électronique 220 F
CH 14. Détartreur électronique 190 F
CH 20. Magnétophone numérique 350 F
CH 22. Transmetteur son à infrarouges 200 F
CH 24. Chien de garde électronique 290 F
CH 29. Alarme à infra sons 350 F
CH 26. T° infra-rouges 4 canaux 390 F
PL 59. Truqueur de voix 100 F
PL 75. Variateur de vitesse 100 F
PL 82. Fréquence-mètre 30 Hz à 50 MHz 450 F

TSM

- TSM 89. Booster stéréo 2 x 40 W 165 F
TSM 123. Bruiteur électronique 250 F
TSM 90. Micro-espion 50 F
TSM 122. Prémpli antenne 85 F
TSM 45. Booster 70 W 200 F
TSM 46. Booster 100 W 280 F

DLF LA QUALITE PRO ELECTRONICS
MODULES PREAMPLI
HY 7. Mélangeur, 8 entrées, 1 voie 166 F
HY 8. Mélangeur, 5 entrées, 2 voies 161 F
HY 9. Prémpli 2 voies, correction RIAA 178 F
HY 73. Prémpli 2 voies guitare 288 F
MODULES AMPLI
HY 60. 30 W eff. 209 F HY 128. 60 W eff. 346 F
HY 248. 120 W eff. 460 F HY 368. 180 W 710 F

COFFRETS

- ESM EM 14 05 42,80 F P 1 .. 15 F P 3 .. 35 F
EM 10 05 35,60 F P 2 .. 22 F P 4 .. 52 F
ER 48 04 277 F AUS 12 83 F
EP 21 14 85 F AUS 22 88 F
CAB 222 88 F
TEKO P 1 .. 15 F P 3 .. 35 F
P 2 .. 22 F P 4 .. 52 F
AUS 12 83 F
AUS 22 88 F
CAB 222 88 F

COFFRETS PLASTIC

- D 30 39 F VD 4 38 F

Tous les modèles disponibles DOC ET TARIF SUR DEMANDE

CONNECTIQUE

- DIN 3 B Mâle 2,70 F
DIN 5 B Mâle 2,90 F
DIN 6 B Mâle 3,50 F
DIN 7 B Mâle 4,80 F
DIN 8 B Mâle 5,50 F

TYPE XLR NEUTRIX

- 3 B Mâle 19,50 F
3 B Femelle 23,00 F
4 B Mâle 24,70 F
4 B Femelle 33,00 F
Jack 6.35 Mâle 2,90 F
Jack 6.35 Stéréo 4,50 F
Jack 6.35 Mâle métal 6,50 F
Jack 6.35 Mâle stéréo métal 8,50 F

CANON A SOUDER

- 9 Br mâle 3,95 F 25 Br mâle 6,10 F
9 Br fem. 4,20 F 25 Br fem. 7,10 F
Capot 9 B 3,50 F Capot 25 B 4,50 F
15 Br mâle 5,30 F 23 Br mâle 8,00 F
16 Br fem. 6,00 F 23 Br fem. 7,50 F
Capot 15 B 4,00 F Capot 15 B 7,50 F

Fers JBC
15 W LD 148 F Thermorégulé 45 W 420 F
30 W LD 135 F Station thermorégulée de
40 W LD 135 F 100° C à 1000° C
65 W LD 150 F Display 1580 F
EXP 28. Prise de courant télé. à I.R. 110 F
EXP 31. Prise de courant nuit et jour 91 F
EXP 35. Interrupteur/variateur de lumière 85 F
EXP 39. Ampli 20 W 12 V 95 F

OSCILLOSCOPES



NOUVEAU HM 203/7 Double trace 2 x 20 MHz 2 mV à 20 V, add', déclench. AC-DC-HF-BF. Testeur de composants. Livrés avec 2 sondes combinées 3900 F
HM 100/5 3 x 100 MHz avec 2 sondes 8780 F

NOUVEAU HM 205-3 Double trace 2 x 20 MHz. Testeur de composants. Mémoire numérique 2 x 1 K. Chercheur de trace. Livrés avec 2 sondes combinées 6980 F
HM 604. 2 x 60 MHz avec expansion Y X 5. Post. accéléré 14 KV avec 2 sondes combinées 6760 F
HM 8001. Appareil de base avec alimentation permettant l'emploi de 2 modules 1550 F
HM 8021-3. Fréquence-mètre 10 Hz à 1 MHz Digital 2360 F
HM 8032. Générateur sinusoïdal 20 Hz à 20 MHz. Affichage de la fréquence 2150 F
HM 8028 Analyseur de spectre 5870 F

MONACOR

LES "NEWS" MULTIMETRES DIGITAUX

- DMT 2010. 2000 PTS. 3 1/2 Digits. Test. diodes 260 F
DMT 2035. 2000 PTS. 3 1/2 Digits. Capacimètre. Fréquence-mètre. Test. diodes. Test. Transistor. Test. TTL 720 F
DMT 2040. Modèle "Pocket" 4000 PTS. Hold. Test. diodes 359 F
DMT 2055. Automatique. Bargraph. 4000 PTS. 3 3/4 Digits. Data. Hold. Test. diodes. Fréquence-mètre 1290 F
DMT 2070. Testeur de composants. Capacimètre. Test. diodes 778 F
DMT 2075. 2000 PTS. 3 1/2 Digits. Capacimètre. Fréquence-mètre. Test. transistors. Test. diodes. Test. continuité. Anti-chocs 690 F

DMT-2035

- 2 000 pts = 3 1/2 digits
Capacimètre = 2 nF - 20 μF
Fréquence-mètre avec Trigger = 2 kHz - 20 MHz
V. DC = 1 000 V • V.AC = 750 V
A.AC/C = 20 A
Ω = 200 Mohms
Test transistors • Test diodes
Test TTL logique • Test LED
• Test de continuité
• Précision de base = 0,5 %

720 F TTC

- AG 1000. Générateur de B.F. 10 Hz/1 MHz. 5 calibres. Faible distorsion. Impédance 600 Ω 1360 F
LCR 3500. Pont de mesure digital. Affichage LCD. Mesure résistance, capacité, inductance et facteur de déperdition 1490 F
L-DM-815. Grép. dép. Mètre 770 F
R-D 1000. Décade de résistance 555 F
CM 300. Capacimètre 576 F

Documentation sur demande.

Accessoires mesure. Pince de test. Adaptateur. Cordons. Pointe de touche.

CREDIT POSSIBLE SUR LA MESURE